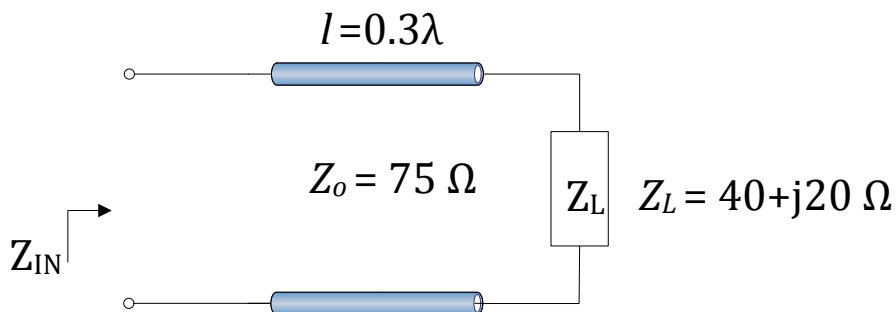


PROBLEMES ENGINYERIA DE RADIOFREQÜÈNCIA

I MICROONES

LLISTA 1

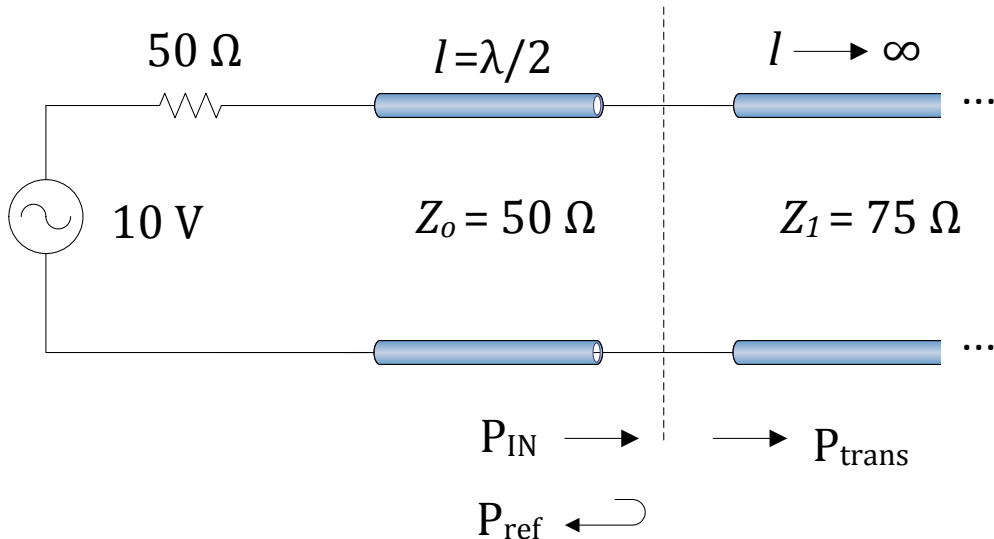
1.- Una línia de transmissió sense pèrdues de longitud $l=0.3\lambda$, té a l'extrem una càrrega d'impedància complexa. Trobeu el coeficient de reflexió a la càrrega, el SWR de la línia i la impedància d'entrada de la línia.



2.- Un transmissor de ràdio està connectat a una antena d'impedància $80+j40\Omega$ mitjançant un cable coaxial de 50Ω . Si el transmissor pot entregar $30W$ a una càrrega de 50Ω , quina potència s'entrega a l'antena?

3.- Una càrrega d'impedància $40-j80\Omega$ està connectada a una línia de 100Ω . Calculeu el coeficient de reflexió a la càrrega i el coeficient de reflexió a l'entrada de la línia si l'allargada de la línia és de 0.7λ .

4.- Considerem la línia de transmissió del circuit inferior. Calculeu la potència d'entrada, la potència reflectida i la potència transmessa a la línia infinita de 75Ω . Comproveu que es conserva la potència.

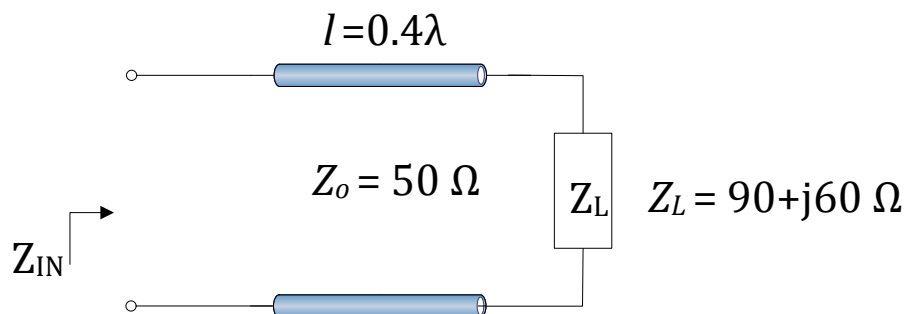


5.- Una càrrega d'impedància $Z_L = 80+j20\Omega$ s'ha d'adaptar a una línia de $Z_0=100\Omega$ mitjançant una línia sense pèrdues de longitud l i impedància característica Z_1 . Trobeu que ha de valer Z_1 (real) i l .

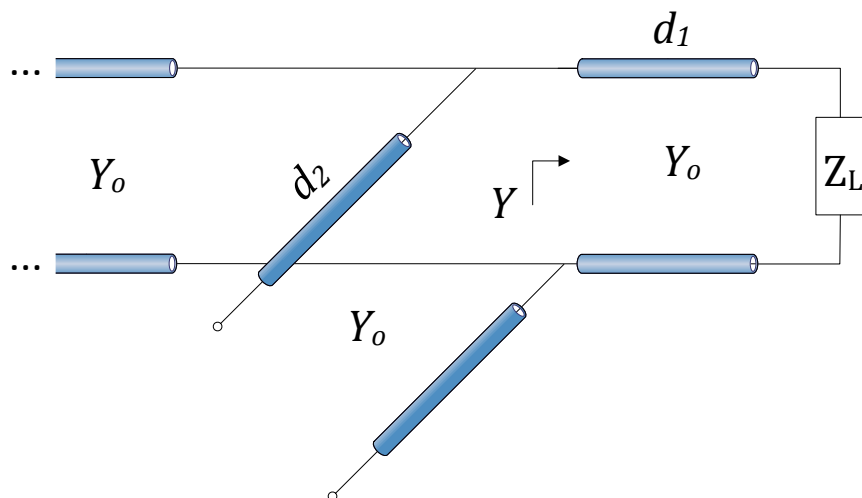
6.- Dissenyeu un transformador en $\lambda/4$ per adaptar una càrrega de 40Ω a una línia de 75Ω . Dibuixeu el SWR per $0.5f_0 \leq f \leq 2f_0$ on f_0 és la freqüència en la qual la línia és $\lambda/4$.

7.- Utilitzeu la carta de Smith, trobeu les magnituds següents per la línia de transmissió del circuit inferior:

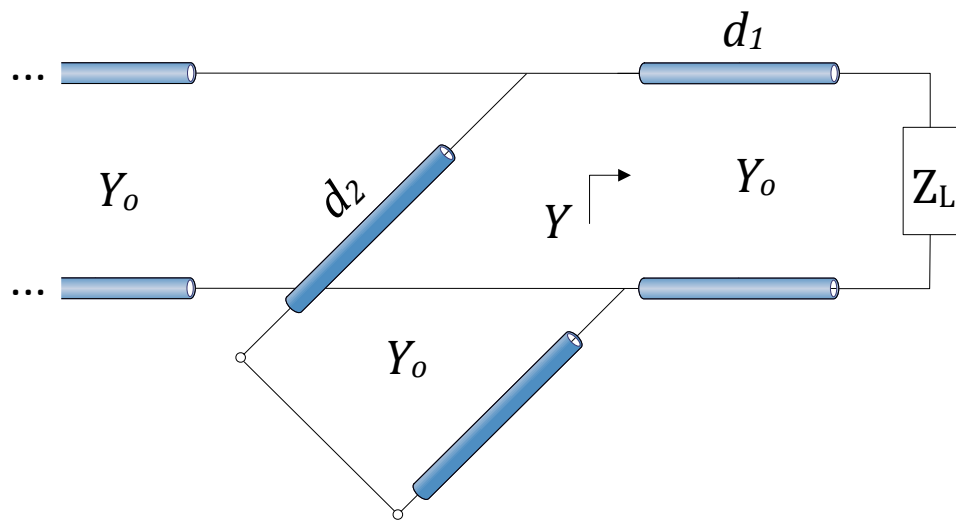
- a) El SWR de la línia
- b) El coeficient de reflexió a la càrrega
- c) L'admitància de la càrrega
- d) La impedància d'entrada de la línia
- e) La distància de la càrrega al primer mínim de voltatge
- f) La distància de la càrrega al primer màxim de voltatge



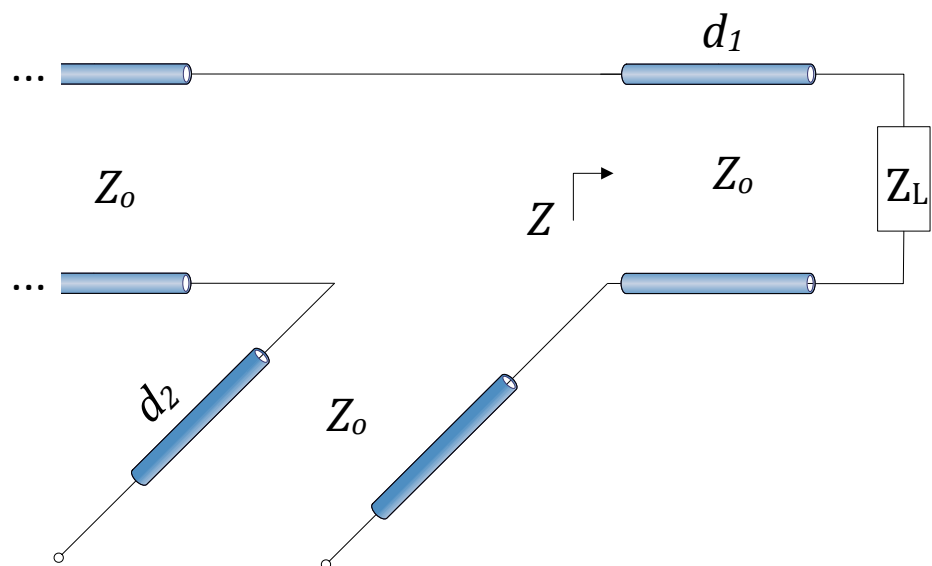
8.- Utilitzant la carta de Smith, adapteu una càrrega de $200+j160\Omega$ a una línia de 100Ω utilitzant una secció de línia en paral·lel.



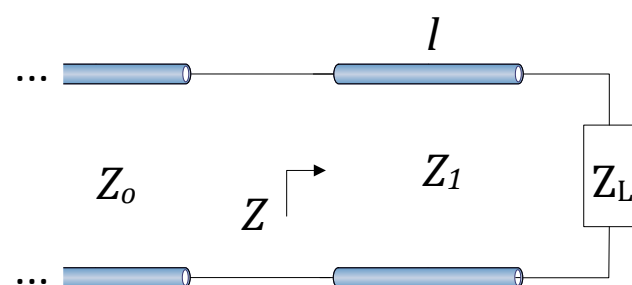
9.- Repetiu el problema anterior utilitzant una secció de línia en curtcircuit.



10.- Adapteu una càrrega de $20-j60\Omega$ a una línia de transmissió d'impedància característica de 50Ω , utilitzant una secció en sèrie amb el seu extrem en circuit obert.



11.- En el circuit de baix, una càrrega de $200+j100\Omega$ està adaptada a una línia de 40Ω utilitzant una línia de transmissió sense pèrdues de longitud l i impedància característica Z_1 . Trobeu l i Z_1 .



12.- Dissenyeu un sintonitzador doble amb una separació entre seccions de línia $d = \lambda/8$ per tal d'adaptar una càrrega d'admitància $Y_L = (1.4+j2)Y_0$.

13.- Dissenyeu un transformador de $\lambda/4$ per adaptar una càrrega de 350Ω a una línia de 100Ω . Quin és l'ample de banda del transformador per a una $SWR \leq 2$? Si la freqüència de treball és de 4 GHz, dibuixeu el layout d'un circuit microstrip per a implementar aquest transformador de $\lambda/4$. Preneu $h = 0.127$ cm, $\epsilon_r = 2.2$ i $t \rightarrow 0$.

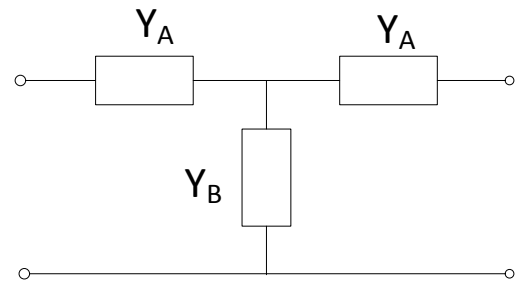
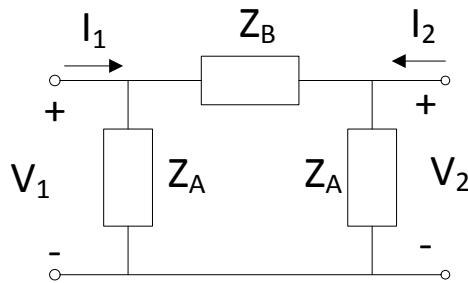
14.- Calculeu el valor de la impedància característica i la constant de propagació per a una línia coaxial amb baixes pèrdues a $f_0 = 2$ GHz. Preneu $b = 3a = 0.5$ cm, $\epsilon = (2.56-j0.005)\epsilon_0$.

PROBLEMES ENGINYERIA DE RADIOFREQÜÈNCIA

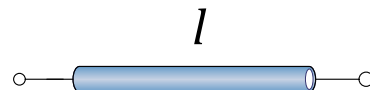
I MICROONES

LLISTA 2

1.- Determineu les matrius Z , Y pels següents biports:



2.- Trobeu la matriu de dispersió del següent biport:



Z'_o



3.- Considereu la següent matriu de dispersió:

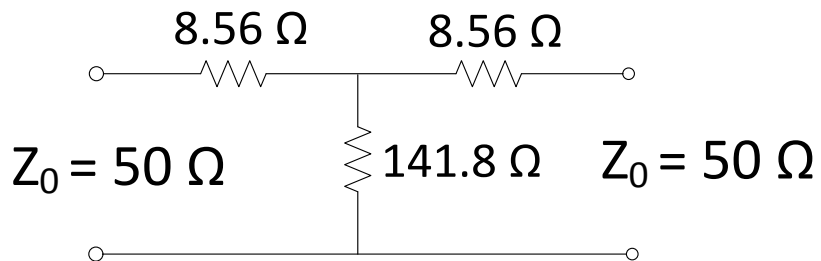
$$[S] = \begin{pmatrix} 0.1 < 90^\circ & \frac{1}{\sqrt{2}} < -45^\circ & \frac{1}{\sqrt{2}} < 45^\circ & 0 \\ \frac{1}{\sqrt{2}} < -45^\circ & 0 & 0 & \frac{1}{\sqrt{2}} < 45^\circ \\ \frac{1}{\sqrt{2}} < -45^\circ & 0 & 0 & \frac{1}{\sqrt{2}} < -45^\circ \\ 0 & \frac{1}{\sqrt{2}} < 45^\circ & \frac{1}{\sqrt{2}} < -45^\circ & 0 \end{pmatrix}$$

Contesteu a les següents preguntes considerant aquesta matriu, així com en el cas $S_{11} = 0$:

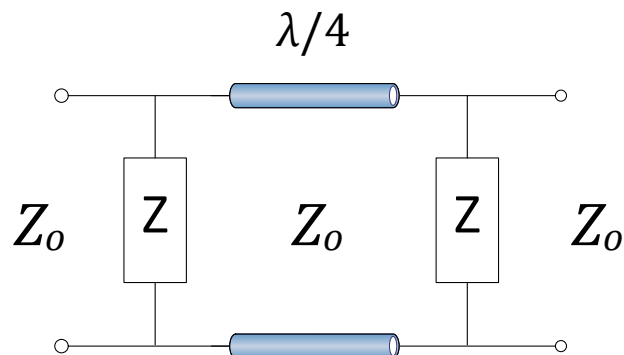
- a) Es tracta d'una xarxa passiva i sense pèrdues?

- b) Es tracta d'una xarxa recíproca?
- c) Calculeu les pèrdues de retorn al port 1 quan tots els altres ports estan adaptats.
- d) Calculeu les pèrdues d'inserció entre els ports 2 i 4 quan tots els altres ports estan adaptats.
- e) Calculeu els coeficient de reflexió al port 1, si el port 3 esta curtcircuitat i els altres ports estan adaptats.

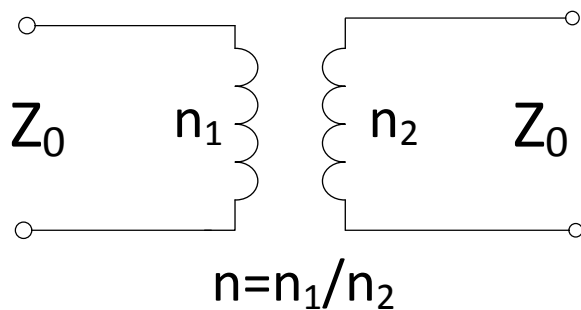
4.- Trobeu la matriu de dispersió del següent atenuador:



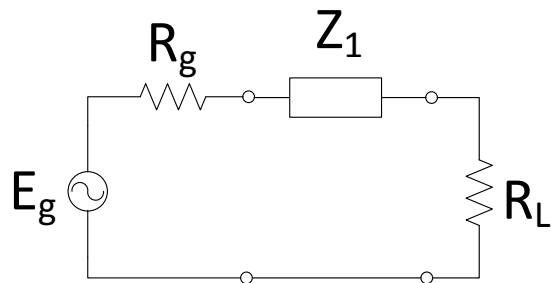
5.- Trobeu la matriu de dispersió de la següent xarxa bipart (podeu utilitzar els conceptes de paret elèctrica i paret magnètica):



6.- Obteniu la matriu de dispersió per al següent transformador:



7.- Pel següent circuit, calculeu els paràmetres [S]; Calculeu la potència disponible des del generador (P_A); i calculeu la potència dissipada a R_g , R_1 i R_L . Preneu $E_g=1$ V i $Z_0 = 50\Omega$. Quin valor tindria R_1 si $P_L=P_A$? (Noteu que $P_{gen} < P_A$).



$$R_g = R_L = 50 \Omega$$

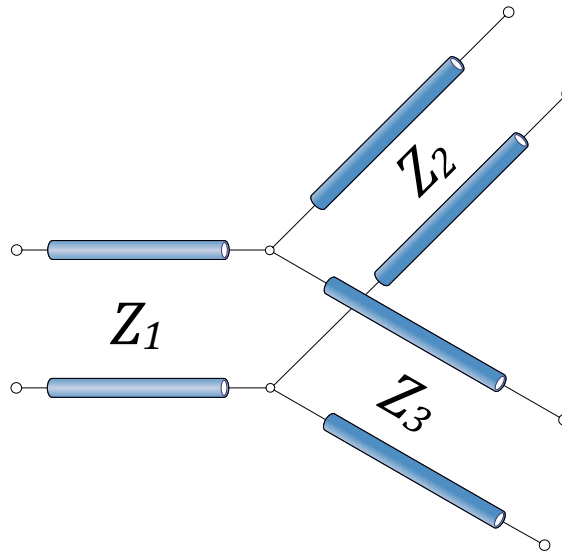
$$R_1 = Z_1 = 50 \Omega$$

PROBLEMES ENGINYERIA DE RADIOFREQÜÈNCIA

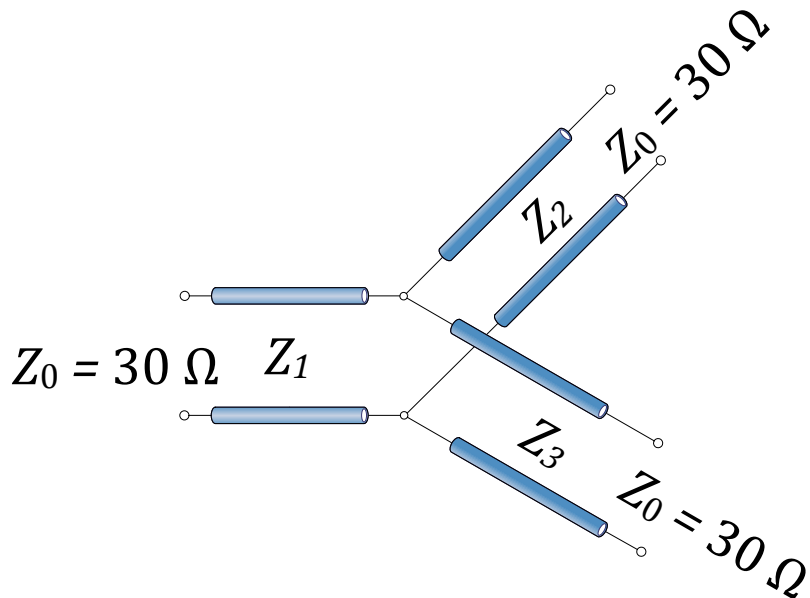
I MICROONES

LLISTA 3

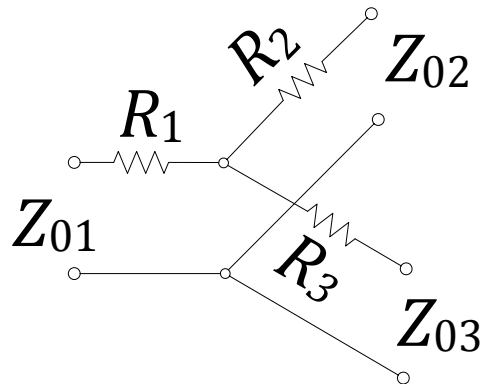
1.- Demostrar que pel següent circuit sense pèrdues, és impossible que els 3 ports estiguin adaptats.



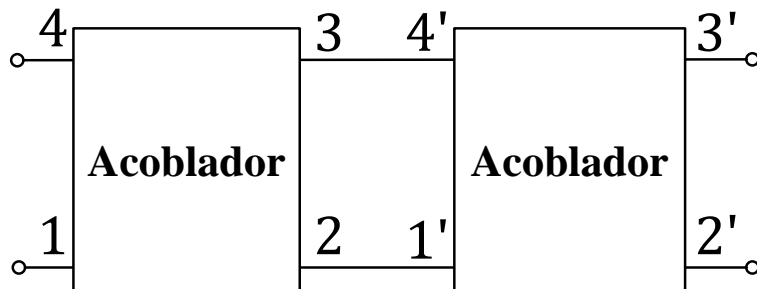
2.- Obtenir Z_1 i Z_2 per que el divisor de potència doni a la sortida una relació de potència de 3:1. Realitzar el divisor utilitzant transformadors en $\lambda/4$, i amb línies de sortida d'impedància característica 30Ω .



3.- Pel següent circuit, calculeu la matriu de paràmetres $[S]$ i el paràmetre α , essent la relació de potències de sortida $\alpha = P_2/P_3$. Determinar les resistències en el cas que tots els ports estiguin adaptats amb $Z_{01} = Z_{02} = Z_{03}$ i $\alpha = 1$.



4.- Dos acobladors direccionals idèntics de 90° amb coeficient d'acoblament de $C = 8.34$ dB estan connectats tal com es mostra. Determinar la amplitud i fase relatives dels ports de sortida respecte del port 1.



5.- Dissenyar un acoblador direccional amb línia microstrip amb $C = 10$ dB. La constant dielèctrica del substrat es de $\epsilon_r = 9$, essent el seu gruix de 0.635 mm. La freqüència de treball és de 4 GHz i la impedància característica de les línies d'accés és de 50Ω .

6.- Dissenyar un híbrid a 2 GHz amb una estructura d'anell de 1.5λ mitjançant tecnologia stripline amb un substrat de constant dielèctrica $\epsilon_r = 3.8$ i separació dels plans de massa de 2.5 mm.

7.- Dissenyar un acoblador direccional de 20 dB amb línies de transmissió acoblades stripline amb una separació dels plans de massa de 0.158 cm, una constant dielèctrica de $\epsilon_r = 2.56$ i una impedància característica de 50Ω . Prendre per línies acoblades una longitud d'un quart de la longitud d'ona. La freqüència de treball és de 3 GHz.

PROBLEMES ENGINYERIA DE RADIOFREQÜÈNCIA

I MICROONES

LLISTA 4

1.- Dissenyar un filtre passa baixos “stepped impedance” amb una freqüència de tall de 2 GHz i $Z_0 = 50 \Omega$. Utilitzar una resposta Butterworth d’ordre 5. Per això, obtenir les longituds elèctriques βl de cada una de les seccions considerant $Z_{\text{low}} = 10 \Omega$ i $Z_{\text{high}} = 150 \Omega$.

2.- Dissenyar un filtre passa baixos “stepped impedance” amb una freqüència de tall de 1.5 GHz i $Z_0 = 50 \Omega$ amb arrissat de 0.5 dB i atenuació mínima de 30 dB a 3 GHz. Per això, obtenir les longituds elèctriques βl de cada una de les seccions considerant $Z_{\text{low}} = 12 \Omega$ i $Z_{\text{high}} = 100 \Omega$. Obtenir també les dimensions físiques amb tecnologia stripline considerant un substrat de permitivitat $\epsilon_r = 3.8$ i separació entre plans de massa de $b = 0.5$ mm.

3.- Dissenyar un filtre passa banda Butterworth amb línies de transmissió acoblades. Considerar una banda de pas de 3 GHz a 3.5 GHz, impedància de referència de 50Ω i un ordre 3. Quina és l’atenuació a 2.9 GHz?

4.- Dissenyar un filtre de rebuig de banda Butterworth utilitzant 4 seccions de $\lambda/4$ en circuit obert. La freqüència central és de 3 GHz, l’amplada de banda és del 15% i la impedància és de 40Ω .

5.- Dissenyar un filtre passa banda Butterworth amb ressonadors acoblats capacitivament. Es desitja una freqüència central de 4 GHz, una amplada de banda del 12% i, al menys, 12 dB d’atenuació a 3.6 GHz. La impedància característica és de 50Ω .

PROBLEMES ENGINYERIA DE RADIOFREQÜÈNCIA

I MICROONES

LLISTA 5

1.- Dissenyar un amplificador que tingui màxim guany a 5 GHz mitjançant un transistor FET de GaAs amb la següent matriu de paràmetres [S] ($Z_0 = 50 \Omega$):

$$S_{11} = 0.65 < -140^\circ \quad S_{12} = 0.04 < 60^\circ \quad S_{21} = 2.4 < 50^\circ \quad S_{22} = 0.7 < -65^\circ$$

Dissenyar les xarxes d'adaptació mitjançant stubs en circuit obert.

2.- Dissenyar un amplificador amb màxim G_{TU} mitjançant un transistor amb la següent matriu de paràmetres [S] a 6 GHz ($Z_0 = 50 \Omega$):

$$S_{11} = 0.61 < -170^\circ \quad S_{12} = 0 \quad S_{21} = 2.24 < 32^\circ \quad S_{22} = 0.72 < -83^\circ$$

Dissenyar les xarxes d'adaptació mitjançant stubs en curt circuit.

3.- Considerant el mateix transistor de l'apartat anterior, dissenyar un amplificador amb un guany de 10 dB a 6 GHz. Representar els cercles de guany per $G_s = 1$ dB i $G_L = 2$ dB. Dissenyar les xarxes d'adaptació mitjançant stubs en circuit obert.

4.- Un transistor FET de GaAs presenta la següent matriu de dispersió a 8 GHz ($Z_0 = 50 \Omega$):

$$S_{11} = 0.7 < -110^\circ \quad S_{12} = 0.02 < 60^\circ \quad S_{21} = 3.5 < 60^\circ \quad S_{22} = 0.8 < -70^\circ$$

I com a paràmetres de soroll:

$$F_{min} = 2.5 \text{ dB} \quad \Gamma_{opt} = 0.7 < 120^\circ \quad R_N = 15 \Omega$$

Dissenyar un amplificador amb la mínima figura de soroll i el màxim guany possible.

Dissenyar les xarxes d'adaptació mitjançant stubs en curt circuit.

5.- Un transistor FET de GaAs presenta la següent matriu de dispersió a 6 GHz ($Z_0 = 50 \Omega$):

$$S_{11} = 0.6 < -60^\circ \quad S_{12} = 0 \quad S_{21} = 2 < 81^\circ \quad S_{22} = 0.7 < -60^\circ$$

I com a paràmetres de soroll:

$$F_{min} = 2 \text{ dB} \quad \Gamma_{opt} = 0.62 < 100^\circ \quad R_N = 20 \Omega$$

Dissenyar un amplificador amb un guany de transferència $G_{TU} = 6$ dB i la mínima figura de soroll possible amb aquest guany.

Dissenyar les xarxes d'adaptació mitjançant stubs en circuit obert.

PROBLEMES ENGINYERIA DE RADIOFREQÜÈNCIA

I MICROONES

LLISTA 6

1.- Dissenyar un oscil·lador a 8 GHz mitjançant un transistor bipolar EN567 en base comuna segons la següent matriu de paràmetres [S]:

$$S_{11} = 1.32 < 88^\circ \quad S_{12} = 0.595 < 99^\circ \quad S_{21} = 1.47 < 172^\circ \quad S_{22} = 1.03 < -96^\circ$$

Dissenyar les xarxes d'adaptació necessàries (a l'entrada i a la sortida) per tal d'adaptar una càrrega de 50Ω .

2.- La matriu de paràmetres [S] d'un transistor FET en font comuna són:

$$S_{11} = 0.95 < -45^\circ \quad S_{12} = 0.25 < 45^\circ \quad S_{21} = 1.414 < 45^\circ \quad S_{22} = 0.5 < -45^\circ$$

- a) Calcular el factor K.
- b) Dissenyar un oscil·lador de radiofreqüència amb una càrrega de 50Ω .
- c) Implementar les corresponents xarxes d'adaptació a l'entrada i la sortida.



Universitat Autònoma de Barcelona

Escola d'Enginyeria, Departament d'Enginyeria Electrònica

Bellaterra (Cerdanyola del Vallès)

**Solución de los problemas de adaptación de
impedancias de la Lista 1 de problemas mediante
carta de Smith**

Miguel Durán-Sindreu

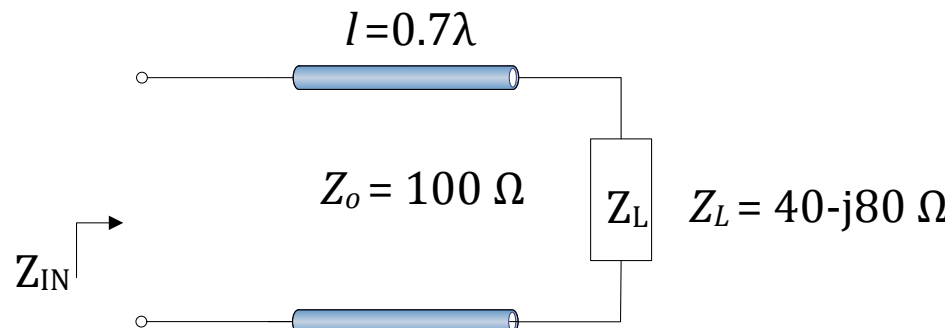
Curso 2012/2013



Lista 1: Problema 3

(incluye preguntas adicionales del problema 7)

3. Una carga de impedancia $40-j80\Omega$ está conectada a una línea de 100Ω . Calcular el coeficiente de reflexión a la carga y el coeficiente de reflexión a la entrada de la línea si la longitud de la línea es de 0.7λ .

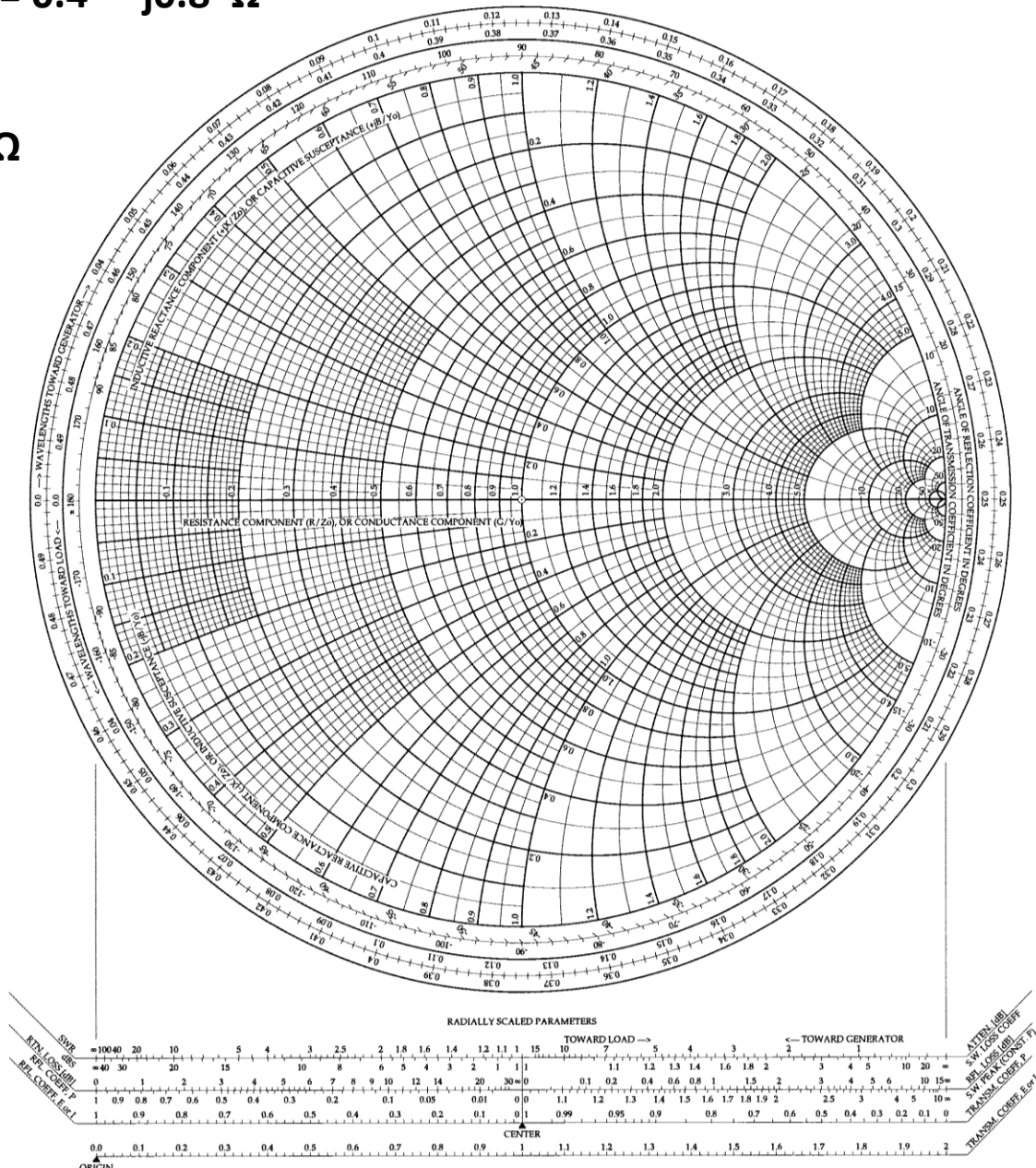


Miguel Durán-Sindreu



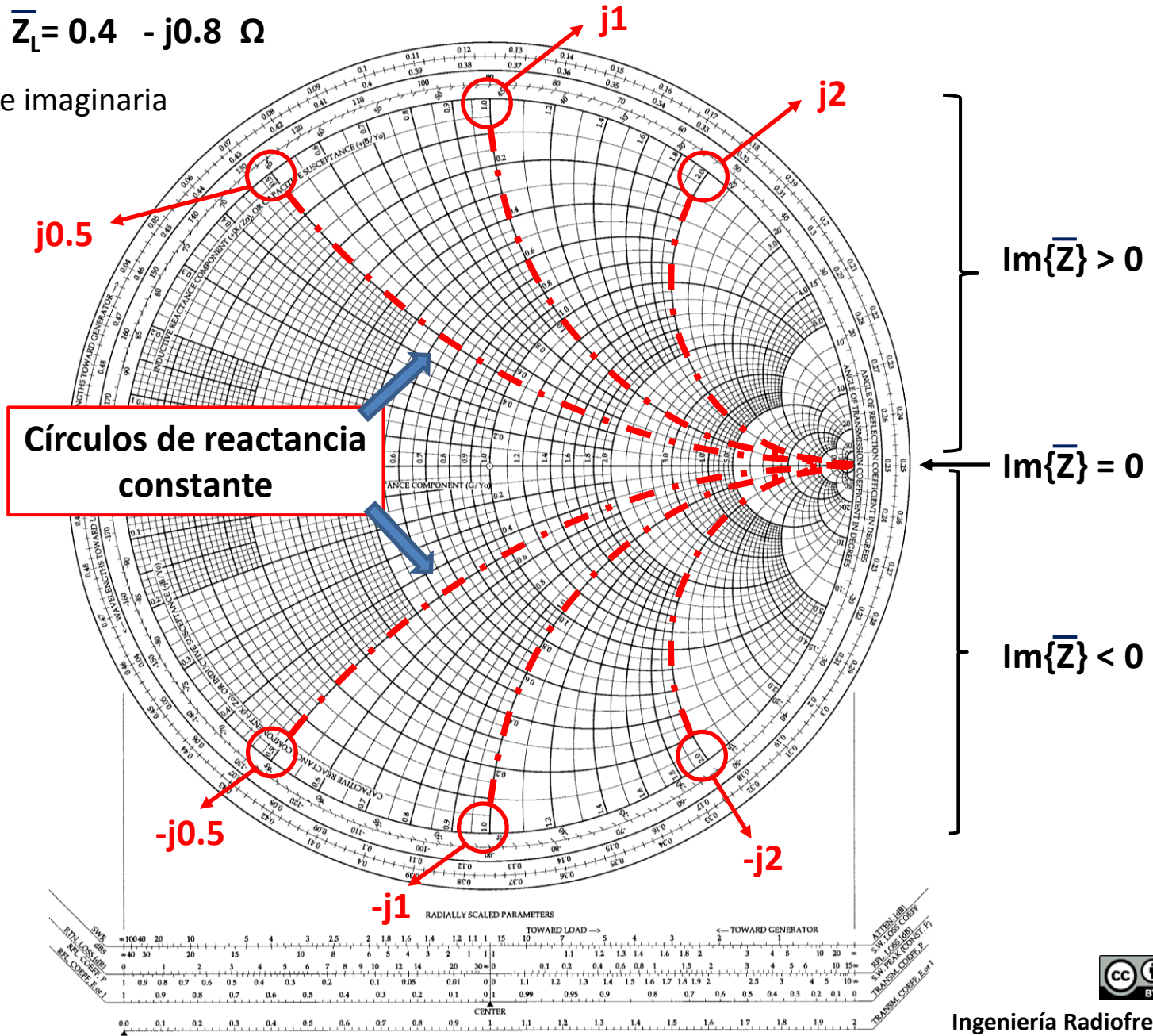
$$Z_L = 40 - j80 \Omega \rightarrow \bar{Z}_L = 0.4 - j0.8 \Omega$$

$$Z_0 = 100 \Omega$$



$$Z_L = 40 - j80 \Omega \rightarrow \bar{Z}_L = 0.4 - j0.8 \Omega$$

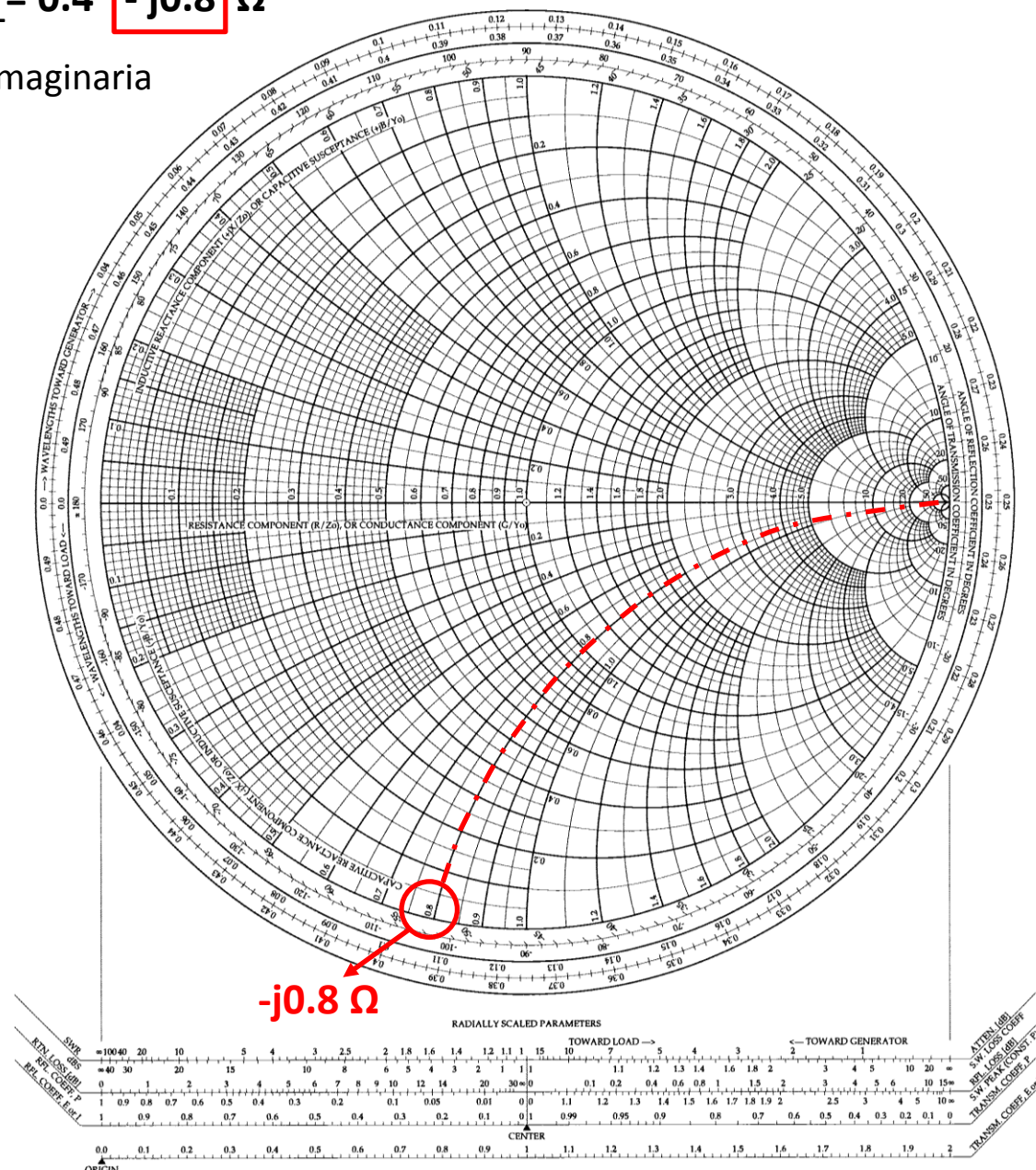
1. Mapeamos parte imaginaria (reactancia)



$$Z_L = 40 - j80 \Omega \rightarrow \bar{Z}_L = 0.4 - j0.8 \Omega$$

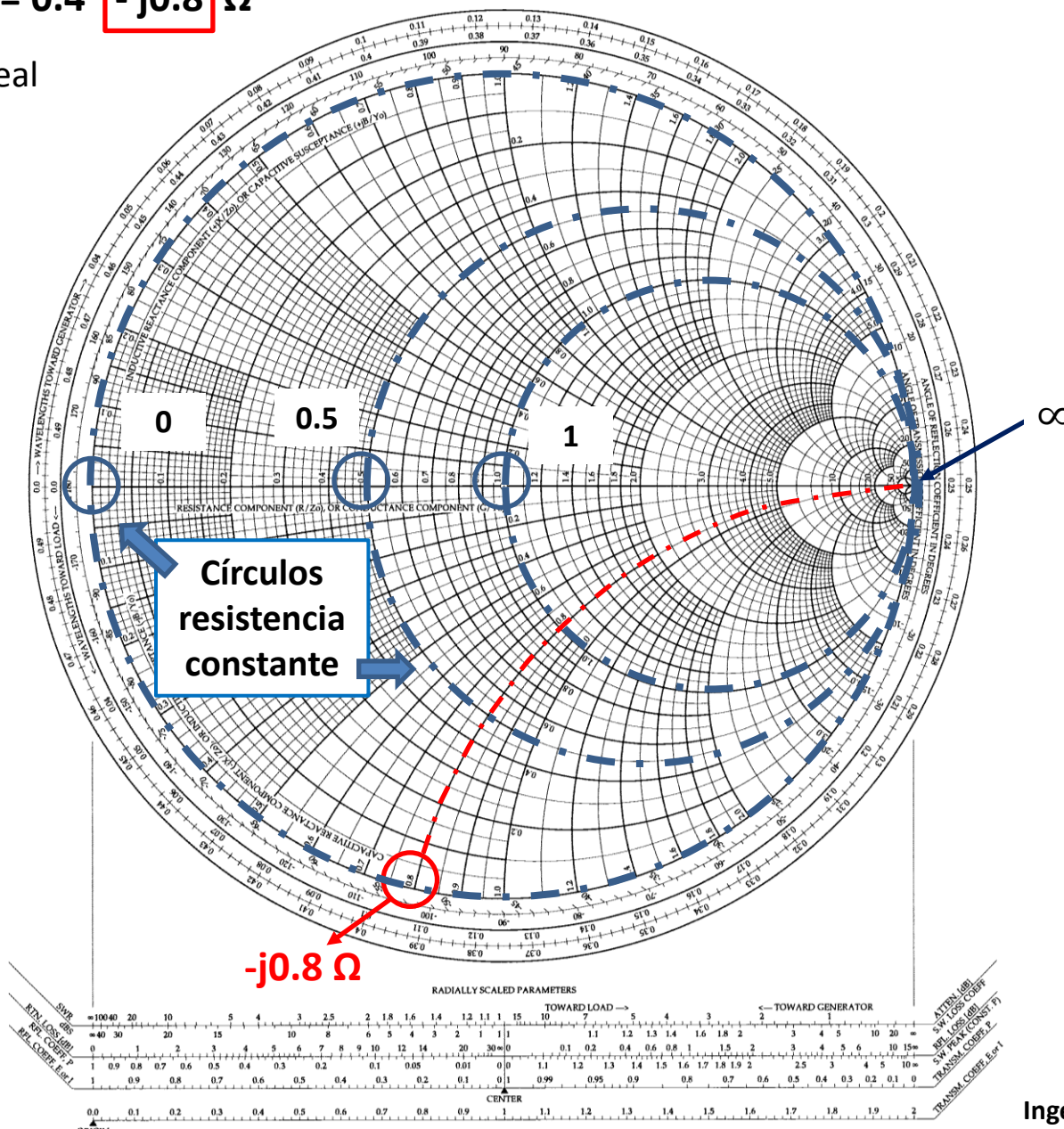
1. Mapeamos parte imaginaria (reactancia)

En nuestro caso:



$$Z_L = 40 - j80 \Omega \rightarrow \bar{Z}_L = 0.4 - j0.8 \Omega$$

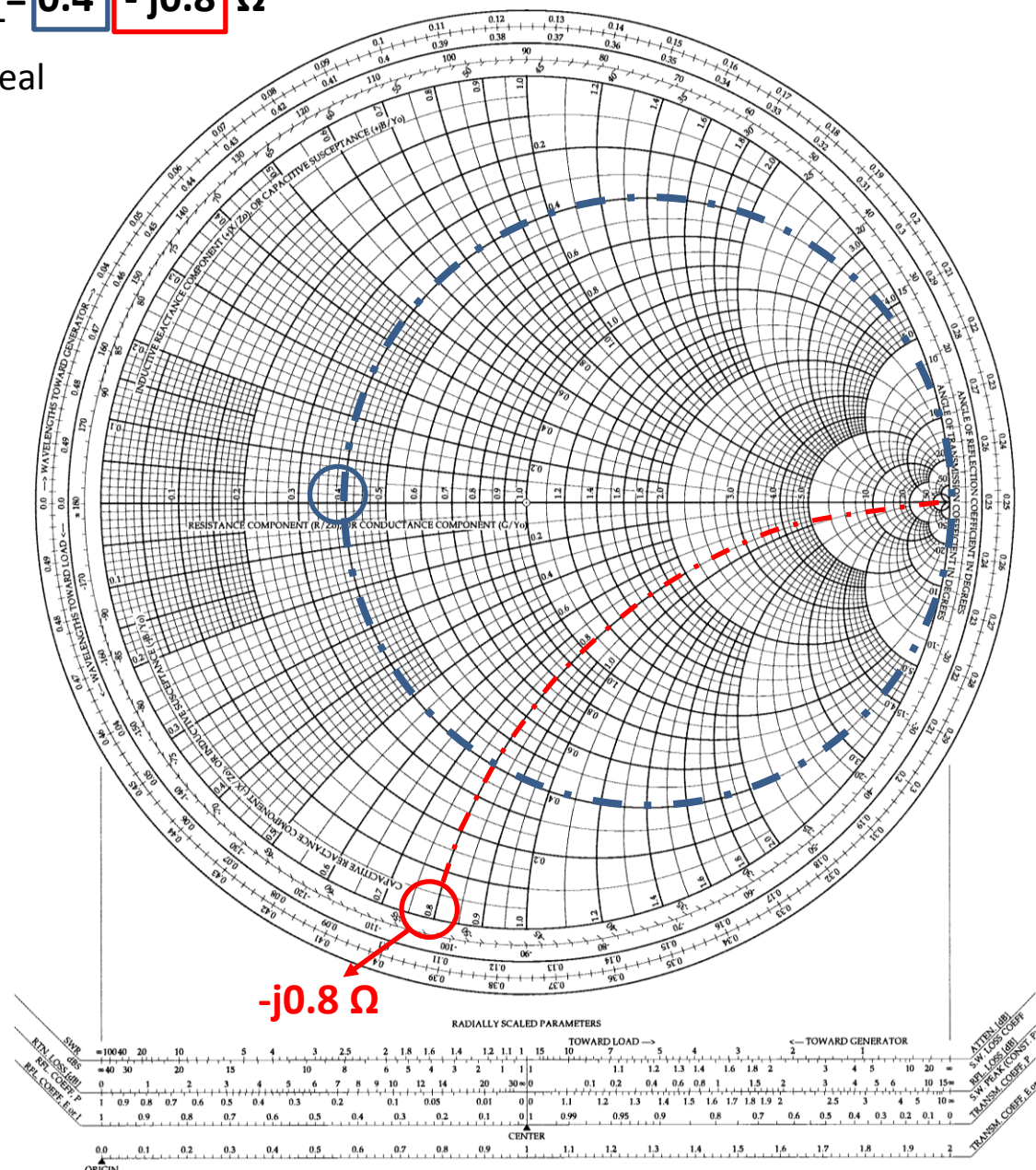
2. Mapeamos parte real
(resistencia)



$$Z_L = 40 - j80 \Omega \rightarrow \bar{Z}_L = \boxed{0.4} - j\boxed{0.8} \Omega$$

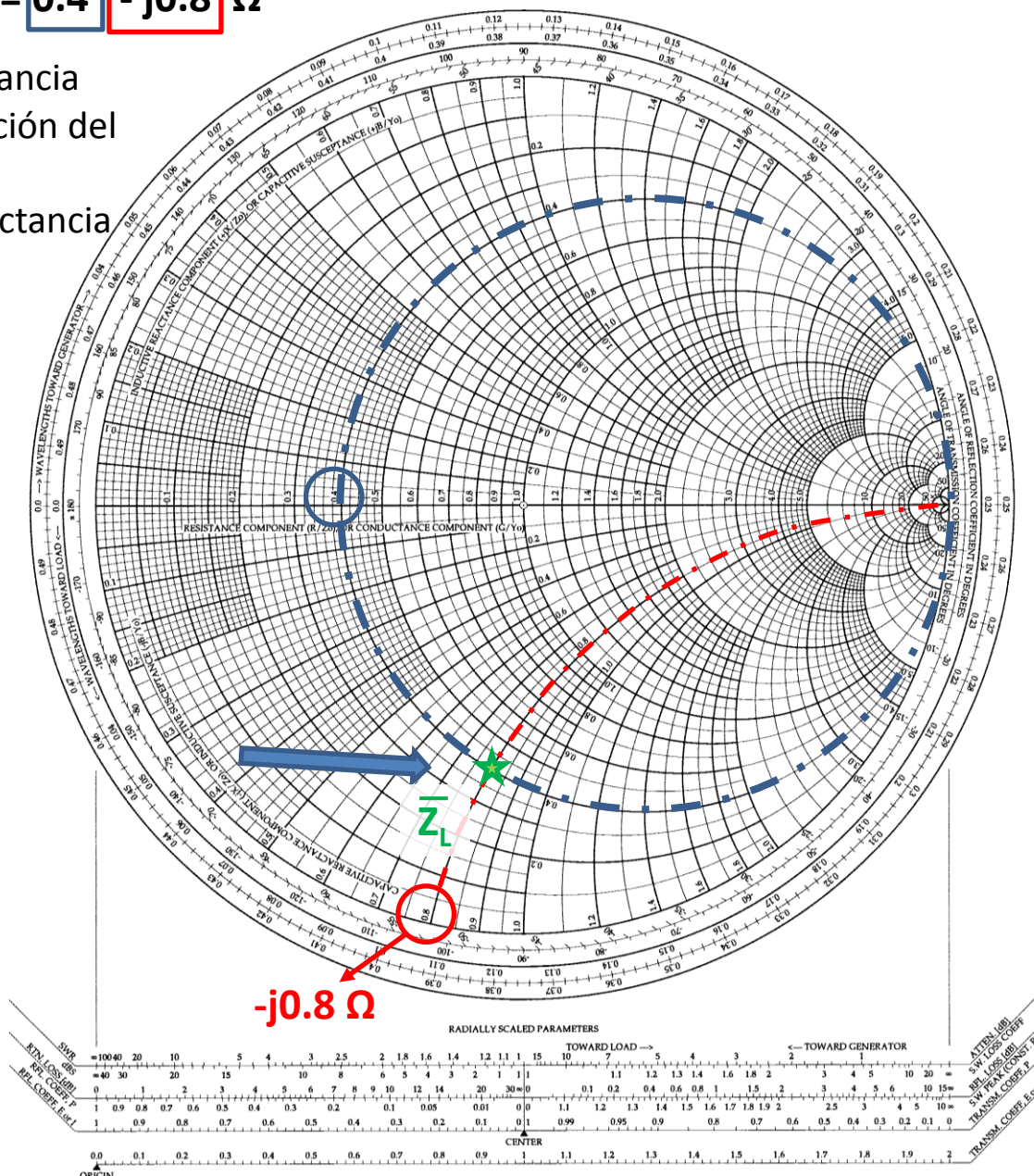
2. Mapeamos parte real
(resistencia)

En nuestro caso:



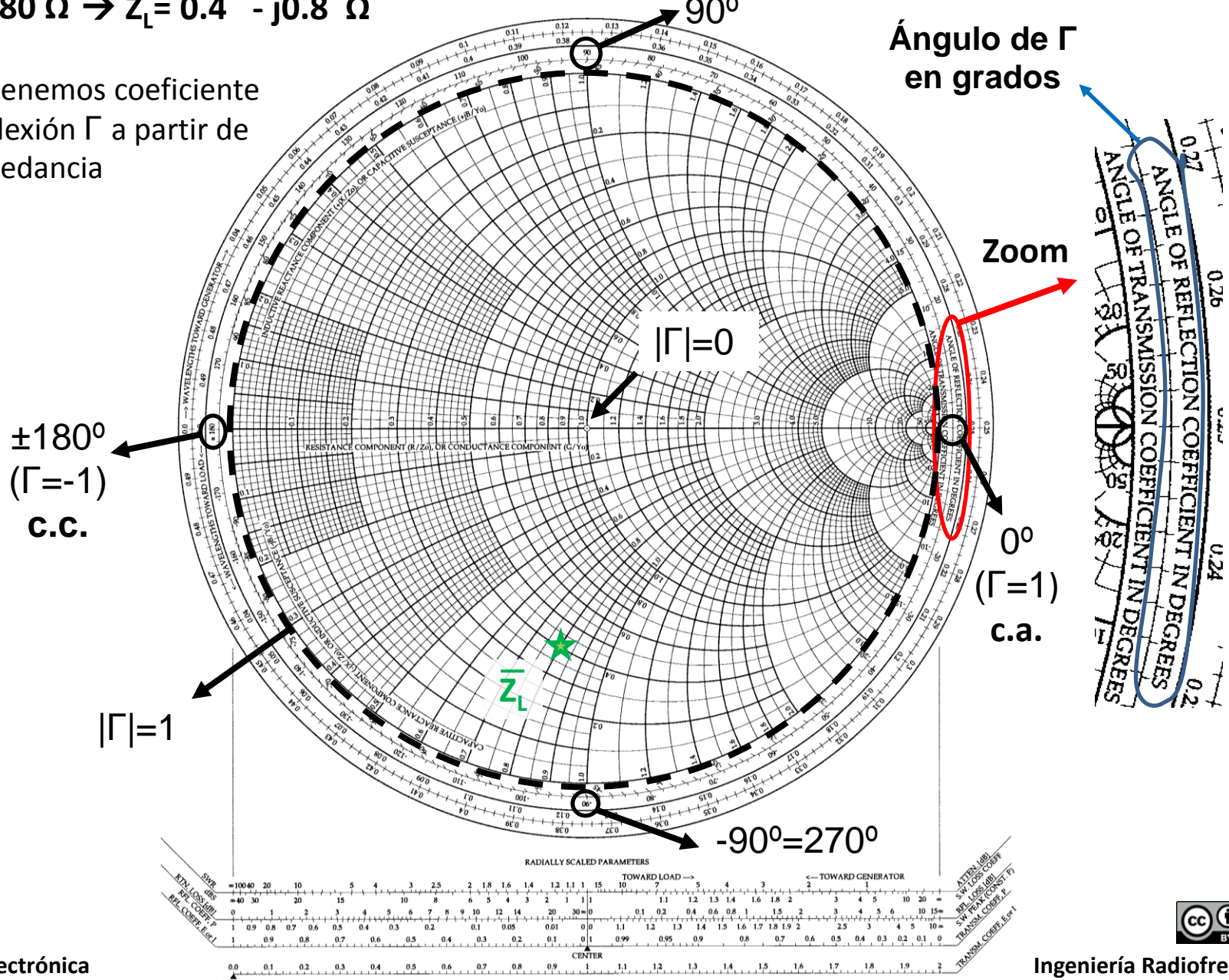
$$Z_L = 40 - j80 \Omega \rightarrow \bar{Z}_L = \boxed{0.4} - j\boxed{0.8} \Omega$$

3. Mapeamos impedancia mediante la intersección del círculo de resistencia constante y el de reactancia constante



$$Z_L = 40 - j80 \Omega \rightarrow \bar{Z}_L = 0.4 - j0.8 \Omega$$

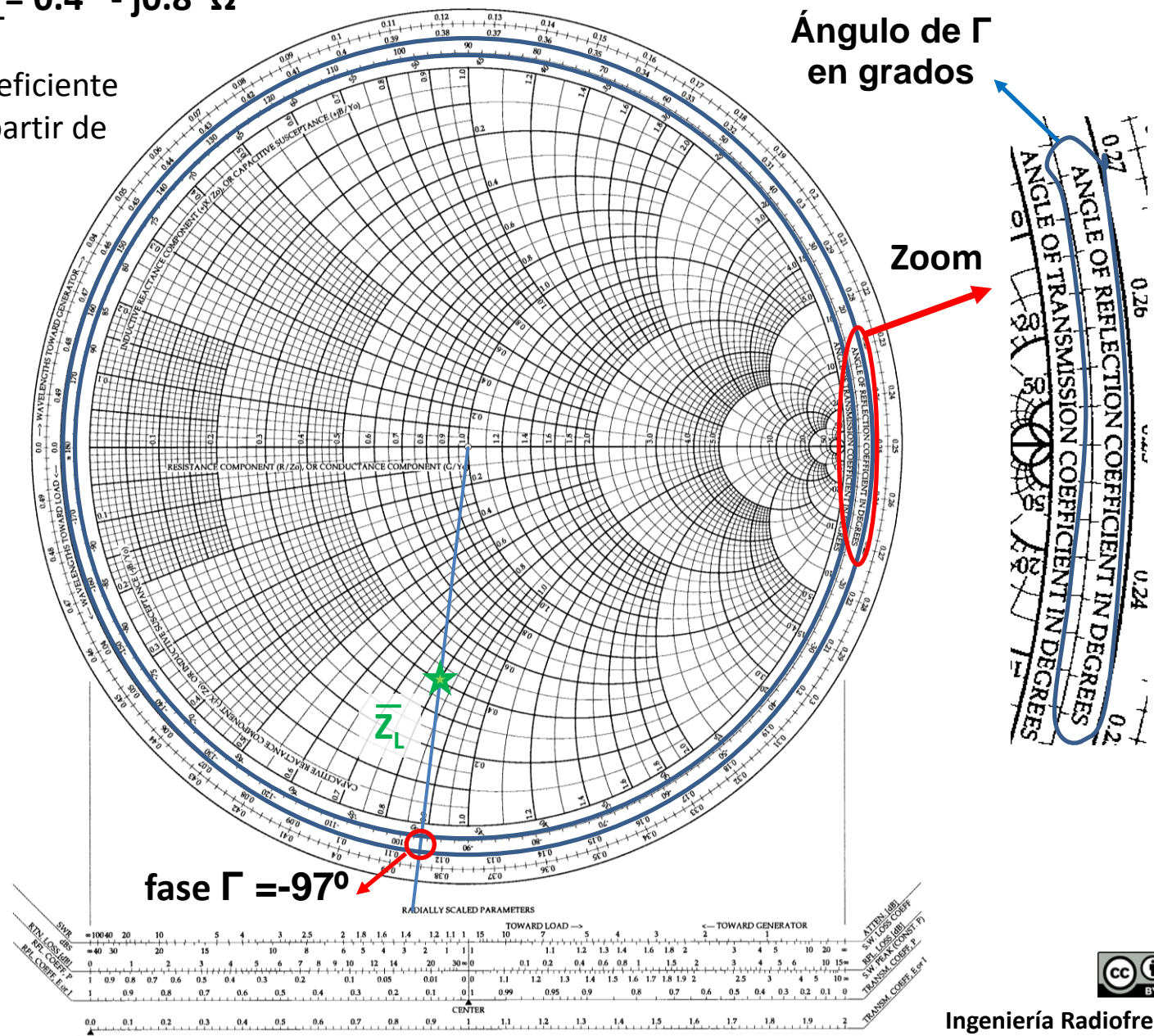
4. Obtenemos coeficiente de reflexión Γ a partir de la impedancia



$$Z_L = 40 - j80 \Omega \rightarrow \bar{Z}_L = 0.4 - j0.8 \Omega$$

4. Obtenemos coeficiente de reflexión Γ a partir de la impedancia

Fase del coeficiente de reflexión Γ en nuestro caso



$$Z_L = 40 - j80 \Omega \rightarrow \bar{Z}_L = 0.4 - j0.8 \Omega$$

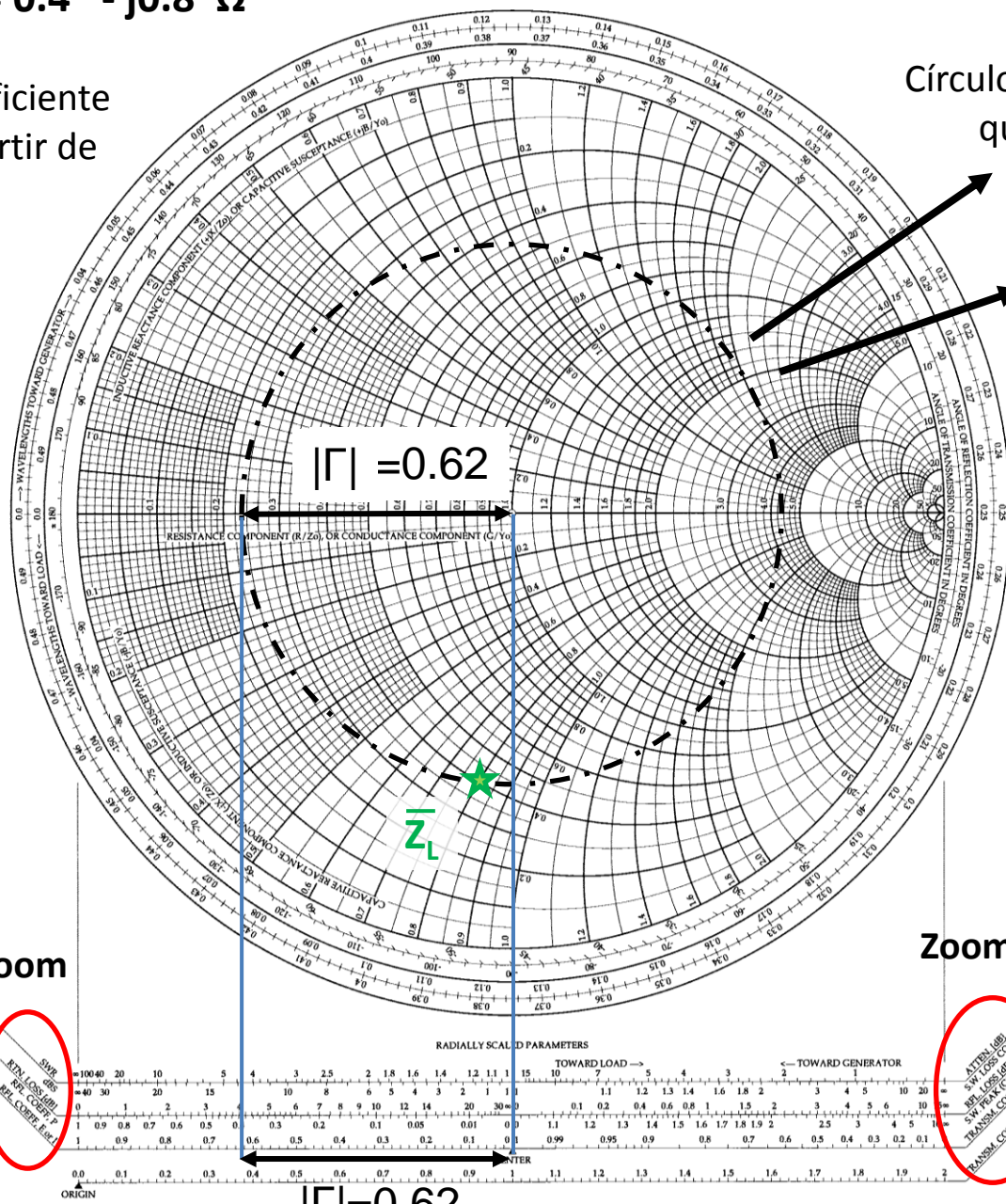
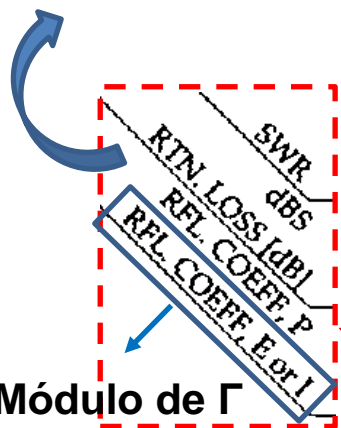
4. Obtenemos coeficiente de reflexión Γ a partir de la impedancia

Módulo del coeficiente de reflexión Γ

$$\Gamma_P \rightarrow RL = -10\log|\Gamma_P|$$

$$\Gamma_{E,I} \rightarrow RL = -20\log|\Gamma_{E,I}|$$

Utilizamos $\Gamma_{E,I}$ (ratio de tensiones)



Círculo centrado en el origen que intersecciona con \bar{Z}_L

Círculo de $|\Gamma|$ constante

$$\Gamma_L = 0.62e^{-j97^\circ}$$

Diagram illustrating the conversion between reflection coefficient parameters:

- ATTEN./dB
- S.W. LOSS (dB)
- REFL. LOSS (dB)
- S.W. PEAK (CONST. P)
- TRANSM. COEFF, E or I
- TRANSM. COEFF, E or I

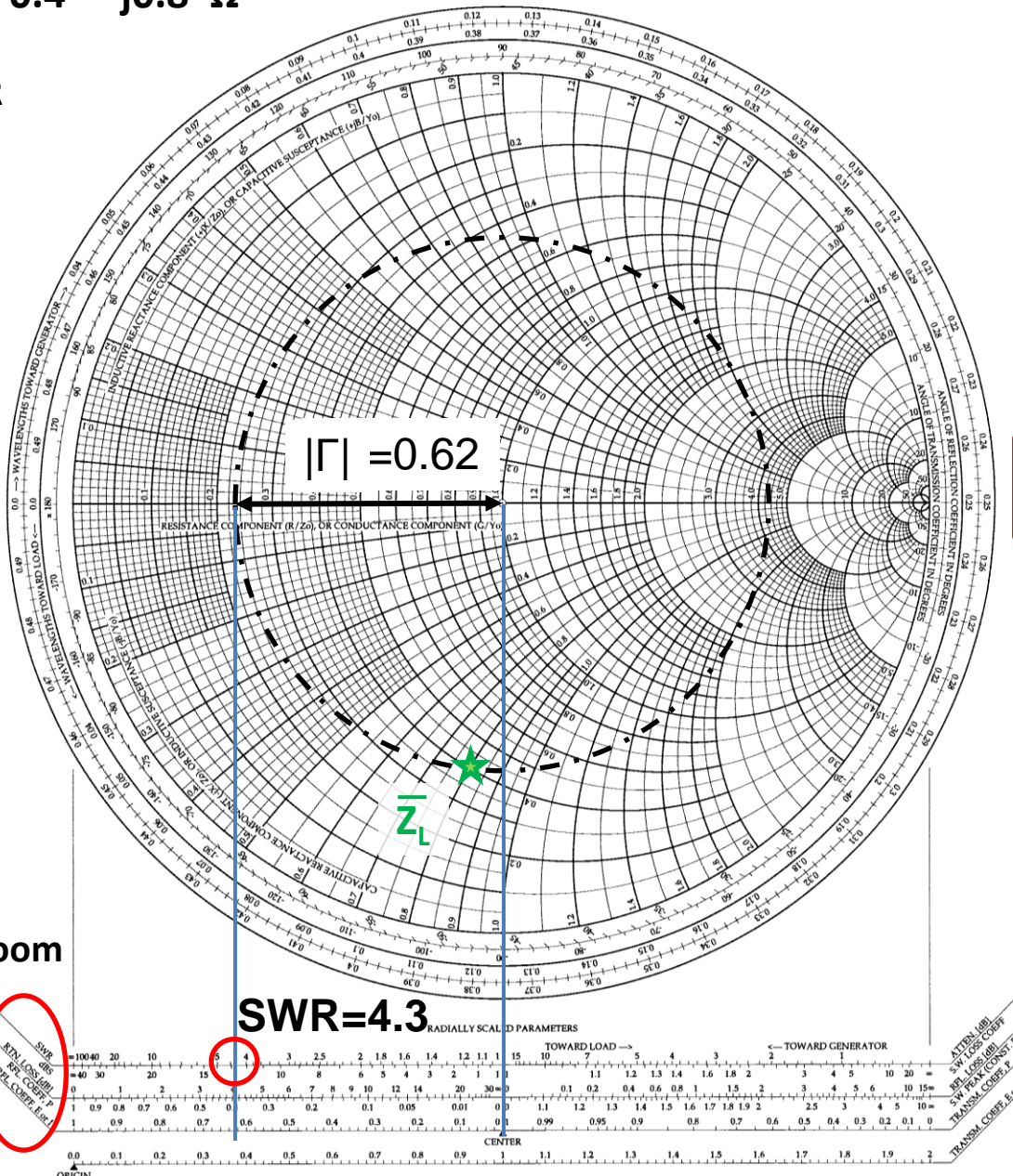


$$Z_L = 40 - j80 \Omega \rightarrow \bar{Z}_L = 0.4 - j0.8 \Omega$$

5. Obtenemos SWR

SWR
dB
RTN LOSS (dBi)
RTN LOSS COEFF, P
RFL COEFF, P
RFL COEFF, E or I

Zoom



SWR=4.3

$$\Gamma_L = 0.62e^{-j97^\circ}$$

$$Z_L = 40 - j80 \Omega \rightarrow \bar{Z}_L = 0.4 - j0.8 \Omega$$

6. Obtenemos admitancia normalizada \bar{Y}_L

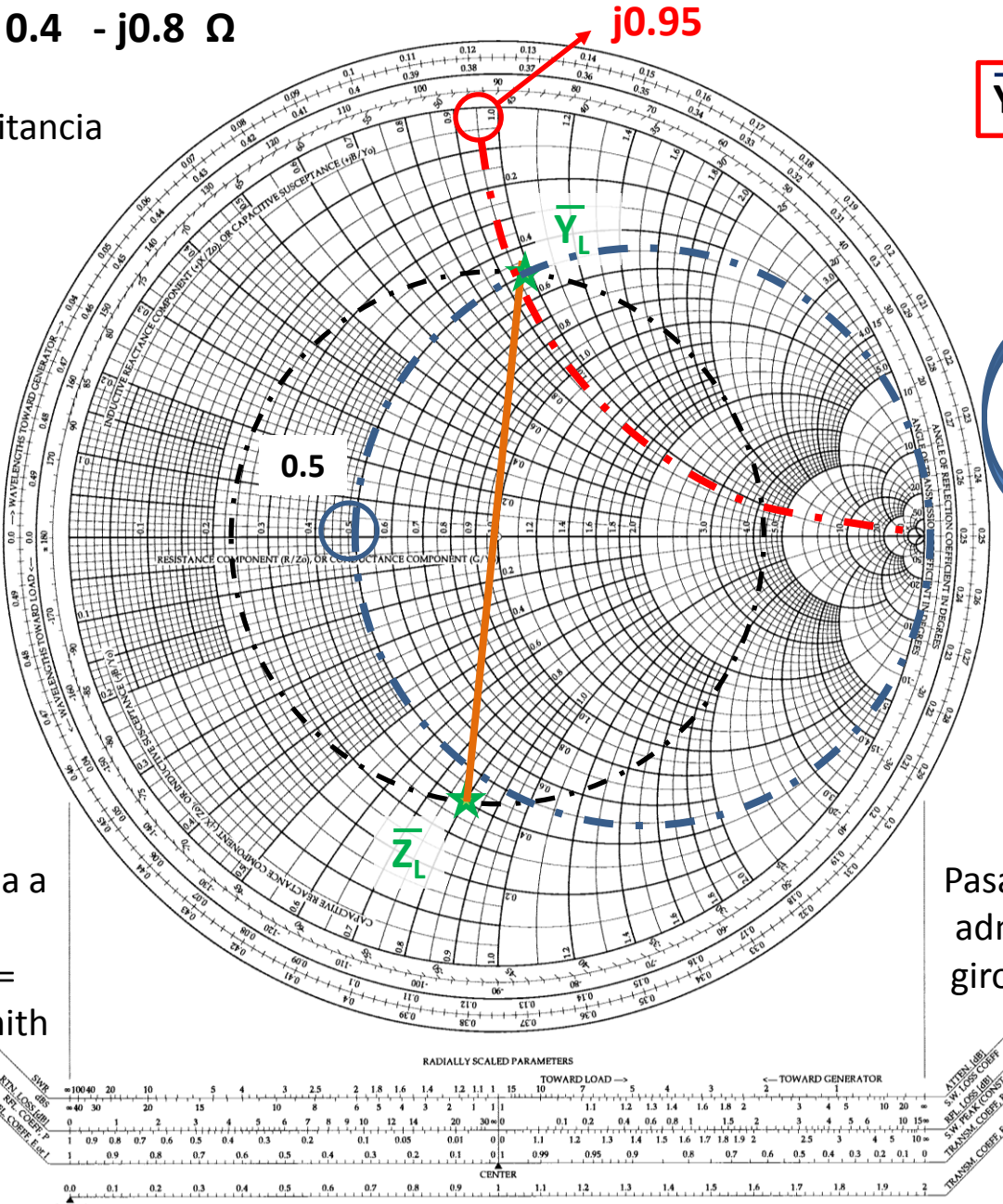
Deducción I:

Una línea $\lambda/4$ transforma impedancia normalizada a su inversa:

$$Z_{in} \Big|_{\lambda/4} = \frac{Z_0^2}{Z_L}$$

$$\bar{Z}_{in} \Big|_{\lambda/4} = \frac{1}{\bar{Z}_L}$$

Pasamos de impedancia a admitancia desplazándonos $\lambda/4 = 0.25\lambda$ en la carta de Smith (media carta Smith)



$$\bar{Y}_L = 0.5 + j0.95 \Omega$$

Deducción II:

$$\bar{Y}_L = \frac{1}{\bar{Z}_L}$$

$$\Gamma_L = \frac{\bar{Z}_L - 1}{\bar{Z}_L + 1} =$$

$$= \frac{\bar{Y}_L - 1}{\bar{Y}_L + 1}$$

Pasamos de impedancia a admitancia mediante un giro de 180° en Γ (media carta Smith)



$$Z_L = 40 - j80 \Omega \rightarrow \bar{Z}_L = 0.4 - j0.8 \Omega$$

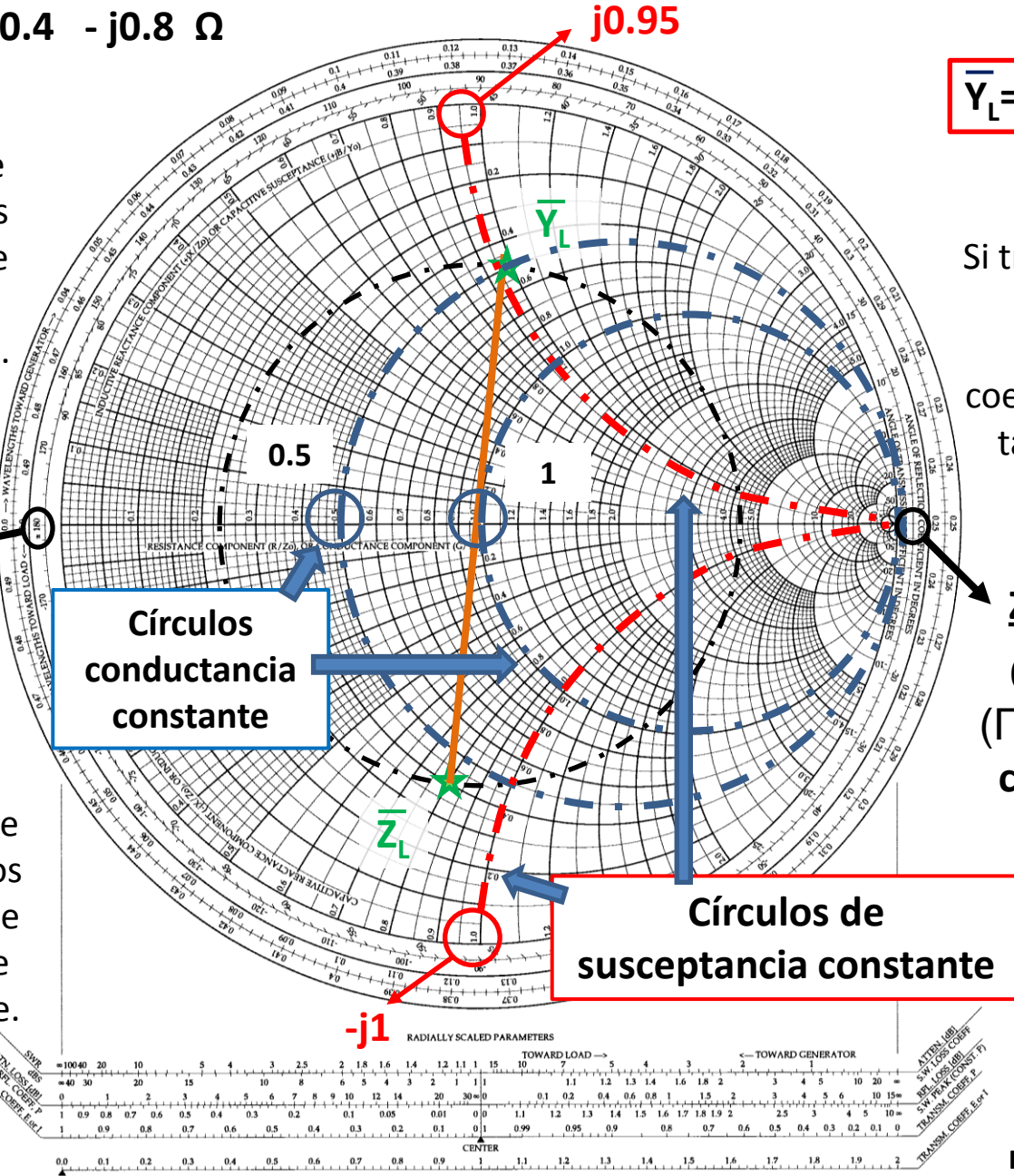
Consecuencias I:

Si trabajamos mediante admitancias, los círculos de resistencia constante pasan a ser círculos de conductancia constante.

| | |
|-----------------|----------------|
| $Z:$ | $Y:$ |
| $\pm 180^\circ$ | 0° |
| $(\Gamma = -1)$ | $(\Gamma = 1)$ |
| C.C. | c.a. |

Consecuencias II:

Si trabajamos mediante admitancias, los círculos de reactancia constante pasan a ser círculos de susceptancia constante.



$$\bar{Y}_L = 0.5 + j0.95 \Omega$$

Consecuencias III:

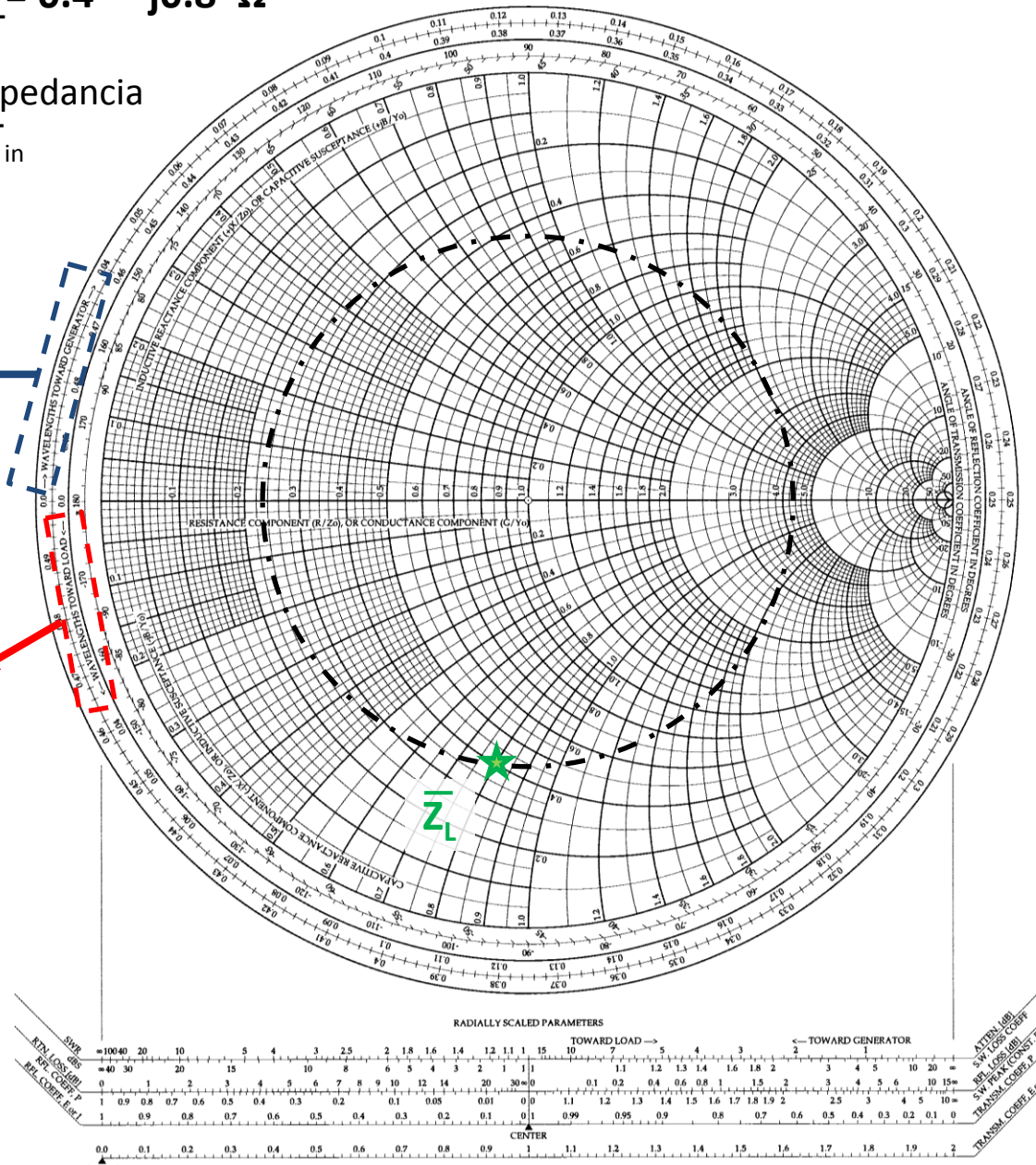
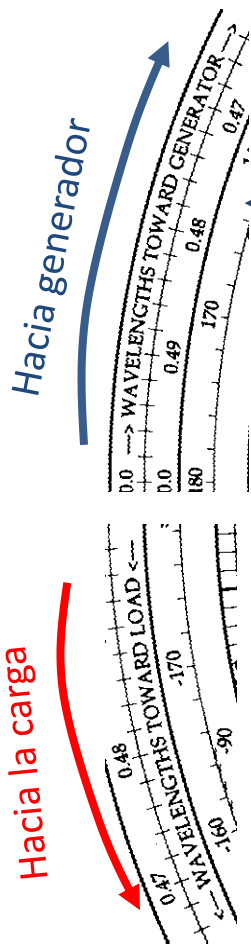
Si trabajamos mediante admitancias, la polaridad del coeficiente de reflexión también se invierte

c.a. \rightarrow c.c.
c.c. \rightarrow c.a.

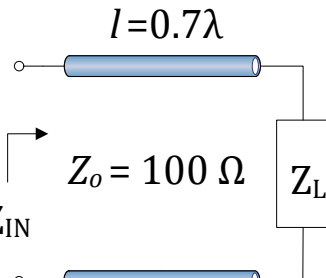
| | |
|----------------|-----------------|
| $Z:$ | $Y:$ |
| 0° | $\pm 180^\circ$ |
| $(\Gamma = 1)$ | $(\Gamma = -1)$ |
| c.a. | c.c. |

$$Z_L = 40 - j80 \Omega \rightarrow \bar{Z}_L = 0.4 - j0.8 \Omega$$

7. Obtenemos impedancia de entrada \bar{Z}_{in} y Γ_{in}



Hacia la carga



Hacia generador



$$Z_L = 40 - j80 \Omega \rightarrow \bar{Z}_L = 0.4 - j0.8 \Omega$$

$$0.384\lambda + 0.2\lambda = 0.584\lambda = 0.584\lambda - 0.5\lambda = 0.084\lambda$$

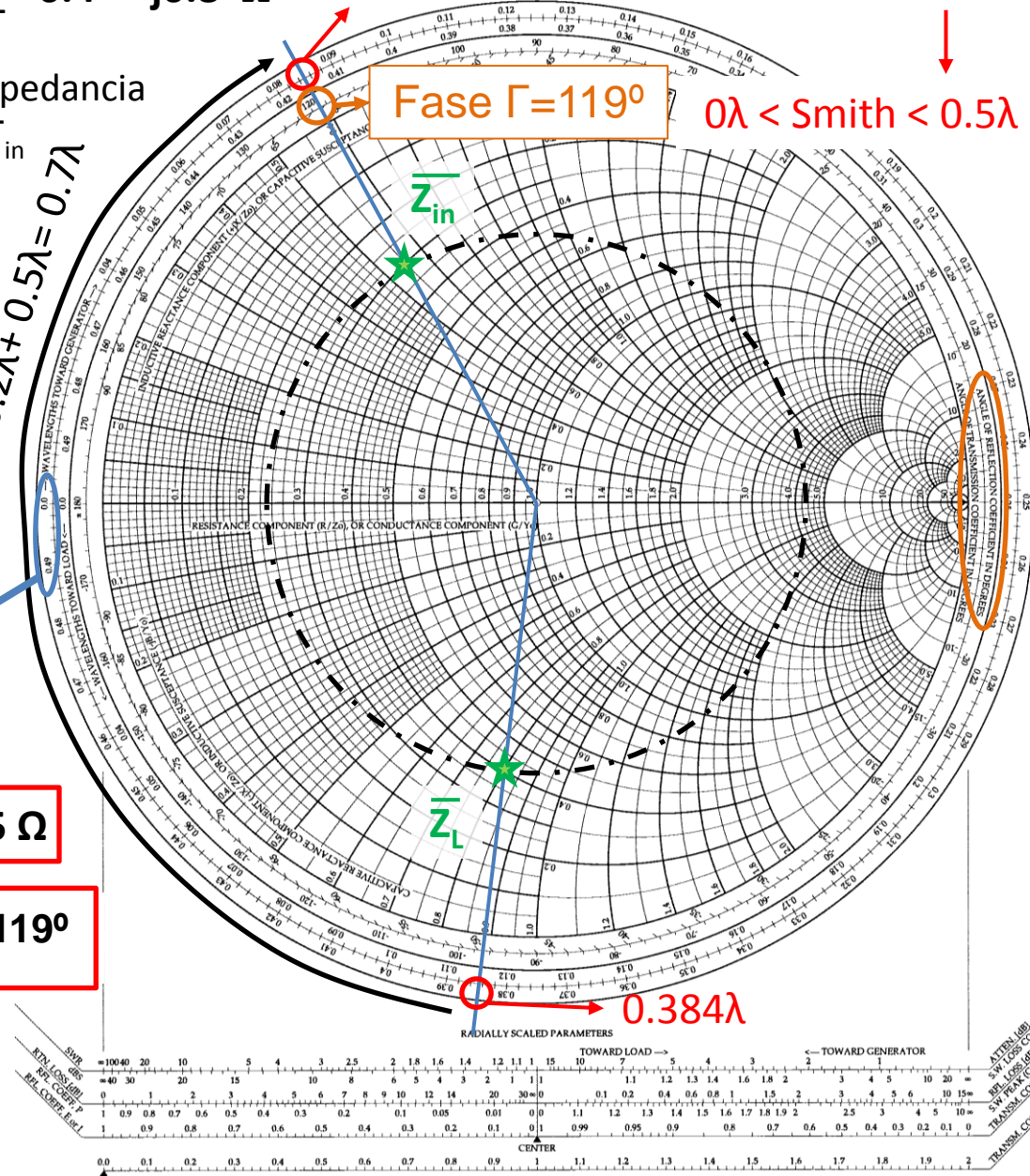
7. Obtenemos impedancia de entrada \bar{Z}_{in} y Γ_{in}

$$0.2\lambda = 0.2\lambda + 0.5\lambda = 0.7\lambda$$

$j0.5\lambda$ pasa a ser 0λ !

$$\bar{Z}_{in} = 0.3 + j0.55 \Omega$$

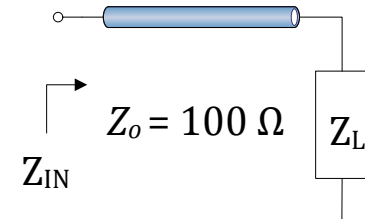
$$\Gamma_{in} = 0.62e^{j119^\circ}$$



0.5λ = Vuelta completa en Smith

$$0.2\lambda + 0.5\lambda$$

$$l = 0.7\lambda$$



Hacia generador



$$Z_L = 40 - j80 \Omega \rightarrow \bar{Z}_L = 0.4 - j0.8 \Omega$$

8. Distancia desde la carga hasta el primer mínimo de voltaje



Cortocircuito

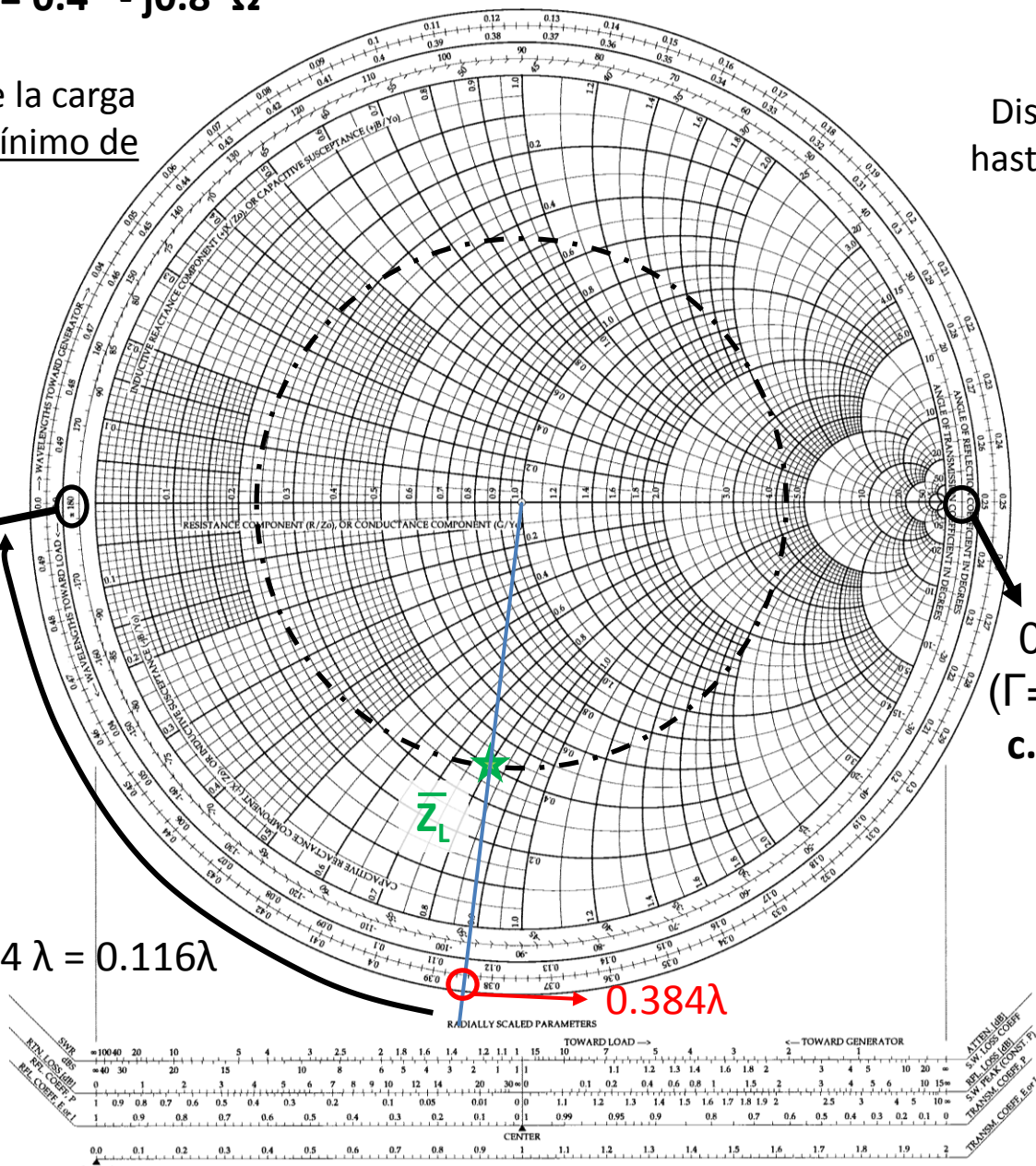
$\pm 180^\circ$
($\Gamma = -1$)
c.c.

$$d_{cc} = 0.5\lambda - 0.384\lambda = 0.116\lambda$$

Distancia desde la carga hasta el primer mínimo de voltaje:

$$d_{cc} = 0.116\lambda$$

0°
($\Gamma = 1$)
c.a.



$$Z_L = 40 - j80 \Omega \rightarrow \bar{Z}_L = 0.4 - j0.8 \Omega$$

9. Distancia desde la carga hasta el primer máximo de voltaje

$$d_1 = 0.25\lambda$$

Distancia desde la carga hasta el primer máximo de voltaje

$$d_{ca} = d_{cc} + 0.25\lambda = 0.366\lambda$$

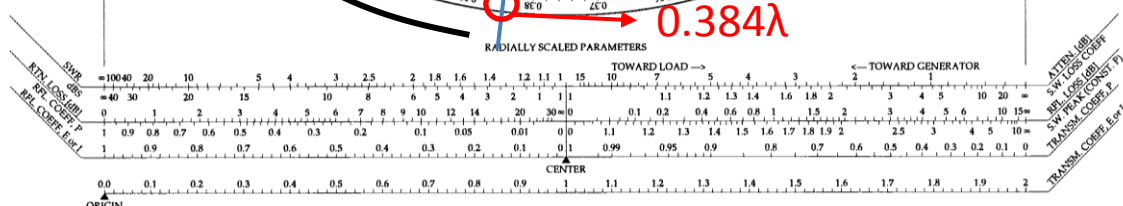
Círculo abierto

$$\pm 180^\circ (\Gamma = -1) \text{ c.c.}$$

$$0^\circ (\Gamma = 1) \text{ c.a.}$$

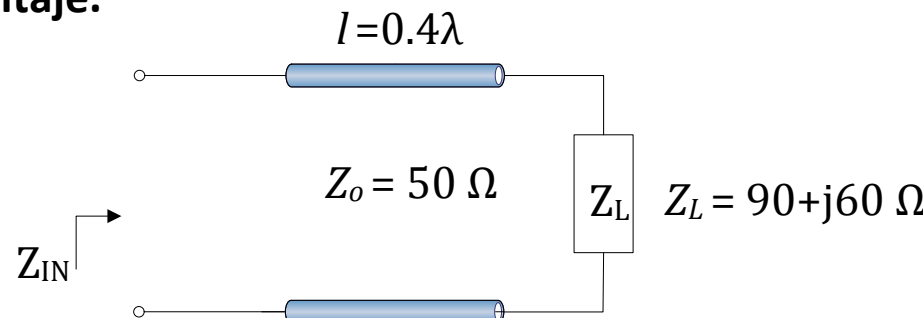
$$d_{cc} = 0.5\lambda - 0.384\lambda = 0.116\lambda$$

$$0.384\lambda$$



Lista 1: Problema 7

7. Utilizar la carta de Smith y encontrar las siguientes magnitudes para la línea de transmisión del circuito inferior: SWR de la línea; Coeficiente de reflexión en la carga; Admitancia de carga; Impedancia de entrada de la línea; Distancia de la carga al primer mínimo y máximo de voltaje.

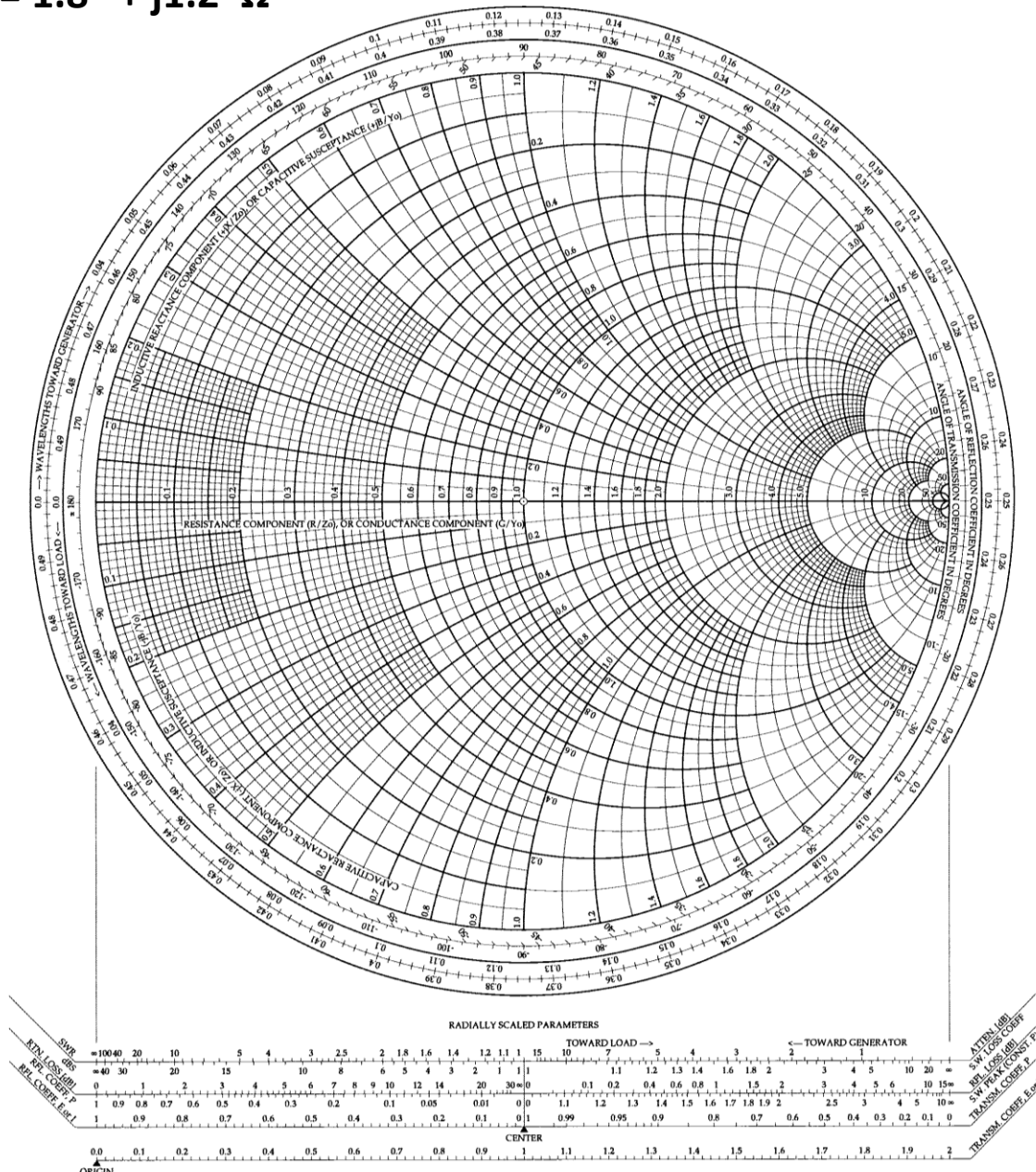


Miguel Durán-Sindreu



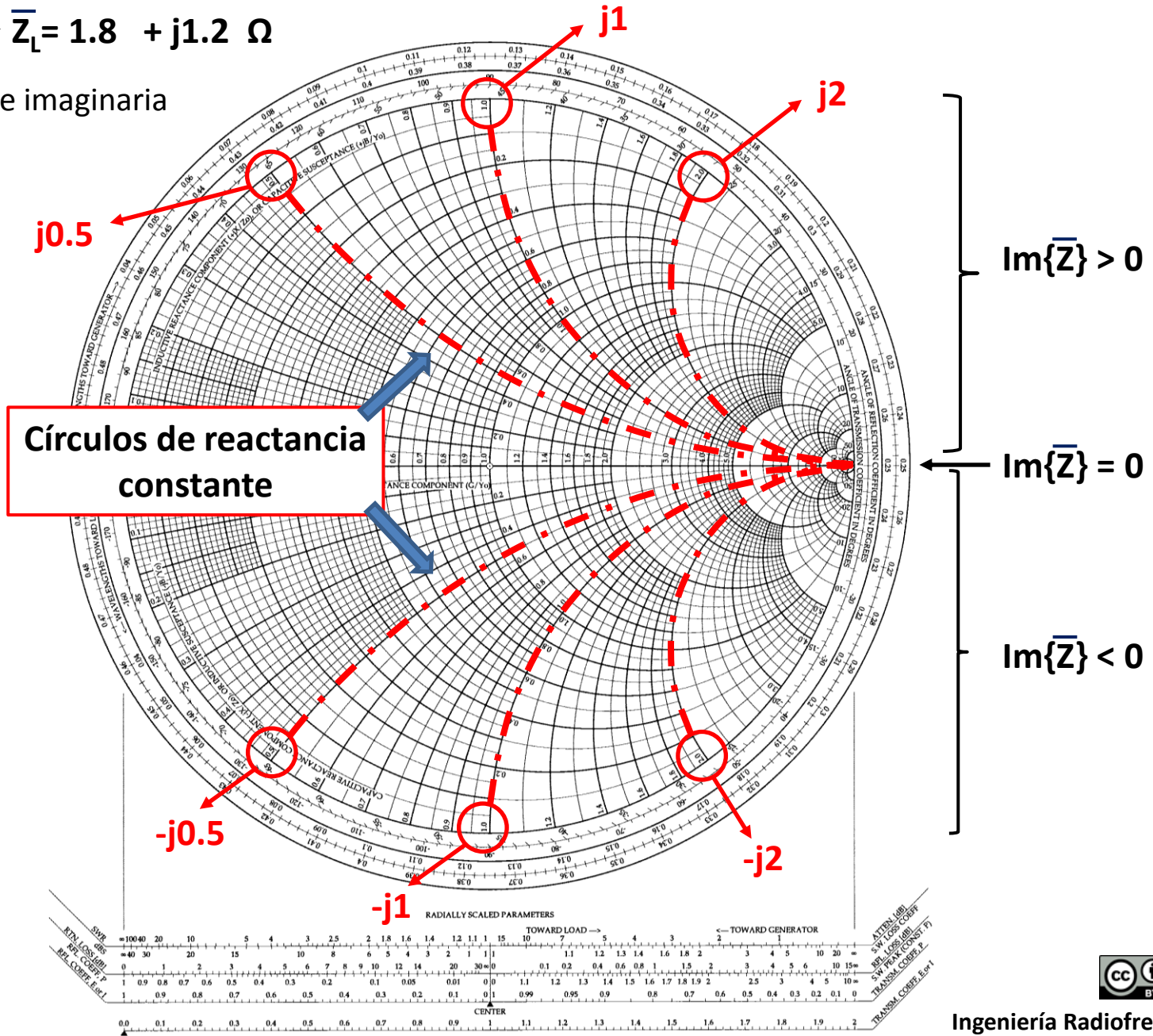
$$Z_L = 90 + j60 \Omega \rightarrow \bar{Z}_L = 1.8 + j1.2 \Omega$$

$$Z_0 = 50 \Omega$$



$$Z_L = 90 + j60 \Omega \rightarrow \bar{Z}_L = 1.8 + j1.2 \Omega$$

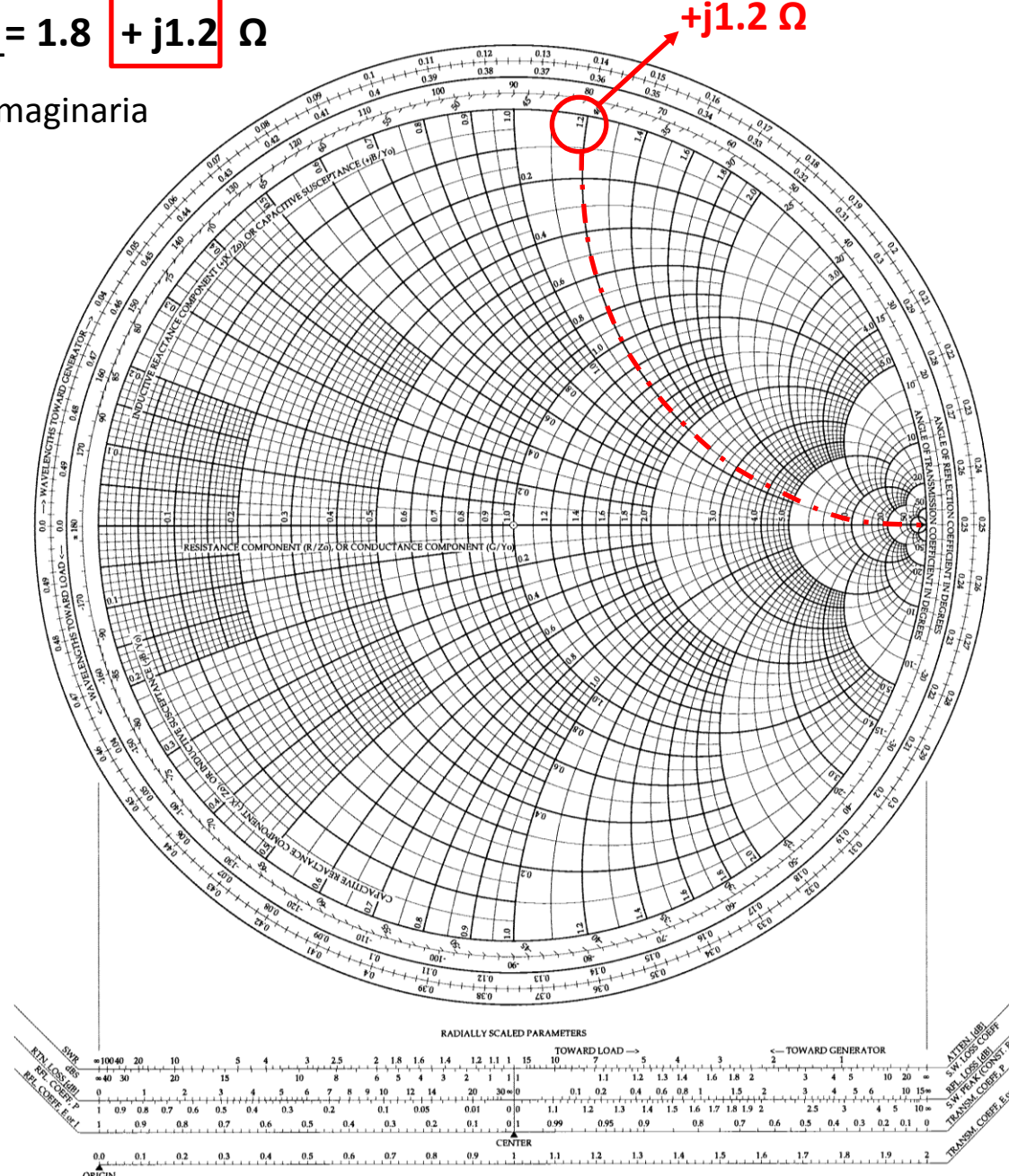
1. Mapeamos parte imaginaria (reactancia)



$$Z_L = 90 + j60 \Omega \rightarrow \bar{Z}_L = 1.8 + j1.2 \Omega$$

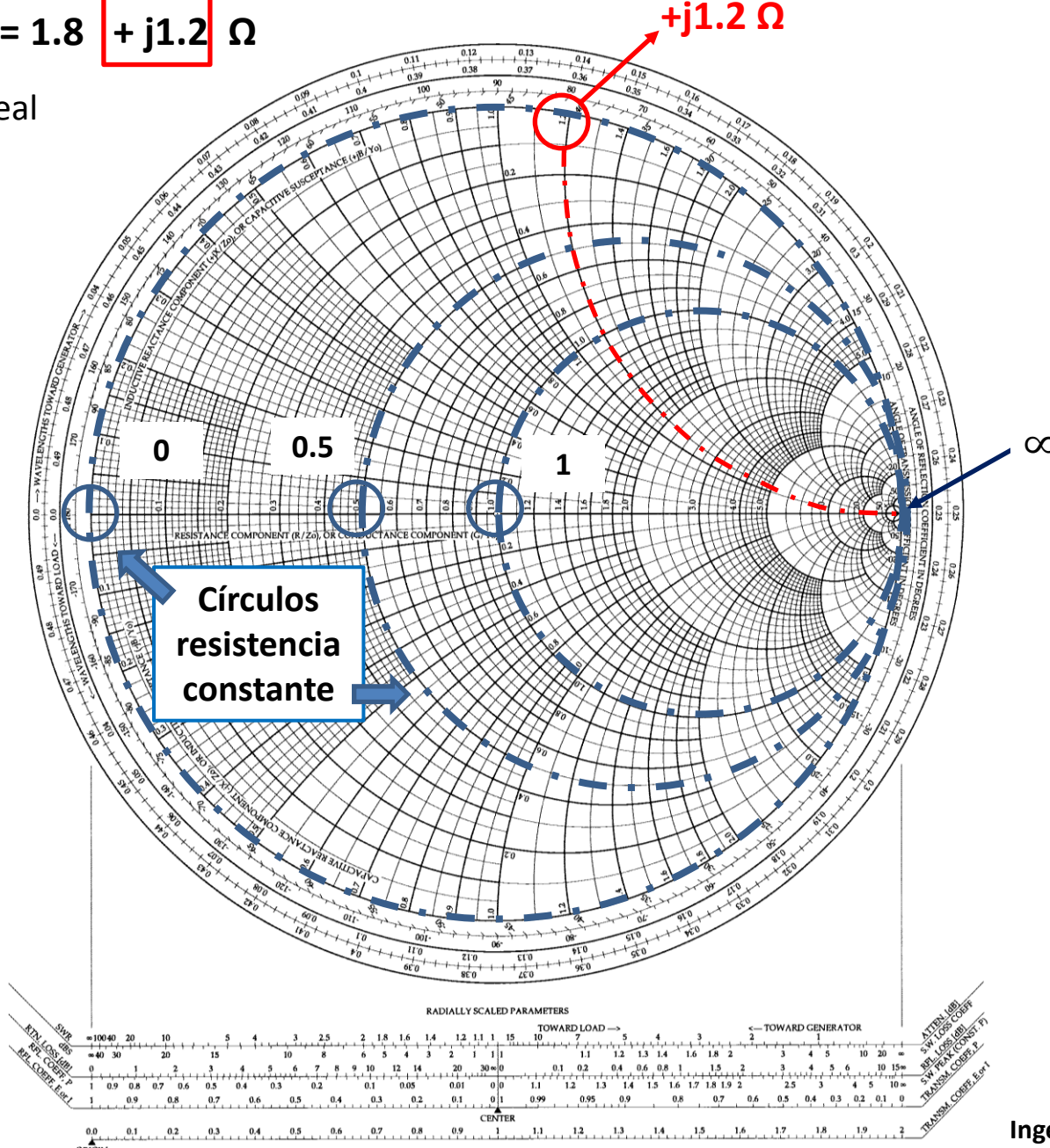
1. Mapeamos parte imaginaria (reactancia)

En nuestro caso:



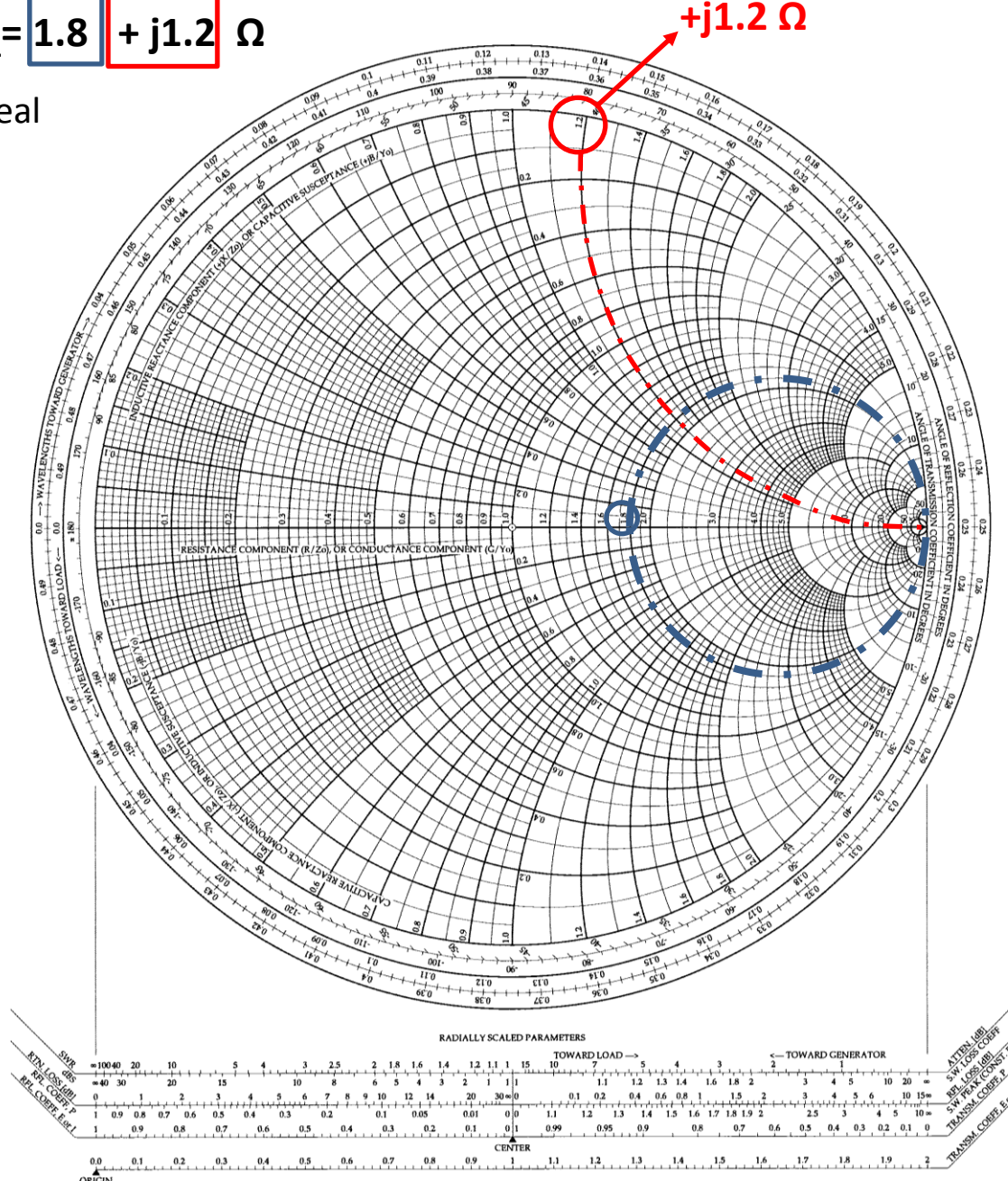
$$Z_L = 90 + j60 \Omega \rightarrow \bar{Z}_L = 1.8 + j1.2 \Omega$$

2. Mapeamos parte real
(resistencia)



2. Mapeamos parte real (resistencia)

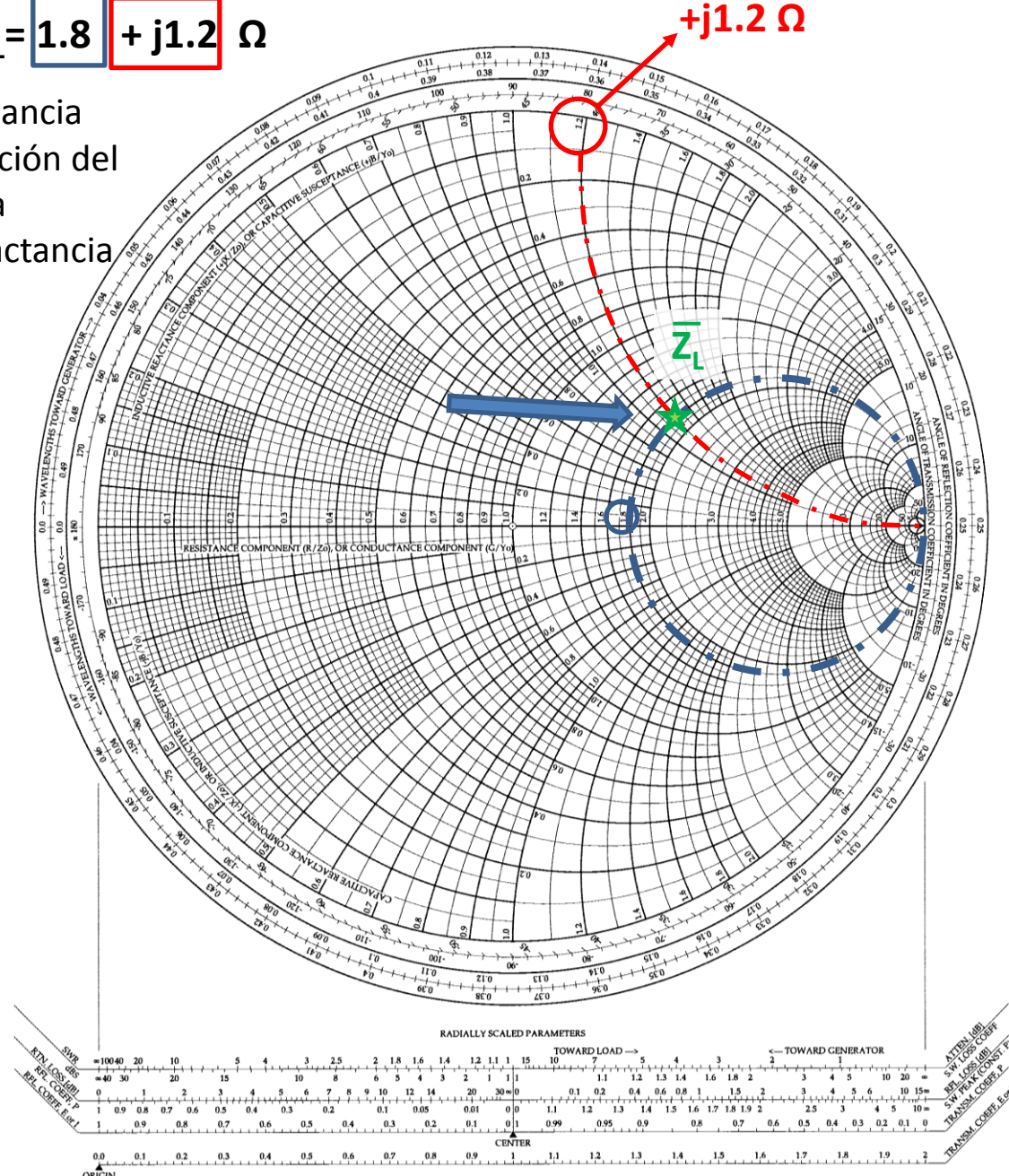
En nuestro caso:



$$Z_L = 90 + j60 \Omega \rightarrow \bar{Z}_L = 1.8 + j1.2 \Omega$$

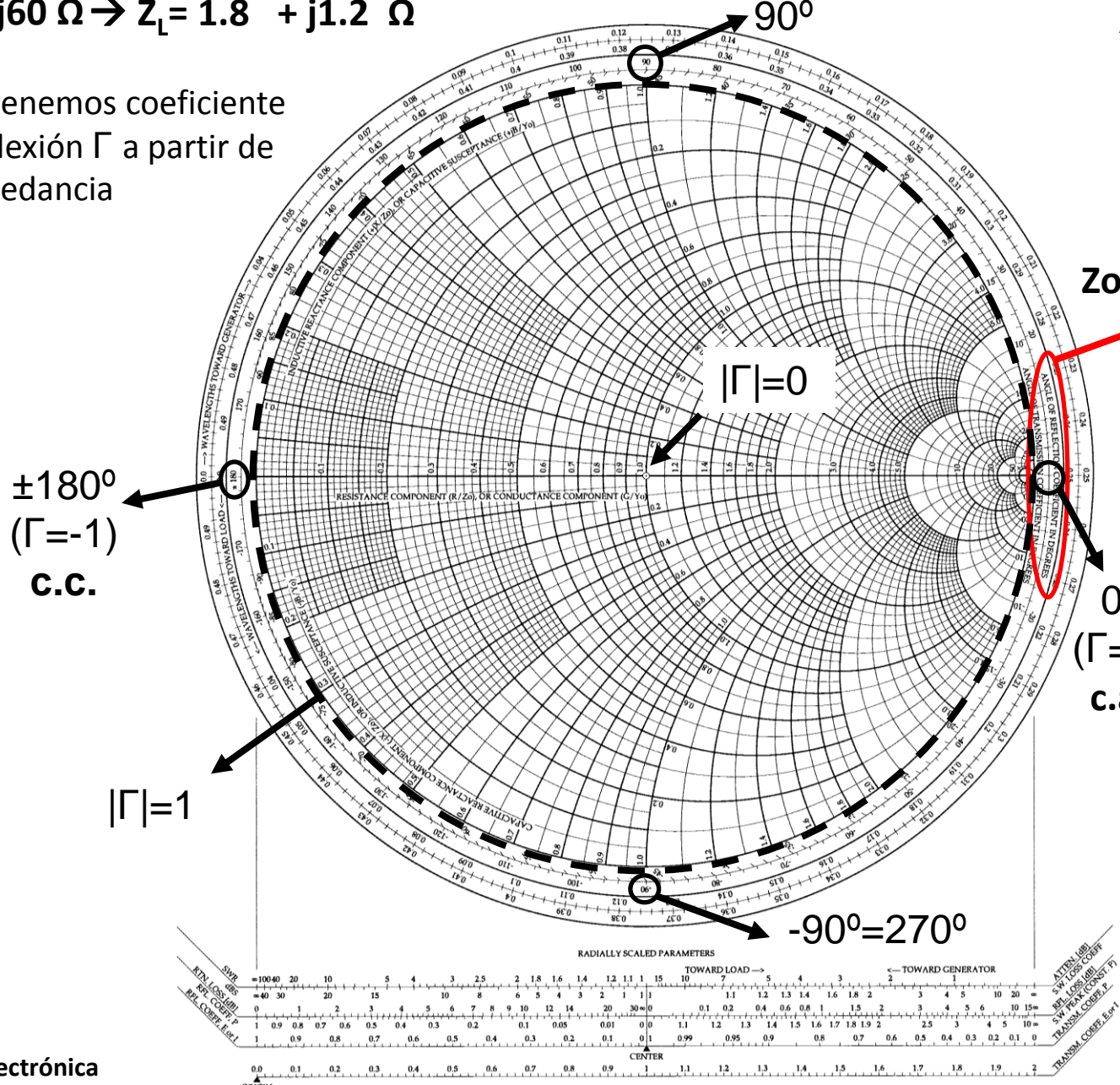
Lista 1, Problema 7

3. Mapeamos impedancia mediante la intersección del círculo de resistencia constante y el de reactancia constante

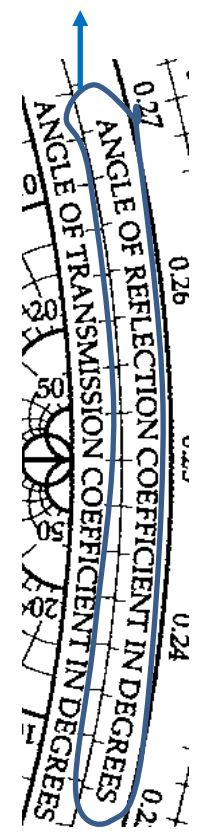


$$Z_L = 90 + j60 \Omega \rightarrow \bar{Z}_L = 1.8 + j1.2 \Omega$$

4. Obtenemos coeficiente de reflexión Γ a partir de la impedancia



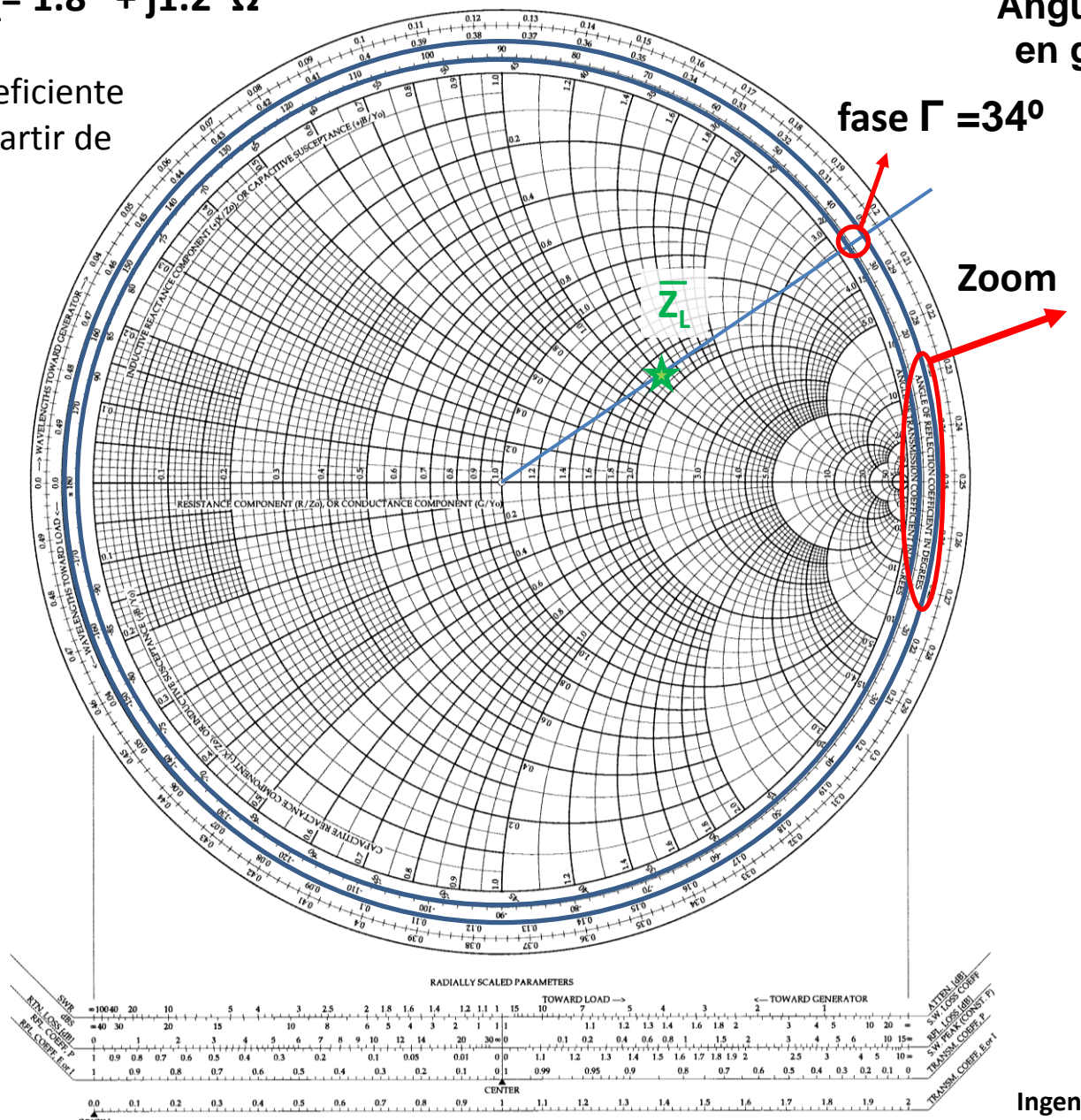
Ángulo de Γ
en grados



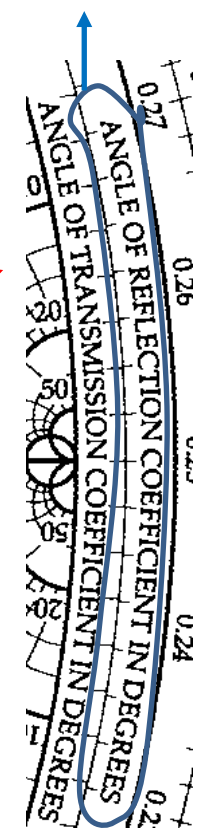
$$Z_L = 90 + j60 \Omega \rightarrow \bar{Z}_L = 1.8 + j1.2 \Omega$$

4. Obtenemos coeficiente de reflexión Γ a partir de la impedancia

Fase del coeficiente de reflexión Γ en nuestro caso



Ángulo de Γ en grados



$$Z_L = 90 + j60 \Omega \rightarrow \underline{\underline{Z}}_L = 1.8 + j1.2 \Omega$$

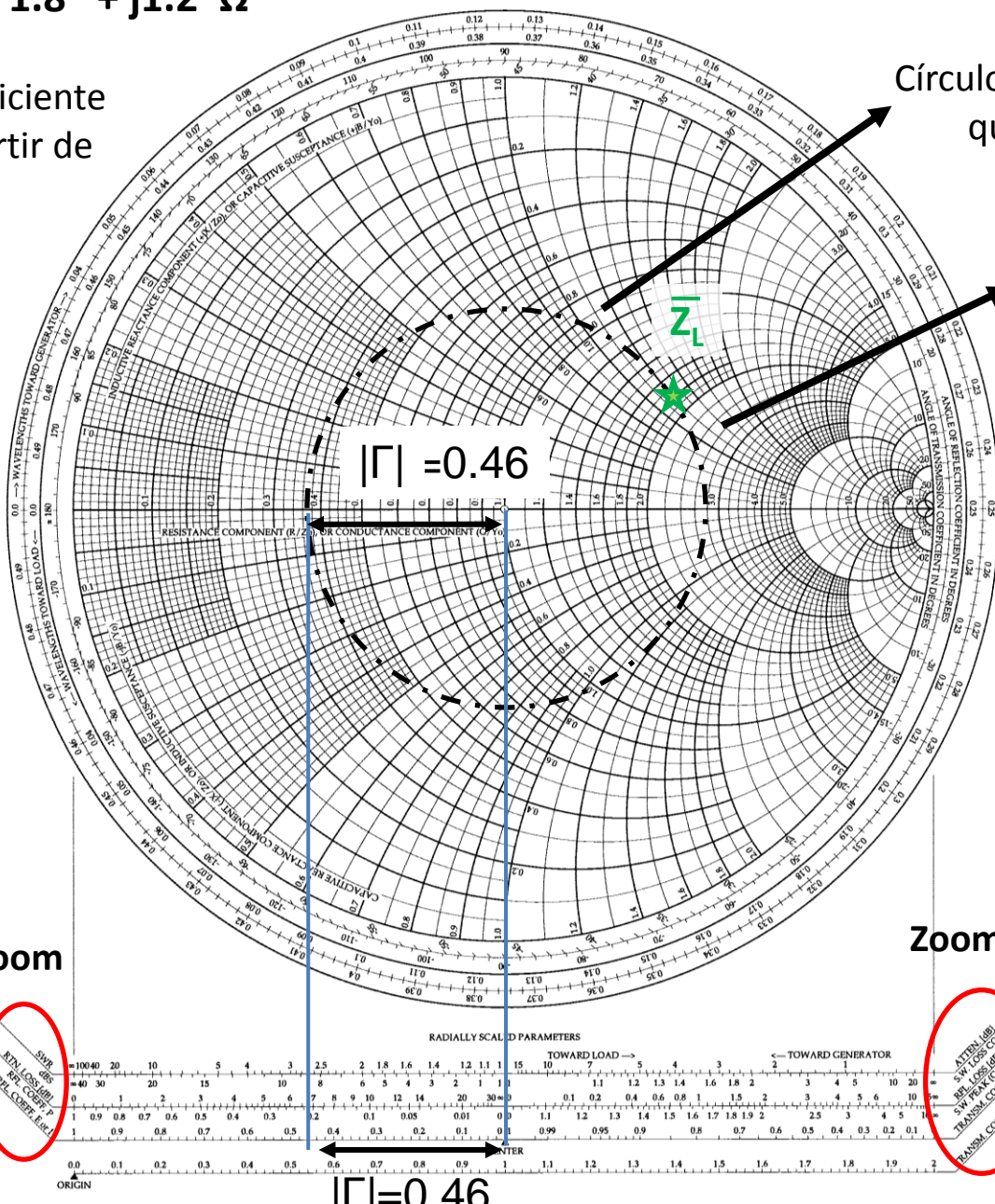
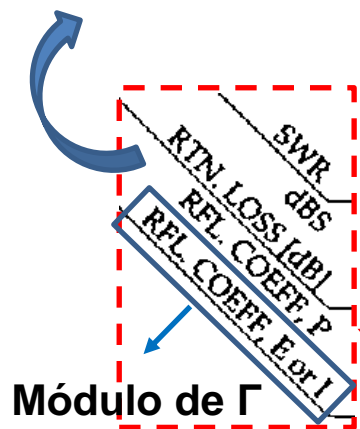
4. Obtenemos coeficiente de reflexión Γ a partir de la impedancia

Módulo del coeficiente de reflexión Γ

$$\Gamma_P \rightarrow RL = -10 \log |\Gamma_P|$$

$$\Gamma_{E,I} \rightarrow RL = -20 \log |\Gamma_{E,I}|$$

Utilizamos $\Gamma_{E,I}$ (ratio de tensiones)



centrado en el origen
e intersecciona con \bar{Z}

Círculo de $|\Gamma|$ constante

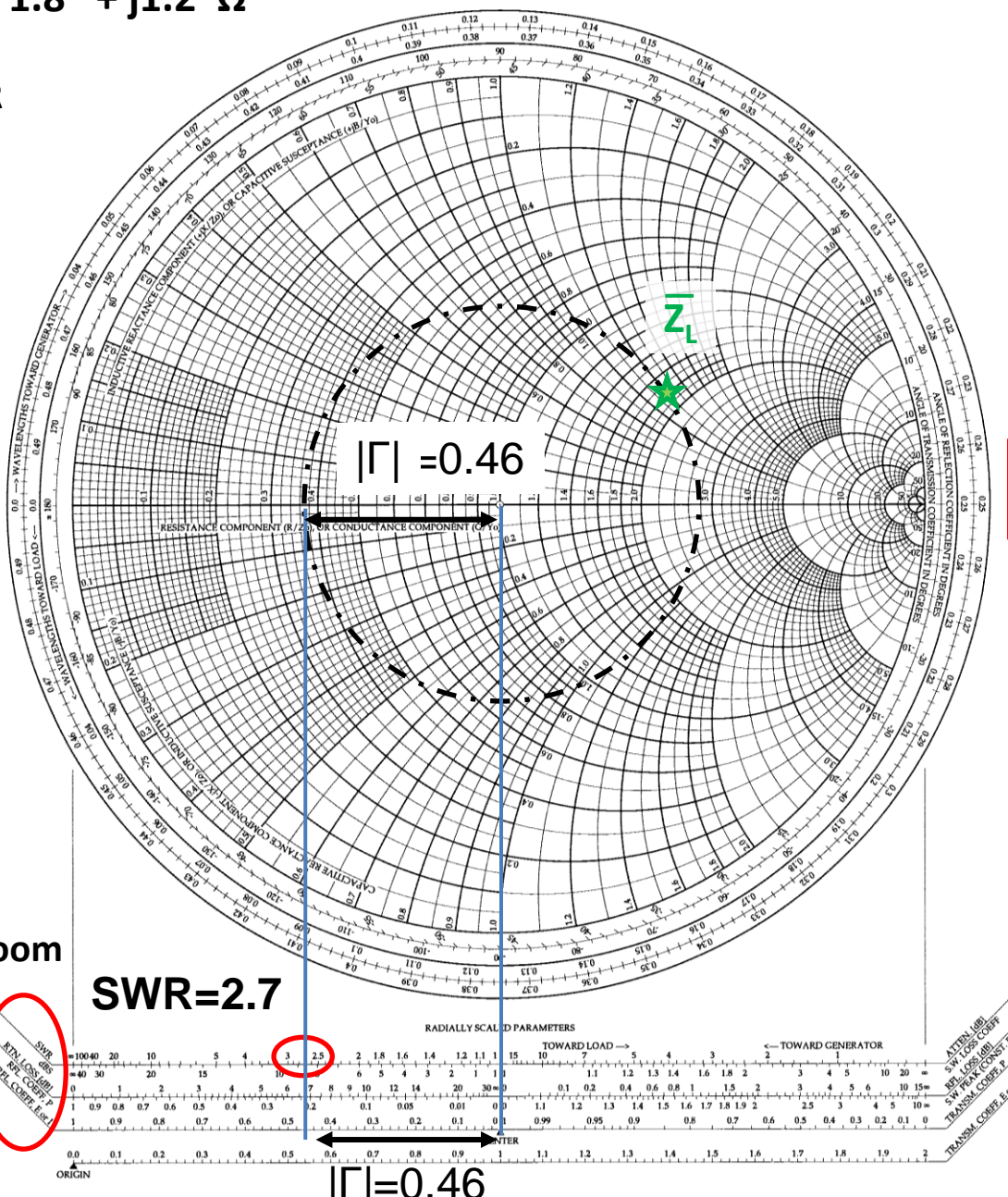
$$|\Gamma_L| = 0.46 e^{j34^\circ}$$

Zoom



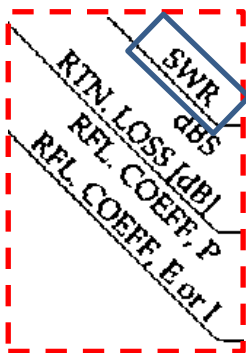
$$Z_L = 90 + j60 \Omega \rightarrow \underline{\underline{Z}}_L = 1.8 + j1.2 \Omega$$

5. Obtenemos SWR



SWR=2.7

$$|\Gamma_L| = 0.46 e^{j34^\circ}$$



Zoom

SWR=2.7

$|\Gamma|=0.46$

$$Z_L = 90 + j60 \Omega \rightarrow \bar{Z}_L = 1.8 + j1.2 \Omega$$

6. Obtenemos admitancia normalizada \bar{Y}_L

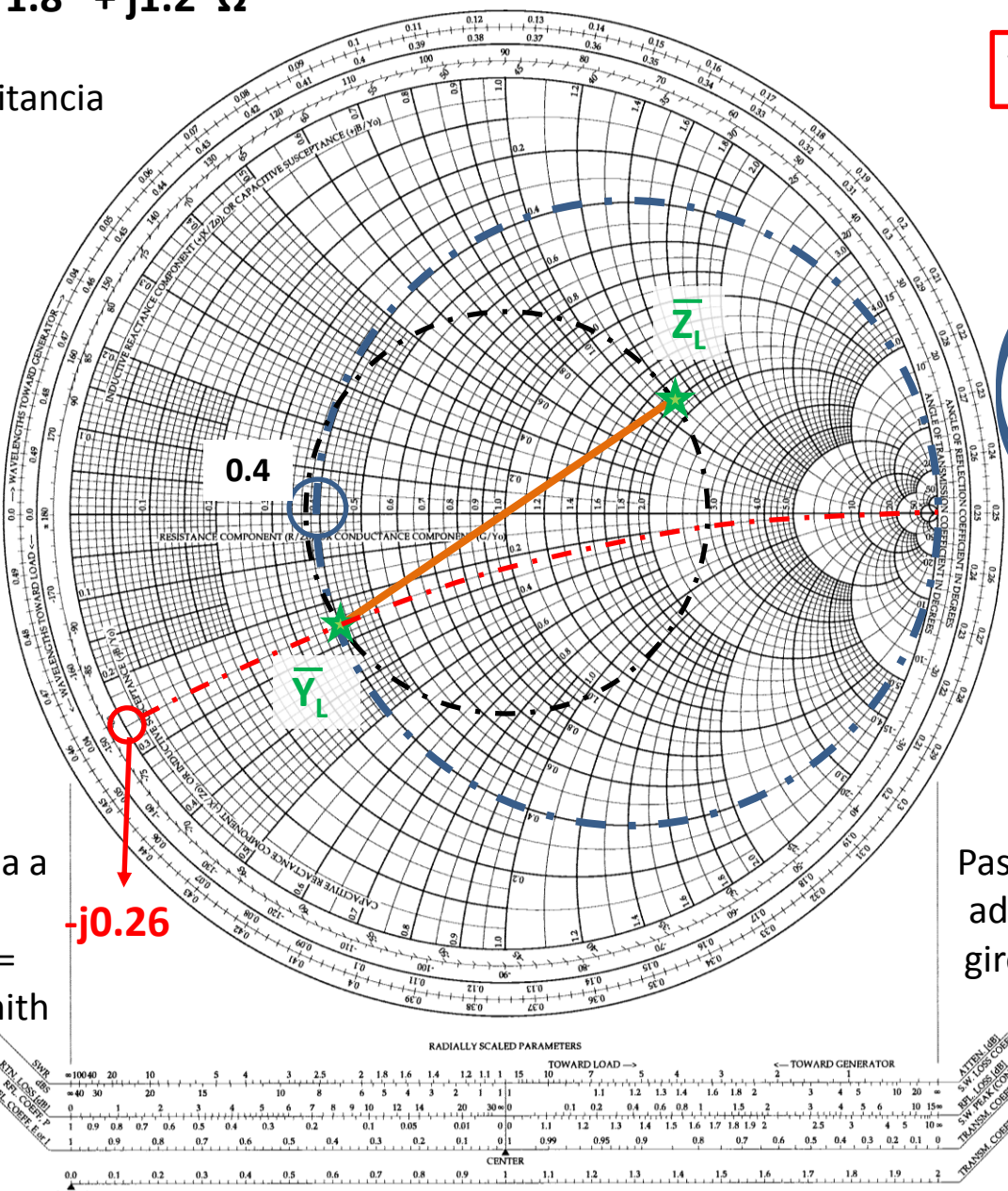
Deducción I:

Una línea $\lambda/4$ transforma impedancia normalizada a su inversa:

$$Z_{in} \Big|_{\lambda/4} = \frac{Z_0^2}{Z_L}$$

$$\bar{Z}_{in} \Big|_{\lambda/4} = \frac{1}{\bar{Z}_L}$$

Pasamos de impedancia a admitancia desplazándonos $\lambda/4 = 0.25\lambda$ en la carta de Smith (media carta Smith)



$$\bar{Y}_L = 0.4 - j0.26 \Omega$$

Deducción II:

$$\bar{Y}_L = \frac{1}{\bar{Z}_L}$$

$$\Gamma_L = \frac{\bar{Z}_L - 1}{\bar{Z}_L + 1} =$$

$$= -\frac{\bar{Y}_L - 1}{\bar{Y}_L + 1}$$

Pasamos de impedancia a admitancia mediante un giro de 180° en Γ (media carta Smith)



$$Z_L = 90 + j60 \Omega \rightarrow \bar{Z}_L = 1.8 + j1.2 \Omega$$

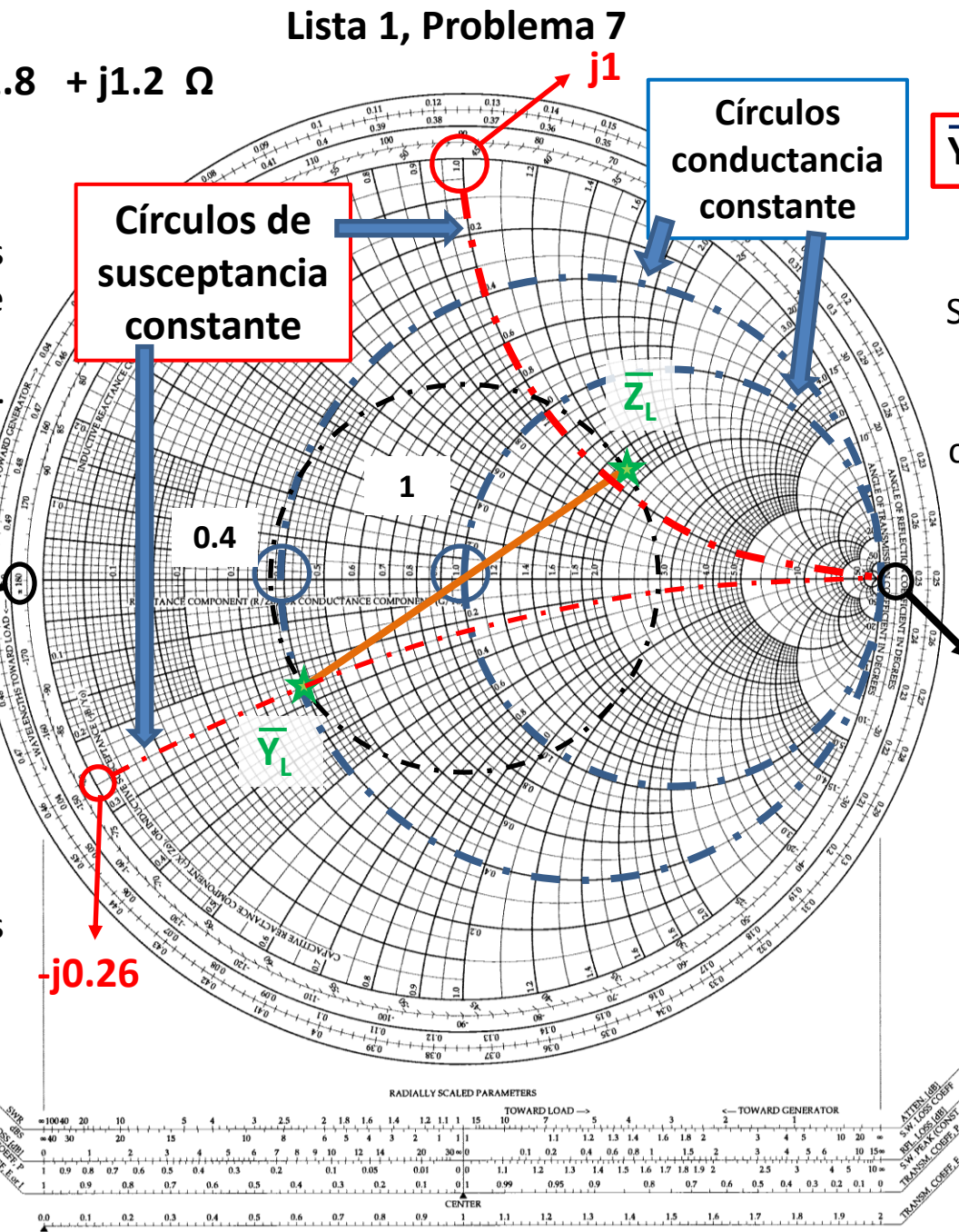
Consecuencias I:

Si trabajamos mediante admitancias, los círculos de resistencia constante pasan a ser círculos de conductancia constante.

$$\begin{array}{ll} \underline{Z}: & \underline{Y}: \\ \pm 180^\circ & 0^\circ \\ (\Gamma = -1) & (\Gamma = 1) \\ \text{c.c.} & \text{c.a.} \end{array}$$

Consecuencias II:

Si trabajamos mediante admitancias, los círculos de reactancia constante pasan a ser círculos de susceptancia constante.



$$\underline{Y}_L = 0.4 - j0.26 \Omega$$

Consecuencias III:

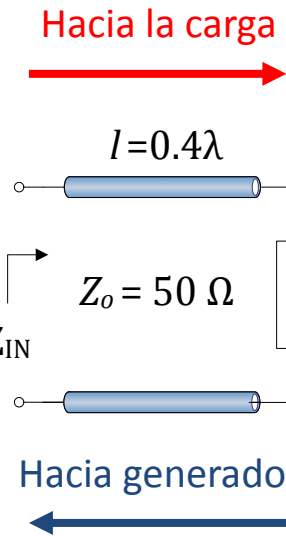
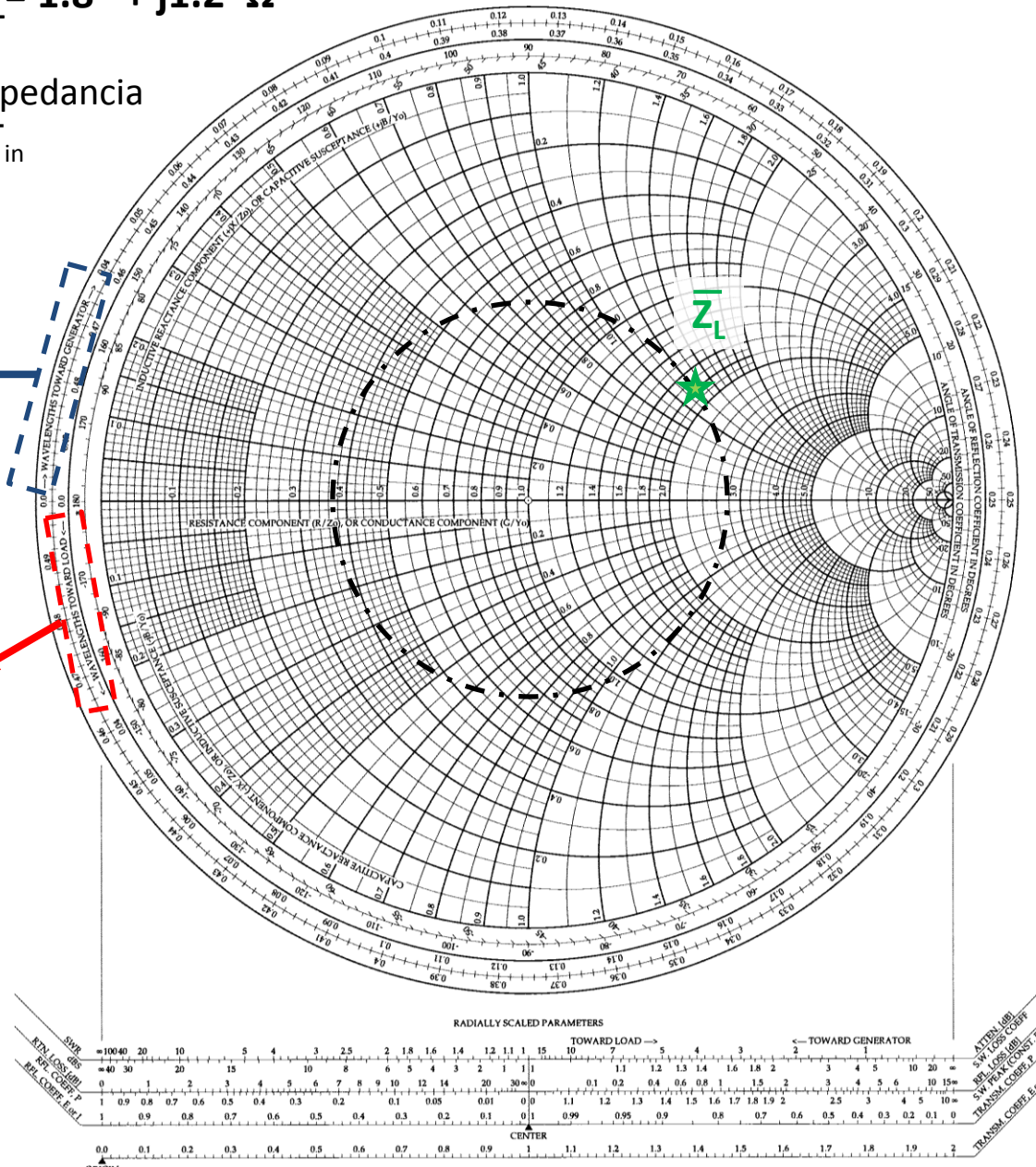
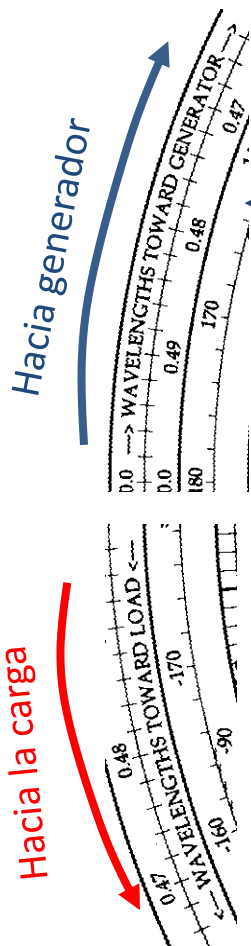
Si trabajamos mediante admitancias, la polaridad del coeficiente de reflexión también se invierte

$$\begin{array}{ll} \underline{Z}: & \underline{Y}: \\ 0^\circ & \pm 180^\circ \\ (\Gamma = 1) & (\Gamma = -1) \\ \text{c.a.} & \text{c.c.} \end{array}$$

$$\begin{array}{ll} \underline{Z}: & \underline{Y}: \\ 0^\circ & \pm 180^\circ \\ (\Gamma = 1) & (\Gamma = -1) \\ \text{c.a.} & \text{c.c.} \end{array}$$

$$Z_L = 90 + j60 \Omega \rightarrow \bar{Z}_L = 1.8 + j1.2 \Omega$$

7. Obtenemos impedancia de entrada \bar{Z}_{in} y Γ_{in}



$$Z_L = 90 + j60 \Omega \rightarrow \bar{Z}_L = 1.8 + j1.2 \Omega$$

$$= 0.205\lambda + 0.4\lambda = 0.605\lambda = 0.5\lambda + 0.105\lambda = 0.105\lambda$$

7. Obtenemos impedancia de entrada \bar{Z}_{in} y Γ_{in}

$$\text{Fase } \Gamma = 106^\circ$$

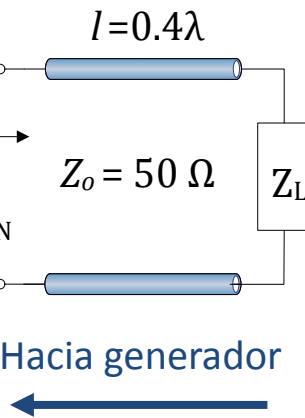
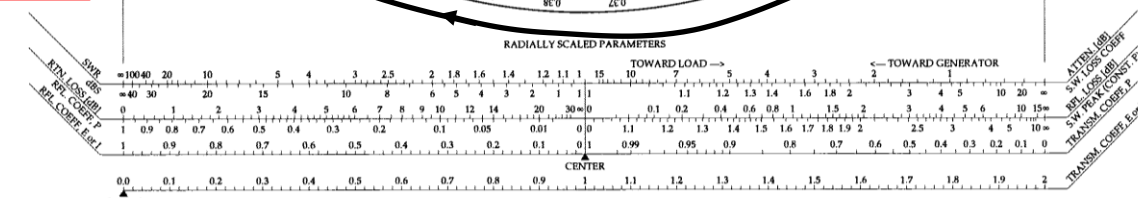
$$0\lambda < \text{Smith} < 0.5\lambda$$

$$0.4\lambda$$

$j0.5\lambda$ pasa a ser 0λ !

$$\bar{Z}_{in} = 0.55 + j0.62 \Omega$$

$$\Gamma_{in} = 0.46 e^{j106^\circ}$$



0.5 λ = Vuelta completa en Smith

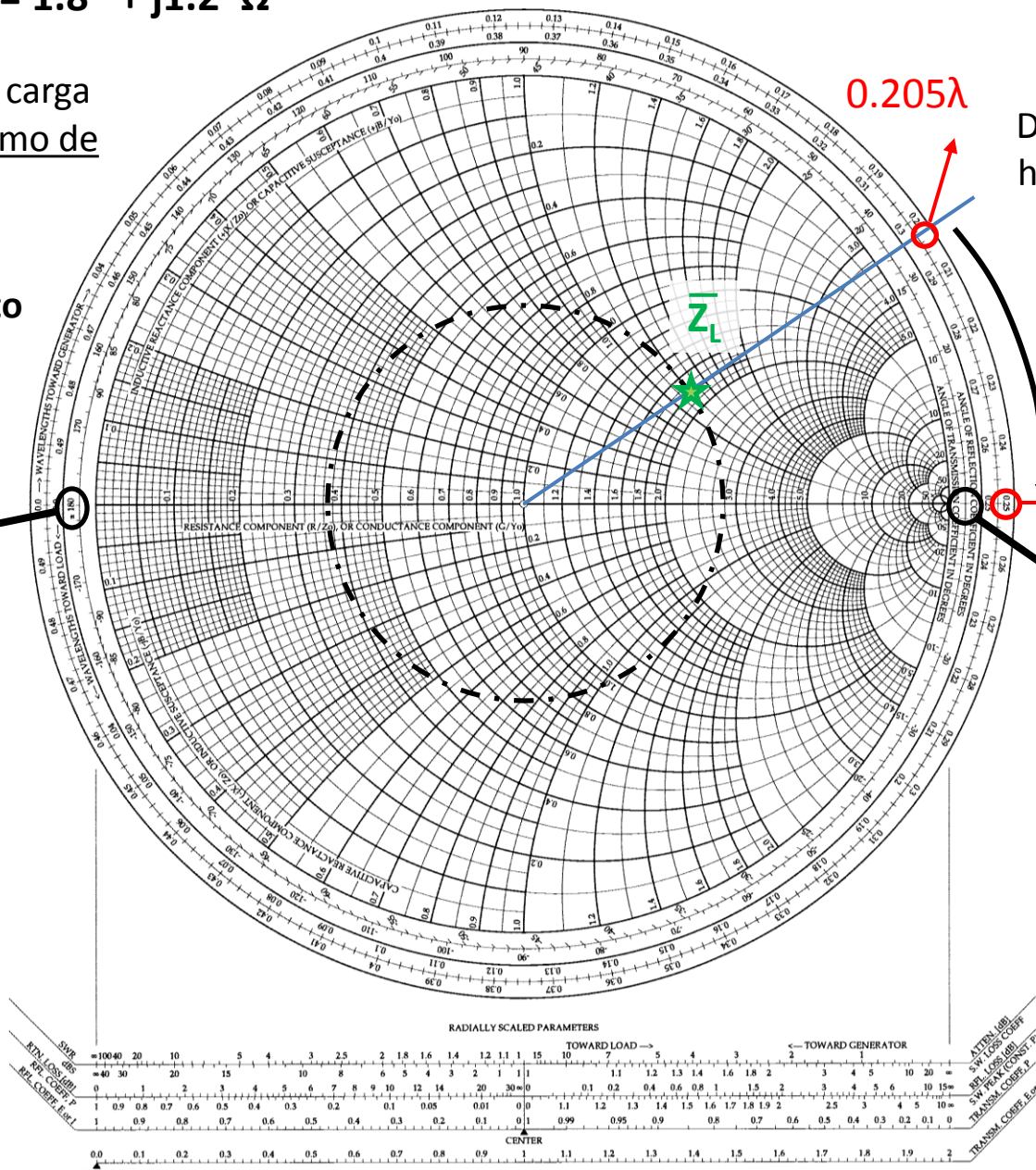
$$Z_L = 90 + j60 \Omega \rightarrow \bar{Z}_L = 1.8 + j1.2 \Omega$$

8. Distancia desde la carga hasta el primer máximo de voltaje



Circuito abierto

$$\pm 180^\circ (\Gamma = -1) \text{ c.c.}$$



Distancia desde carga hasta primer máximo de voltaje:

$$0.25\lambda - 0.205\lambda$$

$$d_{ca} = 0.045 \lambda$$

$$0.25\lambda$$

$$0^\circ (\Gamma = 1) \text{ c.a.}$$

$$Z_L = 90 + j60 \Omega \rightarrow \bar{Z}_L = 1.8 + j1.2 \Omega$$

9. Distancia desde la carga hasta el primer mínimo de voltaje



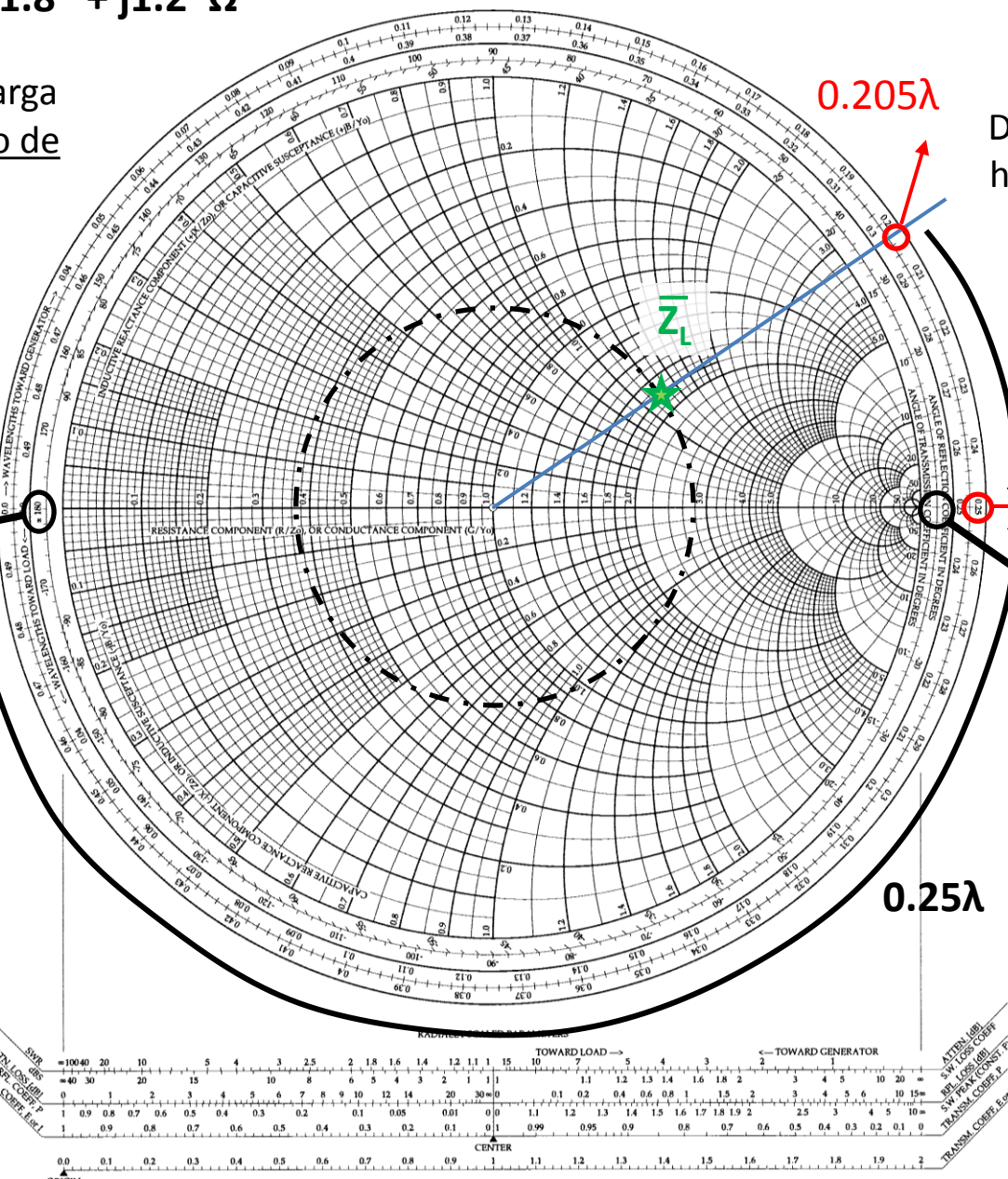
Cortocircuito

$$\pm 180^\circ (\Gamma = -1) \text{ c.c.}$$

Distancia desde carga hasta primer mínimo de voltaje:

$$d_{cc} = d_{ca} + 0.25\lambda$$

$$d_{cc} = 0.295 \lambda$$



Distancia desde carga hasta primer máximo de voltaje:

$$0.25\lambda - 0.205\lambda$$

$$d_{ca} = 0.045 \lambda$$

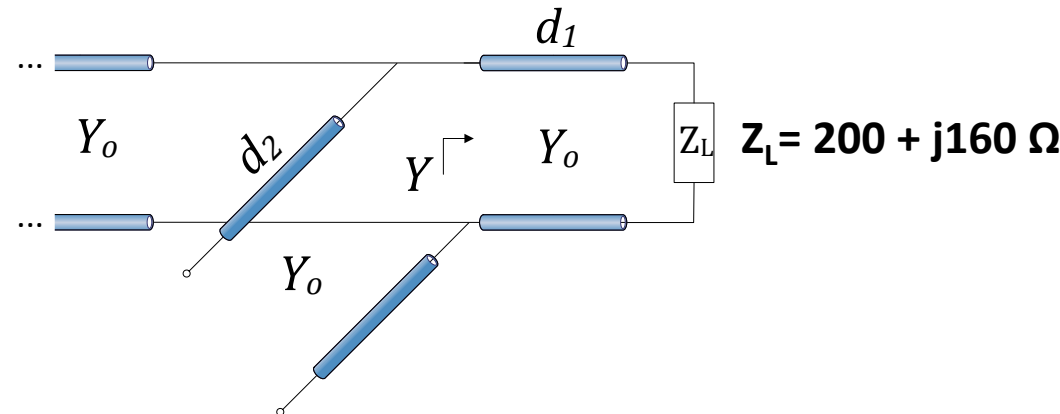
$$0.25\lambda$$

$$0^\circ (\Gamma=1) \text{ c.a.}$$



Lista 1: Problema 8

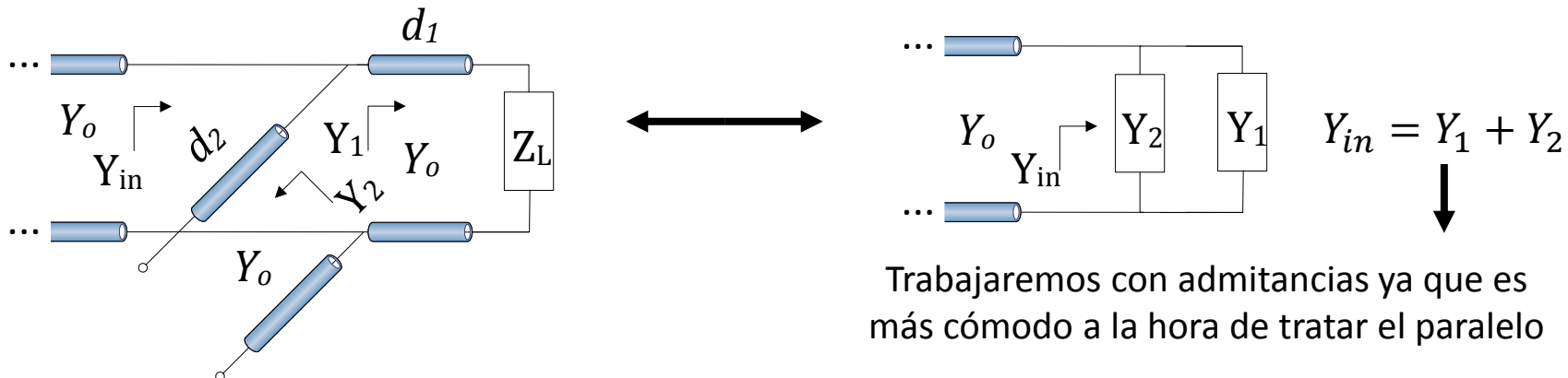
8. Mediante la carta de Smith, adaptar una carga de $200 + j160\Omega$ a una línea de 100Ω utilizando una sección de línea en paralelo acabada en circuito abierto.



Miguel Durán-Sindreu



$Z_L = 200 + j160 \Omega \rightarrow \text{Buscamos } Z_{in} = Z_0$



Trabajaremos con admitancias ya que es más cómodo a la hora de tratar el paralelo

Impedancia de entrada Z_2 de una línea de longitud d_2 acabada en circuito abierto:

$$Z_2 = Z_0 \frac{Z_L + jZ_0 \tan(\beta d_2)}{Z_0 + jZ_L \tan(\beta d_2)} \rightarrow Z_2 \Big|_{Z_L \rightarrow \infty} = \frac{Z_0}{j \tan(\beta d_2)}$$

$$\overline{Z_2} \Big|_{Z_L \rightarrow \infty} = -j \cot(\beta d_2) \quad \overline{Y_2} \Big|_{Z_L \rightarrow \infty} = j \tan(\beta d_2)$$

Dado que Y_2 es puramente imaginario, Y_1 deberá ser de la forma $Y_1 = Y_0 \pm jB$ para adaptar la carga ($Y_{in} = Y_0 \rightarrow \overline{Y_{in}} = 1$)

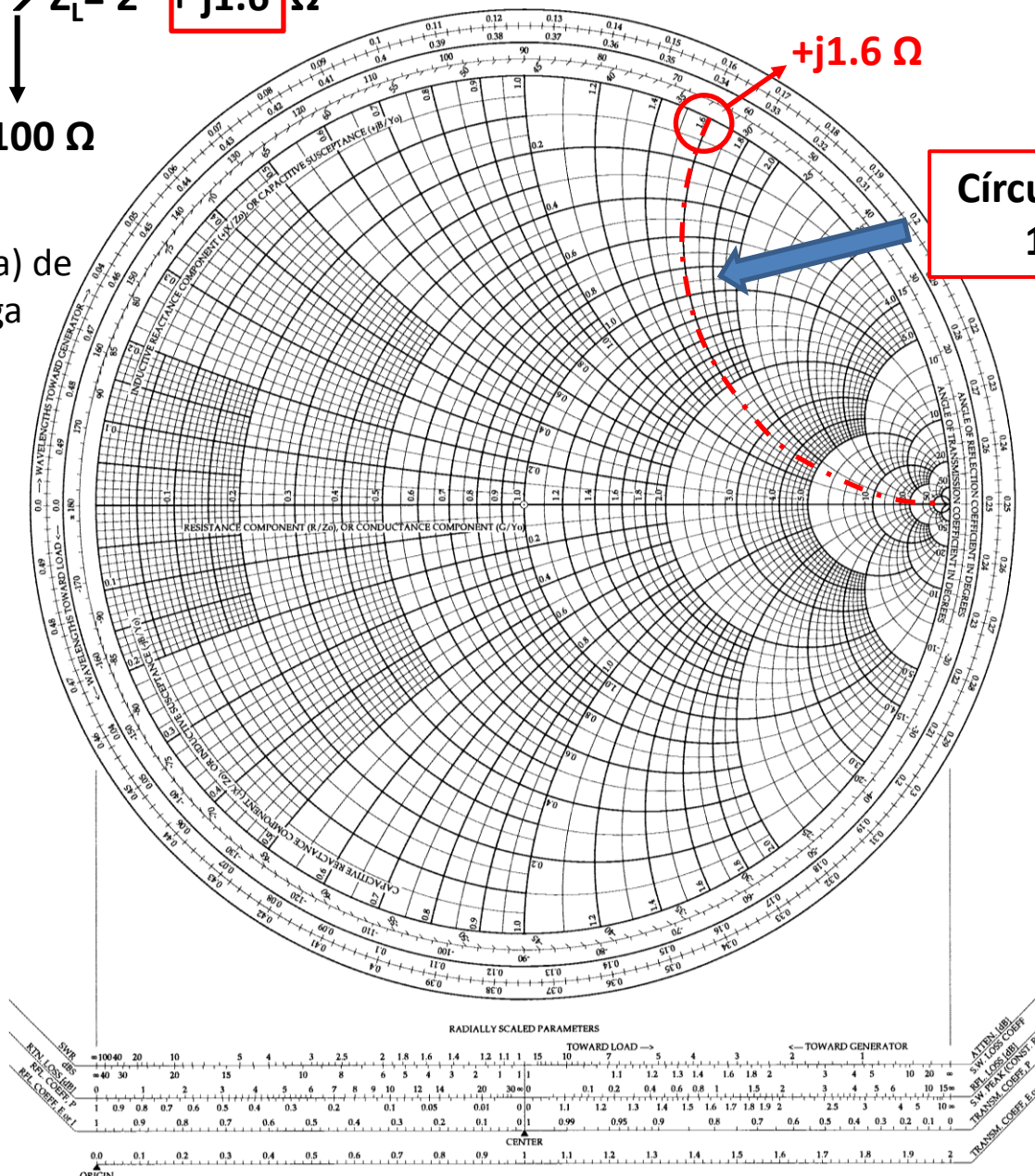
Por lo tanto, para adaptar el circuito desplazaremos la carga Z_L una distancia d_1 tal que obtengamos $Y_1 = 1 \pm jB$ y luego compensaremos la parte imaginaria con Y_2



$$Z_L = 200 + j160 \Omega \rightarrow \bar{Z}_L = 2 + j1.6 \Omega$$

$$Z_0 = 100 \Omega$$

1. Mapeamos parte imaginaria (reactancia) de la impedancia de carga

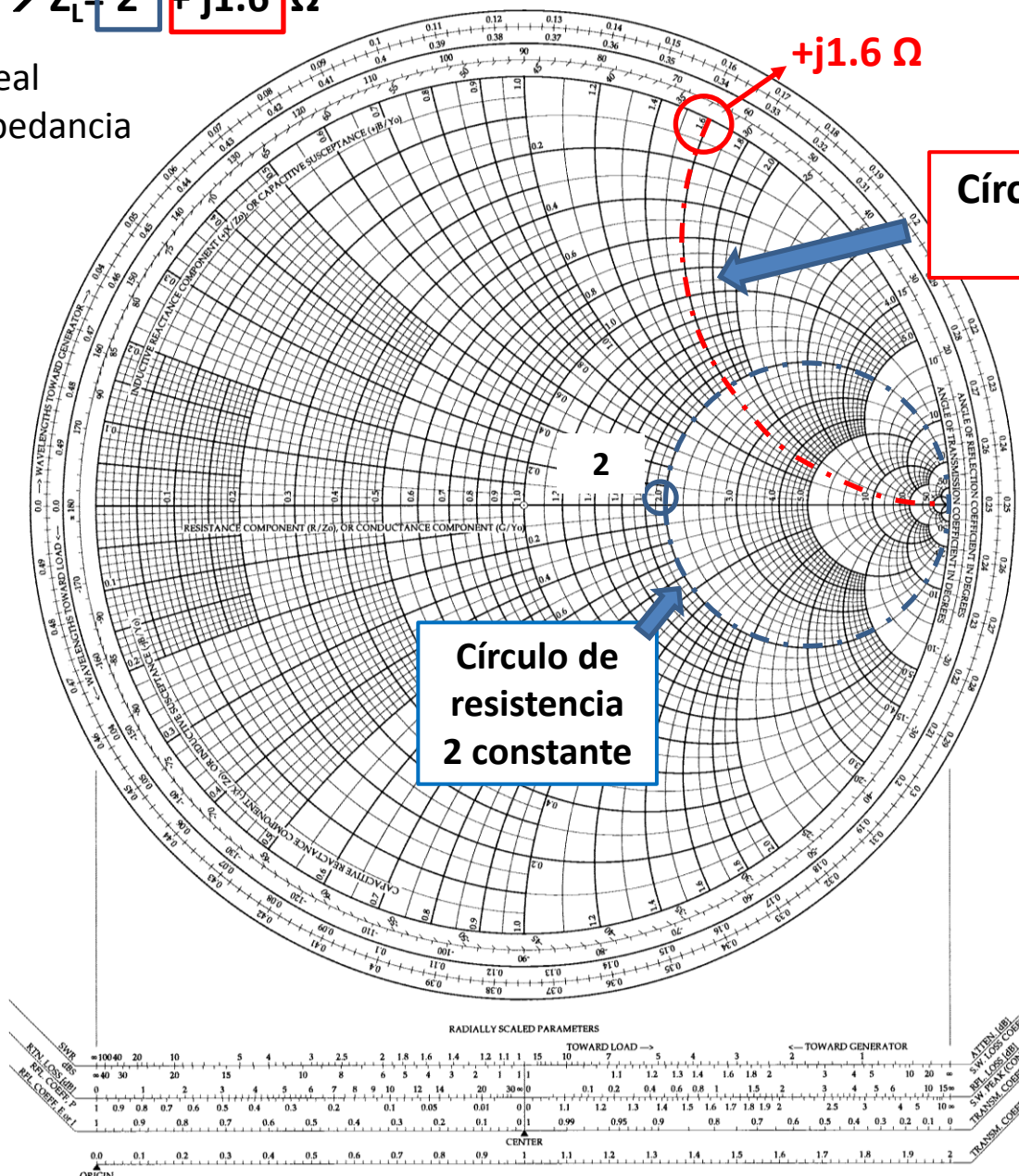


Círculo de reactancia

1.6 constante

$$Z_L = 200 + j160 \Omega \rightarrow \bar{Z}_L = 2 + j1.6 \Omega$$

2. Mapeamos parte real (resistencia) de la impedancia de carga



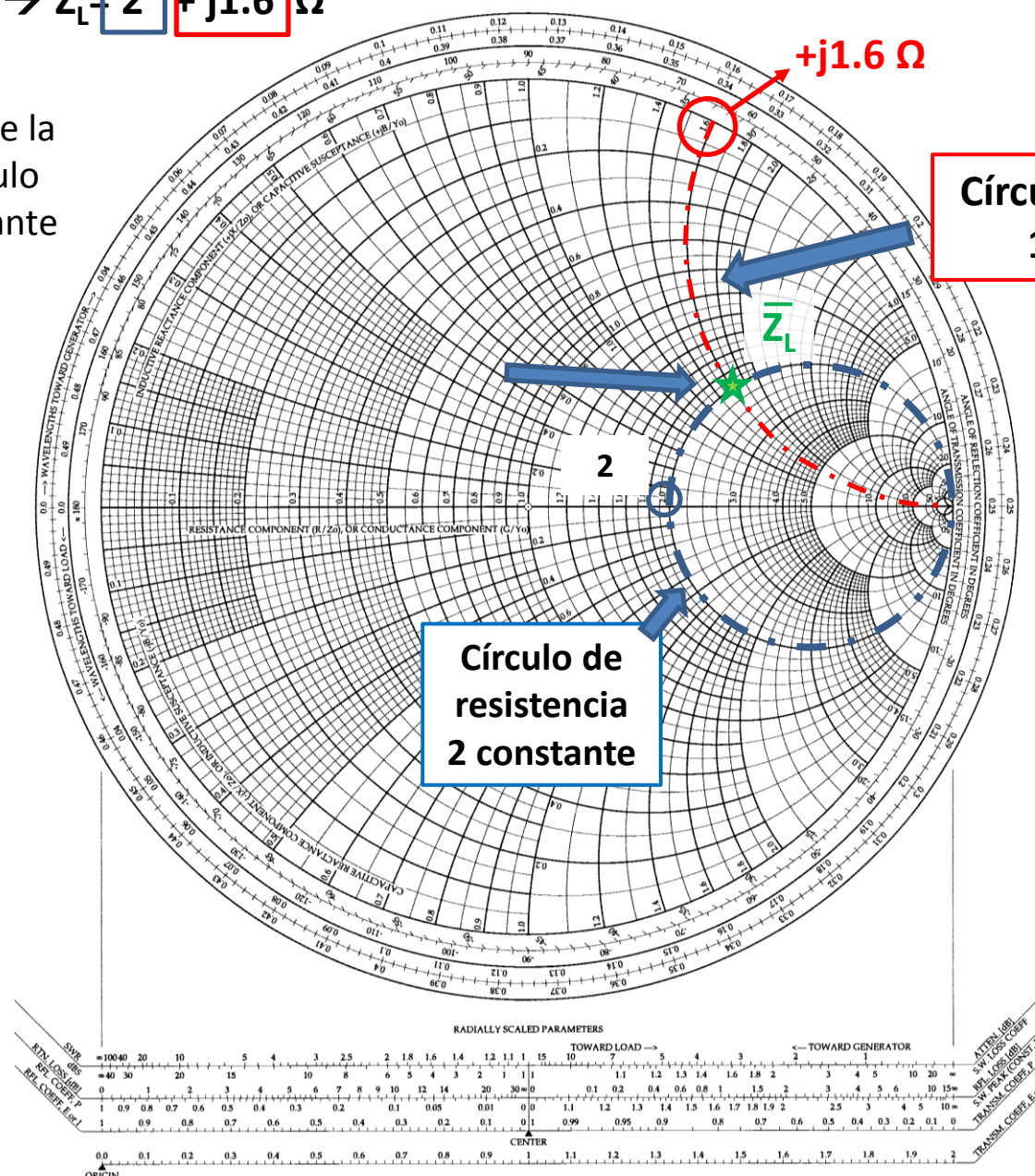
Círculo de reactancia
1.6 constante

Círculo de
resistencia
2 constante

$$Z_L = 200 + j160 \Omega \rightarrow \bar{Z}_L = 2 + j1.6 \Omega$$

Lista 1, Problema 8

3. Mapeamos impedancia mediante la intersección del círculo de resistencia constante y el de reactancia constante



Círculo de reactancia 1.6 constante

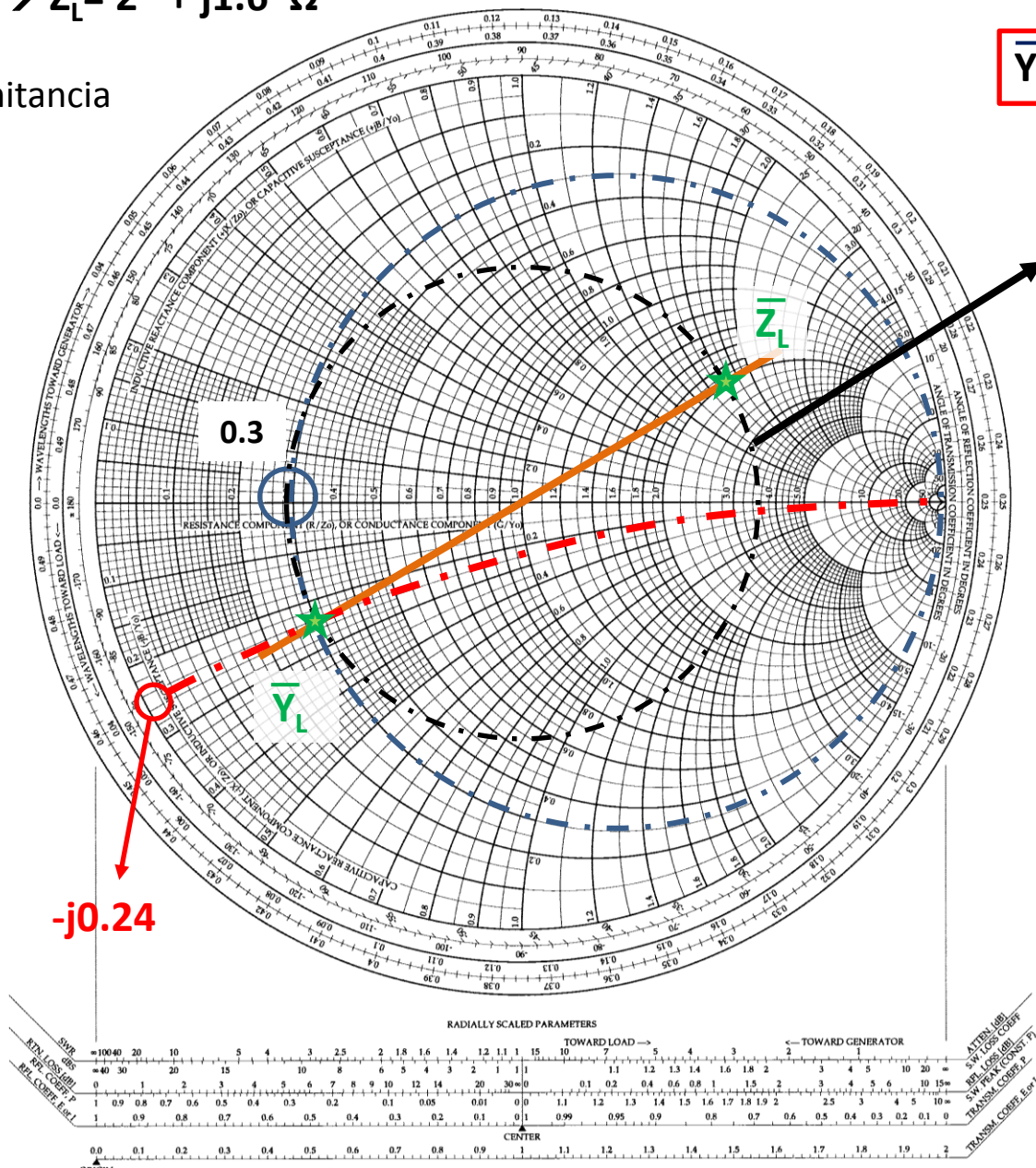
Círculo de resistencia 2 constante

$$Z_L = 200 + j160 \Omega \rightarrow \bar{Z}_L = 2 + j1.6 \Omega$$

4. Obtenemos admitancia normalizada \bar{Y}_L

$$\bar{Y}_L = \frac{1}{\bar{Z}_L}$$

Pasamos de impedancia a admitancia mediante un giro de 180° en Γ (media carta Smith)



$$\bar{Y}_L = 0.3 - j0.24 \Omega$$

Círculo de $|\Gamma|$ constante

Trabajamos en admitancias ya que nos será más cómodo a la hora de trabajar con el stub en paralelo

$$Z_L = 200 + j160 \Omega \rightarrow \underline{Z}_L = 2 + j1.6 \Omega$$

Consecuencias I:

Si trabajamos mediante admitancias, los círculos de resistencia constante pasan a ser círculos de conductancia constante.

$$\begin{array}{ll} Z: & Y: \\ \pm 180^\circ & 0^\circ \\ (\Gamma = -1) & (\Gamma = 1) \\ \text{c.c.} & \text{c.a.} \end{array}$$

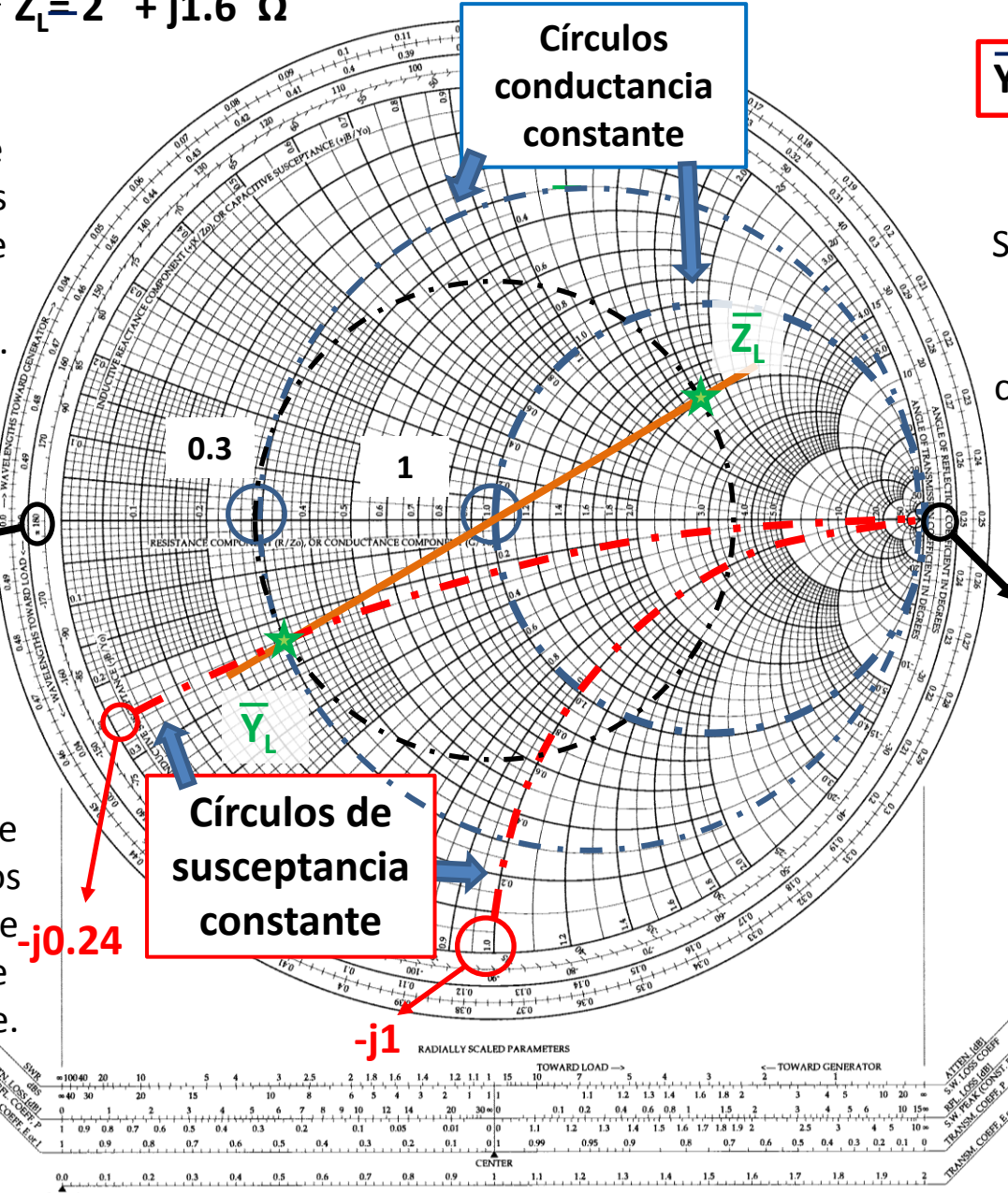
Consecuencias II:

Si trabajamos mediante admitancias, los círculos de reactancia constante pasan a ser círculos de susceptancia constante.

$-j0.24$

Círculos de susceptancia constante

$-j1$



$$\underline{Y}_L = 0.3 - j0.24 \Omega$$

Consecuencias III:

Si trabajamos mediante admitancias, la polaridad del coeficiente de reflexión también se invierte

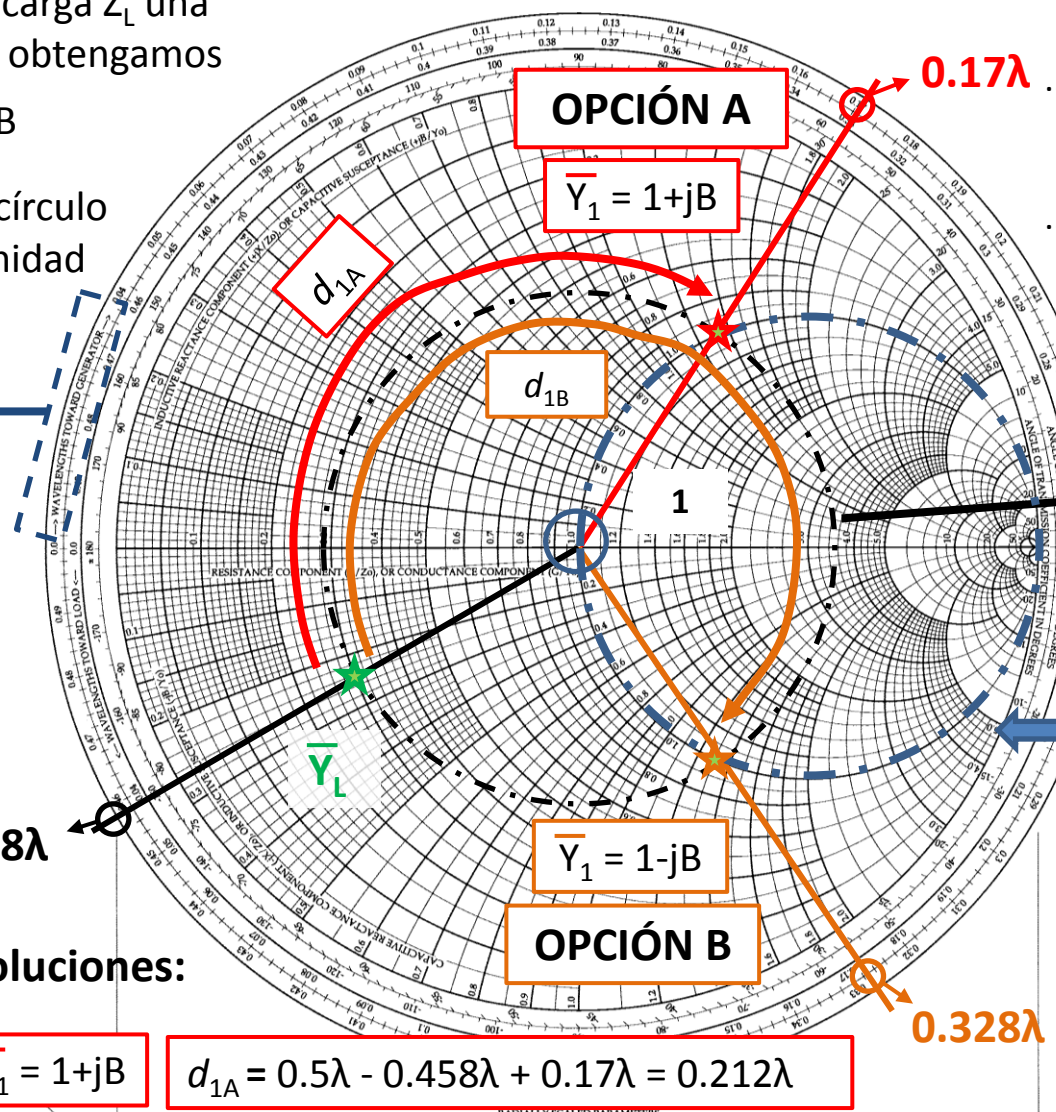
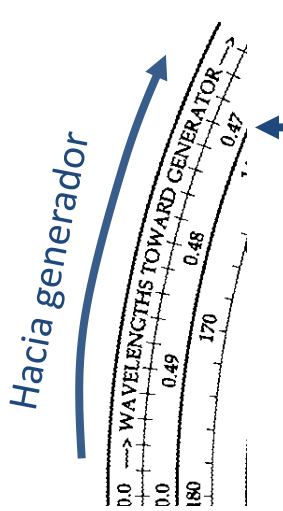
$$\begin{array}{ll} \text{c.a.} \rightarrow \text{c.c.} & \\ \text{c.c.} \rightarrow \text{c.a.} & \end{array}$$

$$\begin{array}{ll} Z: & Y: \\ 0^\circ & \pm 180^\circ \\ (\Gamma = 1) & (\Gamma = -1) \\ \text{c.a.} & \text{c.c.} \end{array}$$

5. Desplazamos la carga Z_L una distancia d_1 tal que obtengamos

$$\bar{Y}_1 = 1 \pm jB$$

Hemos de cruzar el círculo
de conductancia unidad



Tenemos dos soluciones:

OPCIÓN A

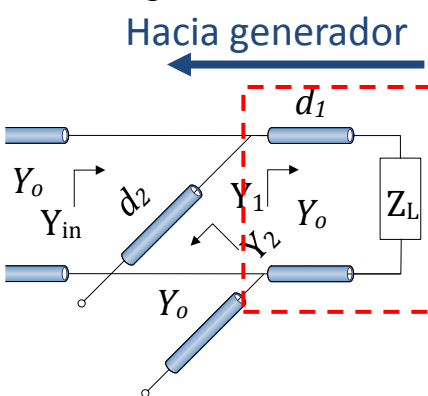
$$\bar{Y}_1 = 1+jB$$

$$d_{1A} = 0.5\lambda - 0.458\lambda + 0.17\lambda = 0.212\lambda$$

OPCIÓN B

$$\bar{Y}_i = 1 - iB$$

$$d_{-} = 0.5\lambda - 0.458\lambda + 0.328\lambda = 0.37\lambda$$



Círculo de $|\Gamma|$
constante
(desplazarse por la
línea sólo modifica
su fase)

Círculo conductancia unidad

6. Calculamos susceptancia de Y_1 :

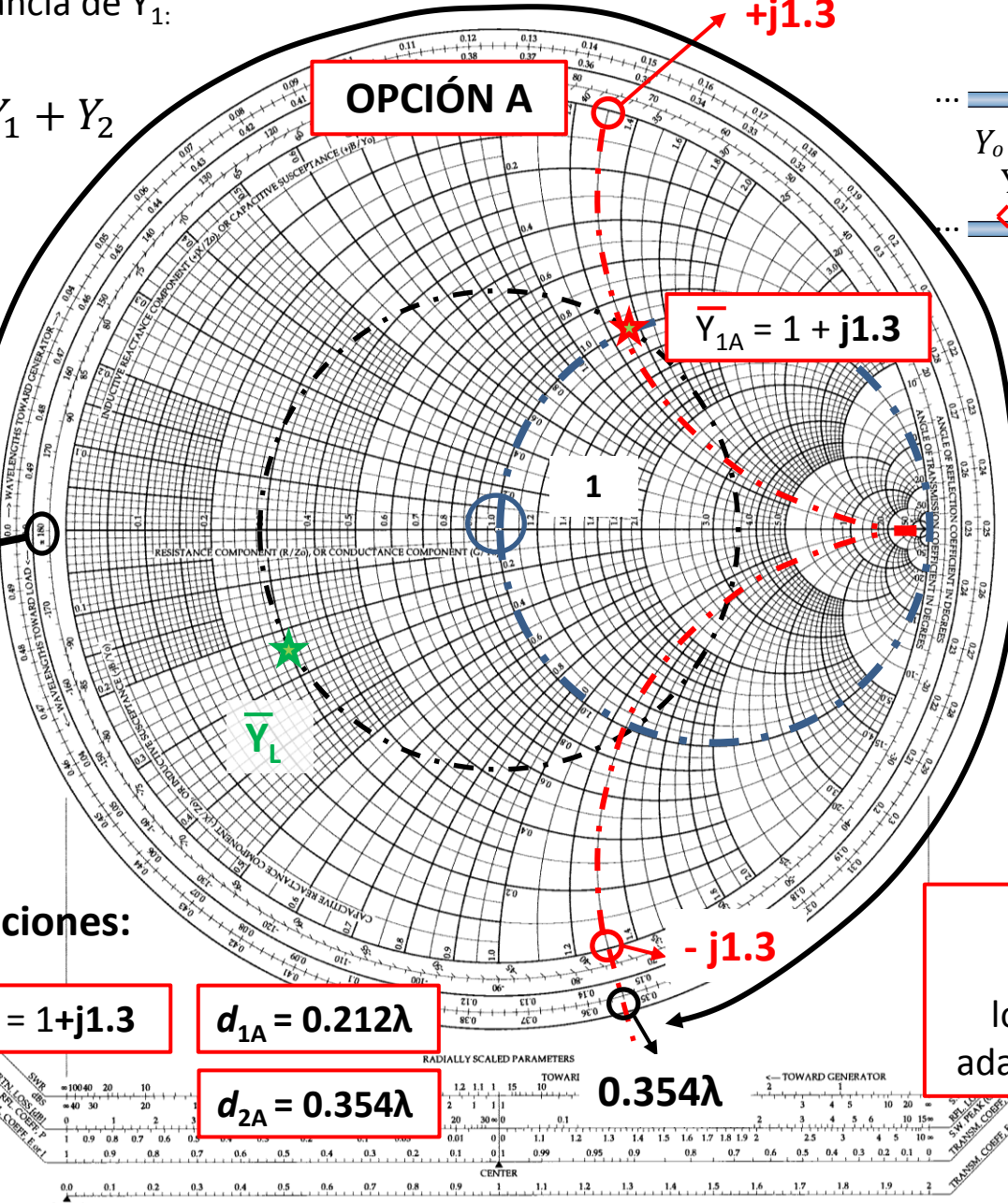
$$\bar{Y}_1 = 1 + j1.3$$

7. Dado que: $Y_{in} = Y_1 + Y_2$

Buscamos longitud de stub en c.a. que cumpla

$\bar{Y}_2 = -j1.3$ para anular $\text{Im}\{\bar{Y}_1\}$ y obtener $\bar{Y}_{in} = 1$

$$\begin{aligned} \bar{Y}: \\ 0^0 \\ (\Gamma=1) \\ \text{c.a.} \end{aligned}$$



OPCIÓN A

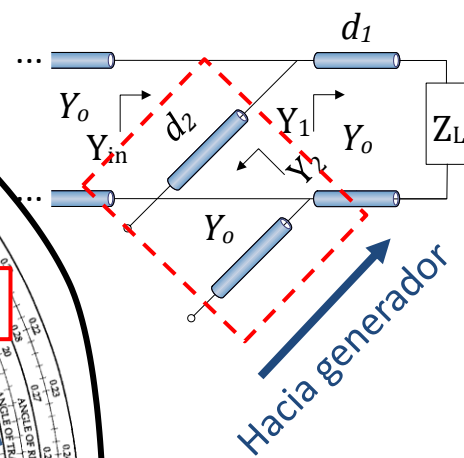
$$\bar{Y}_{1A} = 1 + j1.3$$

$$d_{1A} = 0.212\lambda$$

$$d_{2A} = 0.354\lambda$$

$$0.354\lambda$$

Por lo tanto,
considerando las
longitudes d_{1A} y d_{2A}
adaptaremos la carga Z_L



6. Calculamos susceptancia de Y_1 :

d_2

Lista 1, Problema 8

$$\bar{Y}_1 = 1 - j1.3$$

7. Dado que: $Y_{in} = Y_1 + Y_2$

Buscamos longitud de stub en c.a. que cumpla

$$\bar{Y}_2 = +j1.3 \text{ para anular } \text{Im}\{Y_1\} \text{ y obtener } Y_{in} = 1$$

Y:
0°
(Γ=1)
c.a.

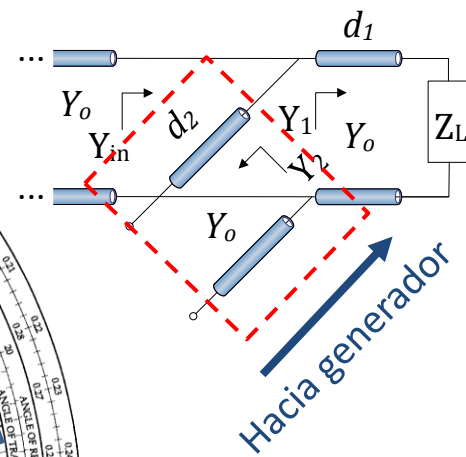
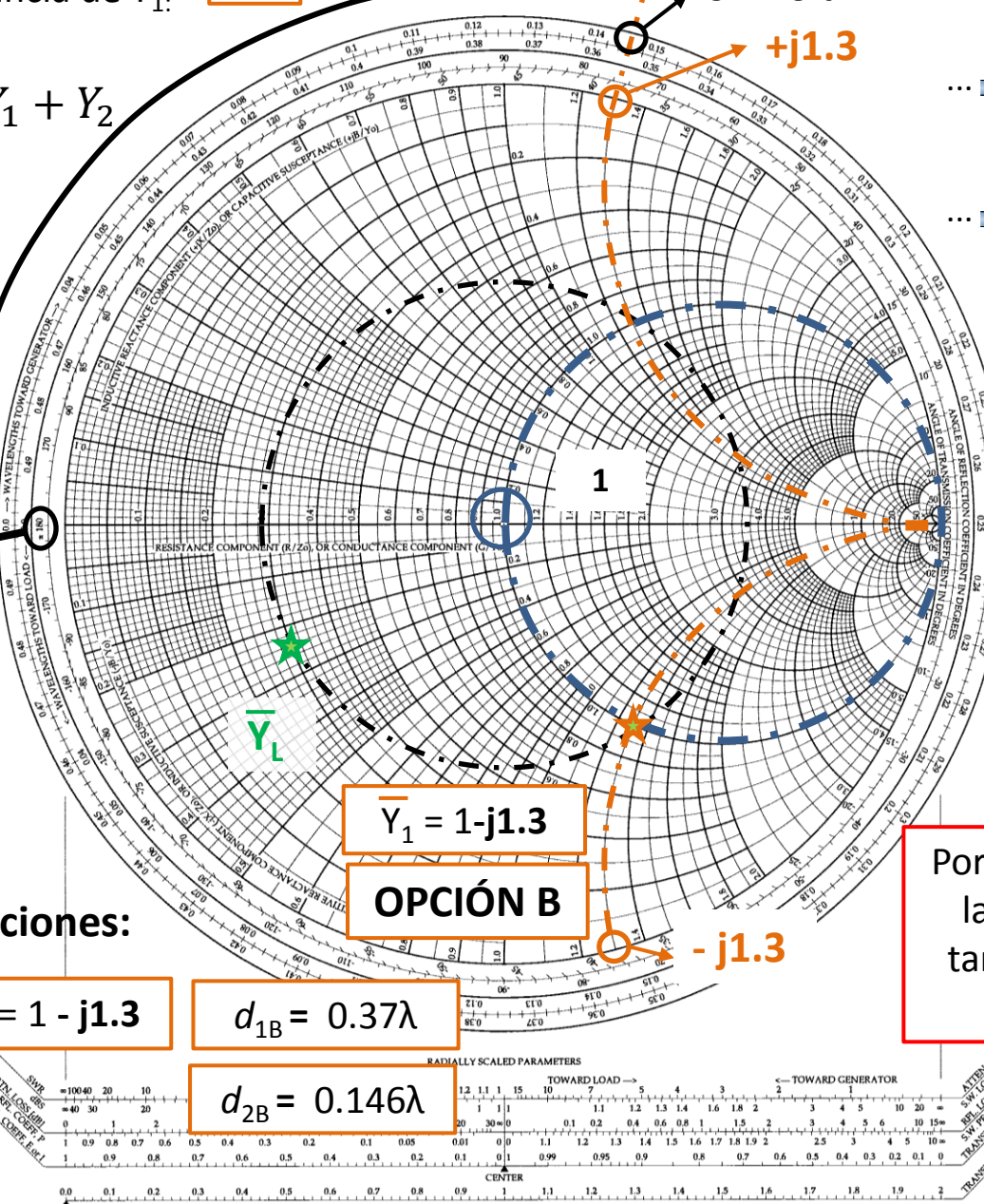
Tenemos dos soluciones:

OPCIÓN B

$$Y_{1B} = 1 - j1.3$$

$$d_{1B} = 0.37\lambda$$

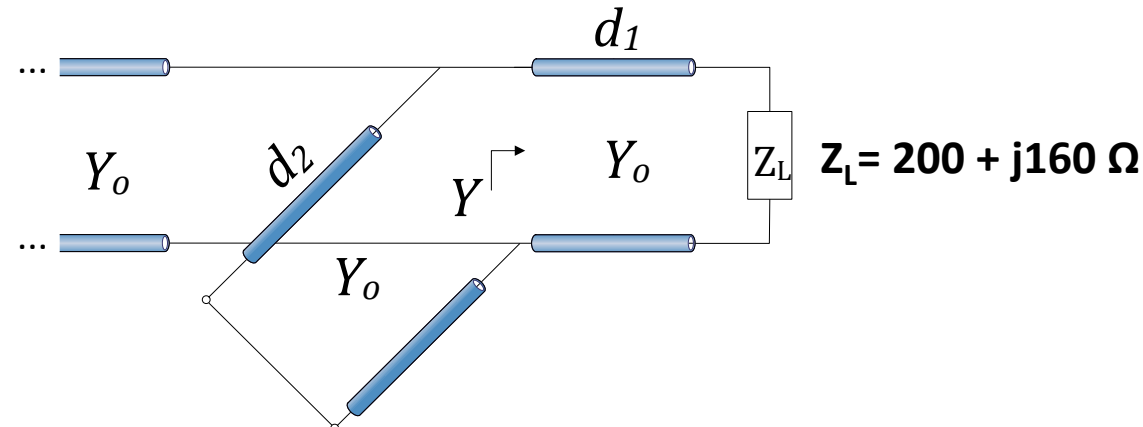
$$d_{\gamma B} = 0.146\lambda$$



Por lo tanto, considerando las longitudes d_{1B} y d_{2B} también adaptaremos la carga Z_I

Lista 1: Problema 9

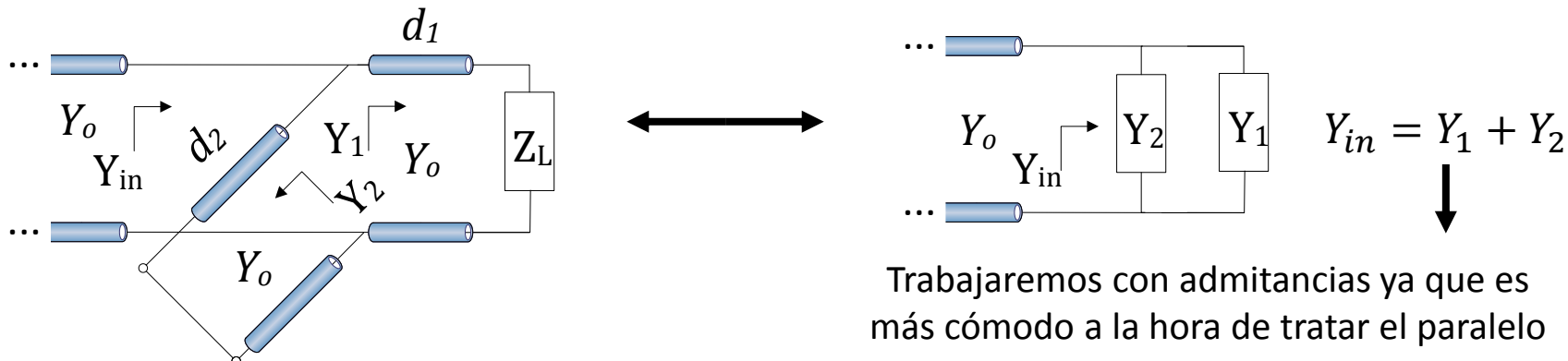
9. Mediante la carta de Smith, adaptar una carga de $200 + j160\Omega$ a una línea de 100Ω utilizando una sección de línea en paralelo acabada en cortocircuito.



Miguel Durán-Sindreu



$Z_L = 200 + j160 \Omega \rightarrow \text{Buscamos } Z_{in} = Z_0$



Trabajaremos con admitancias ya que es más cómodo a la hora de tratar el paralelo

Impedancia de entrada Z_2 de una línea de longitud d_2 acabada en cortocircuito:

$$Z_2 = Z_0 \frac{Z_L + jZ_0 \tan(\beta d_2)}{Z_0 + jZ_L \tan(\beta d_2)} \rightarrow Z_2 \Big|_{Z_L \rightarrow 0} = Z_0 j \tan(\beta d_2)$$

$$\overline{Z_2} \Big|_{Z_L \rightarrow 0} = j \tan(\beta d_2) \quad \overline{Y_2} \Big|_{Z_L \rightarrow 0} = -j \cotan(\beta d_2)$$

Dado que Y_2 es puramente imaginario, Y_1 deberá ser de la forma $Y_1 = Y_0 \pm jB$ para adaptar la carga ($Y_{in} = Y_0 \rightarrow \overline{Y_{in}} = 1$)

Por lo tanto, para adaptar el circuito desplazaremos la carga Z_L una distancia d_1 tal que obtengamos $Y_1 = 1 \pm jB$ y luego compensaremos la parte imaginaria con Y_2



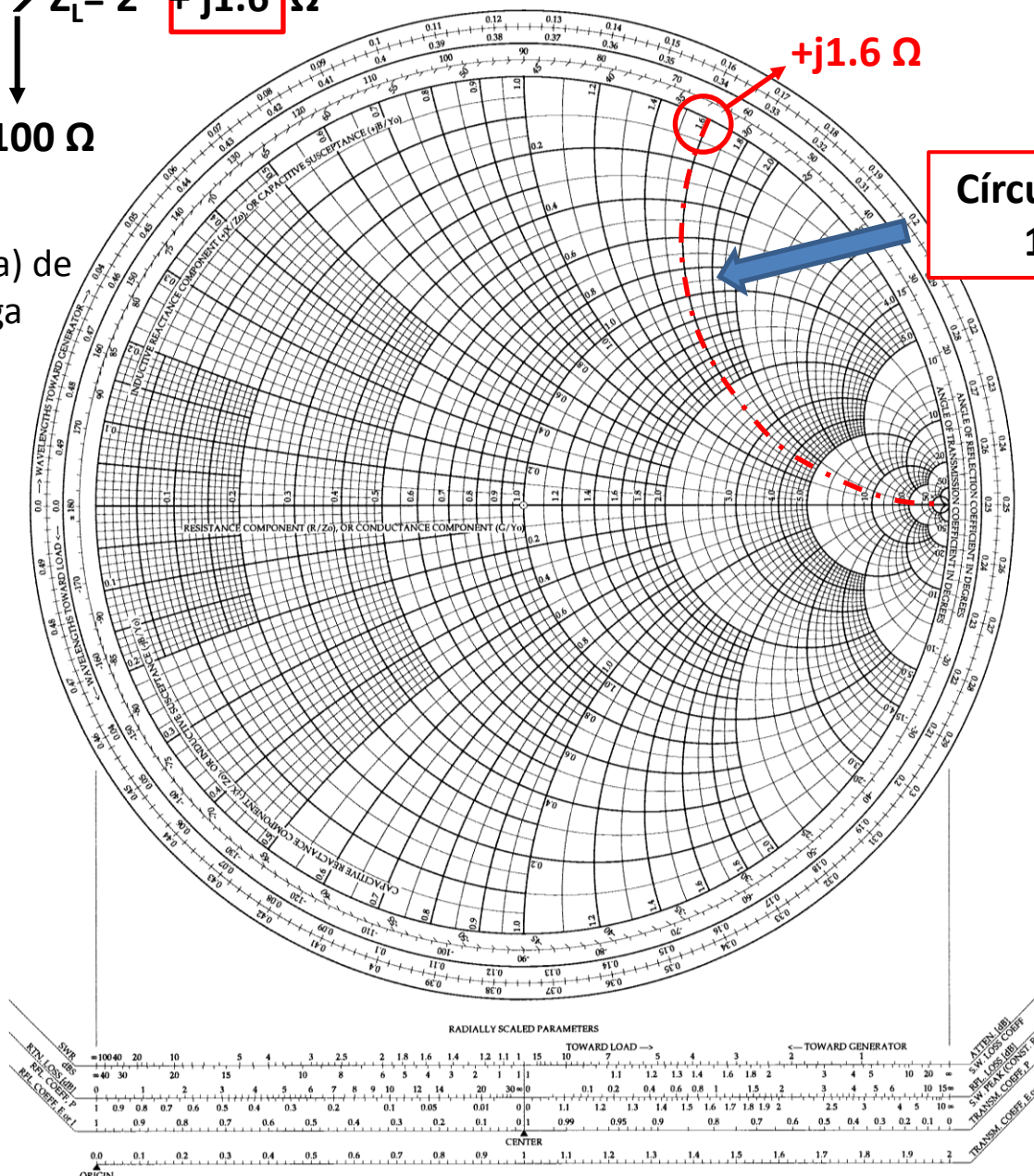
$$Z_L = 200 + j160 \Omega \rightarrow \bar{Z}_L = 2 + j1.6 \Omega$$

$$Z_0 = 100 \Omega$$

1. Mapeamos parte imaginaria (reactancia) de la impedancia de carga

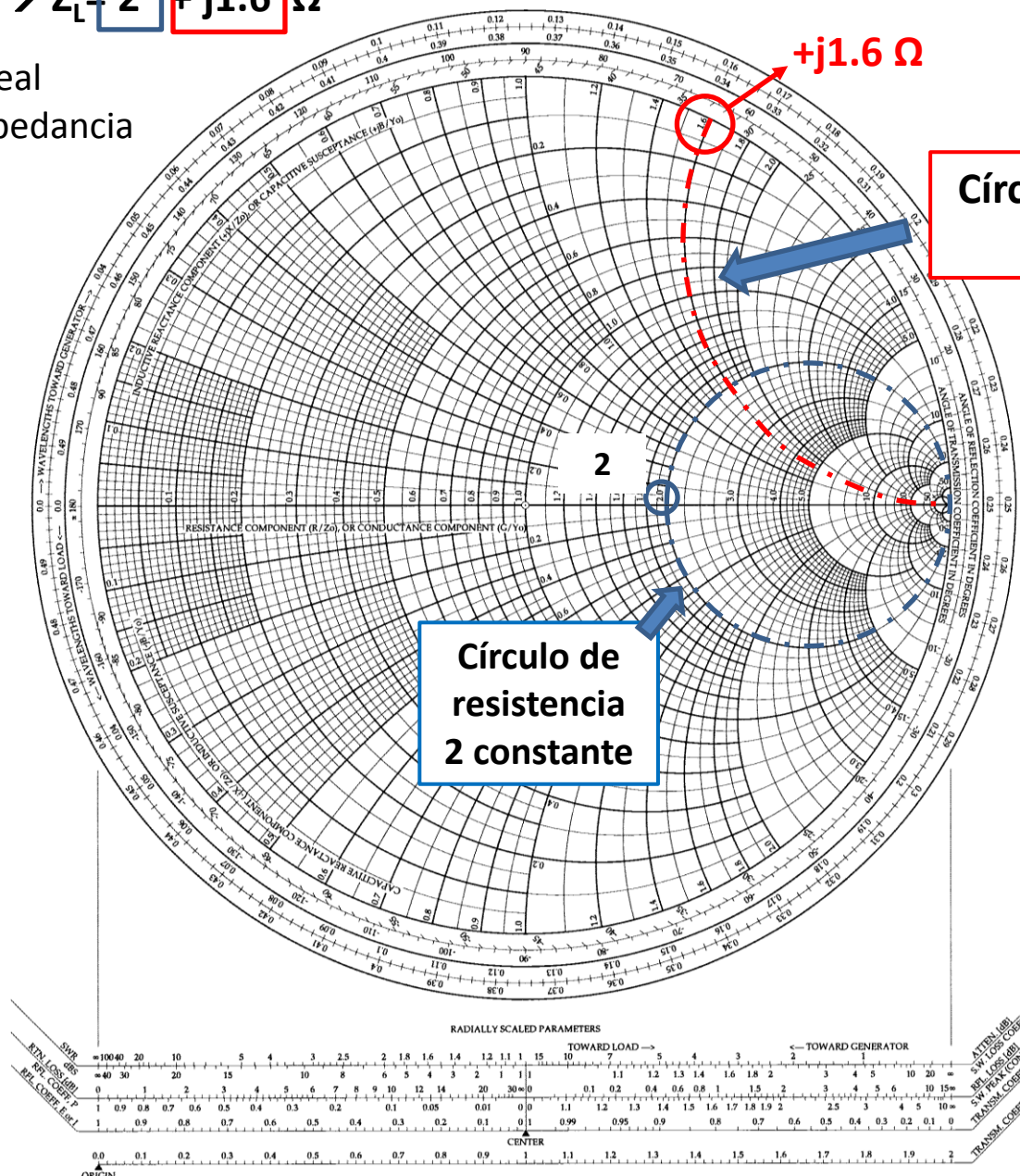
$+j1.6 \Omega$

Círculo de reactancia
1.6 constante



$$Z_L = 200 + j160 \Omega \rightarrow \bar{Z}_L = 2 + j1.6 \Omega$$

2. Mapeamos parte real (resistencia) de la impedancia de carga



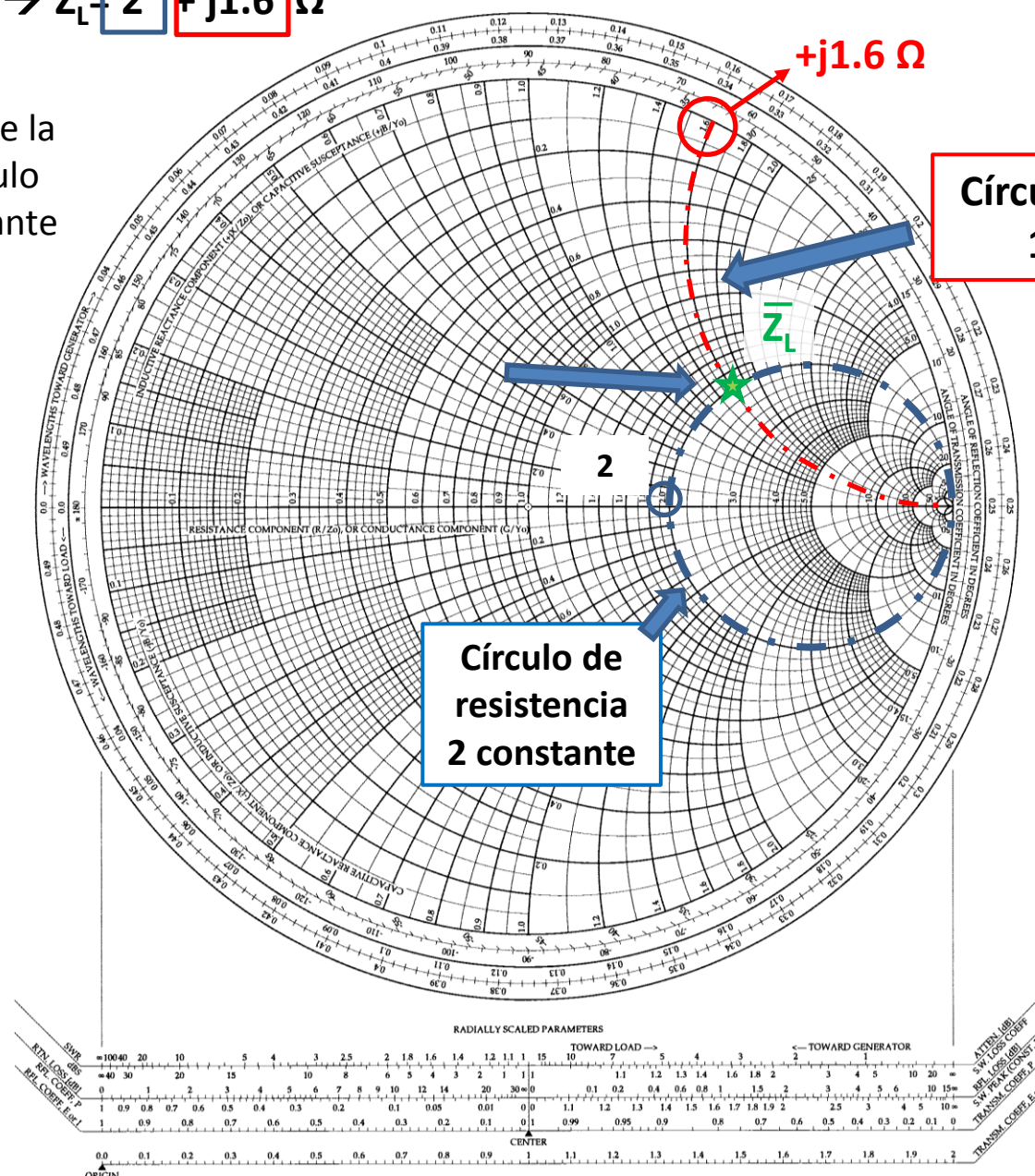
Círculo de reactancia
1.6 constante

Círculo de
resistencia
2 constante

$$Z_L = 200 + j160 \Omega \rightarrow \bar{Z}_L = 2 + j1.6 \Omega$$

Lista 1, Problema 9

3. Mapeamos impedancia mediante la intersección del círculo de resistencia constante y el de reactancia constante



Círculo de reactancia 1.6 constante

Círculo de resistencia 2 constante

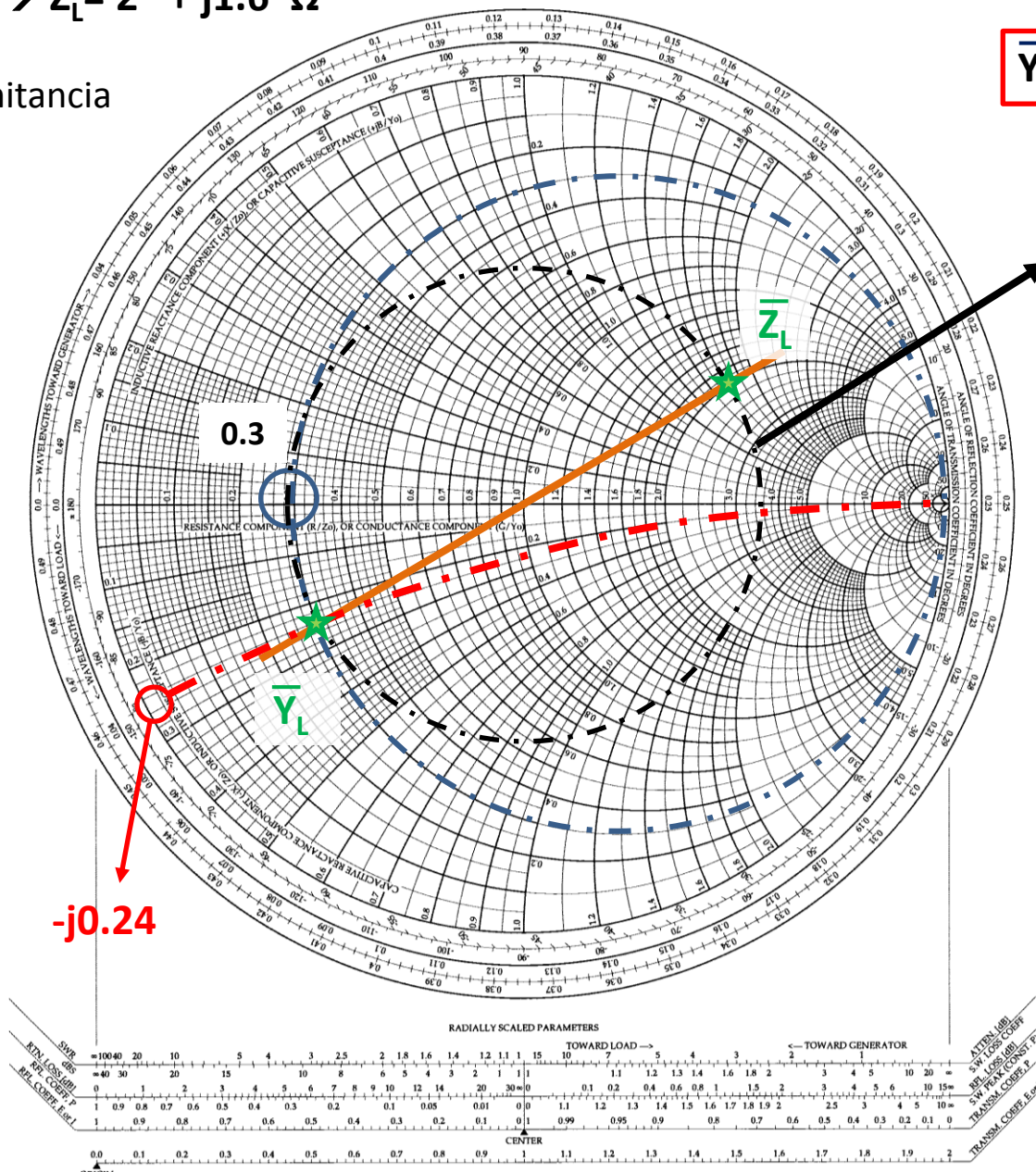
$$Z_L = 200 + j160 \Omega \rightarrow \bar{Z}_L = 2 + j1.6 \Omega$$

4. Obtenemos admitancia normalizada \bar{Y}_L

$$\bar{Y}_L = \frac{1}{\bar{Z}_L}$$

Pasamos de impedancia a admitancia mediante un giro de 180° en Γ (media carta Smith)

$$\bar{Y}_L = 0.3 - j0.24 \Omega$$



Círculo de $|\Gamma|$ constante

Trabajamos en admitancias ya que nos será más cómodo a la hora de trabajar con el stub en paralelo

$$Z_L = 200 + j160 \Omega \rightarrow \bar{Z}_L = 2 + j1.6 \Omega$$

Consecuencias I:

Si trabajamos mediante admitancias, los círculos de resistencia constante pasan a ser círculos de conductancia constante.

$$\begin{array}{ll} Z: & Y: \\ \pm 180^\circ & 0^\circ \\ (\Gamma = -1) & (\Gamma = 1) \\ \text{c.c.} & \text{c.a.} \end{array}$$

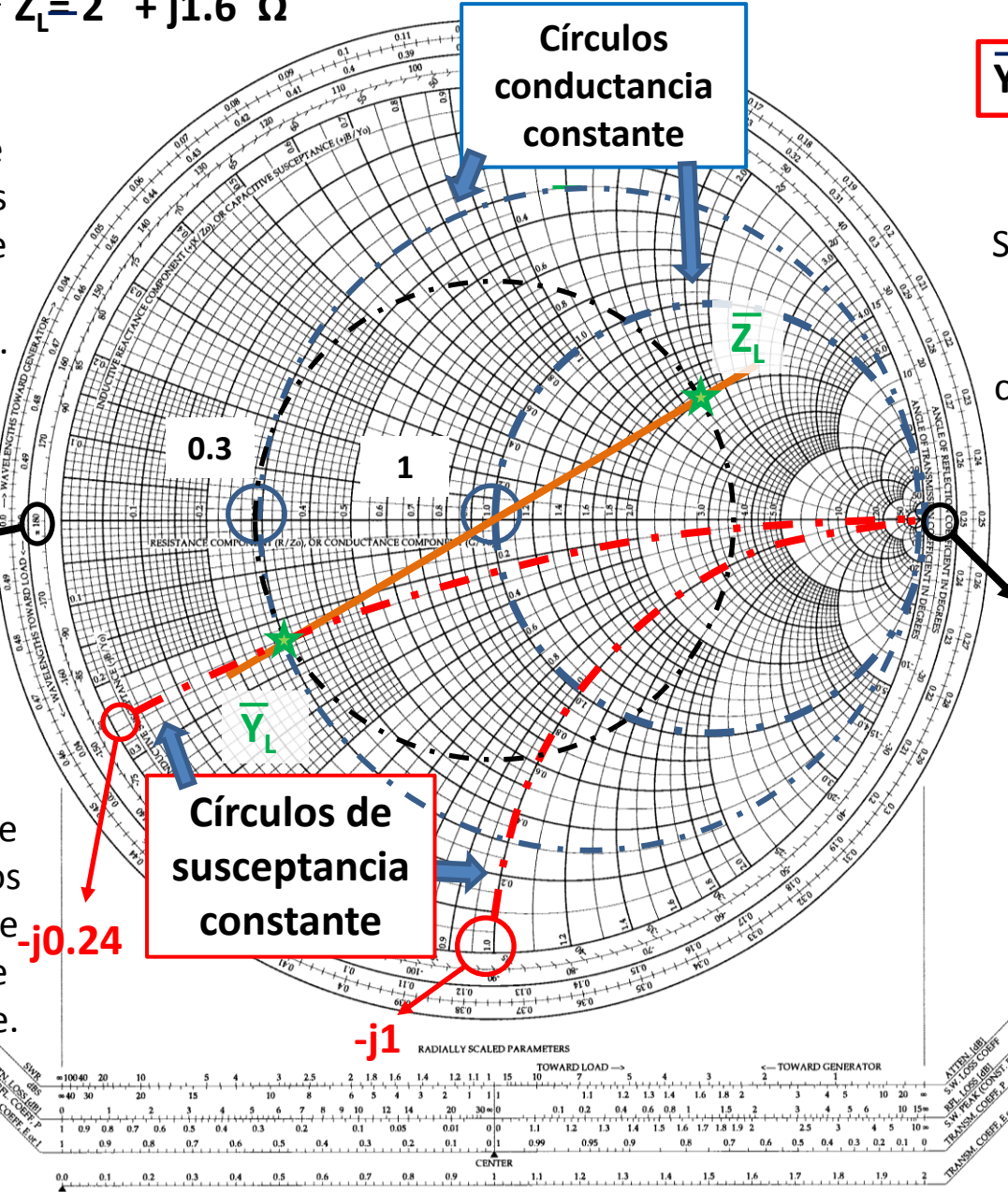
Consecuencias II:

Si trabajamos mediante admitancias, los círculos de reactancia constante pasan a ser círculos de susceptancia constante.

$-j0.24$

Círculos de susceptancia constante

$-j1$



$$\bar{Y}_L = 0.3 - j0.24 \Omega$$

Consecuencias III:

Si trabajamos mediante admitancias, la polaridad del coeficiente de reflexión también se invierte

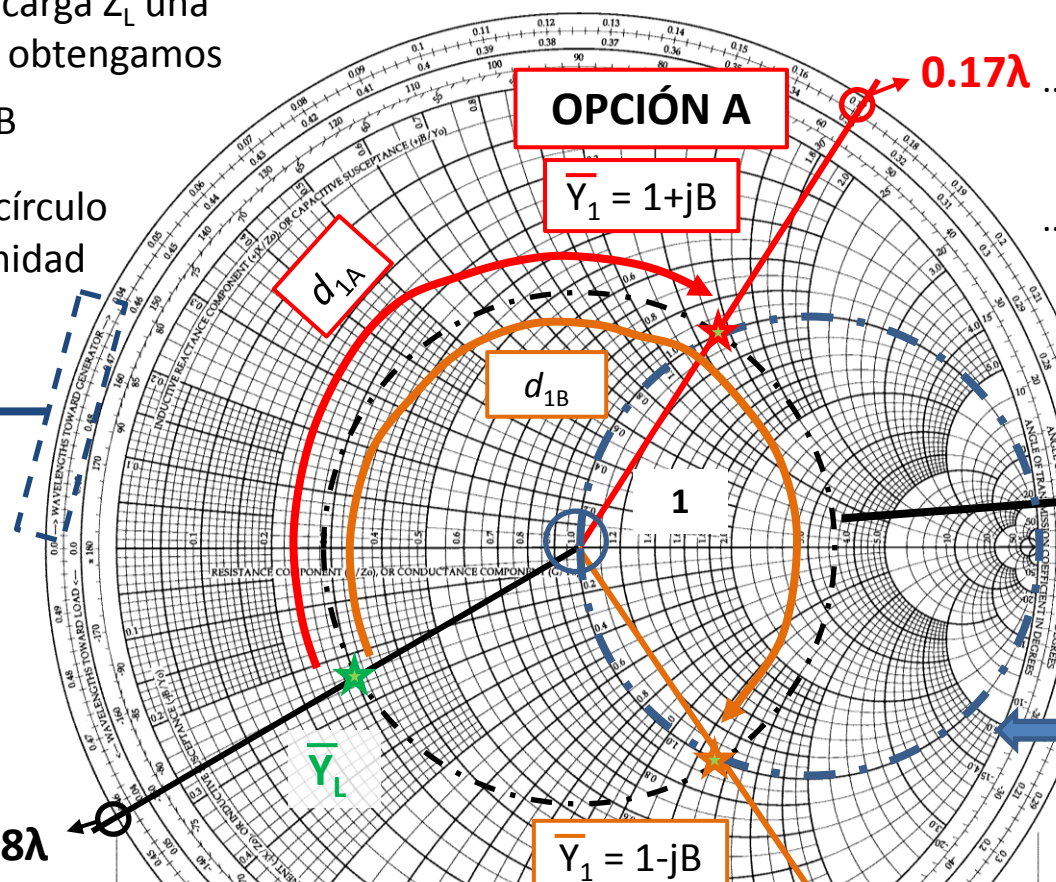
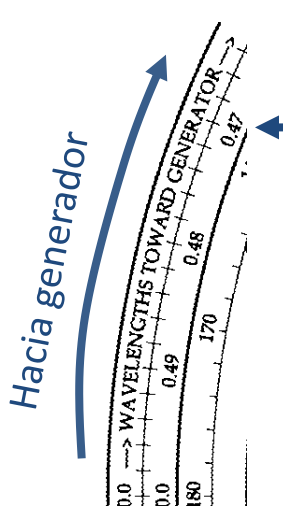
$$\begin{array}{ll} \text{c.a.} \rightarrow \text{c.c.} & \\ \text{c.c.} \rightarrow \text{c.a.} & \end{array}$$

$$\begin{array}{ll} Z: & Y: \\ 0^\circ & \pm 180^\circ \\ (\Gamma = 1) & (\Gamma = -1) \\ \text{c.a.} & \text{c.c.} \end{array}$$

5. Desplazamos la carga Z_L una distancia d_1 tal que obtengamos

$$\bar{Y}_1 = 1 \pm jB$$

Hemos de cruzar el círculo
de conductancia unidad



Tenemos dos soluciones:

OPCIÓN A

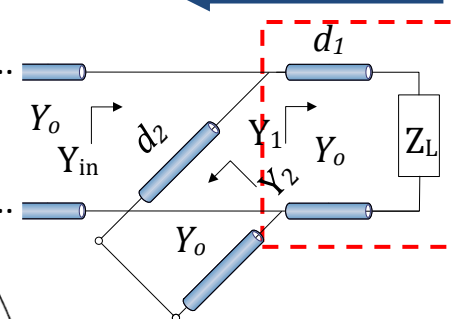
$$\bar{Y}_1 = 1+jB$$

$$d_{1A} = 0.5\lambda - 0.458\lambda + 0.17\lambda = 0.212\lambda$$

OPCIÓN B

$$\bar{Y}_i = 1 - iB$$

$$d_{-} = 0.5\lambda - 0.458\lambda + 0.328\lambda = 0.37\lambda$$



→ Círculo de $|\Gamma|$
constante
(desplazarse por la
línea sólo modifica
su fase)

Círculo conductancia unidad

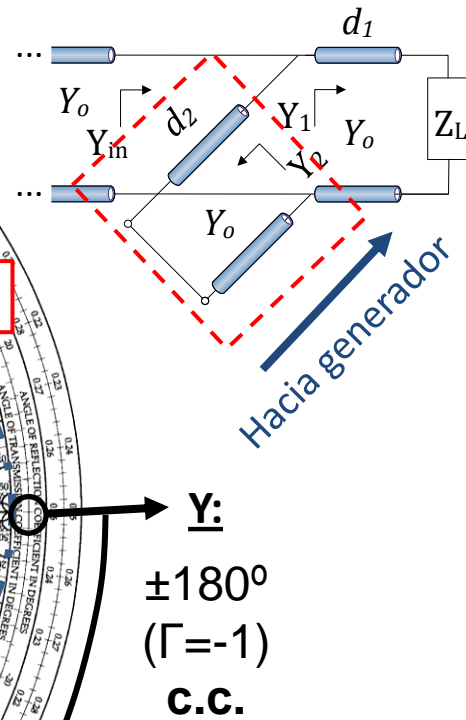
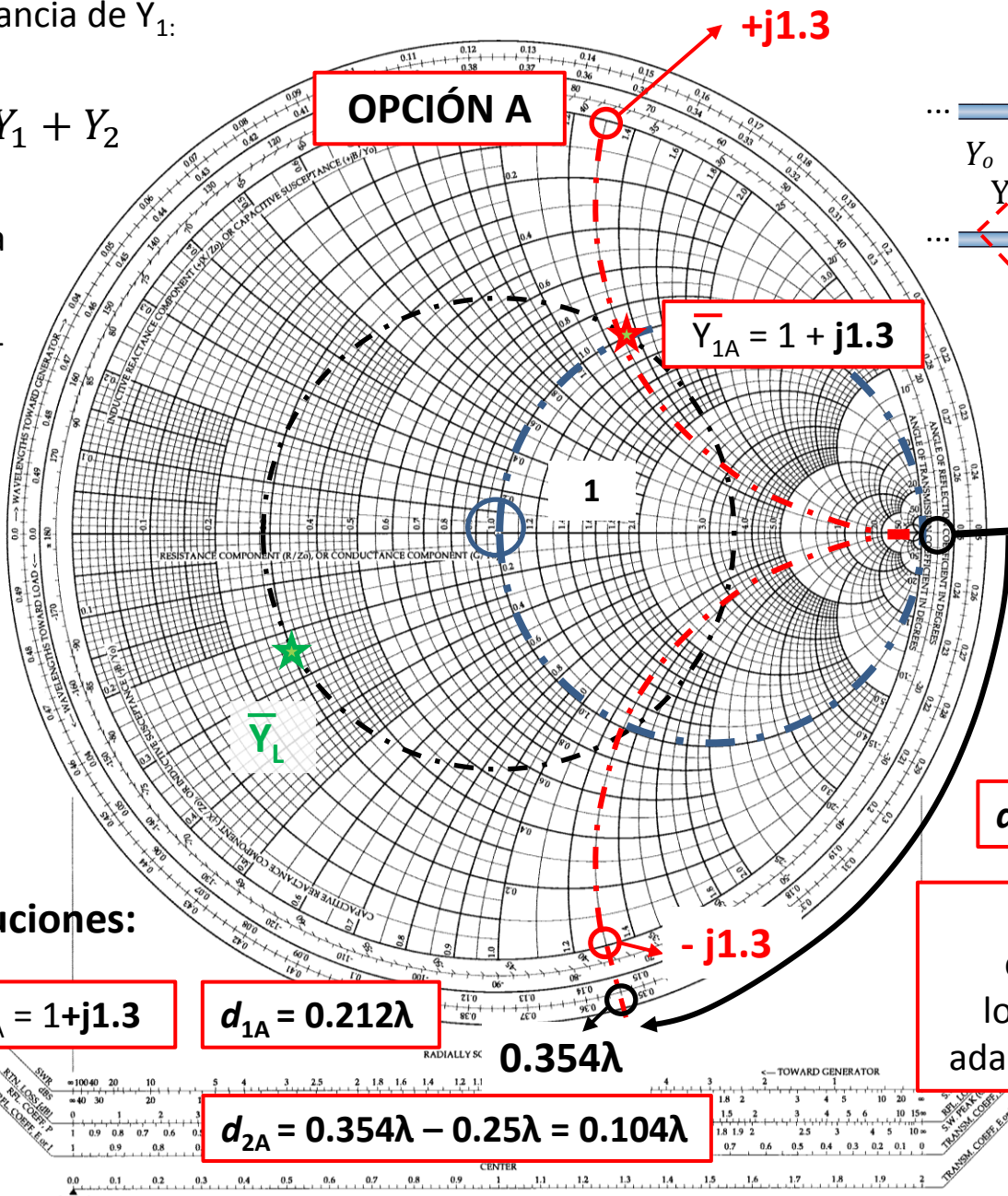
6. Calculamos susceptancia de Y_1 :

$$\bar{Y}_1 = 1 + j1.3$$

7. Dado que: $Y_{in} = Y_1 + Y_2$

Buscamos longitud de stub en c.c. que cumpla

$$\bar{Y}_2 = -j1.3 \text{ para anular } \text{Im}\{Y_1\} \text{ y obtener } \bar{Y}_{in} = 1$$



Tenemos dos soluciones:

OPCIÓN A

$$\bar{Y}_{1A} = 1+j1.3$$

$$d_{1A} = 0.212\lambda$$

$$d_{2A} = 0.354\lambda - 0.25\lambda = 0.104\lambda$$

Por lo tanto,
considerando las
longitudes d_{1A} y d_{2A}
adaptaremos la carga Z_L



6. Calculamos susceptancia de Y_1 :

$$\bar{Y}_1 = 1 - j1.3$$

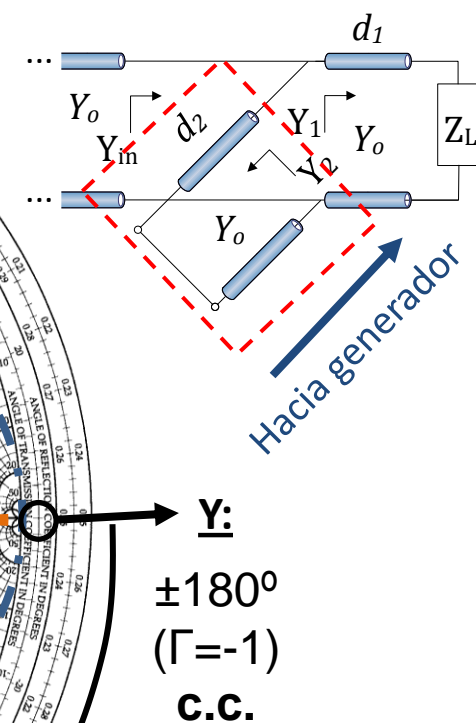
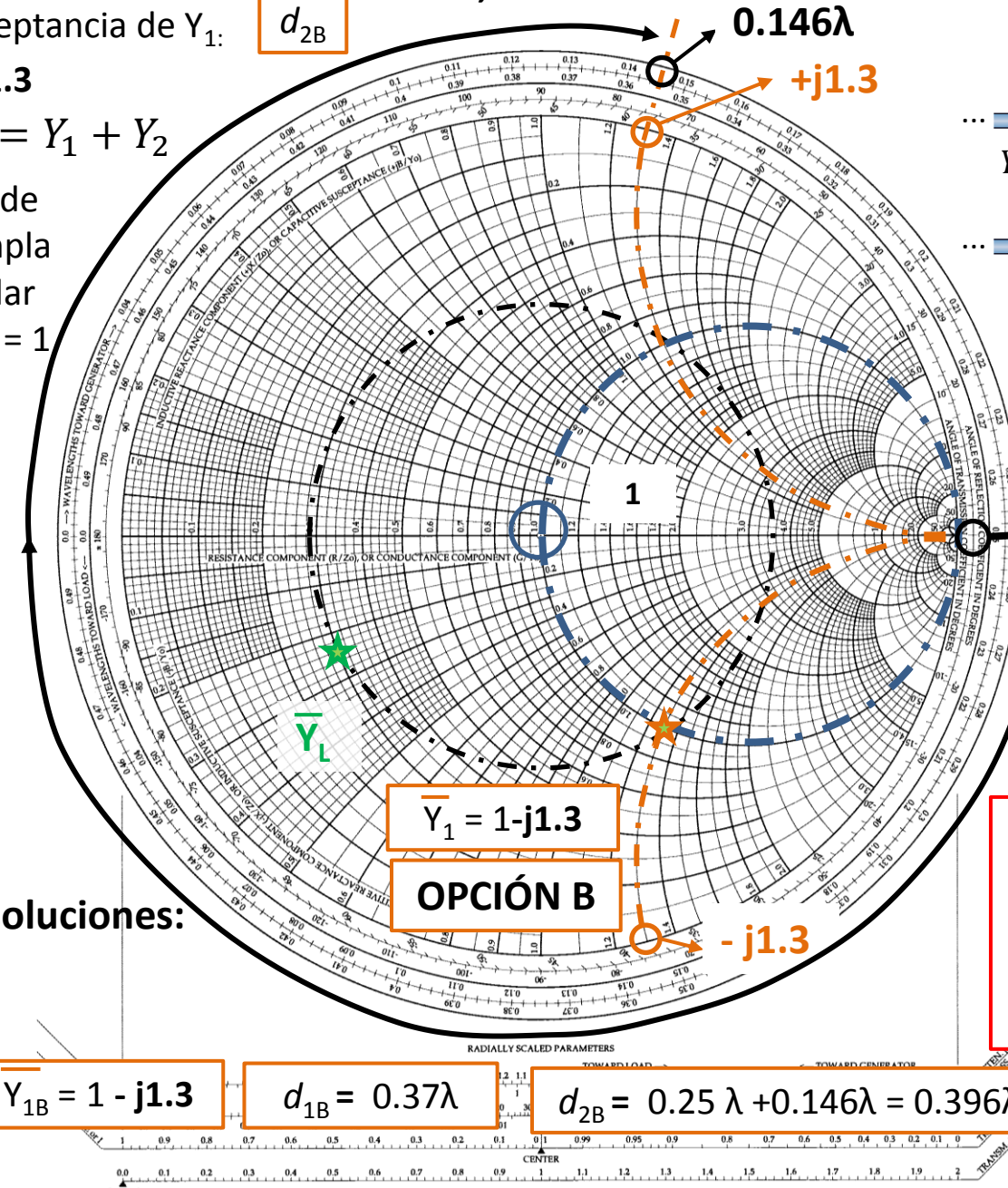
7. Dado que: $Y_{in} = Y_1 + Y_2$

Buscamos longitud de stub en c.c. que cumpla

$\bar{Y}_2 = +j1.3$ para anular $\text{Im}\{Y_1\}$ y obtener $\bar{Y}_{in} = 1$

Lista 1, Problema 9

Miguel Durán-Sindreu



Tenemos dos soluciones:

OPCIÓN B

$$\bar{Y}_{1B} = 1 - j1.3$$

$$d_{1B} = 0.37\lambda$$

$$d_{2B} = 0.25\lambda + 0.146\lambda = 0.396\lambda$$





Universitat Autònoma de Barcelona

Escola d'Enginyeria, Departament d'Enginyeria Electrònica

Bellaterra (Cerdanyola del Vallès)

**Solución de la Lista 5 de problemas
(amplificadores de microondas)**

Miguel Durán-Sindreu

Curso 2012/2013



Universitat Autònoma de Barcelona

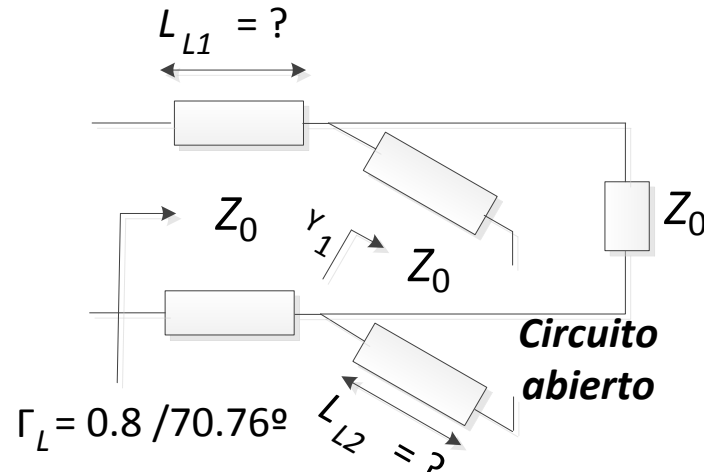
Escola d'Enginyeria, Departament d'Enginyeria Electrònica

Bellaterra (Cerdanyola del Vallès)

Lista 5: Problema 1

Obtención de la red de adaptación a la salida mediante carta de Smith

1. Mediante la carta de Smith, obtener L_{L1} y L_{L2} para obtener el siguiente coeficiente de reflexión que cumple los requisitos del problema 1.

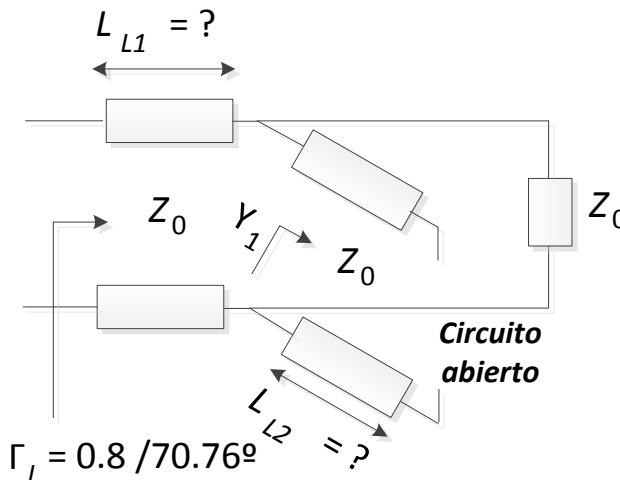


Miguel Durán-Sindreu

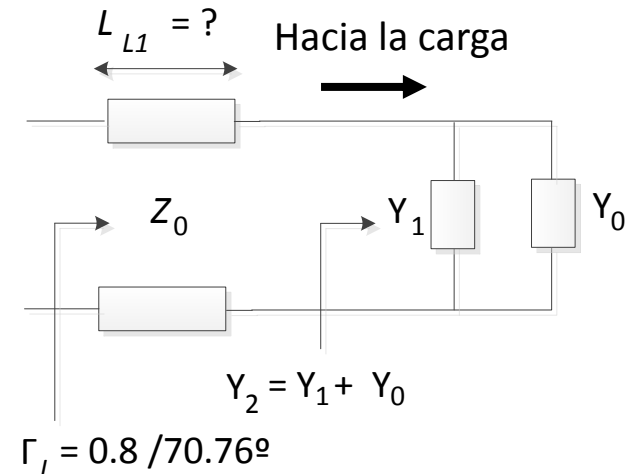
Curso 2012/2013



Ingeniería Radiofrecuencia
y Microondas



Trabajamos con admitancias ya que es más cómodo a la hora de tratar el paralelo



Impedancia de entrada Z_1 de una línea de longitud L_{L2} acabada en circuito abierto:

$$Z_1 = Z_0 \frac{Z_L + jZ_0 \tan(\beta L_{L2})}{Z_0 + jZ_L \tan(\beta L_{L2})} \rightarrow Z_1 \Big|_{Z_L \rightarrow \infty} = \frac{Z_0}{j \tan(\beta L_{L2})}$$

$$\overline{Z_1} \Big|_{Z_L \rightarrow \infty} = -j \cot(\beta L_{L2}) \quad \overline{Y_1} \Big|_{Z_L \rightarrow \infty} = j \tan(\beta L_{L2})$$

Dado que Y_1 es puramente imaginario, la longitud L_{L1} deberá permitir desplazar Γ_L (hacia la carga) hasta el círculo de conductancia unidad, para poder satisfacer la condición:

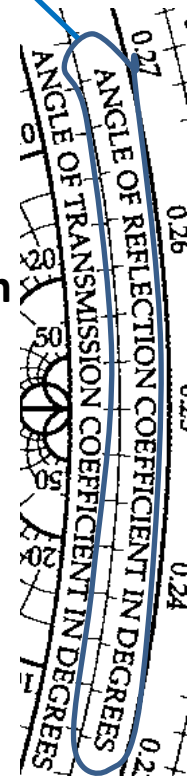
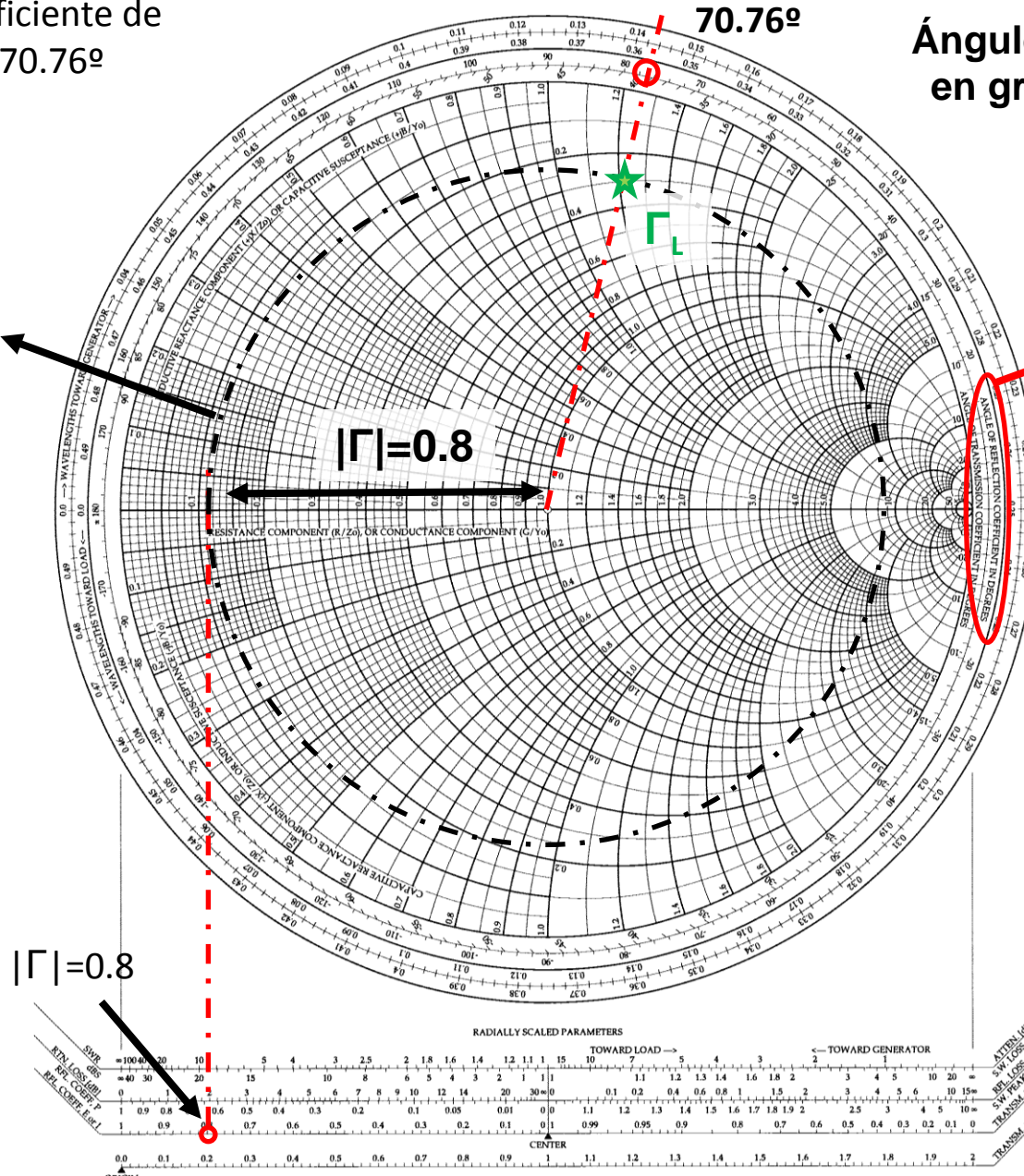
$$Y_2 = Y_1 + Y_0 \rightarrow \overline{Y_2} = \overline{Y_1} + 1$$

Posteriormente, mediante el stub en circuito abierto implementaremos la admittance Y_1 mediante la distancia L_{L2}



1. Mapeamos coeficiente de reflexión $\Gamma_L = 0.8 / 70.76^\circ$

Círculo de $|\Gamma|$ constante



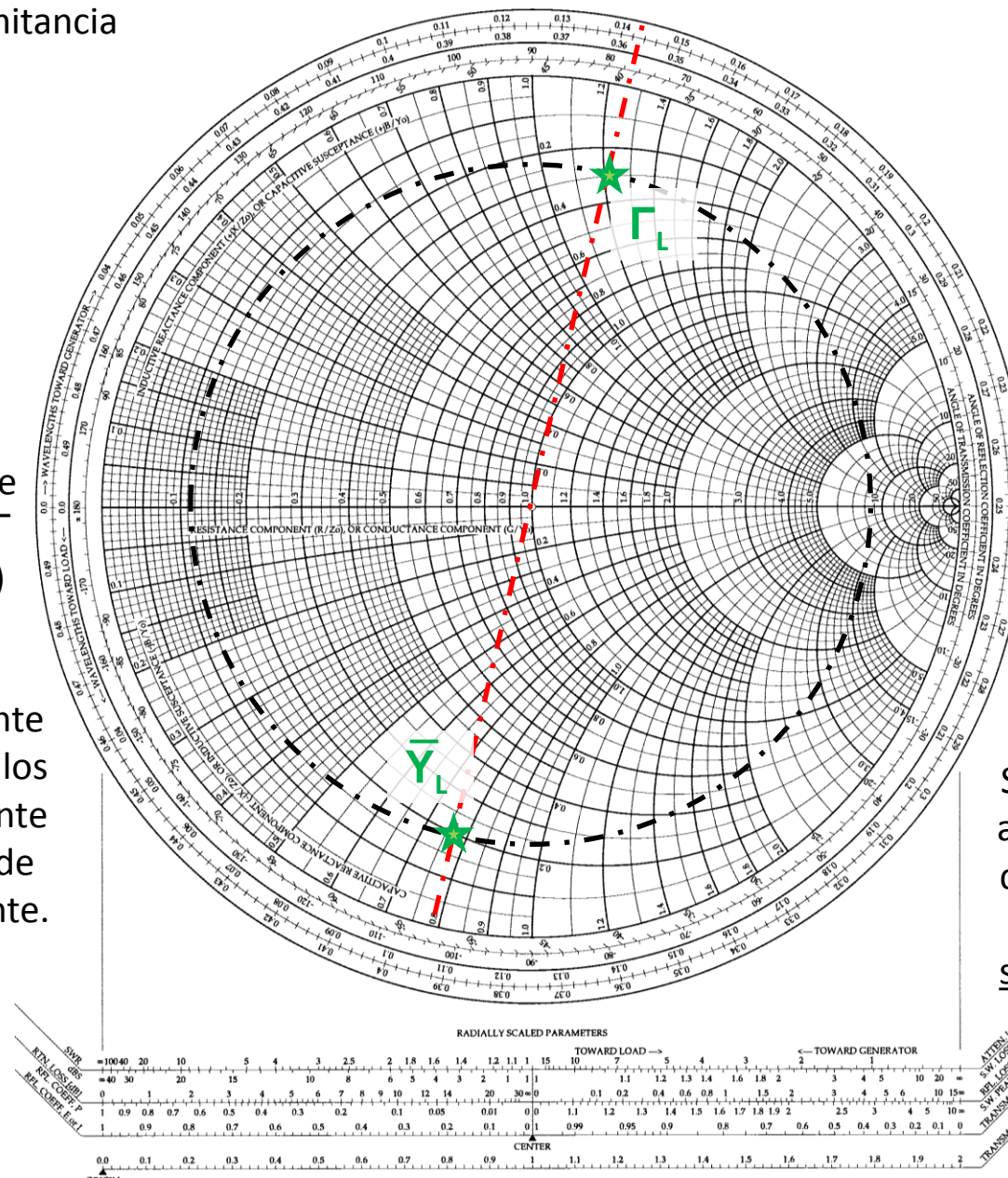
2. Obtenemos admitancia normalizada \bar{Y}_L

$$\bar{Y}_L = \frac{1}{\bar{Z}_L}$$

Pasamos de impedancia a admitancia mediante un giro de 180° en Γ (media carta Smith)

Consecuencias I:

Si trabajamos mediante admitancias, los círculos de resistencia constante pasan a ser círculos de conductancia constante.



Trabajamos en admitancias ya que nos será más cómodo a la hora de trabajar con el stub en paralelo

Consecuencias II:

Si trabajamos mediante admitancias, los círculos de reactancia constante pasan a ser círculos de susceptancia constante.



2. Obtenemos admitancia normalizada \bar{Y}_L

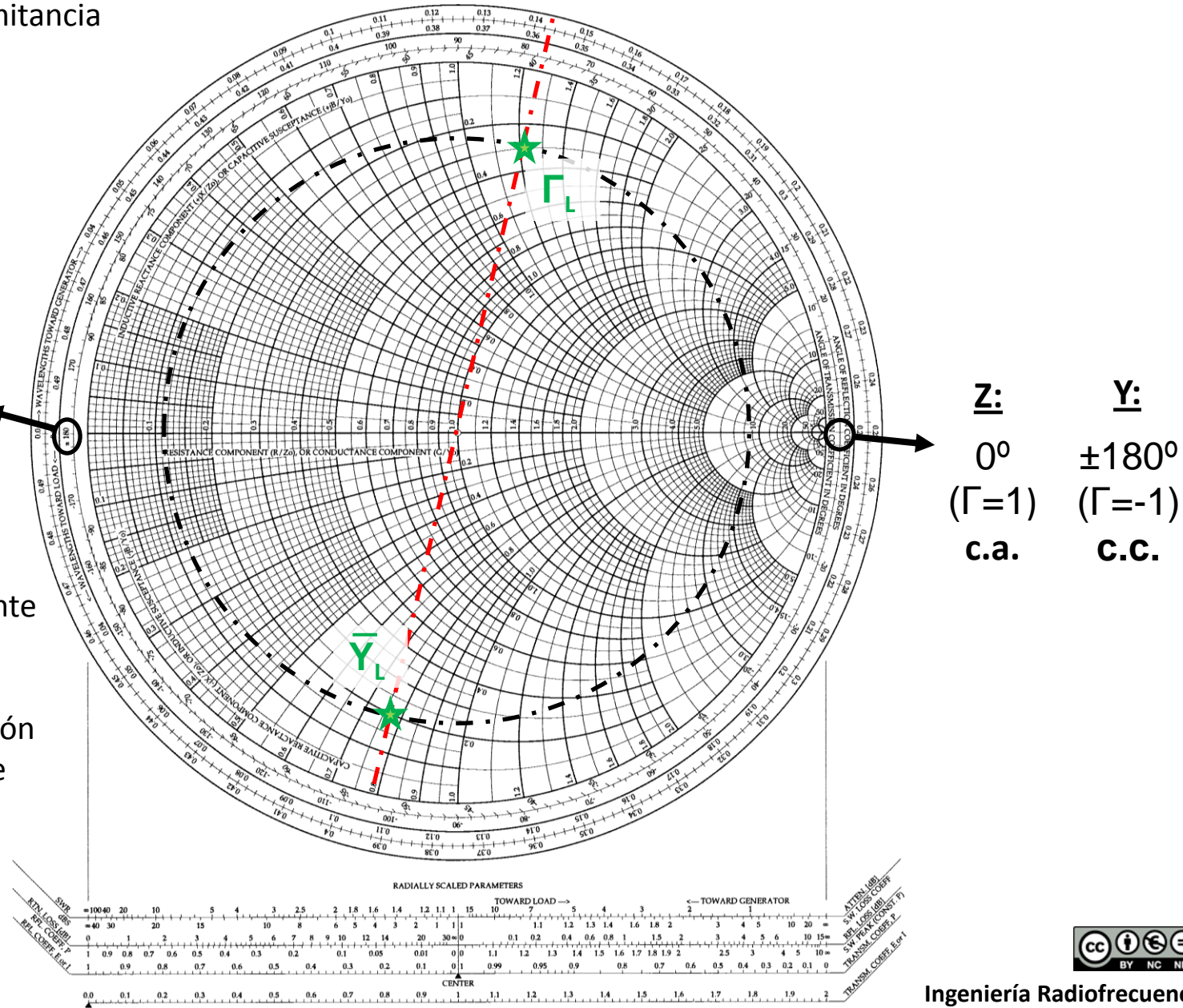
$$\bar{Y}_L = \frac{1}{\bar{Z}_L}$$

$$\begin{array}{ll} Z: & \bar{Y}: \\ \pm 180^\circ & 0^\circ \\ (\Gamma = -1) & (\Gamma = 1) \\ \text{c.c.} & \text{c.a.} \end{array}$$

Consecuencias III:

Si trabajamos mediante admitancias, la polaridad del coeficiente de reflexión también se invierte

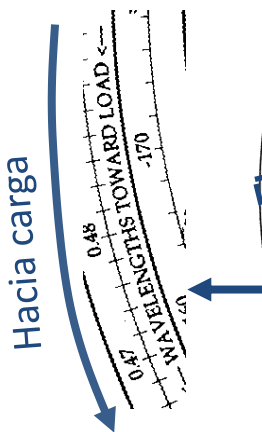
$$\begin{array}{l} \text{c.a.} \rightarrow \text{c.c.} \\ \text{c.c.} \rightarrow \text{c.a.} \end{array}$$



3. Desplazamos Γ_L una distancia L_{L1} tal que obtengamos

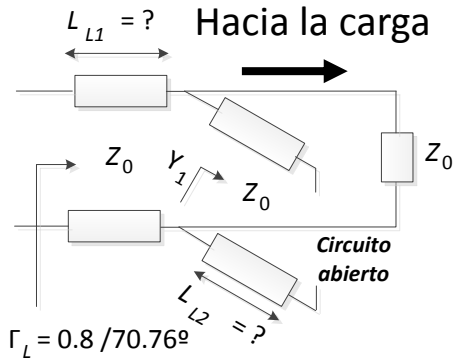
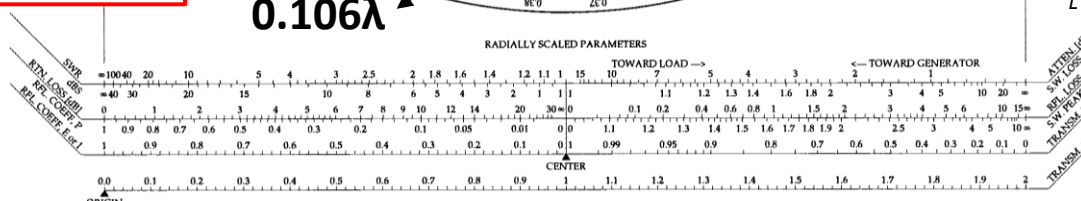
$$Y_2 = Y_1 + Y_0 \rightarrow \bar{Y}_2 = \bar{Y}_1 + 1$$

Hemos de cruzar el círculo de conductancia unidad

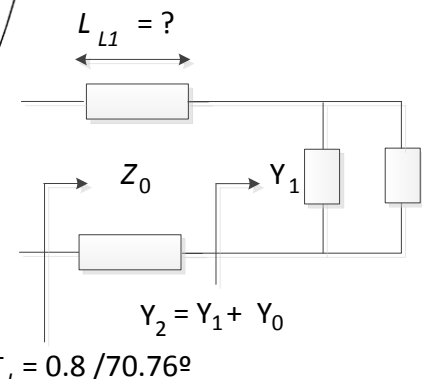


Tenemos dos soluciones, consideramos mínima L_{L1}

$$L_{L1} = 0.194\lambda - 0.106\lambda = 0.088\lambda$$



Círculo conductancia unidad



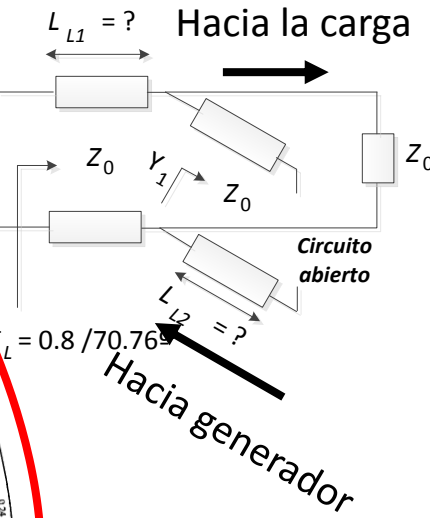
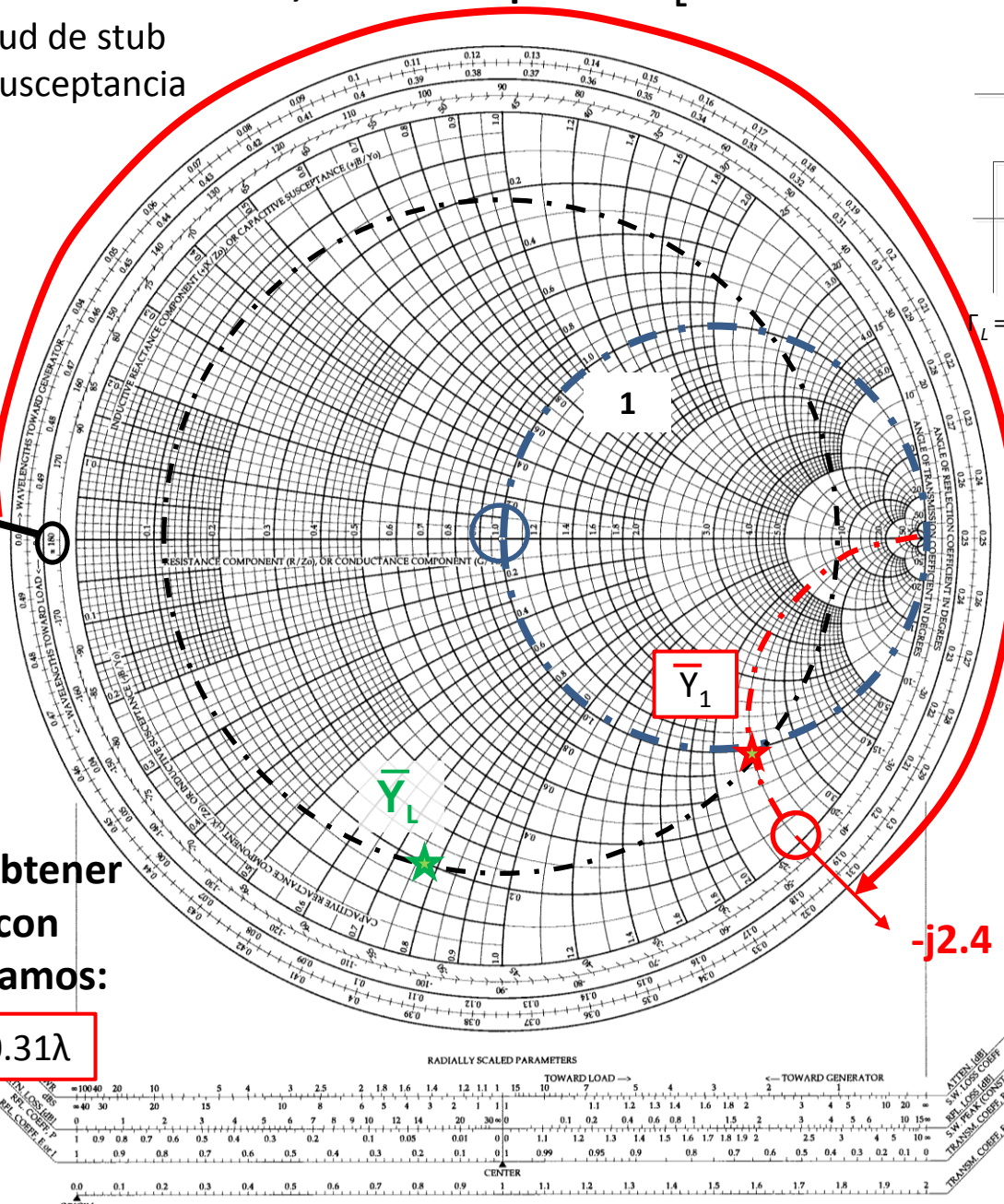
$$\Gamma_L = 0.8 / 70.76^\circ$$



Lista 5: Problema 1, red de adaptación Γ_L con stub en c.a.

4. Obtenemos longitud de stub para implementar la susceptancia requerida

Hacia generador
 \mathbf{Y} :
 0°
($\Gamma=1$)
c.a.



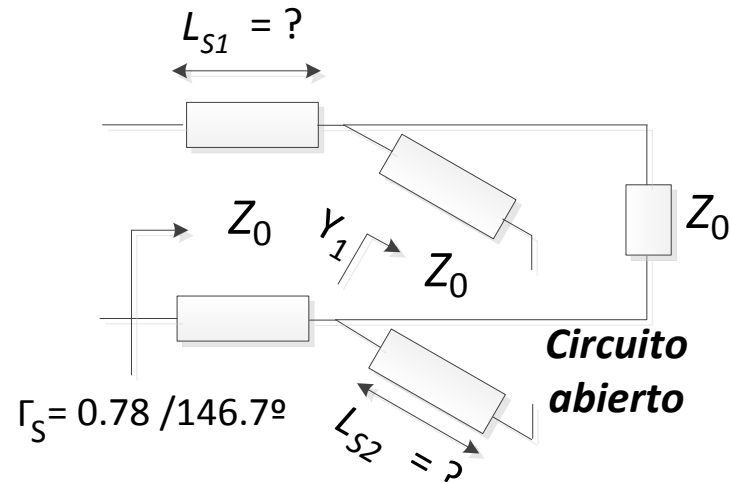
Universitat Autònoma de Barcelona
Escola d'Enginyeria, Departament d'Enginyeria Electrònica

Bellaterra (Cerdanyola del Vallès)

Lista 5: Problema 1

Obtención de la red de adaptación a la entrada mediante carta de Smith

1. Mediante la carta de Smith, obtener L_{S1} y L_{S2} para obtener el siguiente coeficiente de reflexión que cumple los requisitos del problema 1.

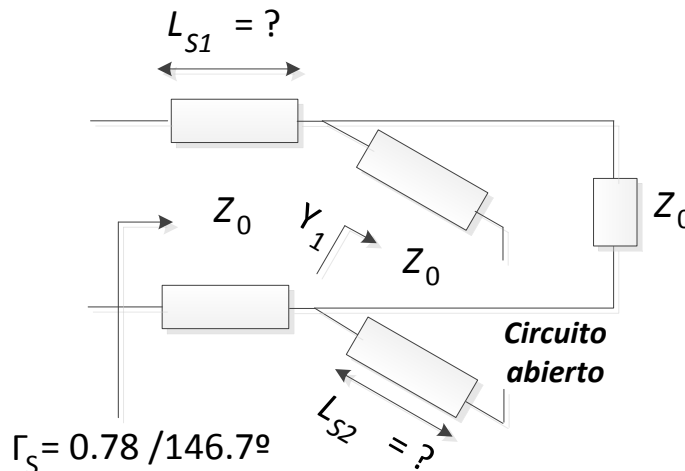


Miguel Durán-Sindreu

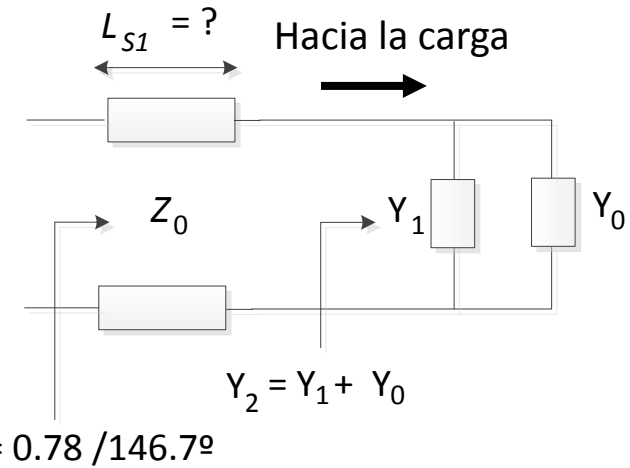
Curso 2012/2013



Ingeniería Radiofrecuencia
y Microondas



Trabajamos con admitancias ya que es más cómodo a la hora de tratar el paralelo



Impedancia de entrada Z_1 de una línea de longitud L_{L2} acabada en circuito abierto:

$$Z_1 = Z_0 \frac{Z_L + jZ_0 \tan(\beta L_{S2})}{Z_0 + jZ_L \tan(\beta L_{S2})} \rightarrow Z_1 \Big|_{Z_L \rightarrow \infty} = \frac{Z_0}{j \tan(\beta L_{S2})}$$

$$\overline{Z_1} \Big|_{Z_L \rightarrow \infty} = -j \cot(\beta L_{S2}) \quad \overline{Y_1} \Big|_{Z_L \rightarrow \infty} = j \tan(\beta L_{S2})$$

Dado que Y_1 es puramente imaginario, la longitud L_{S1} deberá permitir desplazar Γ_s (hacia la carga) hasta el círculo de conductancia unidad, para poder satisfacer la condición:

$$Y_2 = Y_1 + Y_0 \rightarrow \overline{Y_2} = \overline{Y_1} + 1$$

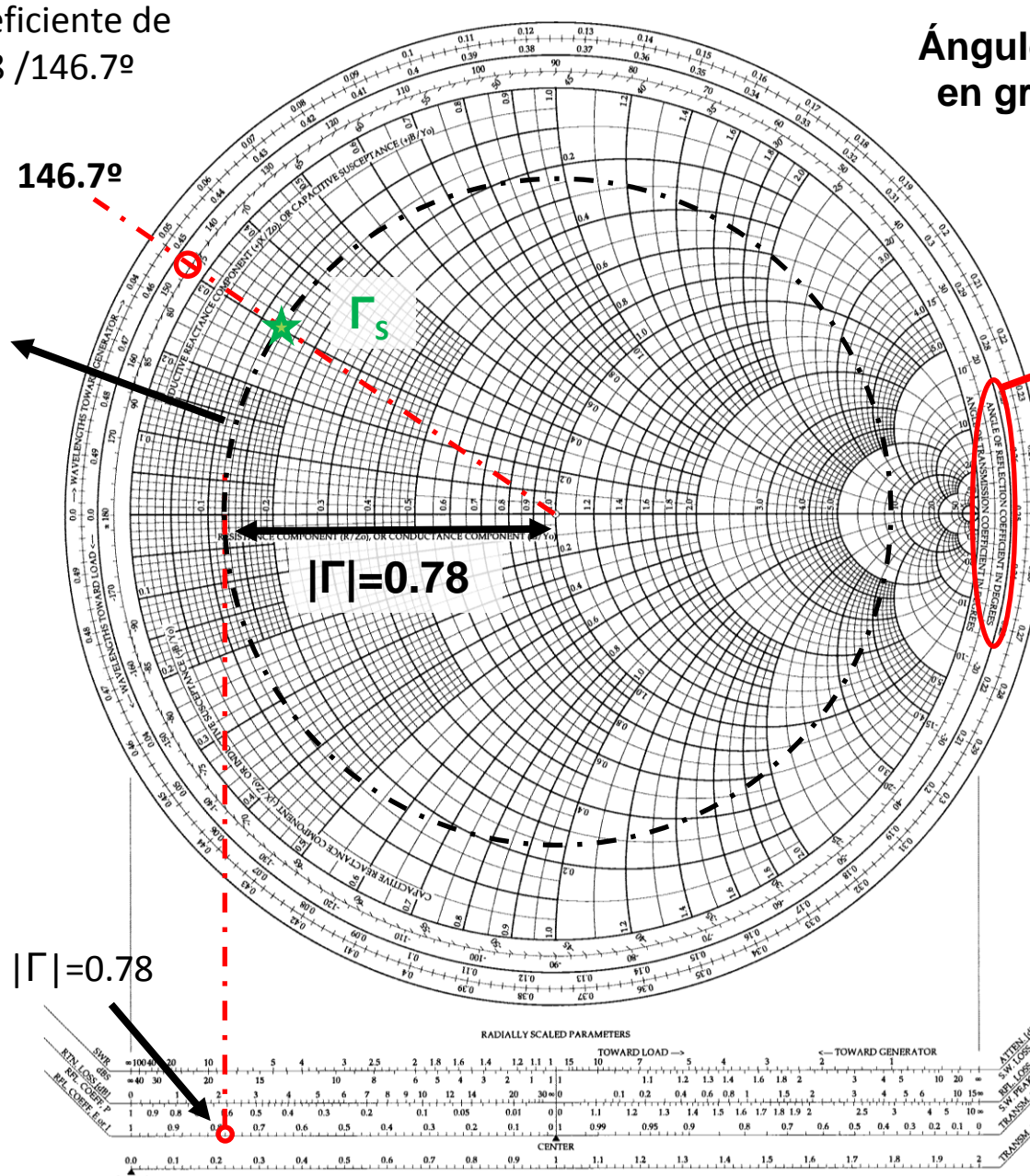
Posteriormente, mediante el stub en circuito abierto implementaremos la admittance Y_1 mediante la distancia L_{S2}



1. Mapeamos coeficiente de reflexión $\Gamma_s = 0.78 / 146.7^\circ$

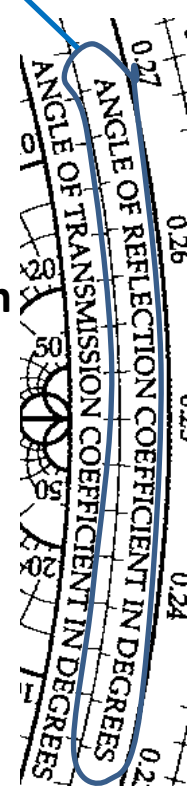
Círculo de $|\Gamma|$ constante

146.7°



Ángulo de Γ en grados

Zoom



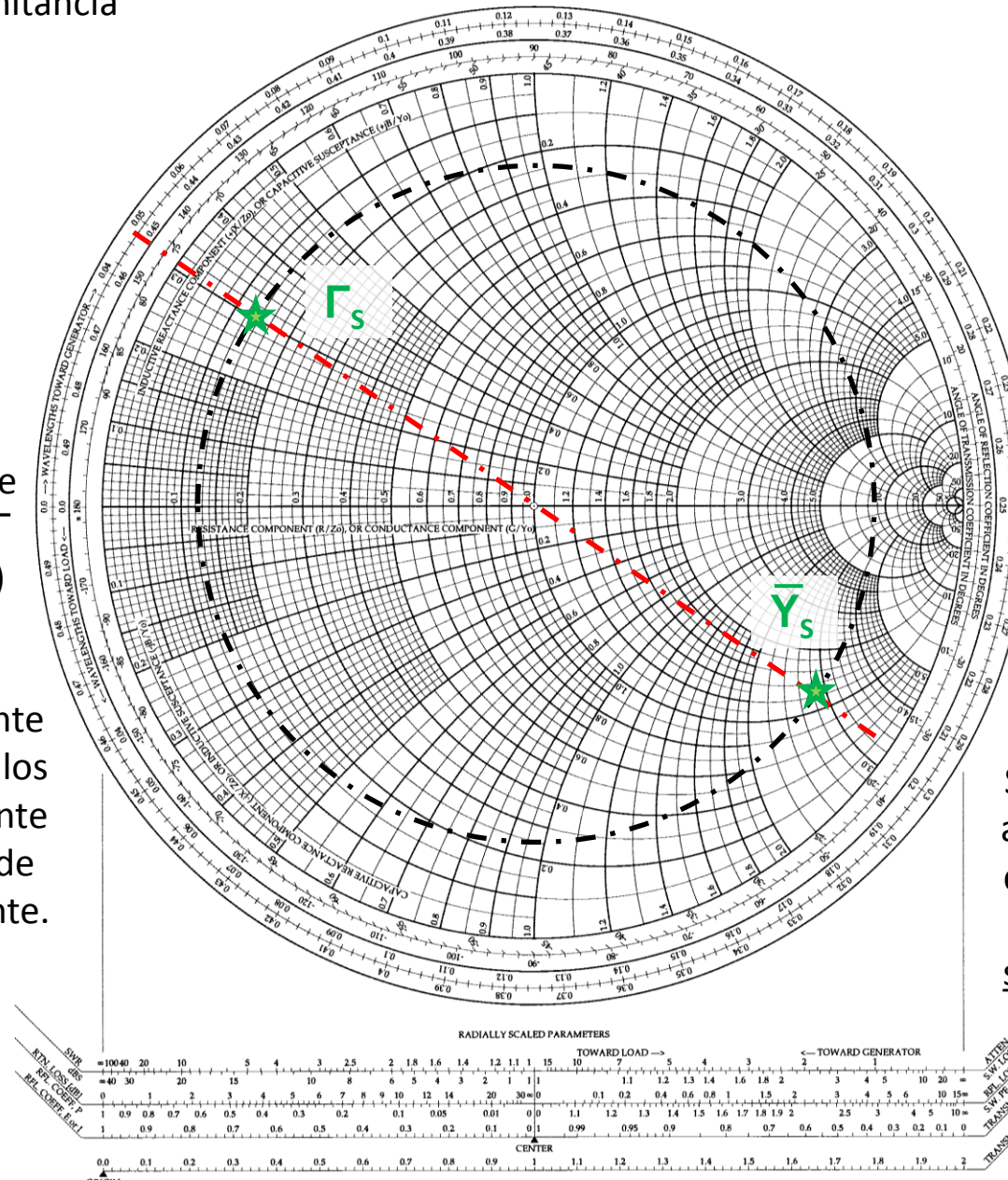
2. Obtenemos admitancia normalizada \bar{Y}_s

$$\bar{Y}_s = \frac{1}{\bar{Z}_s}$$

Pasamos de impedancia a admitancia mediante un giro de 180° en Γ (media carta Smith)

Consecuencias I:

Si trabajamos mediante admitancias, los círculos de resistencia constante pasan a ser círculos de conductancia constante.



Trabajamos en admitancias ya que nos será más cómodo a la hora de trabajar con el stub en paralelo

Consecuencias II:

Si trabajamos mediante admitancias, los círculos de reactancia constante pasan a ser círculos de susceptancia constante.



2. Obtenemos admitancia normalizada \bar{Y}_s

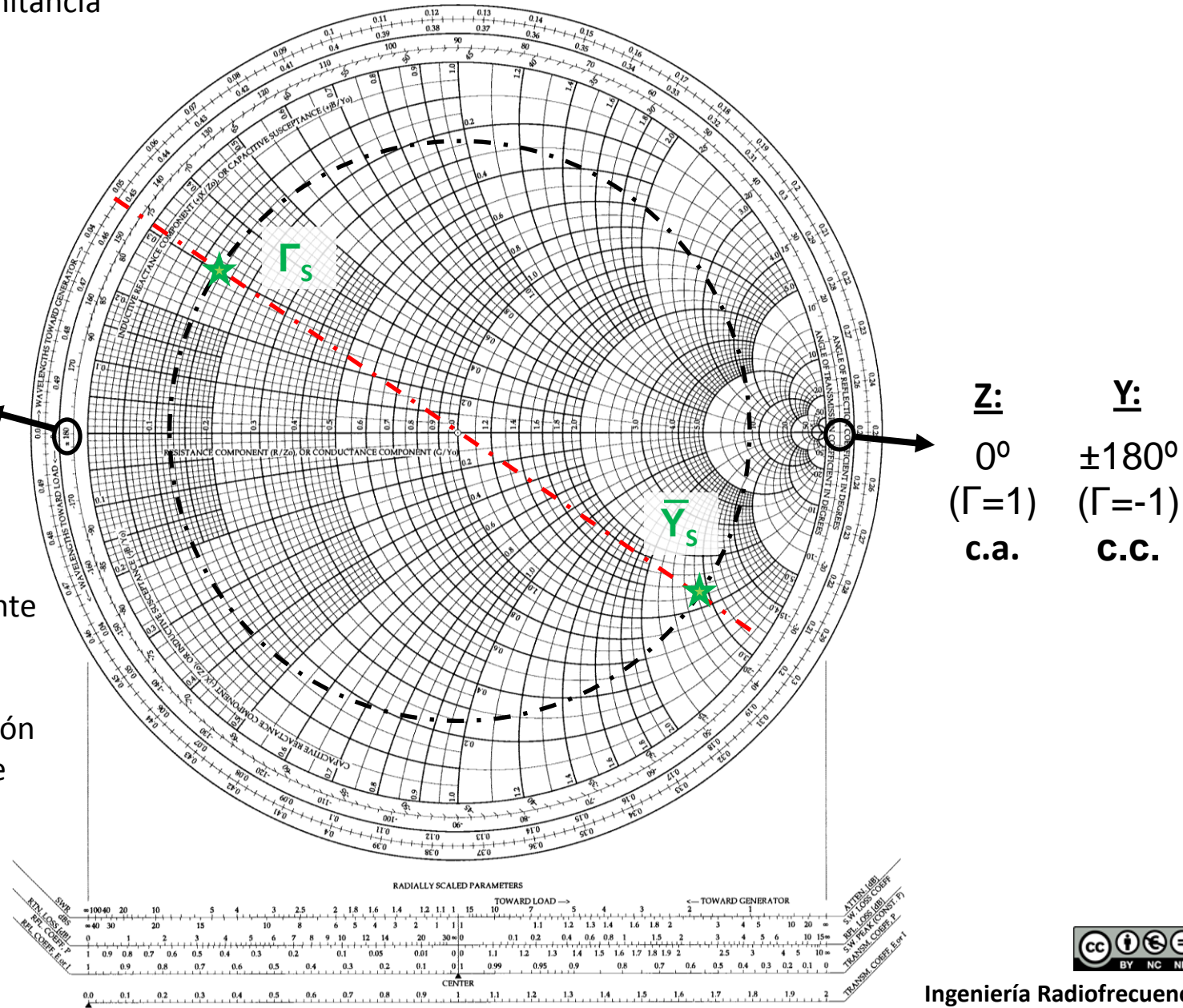
$$\bar{Y}_s = \frac{1}{\bar{Z}_s}$$

$$\begin{array}{ll} Z: & Y: \\ \pm 180^\circ & 0^\circ \\ (\Gamma = -1) & (\Gamma = 1) \\ \text{c.c.} & \text{c.a.} \end{array}$$

Consecuencias III:

Si trabajamos mediante admitancias, la polaridad del coeficiente de reflexión también se invierte

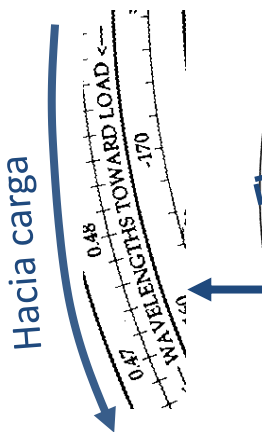
$$\begin{array}{l} \text{c.a.} \rightarrow \text{c.c.} \\ \text{c.c.} \rightarrow \text{c.a.} \end{array}$$



3. Desplazamos Γ_s una distancia L_{S1} tal que obtengamos

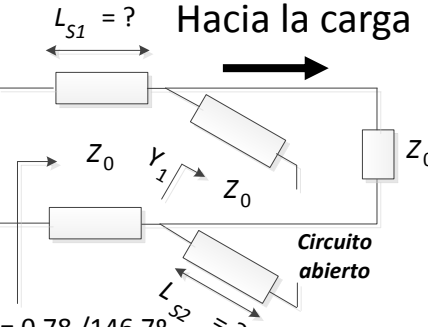
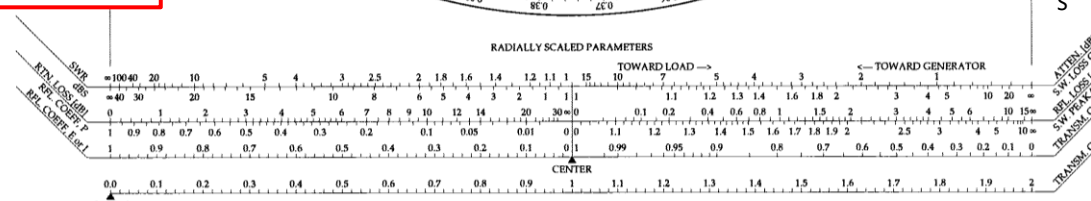
$$Y_2 = Y_1 + Y_0 \rightarrow \bar{Y}_2 = \bar{Y}_1 + 1$$

Hemos de cruzar el círculo de conductancia unidad

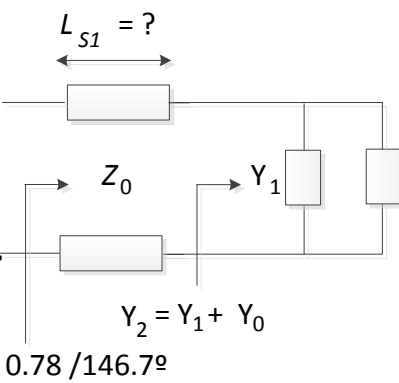


Tenemos dos soluciones, consideramos mínima L_{S1}

$$L_{S1} = 0.304\lambda - 0.204\lambda = 0.1\lambda$$



Círculo conductancia unidad

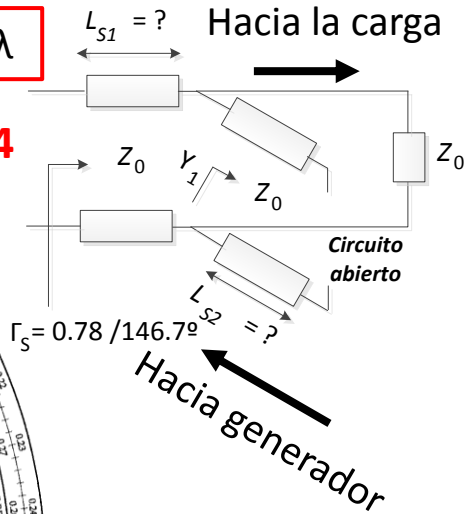
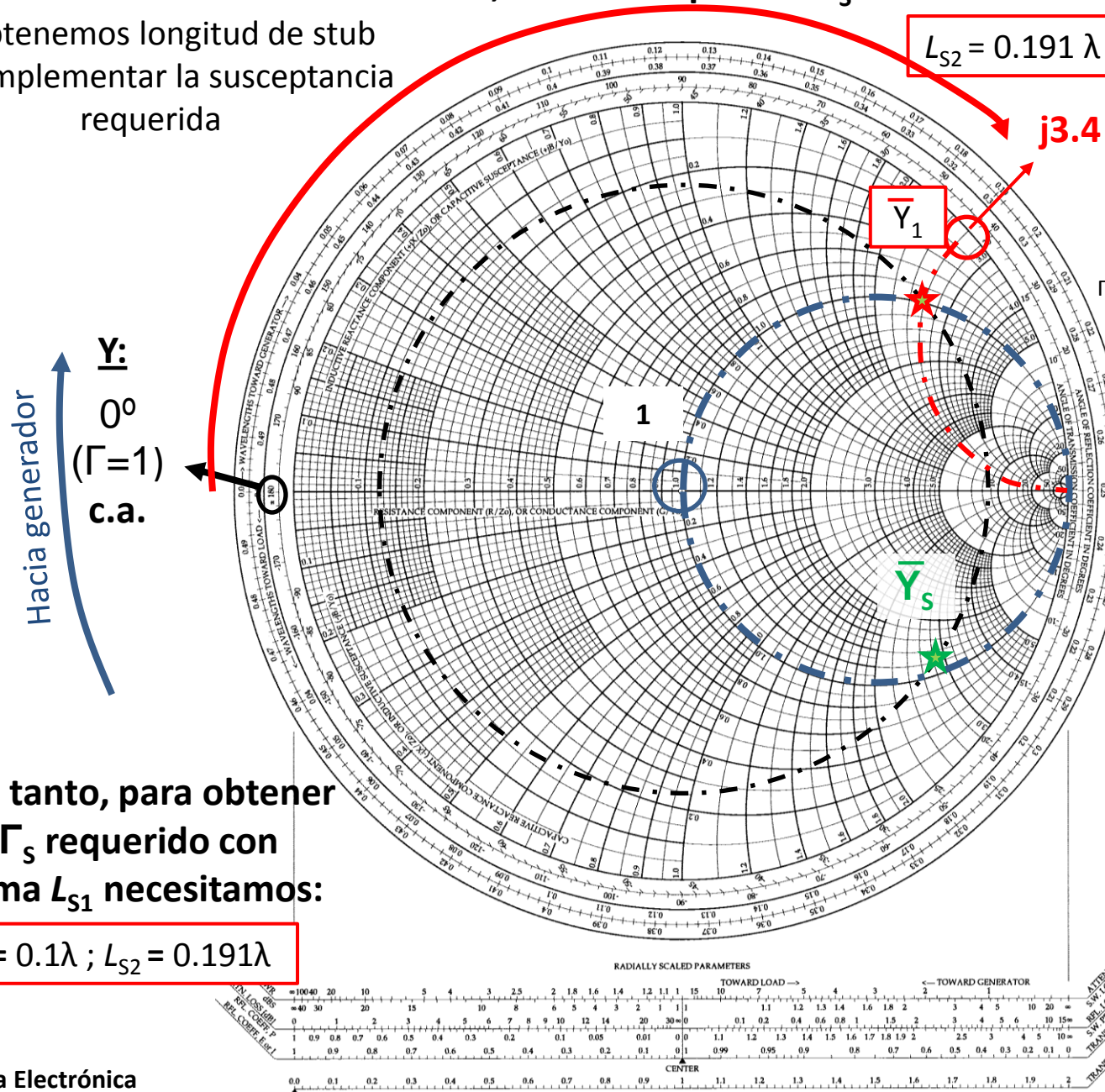


$$\Gamma_s = 0.78 / 146.7^\circ$$



Lista 5: Problema 1, red de adaptación Γ_s con stub en c.a.

4. Obtenemos longitud de stub para implementar la susceptancia requerida



Universitat Autònoma de Barcelona

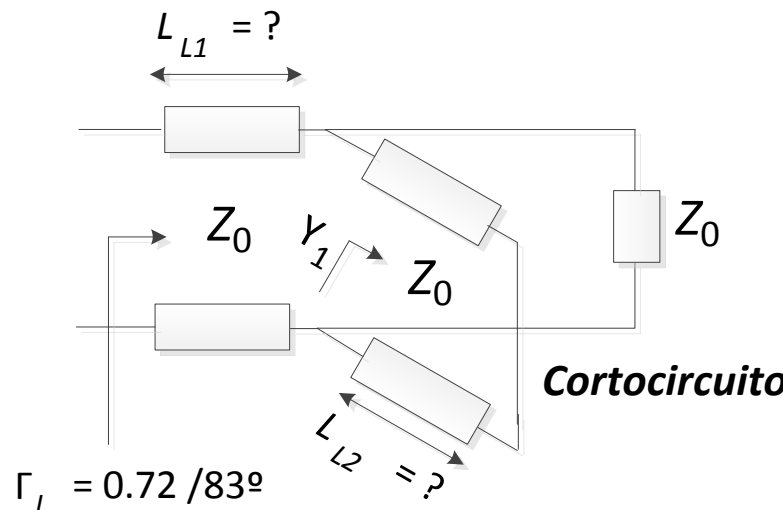
Escola d'Enginyeria, Departament d'Enginyeria Electrònica

Bellaterra (Cerdanyola del Vallès)

Lista 5: Problema 2

Obtención de la red de adaptación a la salida mediante carta de Smith

2. Mediante la carta de Smith, obtener L_{L1} y L_{L2} para obtener el siguiente coeficiente de reflexión que cumple los requisitos del problema 2.

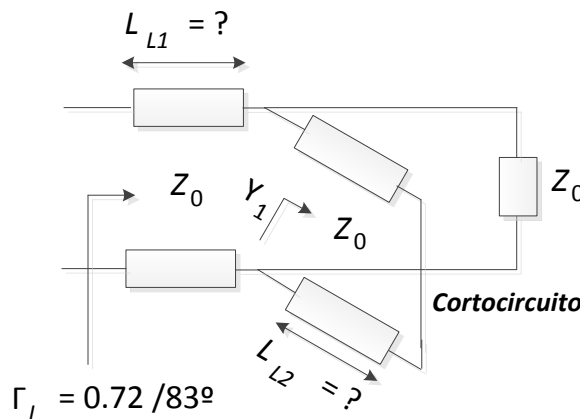


Miguel Durán-Sindreu

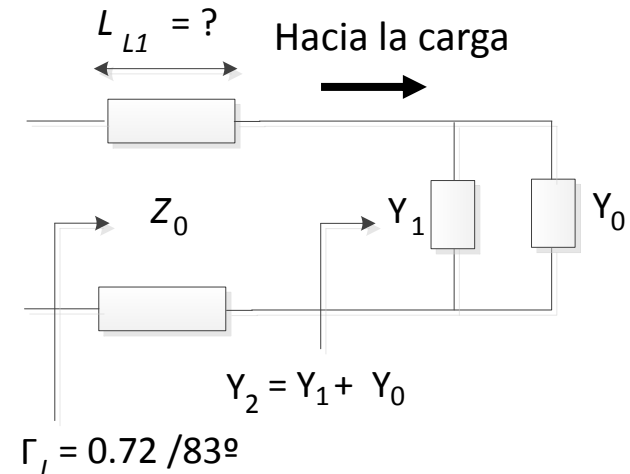
Curso 2012/2013



Ingeniería Radiofrecuencia
y Microondas



Trabajamos con admitancias ya que es más cómodo a la hora de tratar el paralelo



Impedancia de entrada Z_1 de una línea de longitud L_{L2} acabada en cortocircuito:

$$Z_1 = Z_0 \frac{Z_L + jZ_0 \tan(\beta L_{L2})}{Z_0 + jZ_L \tan(\beta L_{L2})} \rightarrow Z_1 \Big|_{Z_L \rightarrow 0} = Z_0 j \tan(\beta L_{L2})$$

$$\overline{Z_1} \Big|_{Z_L \rightarrow 0} = j \tan(\beta L_{L2}) \quad \overline{Y_1} \Big|_{Z_L \rightarrow 0} = -j \cotan(\beta L_{L2})$$

Dado que Y_1 es puramente imaginario, la longitud L_{L1} deberá permitir desplazar Γ_L (hacia la carga) hasta el círculo de conductancia unidad, para poder satisfacer la condición:

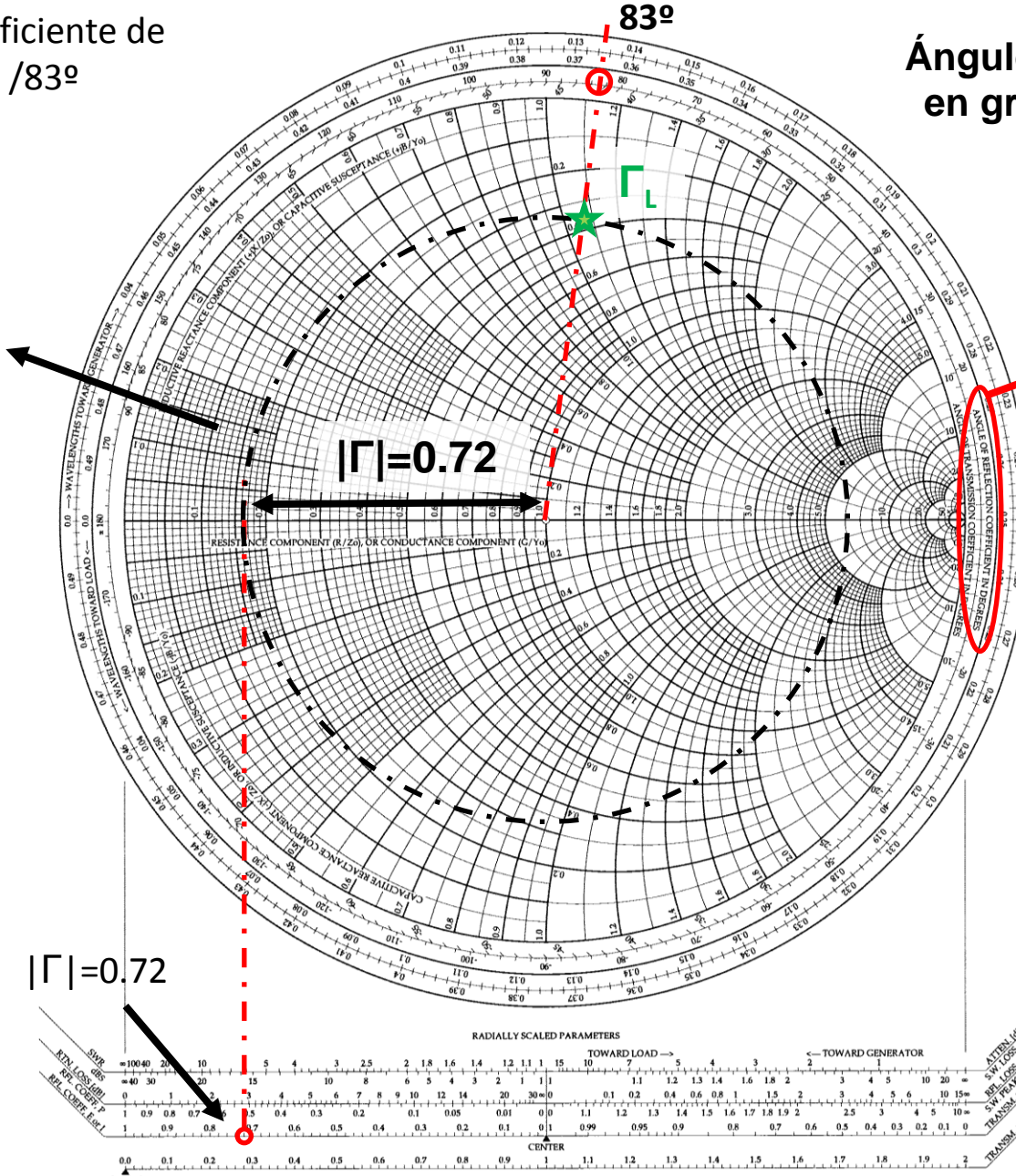
$$Y_2 = Y_1 + Y_0 \rightarrow \overline{Y_2} = \overline{Y_1} + 1$$

Posteriormente, mediante el stub en cortocircuito implementaremos la admittance Y_1 mediante la distancia L_{L2}



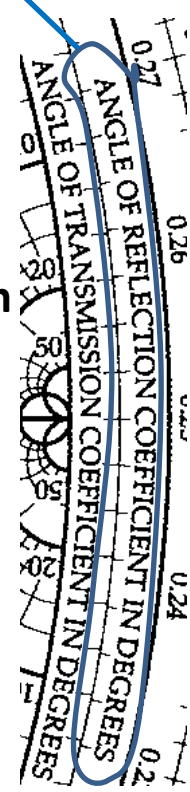
1. Mapeamos coeficiente de reflexión $\Gamma_L = 0.72 / 83^\circ$

Círculo de $|\Gamma|$ constante



Ángulo de Γ en grados

Zoom



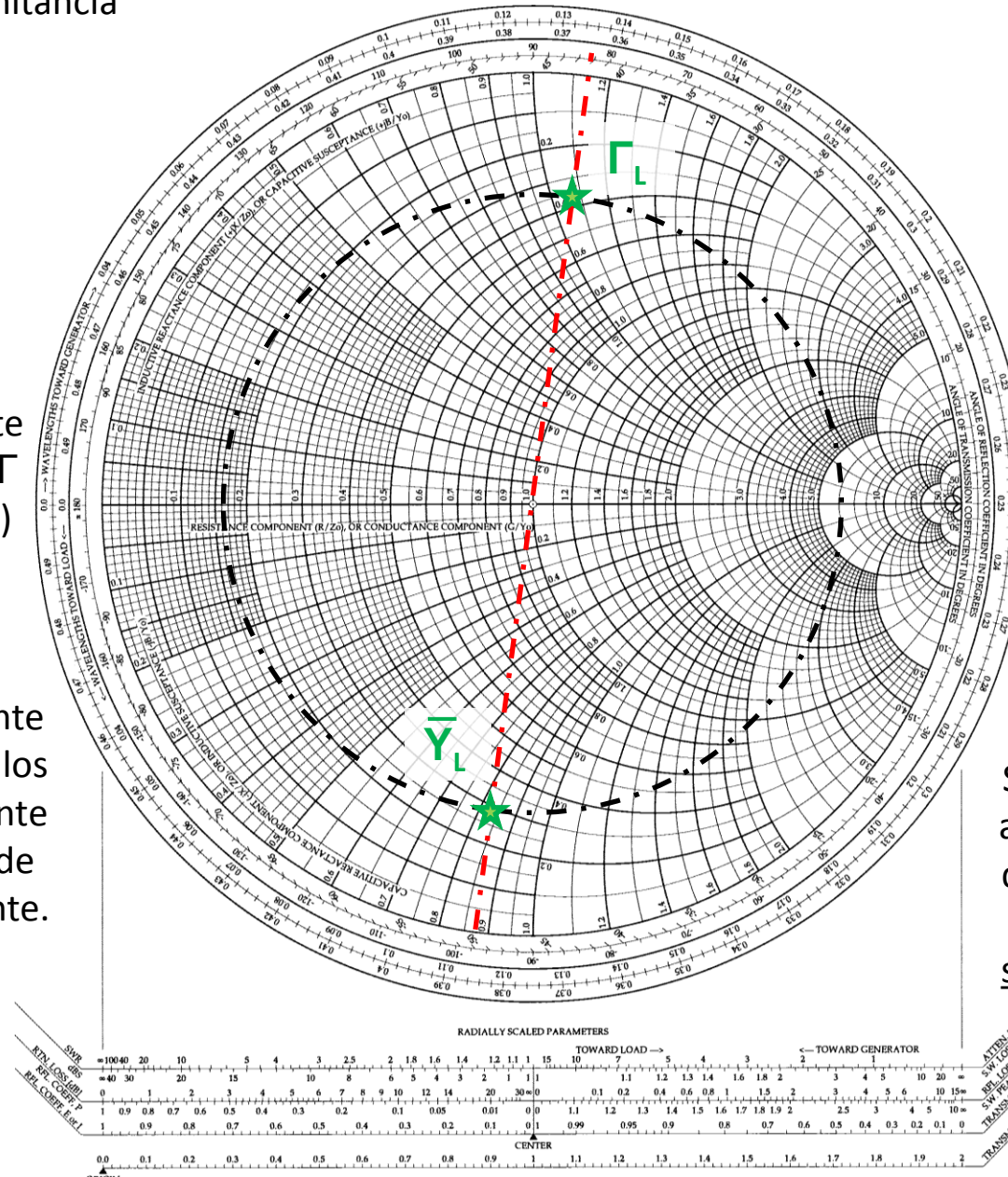
2. Obtenemos admitancia normalizada \bar{Y}_L

$$\bar{Y}_L = \frac{1}{Z_L}$$

Pasamos de impedancia a admitancia mediante un giro de 180° en Γ (media carta Smith)

Consecuencias I:

Si trabajamos mediante admitancias, los círculos de resistencia constante pasan a ser círculos de conductancia constante.



Trabajamos en admitancias ya que nos será más cómodo a la hora de trabajar con el stub en paralelo

Consecuencias II:

Si trabajamos mediante admitancias, los círculos de reactancia constante pasan a ser círculos de susceptancia constante.



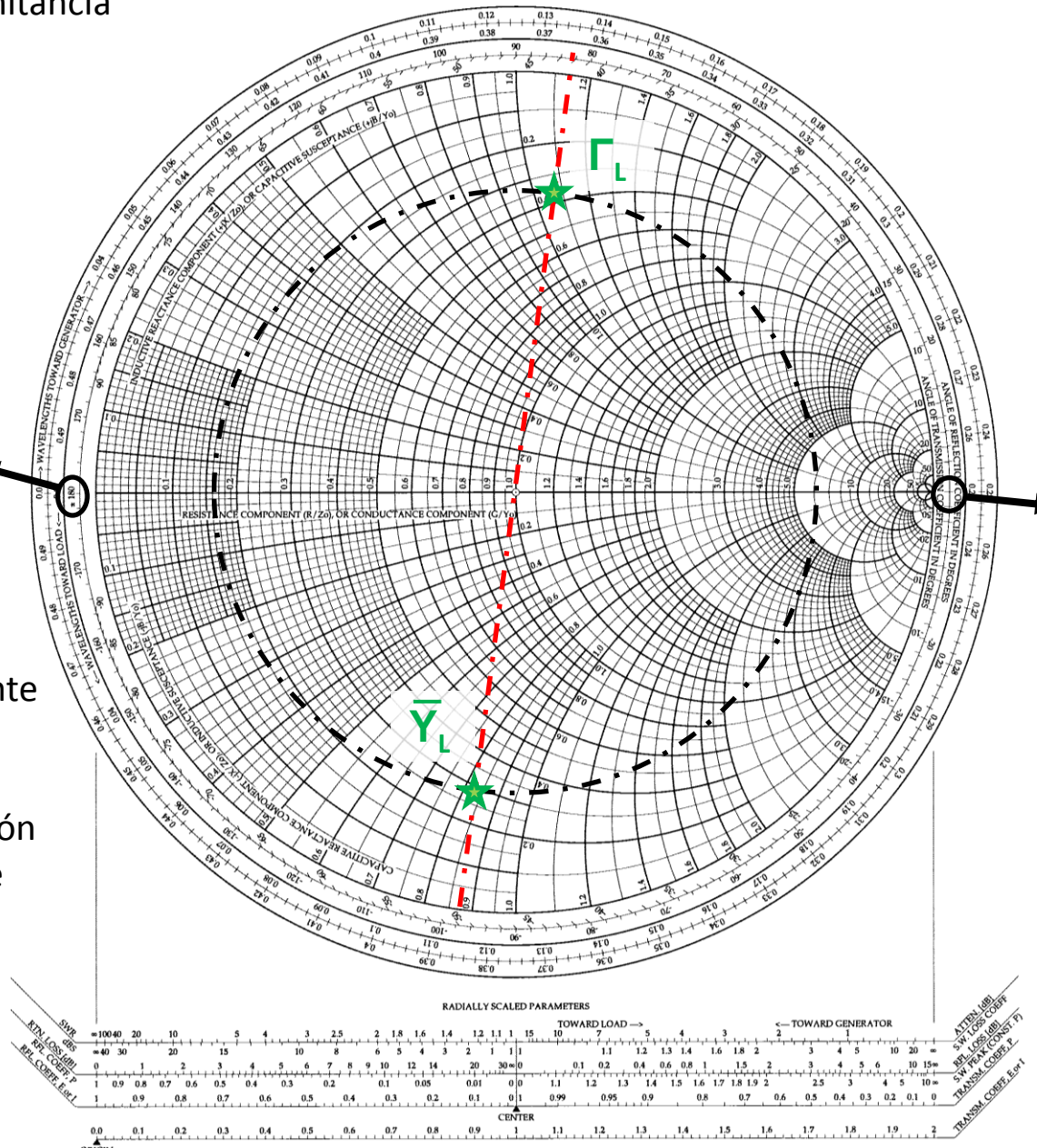
2. Obtenemos admitancia normalizada \underline{Y}_L

$$\overline{Y_L} = \frac{1}{Z_L}$$

| <u>Z:</u> | <u>Y:</u> |
|-----------------|----------------|
| $\pm 180^\circ$ | 0° |
| $(\Gamma = -1)$ | $(\Gamma = 1)$ |
| c.c. | c.a. |

Consecuencias III:
trabajamos mediante
admitancias, la
polaridad del
eficiente de reflexión
también se invierte

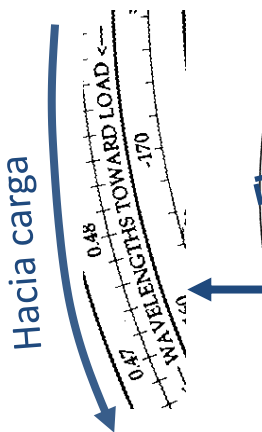
c.a. \rightarrow c.c.
c.c. \rightarrow c.a



3. Desplazamos Γ_L una distancia L_{L1} tal que obtengamos

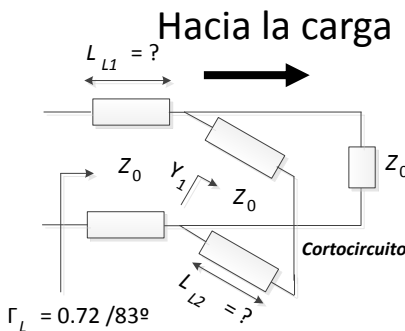
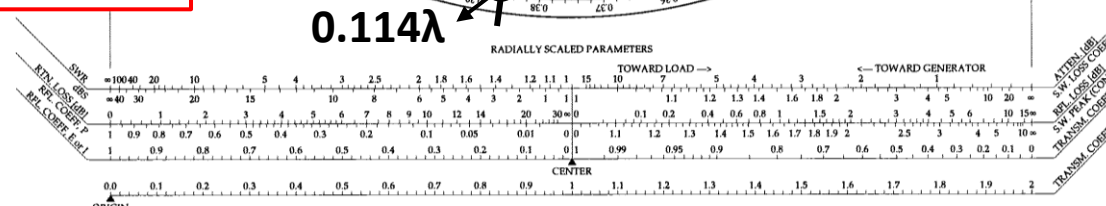
$$Y_2 = Y_1 + Y_0 \rightarrow \bar{Y}_2 = \bar{Y}_1 + 1$$

Hemos de cruzar el círculo de conductancia unidad

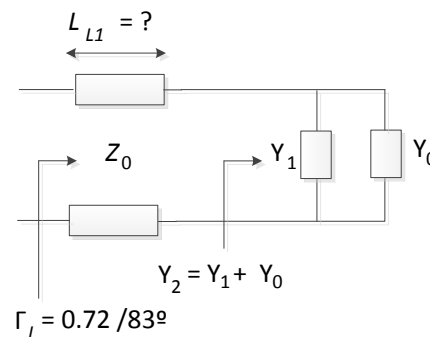


Tenemos dos soluciones, consideramos mínima L_{L1}

$$L_{L1} = 0.192\lambda - 0.114\lambda = 0.078\lambda$$



Círculo conductancia unidad

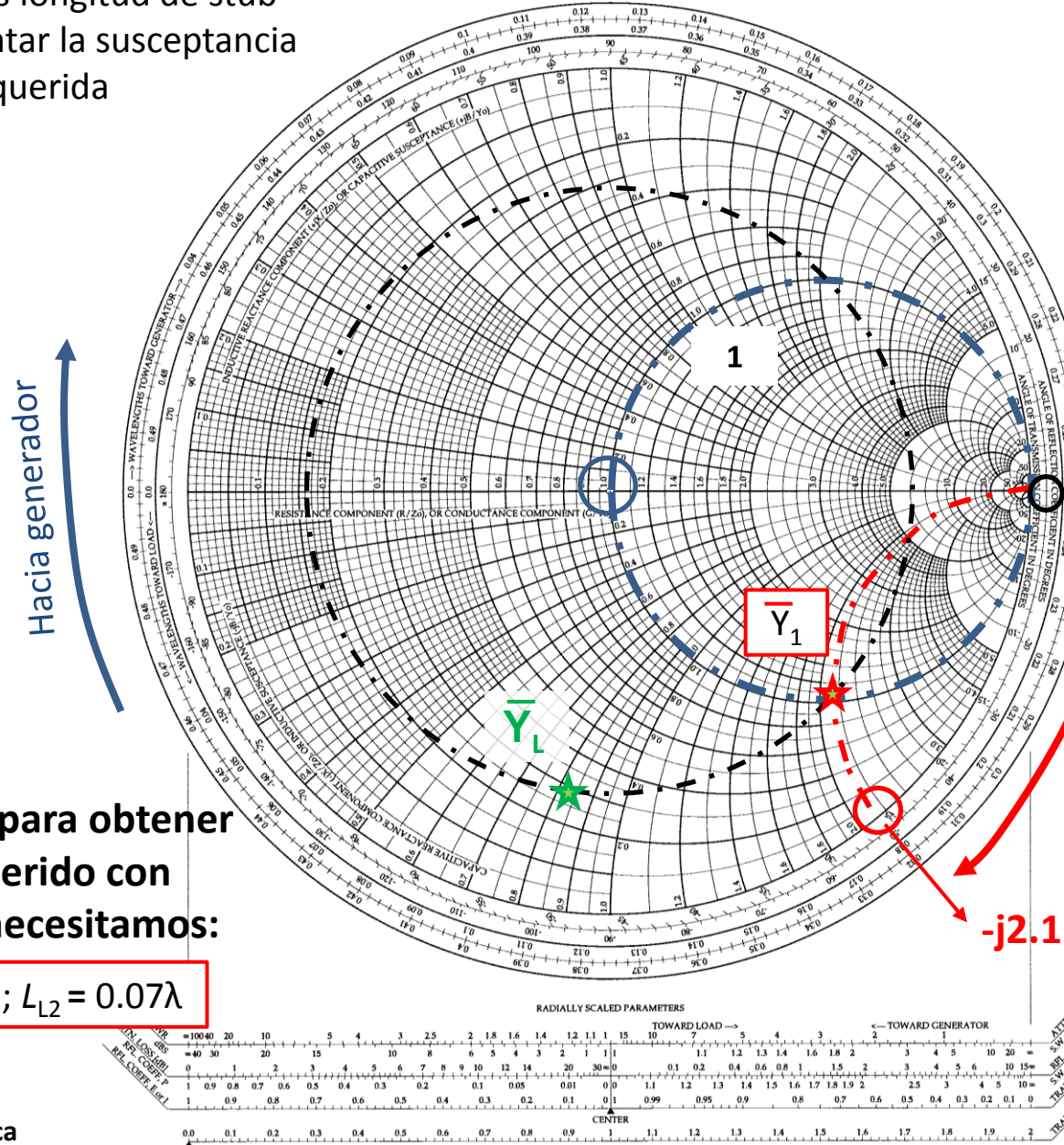


4. Obtenemos longitud de stub para implementar la susceptancia requerida

Hacia generador

Por lo tanto, para obtener el Γ_L requerido con mínima L_{L1} necesitamos:

$$L_{L1} = 0.078\lambda ; L_{L2} = 0.07\lambda$$



$$L_{L2} = 0.32\lambda - 0.25\lambda = 0.07\lambda$$



Universitat Autònoma de Barcelona

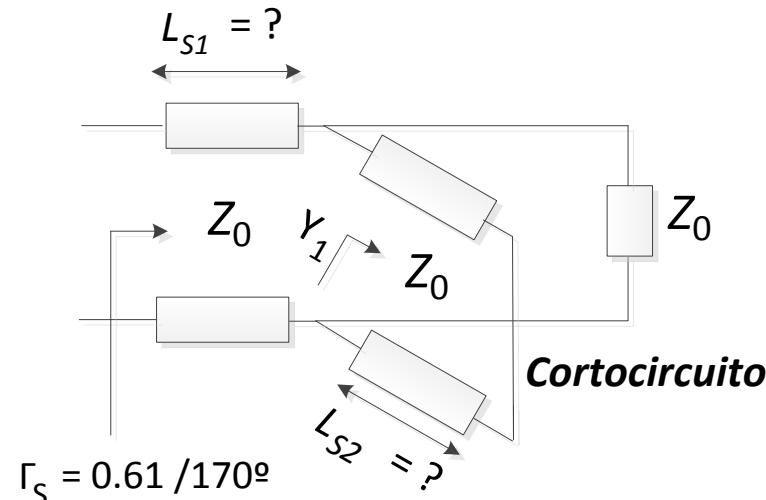
Escola d'Enginyeria, Departament d'Enginyeria Electrònica

Bellaterra (Cerdanyola del Vallès)

Lista 5: Problema 2

Obtención de la red de adaptación a la entrada mediante carta de Smith

2. Mediante la carta de Smith, obtener L_{S1} y L_{S2} para obtener el siguiente coeficiente de reflexión que cumple los requisitos del problema 2.

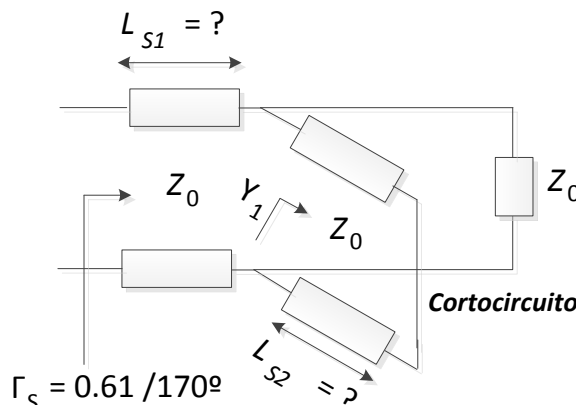


Miguel Durán-Sindreu

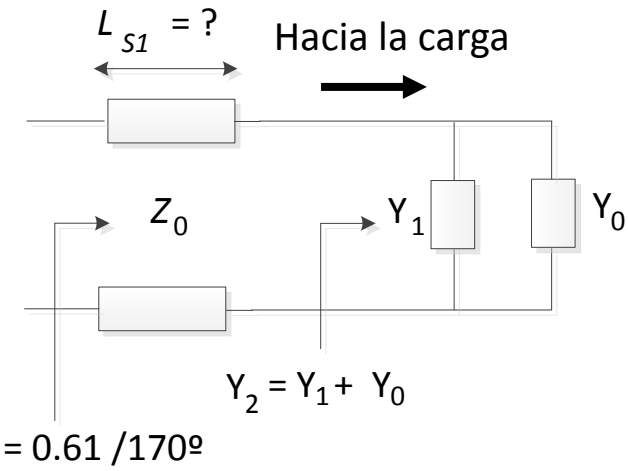
Curso 2012/2013



Ingeniería Radiofrecuencia
y Microondas



Trabajamos con admitancias ya que es más cómodo a la hora de tratar el paralelo



Impedancia de entrada Z_1 de una línea de longitud L_{L2} acabada en cortocircuito:

$$Z_1 = Z_0 \frac{Z_L + jZ_0 \tan(\beta L_{S2})}{Z_0 + jZ_L \tan(\beta L_{S2})} \rightarrow Z_1 \Big|_{Z_L \rightarrow 0} = Z_0 j \tan(\beta L_{S2})$$

$$\overline{Z_1} \Big|_{Z_L \rightarrow 0} = j \tan(\beta L_{S2}) \quad \overline{Y_1} \Big|_{Z_L \rightarrow 0} = -j \cotan(\beta L_{S2})$$

Dado que Y_1 es puramente imaginario, la longitud L_{S1} deberá permitir desplazar Γ_s (hacia la carga) hasta el círculo de conductancia unidad, para poder satisfacer la condición:

$$Y_2 = Y_1 + Y_0 \rightarrow \overline{Y_2} = \overline{Y_1} + 1$$

Posteriormente, mediante el stub en cortocircuito implementaremos la admittance Y_1 mediante la distancia L_{S2}

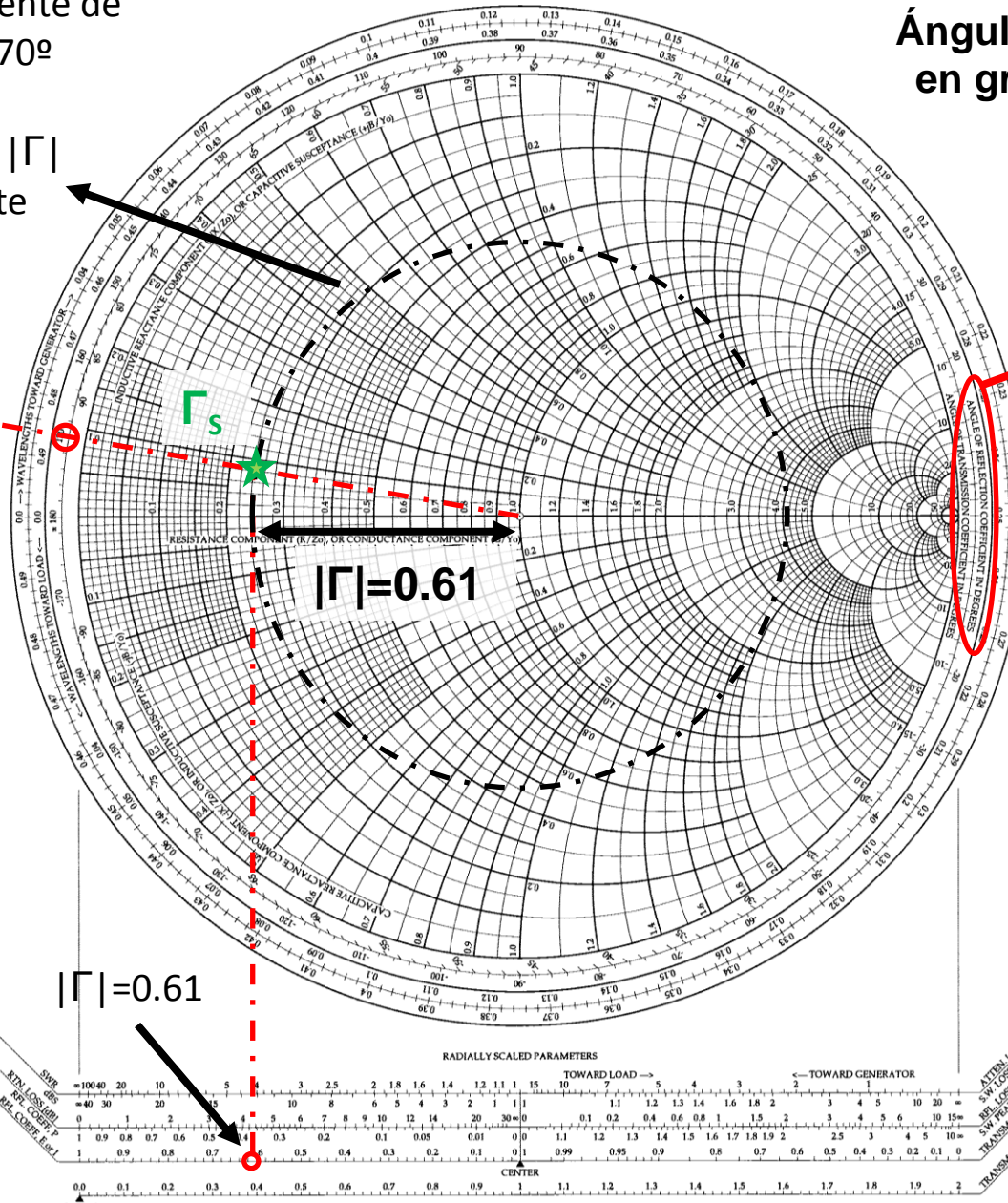


1. Mapeamos coeficiente de reflexión $\Gamma_s = 0.61 / 170^\circ$

Círculo de $|\Gamma|$ constante

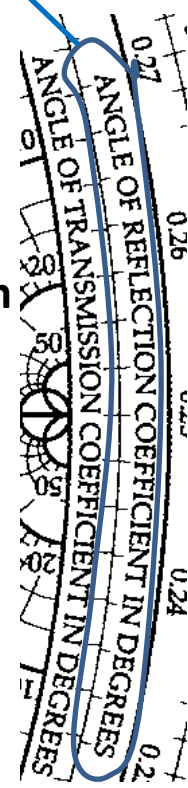
170°

$|\Gamma| = 0.61$



Ángulo de Γ en grados

Zoom



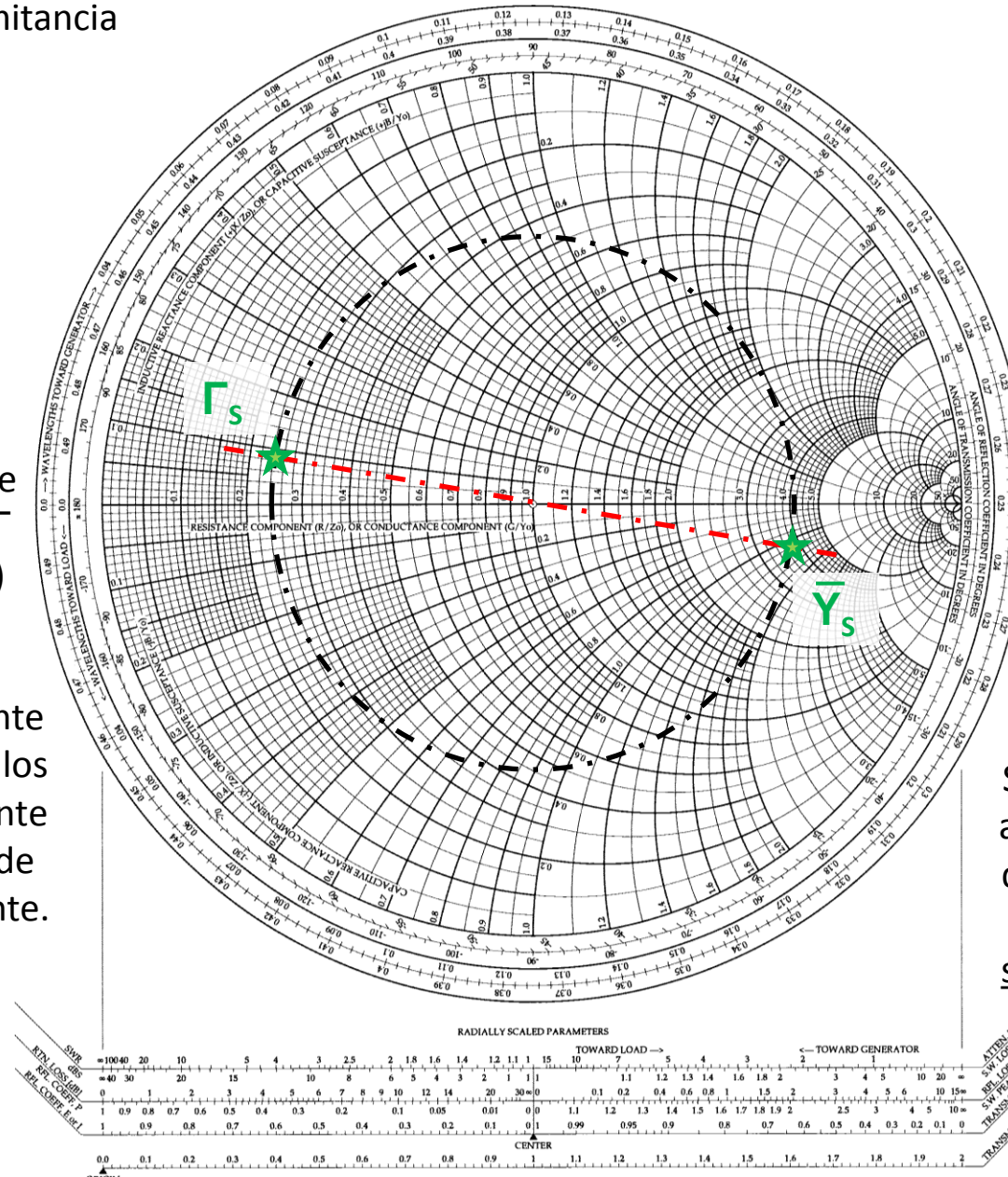
2. Obtenemos admitancia normalizada \bar{Y}_s

$$\bar{Y}_s = \frac{1}{Z_s}$$

Pasamos de impedancia a admitancia mediante un giro de 180° en Γ (media carta Smith)

Consecuencias I:

Si trabajamos mediante admitancias, los círculos de resistencia constante pasan a ser círculos de conductancia constante.



Trabajamos en admitancias ya que nos será más cómodo a la hora de trabajar con el stub en paralelo

Consecuencias II:

Si trabajamos mediante admitancias, los círculos de reactancia constante pasan a ser círculos de susceptancia constante.



2. Obtenemos admitancia normalizada \bar{Y}_s

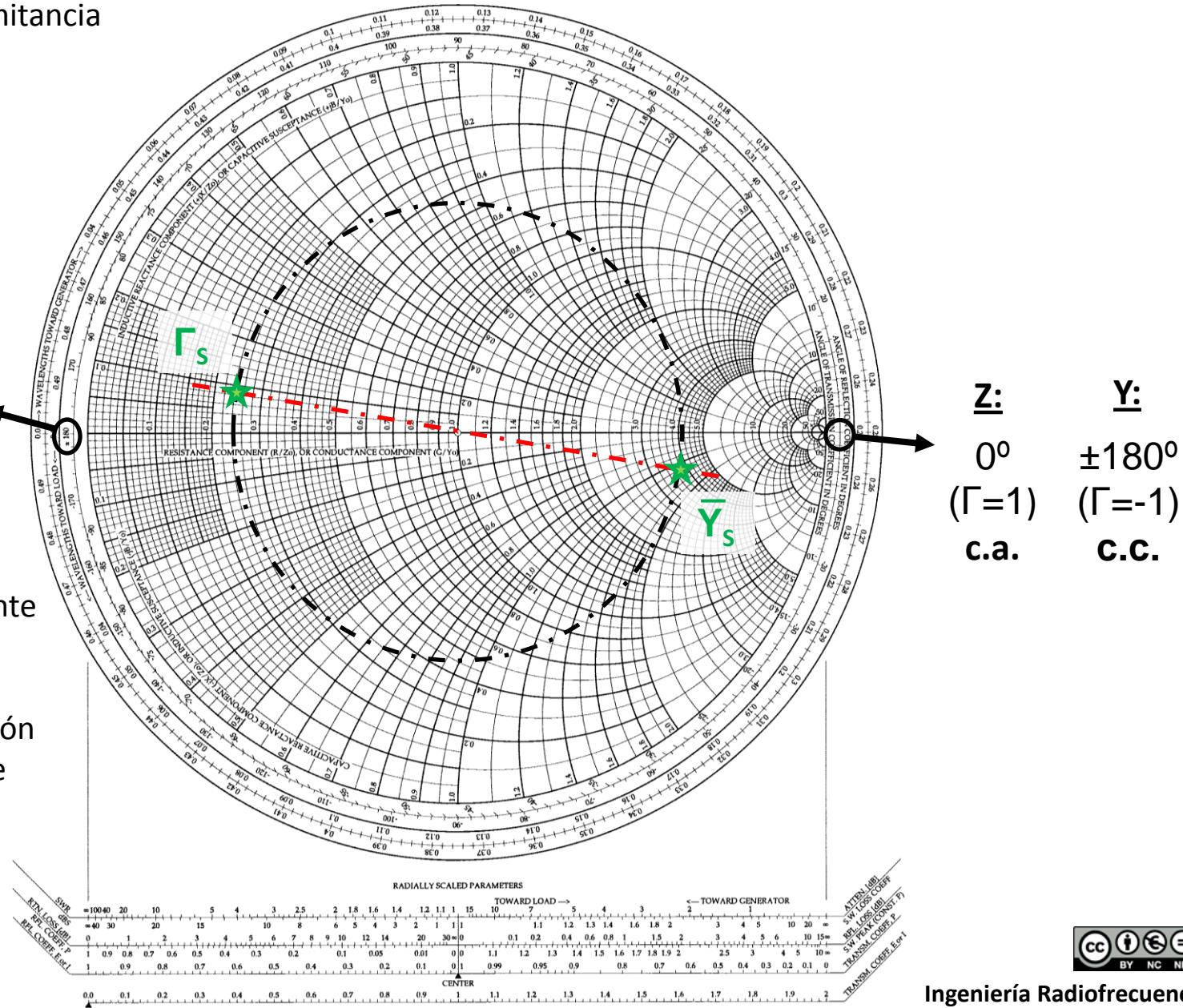
$$\bar{Y}_s = \frac{1}{\bar{Z}_s}$$

Z: \bar{Y}_s
 $\pm 180^\circ$ 0°
 $(\Gamma = -1)$ $(\Gamma = 1)$
c.c. c.a.

Consecuencias III:

Si trabajamos mediante admitancias, la polaridad del coeficiente de reflexión también se invierte

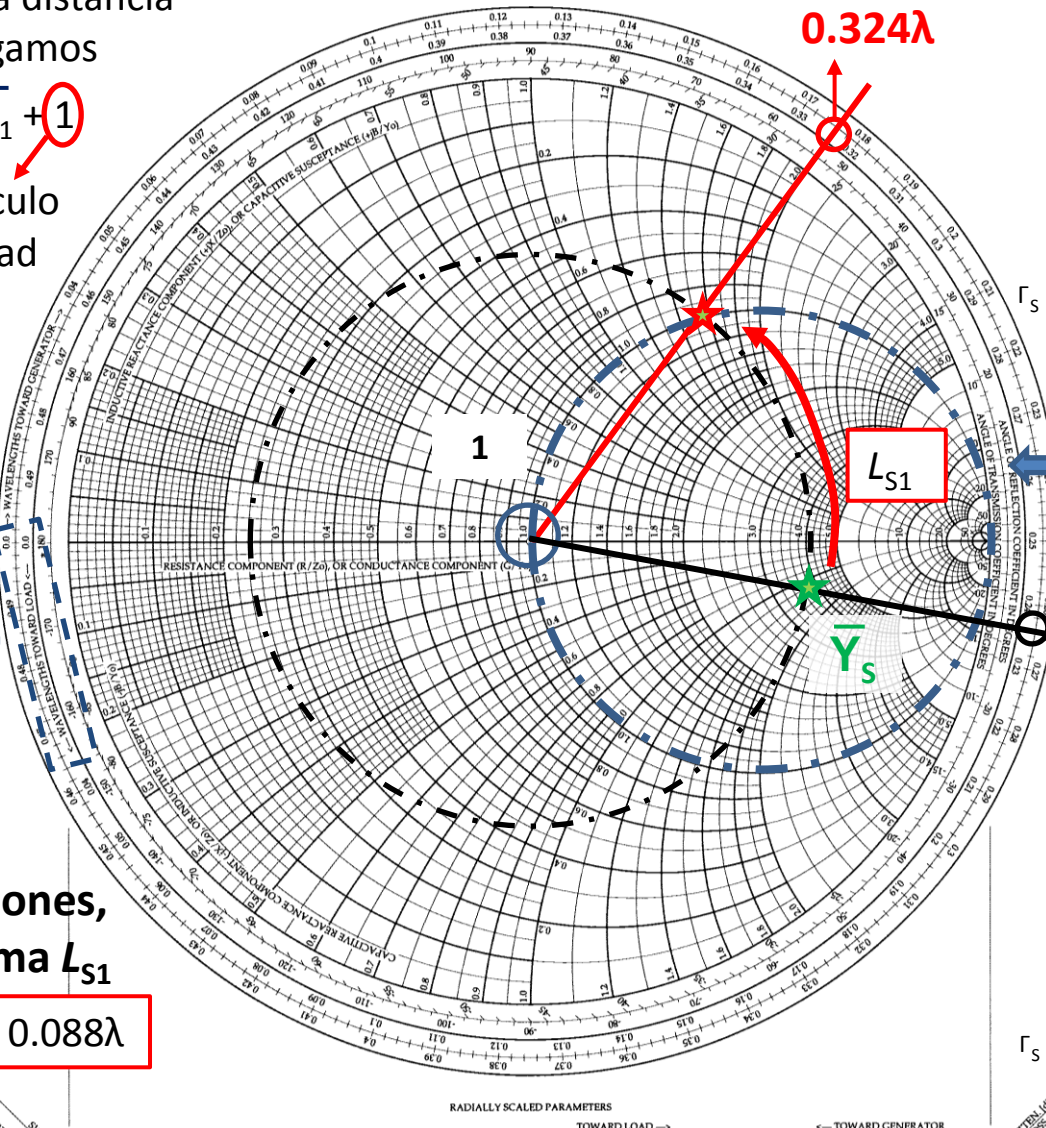
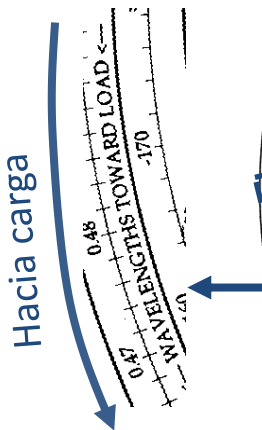
c.a. \rightarrow c.c.
c.c. \rightarrow c.a.



3. Desplazamos Γ_s una distancia L_{S1} tal que obtengamos

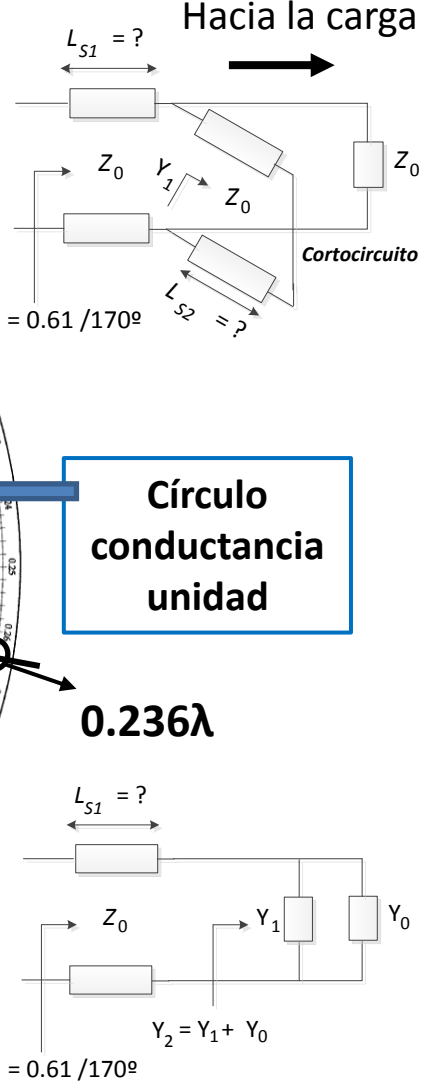
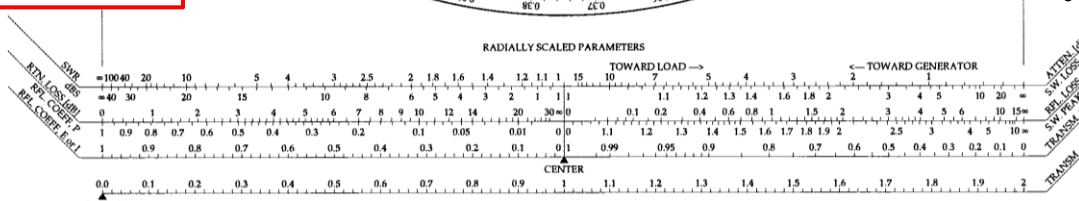
$$Y_2 = Y_1 + Y_0 \rightarrow \bar{Y}_2 = \bar{Y}_1 + 1$$

Hemos de cruzar el círculo de conductancia unidad

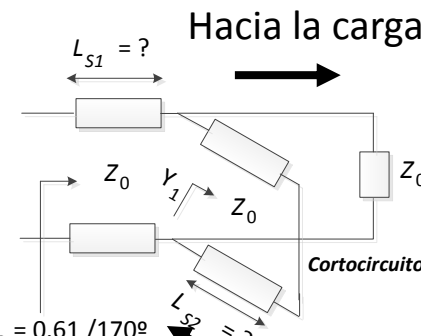
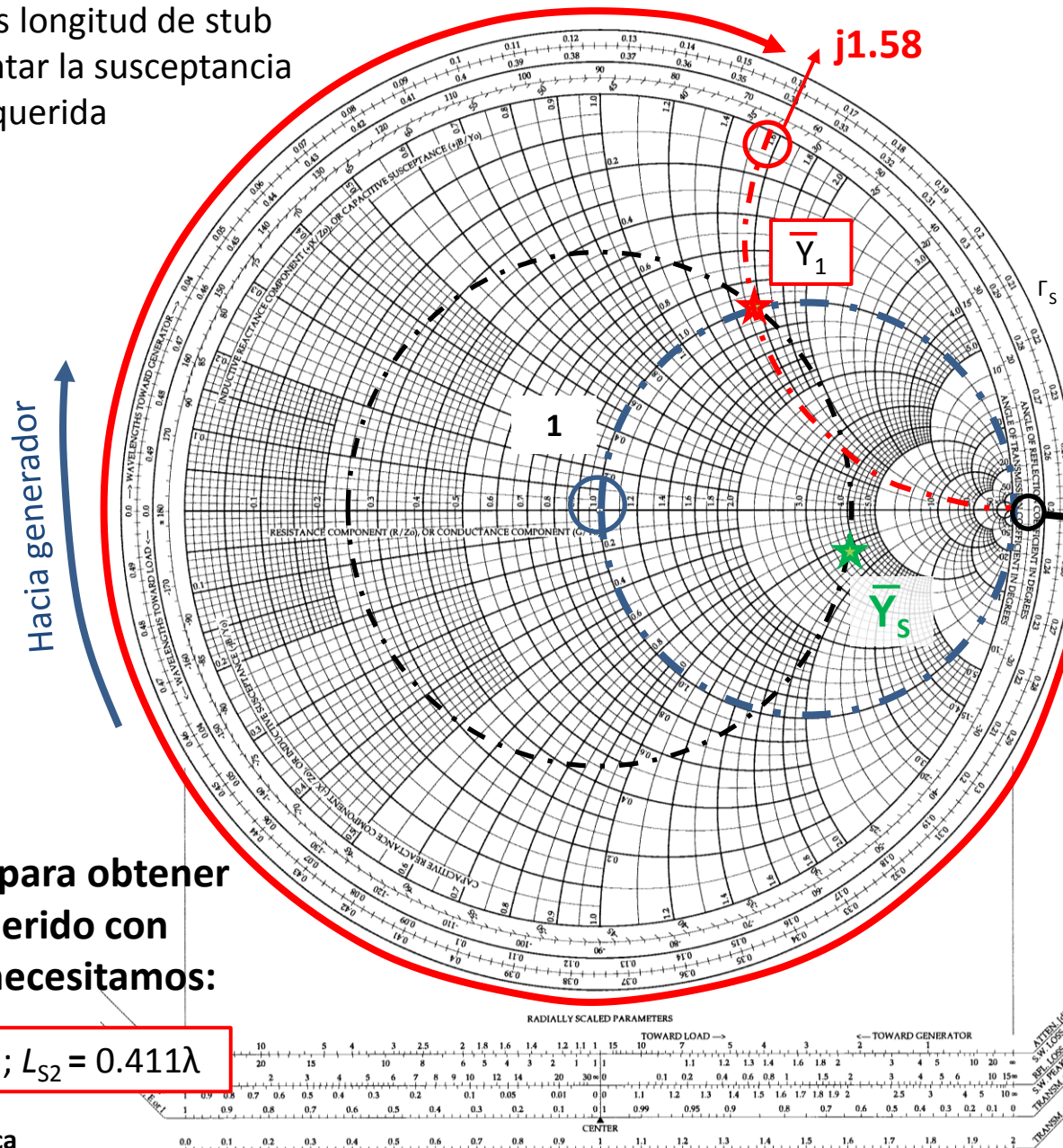


Tenemos dos soluciones, consideramos mínima L_{S1}

$$L_{S1} = 0.324\lambda - 0.236\lambda = 0.088\lambda$$



4. Obtenemos longitud de stub para implementar la susceptancia requerida



Hacia la carga
 $L_{s1} = ?$

Hacia generador
 $L_{s2} = ?$

Y :

$\pm 180^\circ$
($\Gamma = -1$)

C.C.

$$L_{s2} = 0.25\lambda + 0.161\lambda = 0.411\lambda$$

Por lo tanto, para obtener el Γ_s requerido con mínima L_{s1} necesitamos:

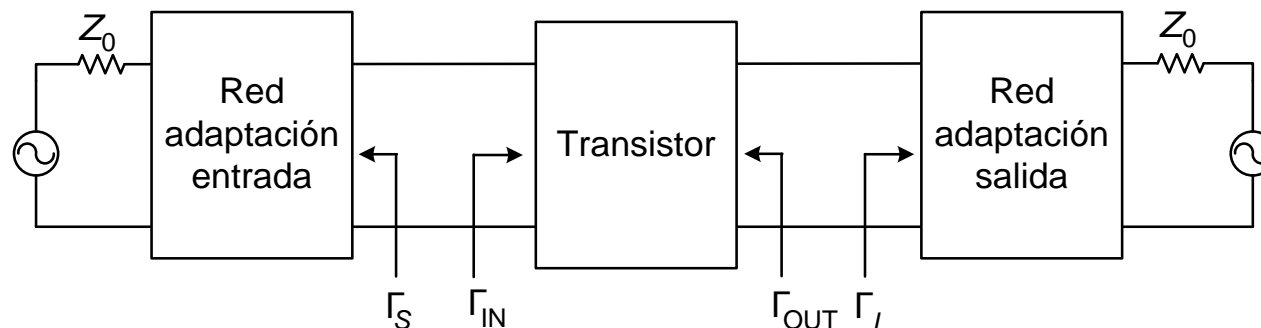
$$L_{s1} = 0.088\lambda ; L_{s2} = 0.411\lambda$$



Lista 5: Problema 3

3. Diseñar un amplificador con una ganancia de 10 dB a 6 GHz. Representar los círculos de ganancia para $G_s = 1$ dB y $G_L = 2$ dB. Diseñar las redes de adaptación mediante stubs en circuito abierto. La matriz del transistor a 6 GHz es:

$$S_{11} = 0.61 < -170^\circ \quad S_{12} = 0 \quad S_{21} = 2.24 < 32^\circ \quad S_{22} = 0.72 < -83^\circ$$



Miguel Durán-Sindreu



El centro y radio de los círculos de ganancia de fuente (G_s) y de carga (G_L) constante se pueden obtener como:

$$g_s = \frac{G_s}{G_{s \text{ max}}} = 0.79 \quad C_s = \frac{g_s S_{11}^*}{1 - (1 - g_s)|S_{11}|^2} = 0.52 < 170^\circ \quad R_s = \frac{\sqrt{1 - g_s}(1 - |S_{11}|^2)}{1 - (1 - g_s)|S_{11}|^2} = 0.31$$

\nwarrow

$$g_L = \frac{G_L}{G_{L \text{ max}}} = 0.76 \quad C_L = \frac{g_L S_{22}^*}{1 - (1 - g_L)|S_{22}|^2} = 0.63 < 83^\circ \quad R_L = \frac{\sqrt{1 - g_L}(1 - |S_{22}|^2)}{1 - (1 - g_L)|S_{22}|^2} = 0.27$$

\nwarrow

Donde para calcularlos se ha considerado los cálculos de ganancia máxima unilateral (se cumple $S_{12} = 0$) obtenidos en el problema 2 y las ganancias G_s y G_L exigidas en las propias especificaciones del problema 3:

$$G_{s \text{ max uni}} = \frac{1}{1 - |S_{11}|^2} = 1.59 \rightarrow 2 \text{ dB} \quad G_o = |S_{21}|^2 = 5.01 \rightarrow 7 \text{ dB}$$

$$G_{L \text{ max uni}} = \frac{1}{1 - |S_{22}|^2} = 2.07 \rightarrow 3.2 \text{ dB}$$

Especificaciones: $G_s = 1 \text{ dB} \rightarrow 1.26$ $G_L = 2 \text{ dB} \rightarrow 1.58$



1. Mapeamos el centro del círculo de ganancia de fuente constante

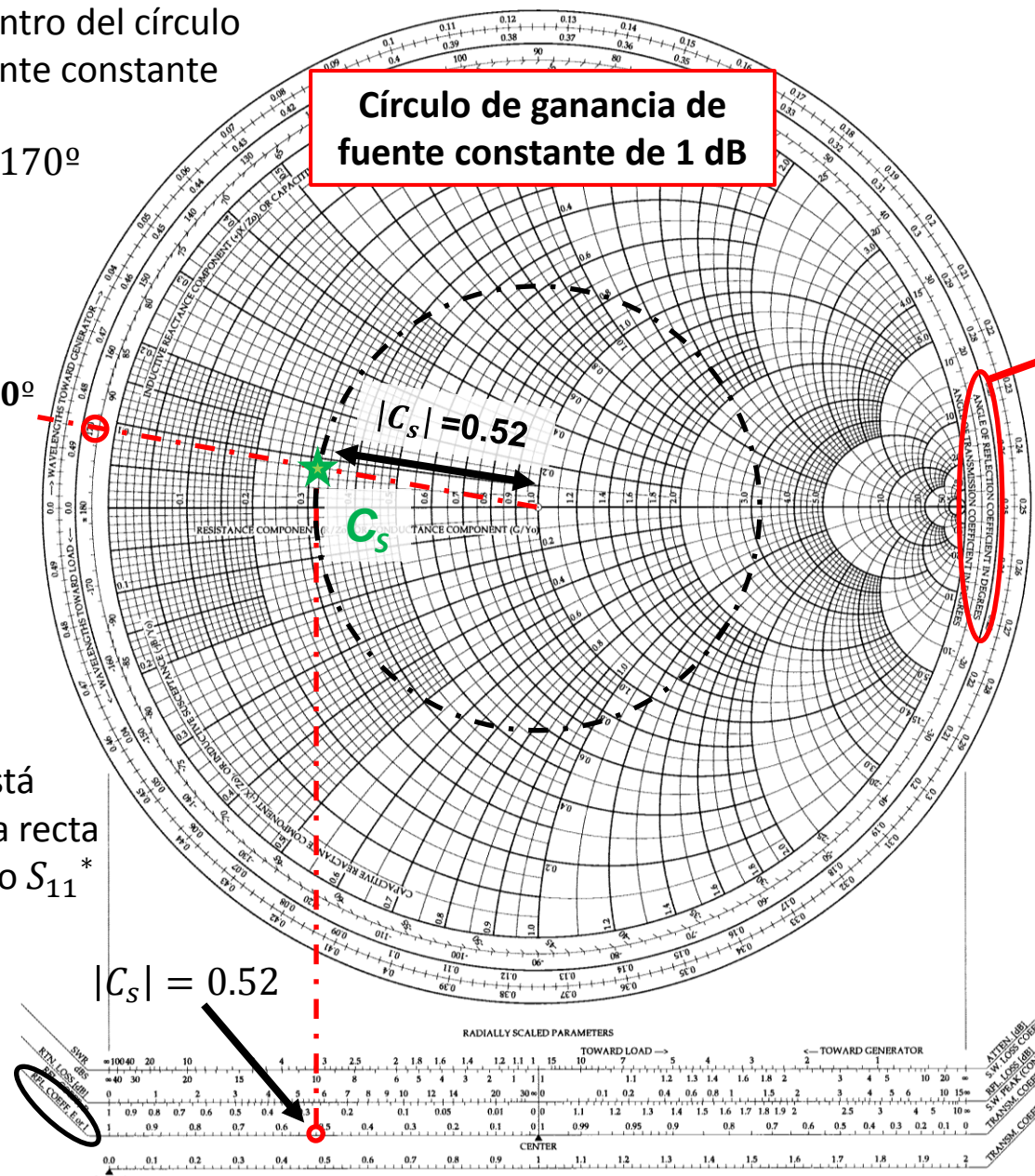
$$C_s = 0.52 < 170^\circ$$

$$< C_s = 170^\circ$$

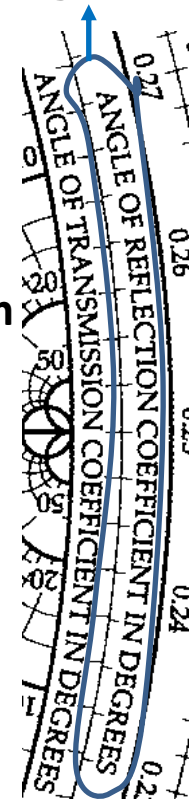
Círculo de ganancia de fuente constante de 1 dB

El centro C_s está contenidos en una recta dada por el ángulo S_{11}^*

$$|C_s| = 0.52$$



Ángulo de Γ en grados

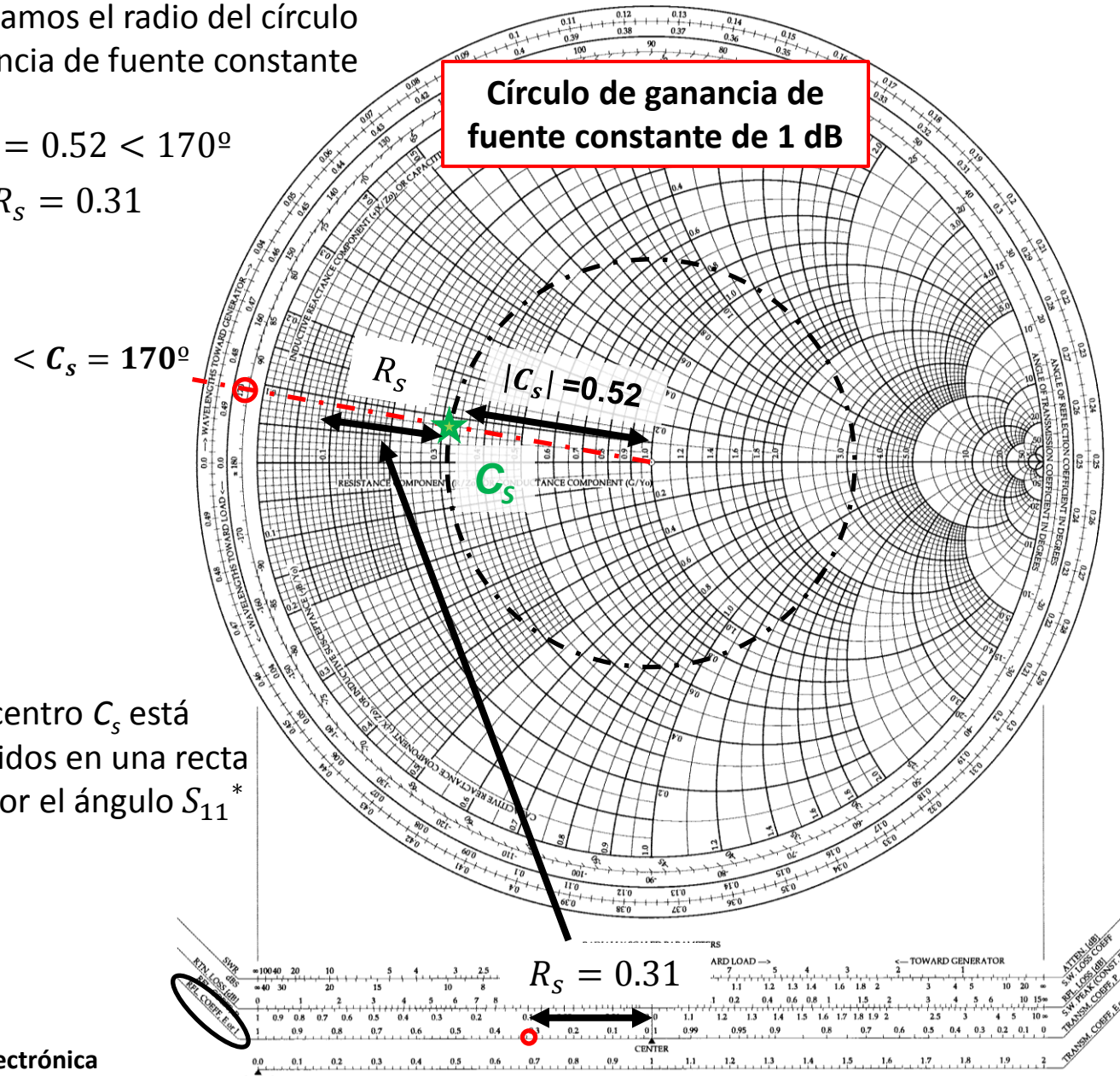


2. Mapeamos el radio del círculo de ganancia de fuente constante

$$C_s = 0.52 < 170^\circ$$

$$R_s = 0.31$$

Círculo de ganancia de fuente constante de 1 dB



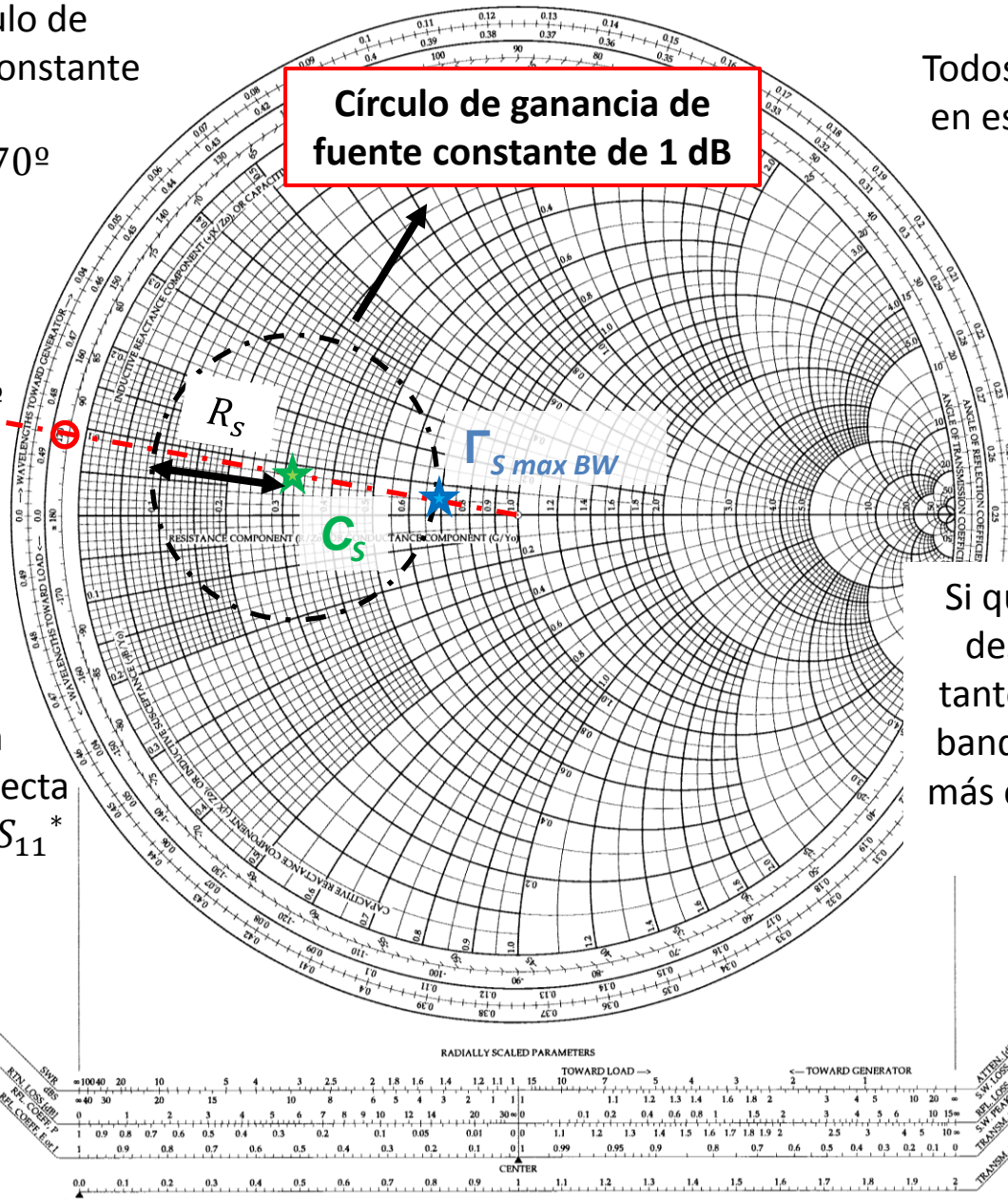
3. Mapeamos el círculo de ganancia de fuente constante

$$C_s = 0.52 < 170^\circ$$

$$R_s = 0.31$$

$$< C_s = 170^\circ$$

Círculo de ganancia de fuente constante de 1 dB



El centro C_s está contenidos en una recta dada por el ángulo S_{11}^*

Todos los puntos contenidos en este círculo son posibles soluciones de Γ_s

NO hay una solución única de Γ_s

Si queremos minimizar la desadaptación y por lo tanto maximizar ancho de banda, cogeremos el valor más cercano al centro de la carta de Smith



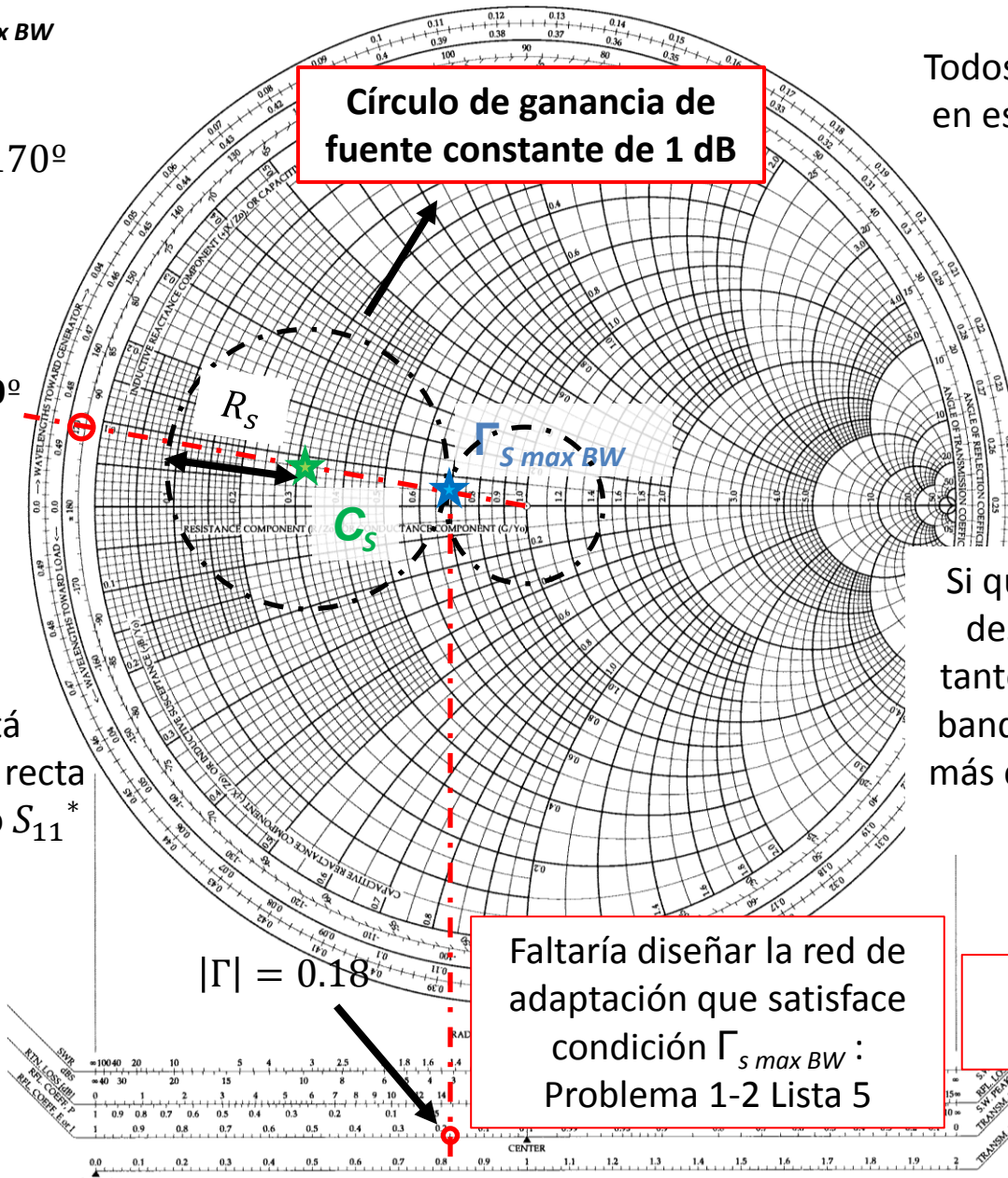
4. Obtenemos $\Gamma_{s \max BW}$

$$C_s = 0.52 < 170^\circ$$

$$R_s = 0.31$$

$$< C_s = 170^\circ$$

El centro C_s está contenidos en una recta dada por el ángulo S_{11}^*



Todos los puntos contenidos en este círculo son posibles soluciones de Γ_s



NO hay una solución única de Γ_s



Si queremos minimizar la desadaptación y por lo tanto maximizar ancho de banda, cogeremos el valor más cercano al centro de la carta de Smith

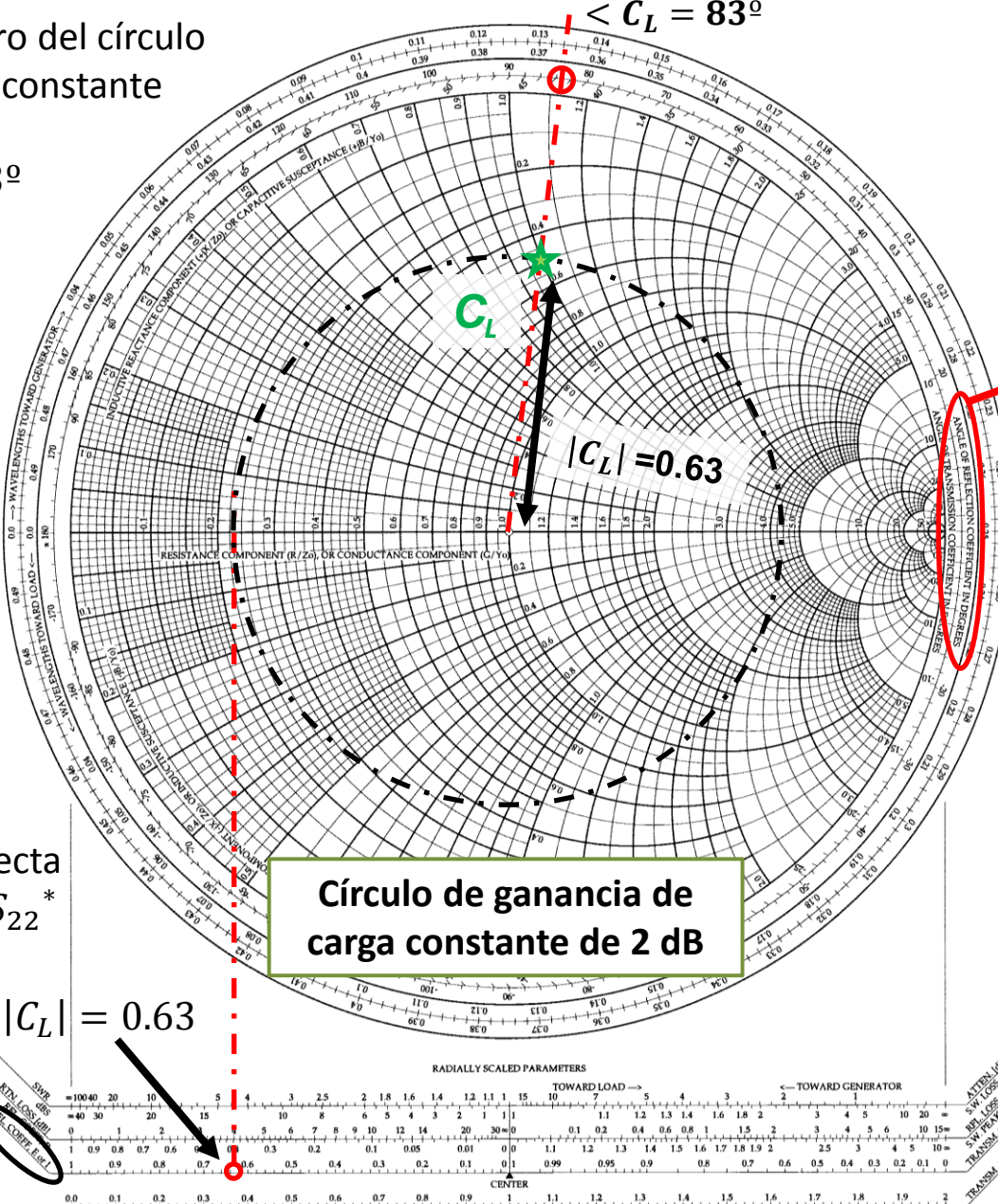


En nuestro caso:
 $\Gamma_{s max BW} = 0.18 < 170^\circ$

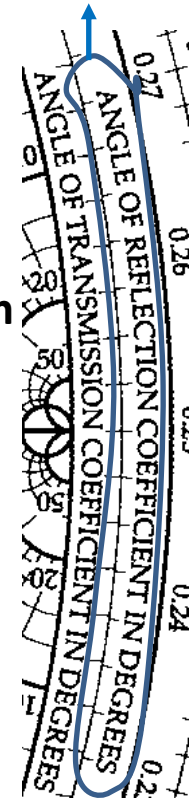


5. Mapeamos el centro del círculo de ganancia de carga constante

$$C_L = 0.63 < 83^\circ$$



Ángulo de Γ en grados



6. Mapeamos el radio del círculo de ganancia de carga constante

$$C_L = 0.63 < 83^\circ$$

$$R_L = 0.27$$

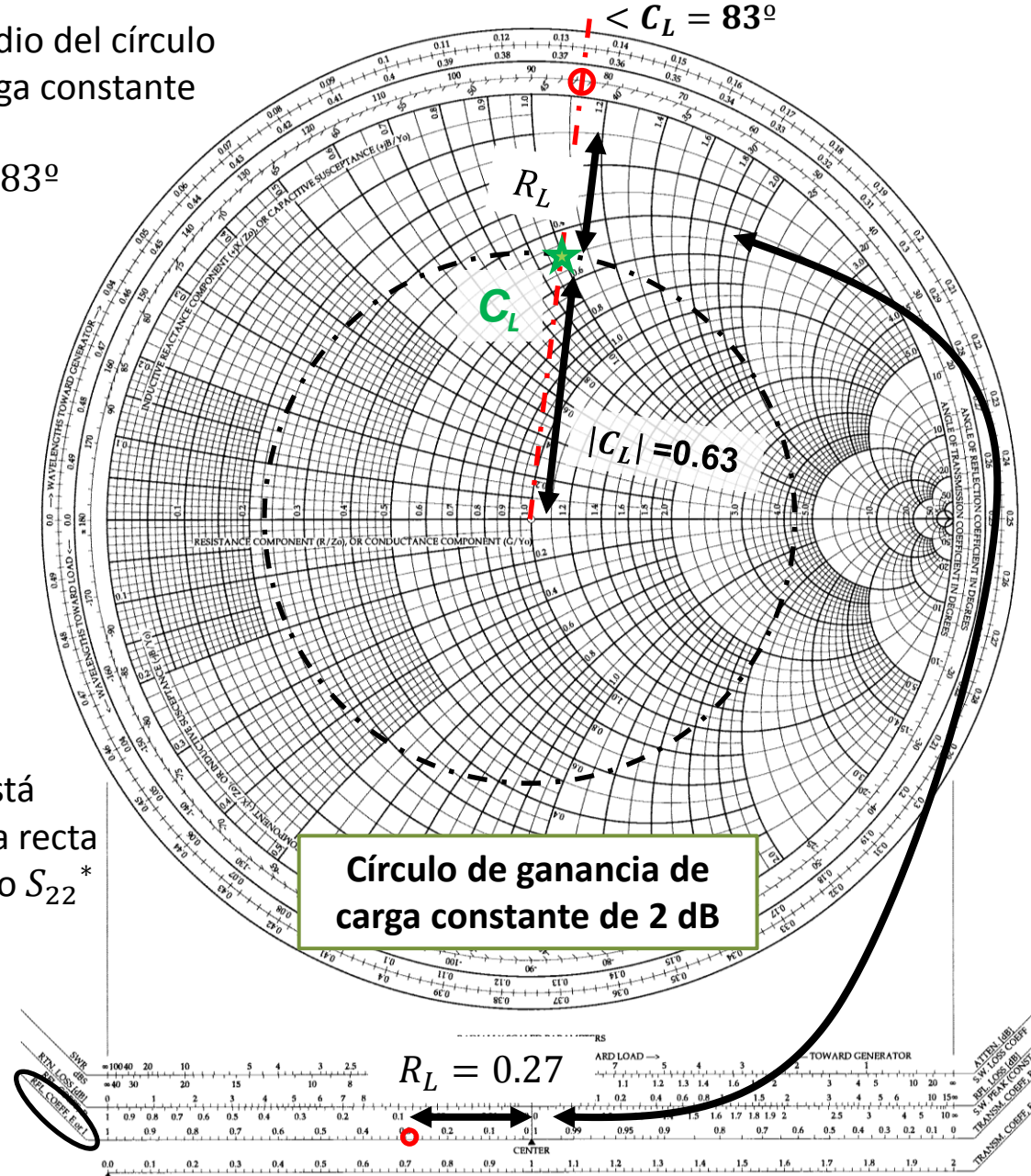
El centro C es

contenidos en una

dada por el ángulo

Unidades Electrónicas

Telecomunicaciones

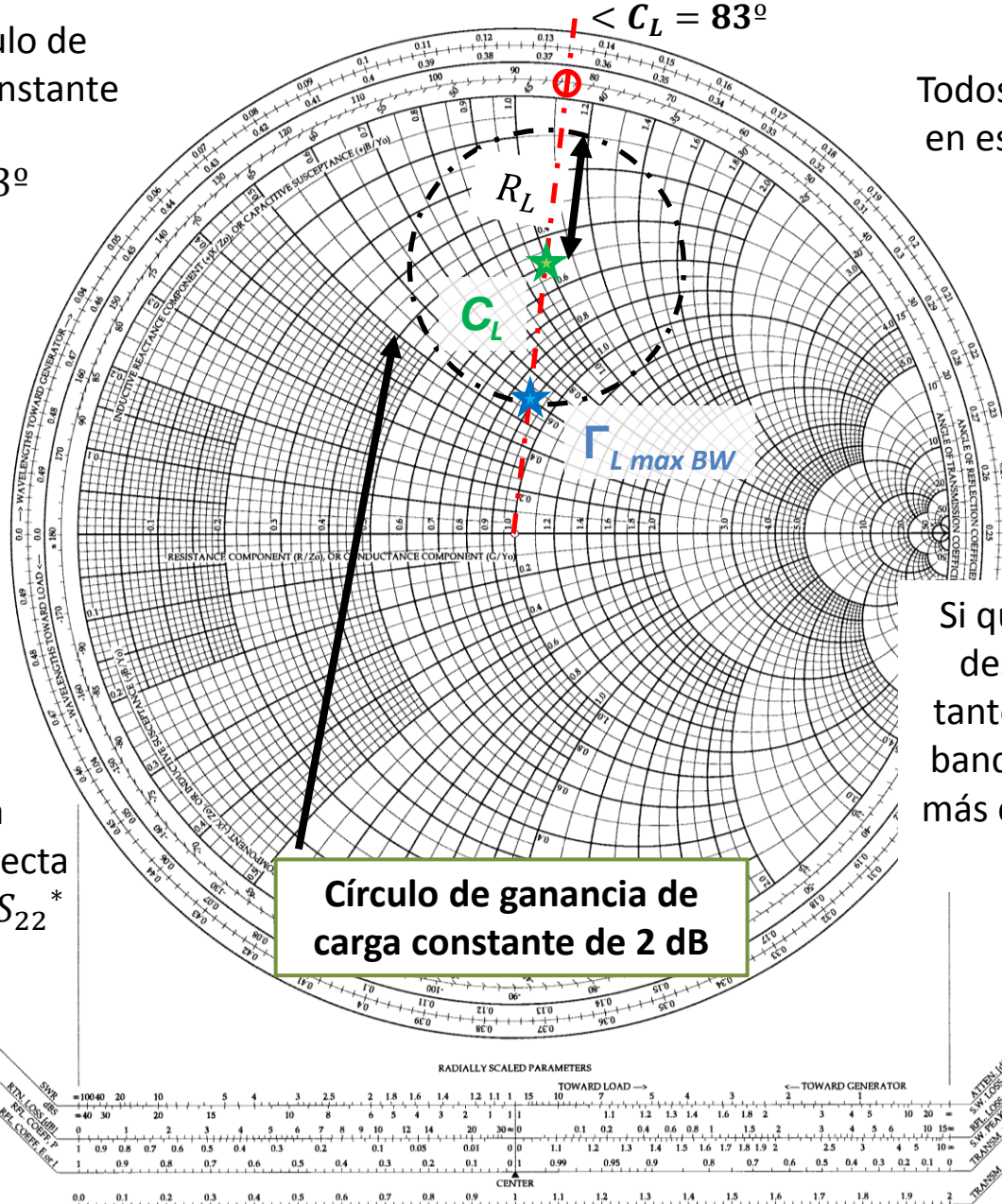


7. Mapeamos el círculo de ganancia de carga constante

$$C_L = 0.63 < 83^\circ$$

$$R_L = 0.27$$

El centro C_L está contenidos en una recta dada por el ángulo S_{22}^*



Todos los puntos contenidos en este círculo son posibles soluciones de Γ_L



NO hay una solución única de Γ_L



Si queremos minimizar la desadaptación y por lo tanto maximizar ancho de banda, cogeremos el valor más cercano al centro de la carta de Smith

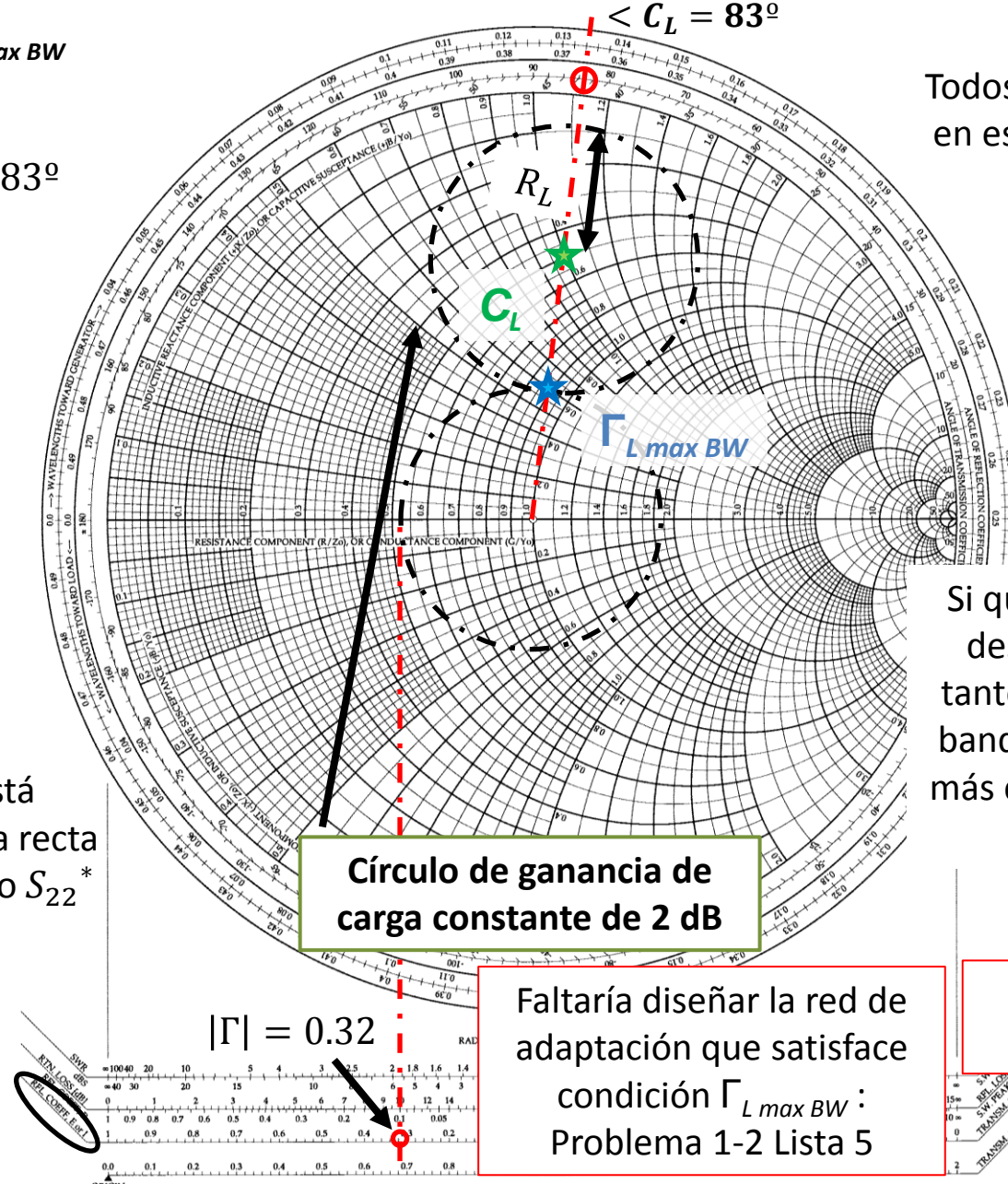


8. Obtenemos $\Gamma_{L \max BW}$

$$C_L = 0.63 < 83^\circ$$

$$R_L = 0.27$$

El centro C_L está contenidos en una recta dada por el ángulo S_{22}^*



Todos los puntos contenidos en este círculo son posibles soluciones de Γ_L



NO hay una solución única de Γ_L



Si queremos minimizar la desadaptación y por lo tanto maximizar ancho de banda, cogeremos el valor más cercano al centro de la carta de Smith





Universitat Autònoma de Barcelona

Escola d'Enginyeria, Departament d'Enginyeria Electrònica

Bellaterra (Cerdanyola del Vallès)

List 5: Problema 4

4.- Un transistor FET de GaAs presenta la siguiente matriz de dispersión a 8 GHz ($Z_0 = 50 \Omega$):

$$S_{11} = 0.7 < -110^\circ \quad S_{12} = 0.02 < 60^\circ \quad S_{21} = 3.5 < 60^\circ \quad S_{22} = 0.8 < -70^\circ$$

Y como parámetros de ruido:

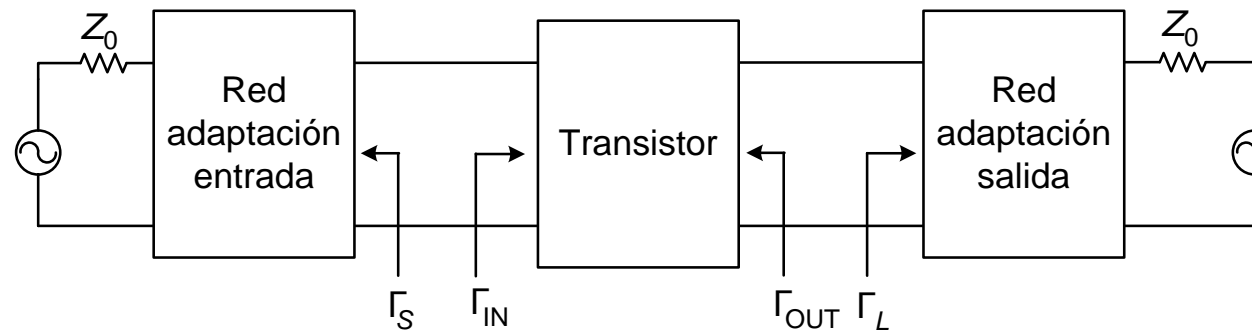
$$F_{min} = 2.5 \text{ dB} \quad \Gamma_{opt} = 0.7 < 120^\circ \quad R_N = 15 \Omega$$

Diseñar un amplificador con la mínima figura de ruido y la máxima ganancia posible.
Diseñar las redes de adaptación mediante stubs en circuito abierto.

Miguel Durán-Sindreu



Consideramos el siguiente diagrama de bloques de un amplificador distribuido:



La ganancia de transferencia (ratio entre potencia entrega a la carga y potencia disponible desde la fuente) teniendo en cuenta las desadaptaciones de fuente y carga se puede calcular como:

$$G_T = \frac{1 - |\Gamma_S|^2}{|1 - \Gamma_{IN}\Gamma_S|^2} \cdot |S_{21}|^2 \cdot \frac{1 - |\Gamma_L|^2}{|1 - S_{22}\Gamma_L|^2} = \frac{1 - |\Gamma_S|^2}{|1 - S_{11}\Gamma_S|^2} \cdot |S_{21}|^2 \cdot \frac{1 - |\Gamma_L|^2}{|1 - \Gamma_{OUT}\Gamma_L|^2}$$

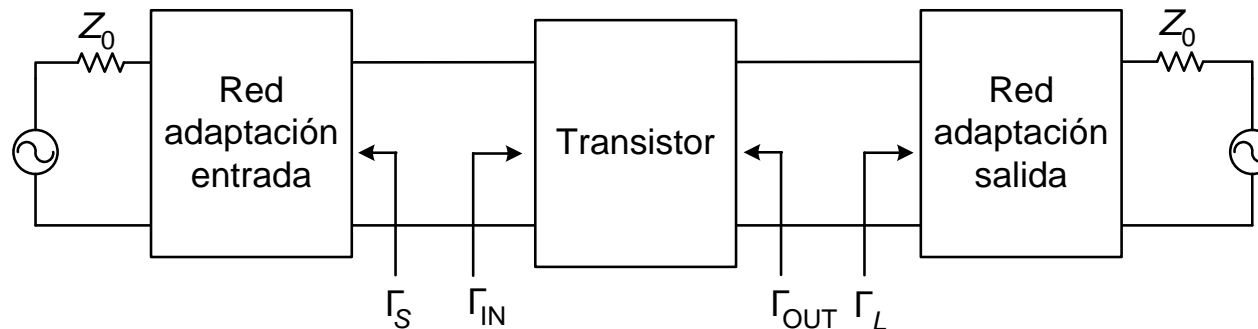
$$\Gamma_{IN} = S_{11} + \frac{S_{12}S_{21}\Gamma_L}{1 - S_{22}\Gamma_L} \quad \Gamma_{OUT} = S_{22} + \frac{S_{12}S_{21}\Gamma_S}{1 - S_{11}\Gamma_S}$$

Por lo tanto, únicamente tenemos Γ_L, Γ_S como parámetros de diseño para cumplir la condición que nos pidan en nuestro amplificador. En nuestro caso, nos piden que el amplificador tenga la mínima figura de ruido y la máxima ganancia posible.

La figura de ruido viene determinado por el valor de Γ_S y consecuentemente habrá un compromiso entre ganancia de fuente y figura de ruido.



Consideramos el siguiente diagrama de bloques de un amplificador distribuido:



Obtención del coeficiente de reflexión Γ_L

Γ_L no está afectado por la figura de ruido, por lo que tenemos libertad de escogerla.

En este problema escogemos tener una máxima ganancia de carga (aunque podríamos haber considerado otro tipo de diseño como maximizar ancho de banda, etc). De esta forma, Γ_L cumple:

$$\Gamma_L \text{ max gain} = \frac{B_2 \pm \sqrt{B_2^2 - 4|C_2|^2}}{2C_2} = \dots = 0.94 < 75.6^\circ$$

$$\Gamma_L \text{ max gain approx. unilateral} = S_{22}^* = 0.8 < 70^\circ$$



Obtención del coeficiente de reflexión Γ_s

Para estudiar compromiso entre la figura de ruido y la ganancia de fuente, es muy útil graficar los círculos de ganancia de fuente constante frente los círculos de figura de ruido constante en la carta de Smith. Esto nos permitirá obtener el valor de Γ_s idóneo para nuestra aplicación.

El centro y radio de los círculos de ganancia de fuente (G_s) constante se pueden obtener para el caso o aproximación unilateral como (problema 3 lista 5):

$$g_s = \frac{G_s}{G_s \max uni} \quad C_s = \frac{g_s S_{11}^*}{1 - (1 - g_s)|S_{11}|^2} \quad R_s = \frac{\sqrt{1 - g_s}(1 - |S_{11}|^2)}{1 - (1 - g_s)|S_{11}|^2}$$

$$\text{Si } G_s = G_s \max uni \rightarrow \Gamma_{IN} = \Gamma_s^* = S_{11} \rightarrow G_s \max uni = \frac{1}{1 - |S_{11}|^2} = 1.96 \rightarrow 2.9 dB \quad \text{Si } G_s \uparrow \rightarrow R_s \downarrow$$

Donde estas ecuaciones consideran transistores unilaterales.

En nuestro caso, $S_{12} = 0.02 < 60^\circ \approx 0$, por lo que podemos aproximar el transistor como unilateral.

Probamos diferentes casos de ganancia de fuente:

$$\text{Caso } G_{s1} = 2 dB \rightarrow g_{s1} = 0.81 \quad C_{s1} = 0.62 < 110^\circ \quad R_{s1} = 0.25$$

$$\text{Caso } G_{s2} = 2.7 dB \rightarrow g_{s2} = 0.95 \quad C_{s2} = 0.68 < 110^\circ \quad R_{s3} = 0.12$$

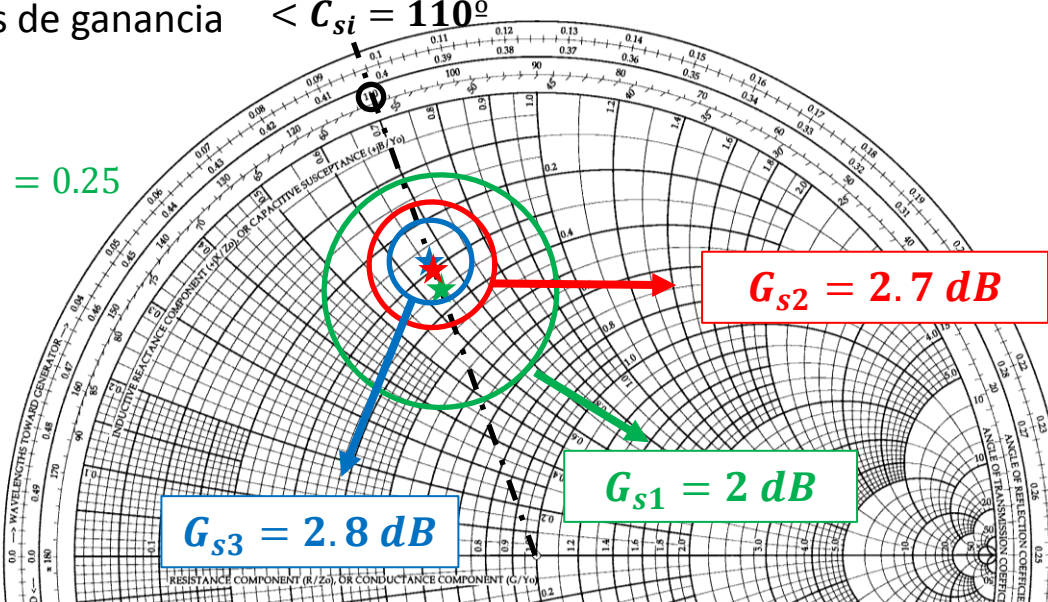
$$\text{Caso } G_{s3} = 2.8 dB \rightarrow g_{s3} = 0.97 \quad C_{s3} = 0.69 < 110^\circ \quad R_{s2} = 0.09$$



1. Mapeamos círculos de ganancia de fuente constante

$$G_{s1} = 2 \text{ dB}$$

$$C_{s1} = 0.62 < 110^\circ \quad R_{s1} = 0.25$$



- ★ C_{s1}
- ★ C_{s2}
- ★ C_{s3}

En problema 3 (Lista 5) hay un ejemplo paso a paso

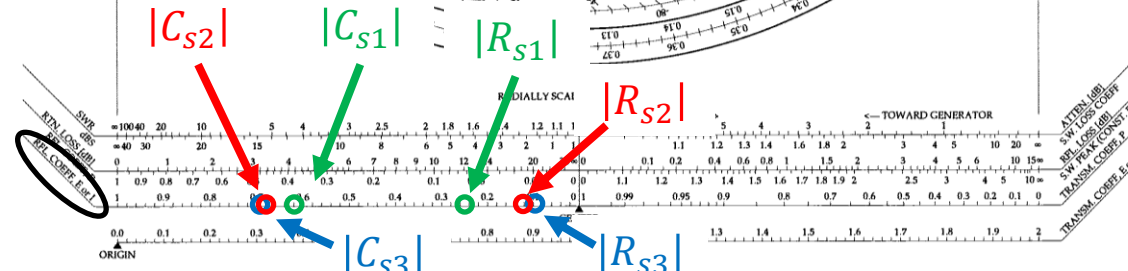
Si $G_s \uparrow \rightarrow R_s \downarrow$

$$G_{s2} = 2.7 \text{ dB}$$

$$C_{s2} = 0.68 < 110^\circ \quad R_{s2} = 0.12$$

$$G_{s3} = 2.8 \text{ dB}$$

$$C_{s3} = 0.69 < 110^\circ \quad R_{s3} = 0.09$$



Círculos de figura de ruido constante

El centro y radio de los círculos de figura de ruido F constante se pueden obtener como:

$$C_F = \frac{\Gamma_{opt}}{N + 1} \quad R_F = \frac{\sqrt{N(N + 1 - |\Gamma_{opt}|^2)}}{N + 1} \quad N = \frac{|\Gamma_s - \Gamma_{opt}|^2}{1 - |\Gamma_s|^2} = \frac{F - F_{min}}{4R_N/Z_0} |1 + \Gamma_{opt}|^2$$

↑ F y F_{min} en lineal !

Donde si $F = F_{min}$, $N = 0 \rightarrow R_F = 0$. Es decir, si $F = F_{min}$ tenemos un solo punto de valor $C_F = \Gamma_{opt}$.

En nuestro caso, $F_{min} = 2.5 \text{ dB}$, $\Gamma_{opt} = 0.7 < 120^\circ$, $R_N = 15 \Omega$, $Z_0 = 50 \Omega$

Probamos diferentes casos de figuras de ruido constante:

Caso $F_1 = F_{min} = 2.5 \text{ dB} \rightarrow C_{F1} = \Gamma_{opt} = 0.7 < 120^\circ \quad R_{F1} = 0 \quad N_1 = 0$

Caso $F_2 = 2.52 \text{ dB} \rightarrow C_{F2} = 0.696 < 120^\circ \quad R_{F2} = 0.05 \quad N_2 = 0.0054$

Caso $F_3 = 2.7 \text{ dB} \rightarrow C_{F3} = 0.66 < 120^\circ \quad R_{F3} = 0.17 \quad N_3 = 0.055$



2. Mapeamos círculos de figura de ruido constante para $F_1 = F_{min}$

$$F_1 = F_{min} = 2.5 \text{ dB}$$

$$C_{F1} = \Gamma_{opt} = 0.7 < 120^\circ \quad R_{F1} = 0$$

Para cumplir condición

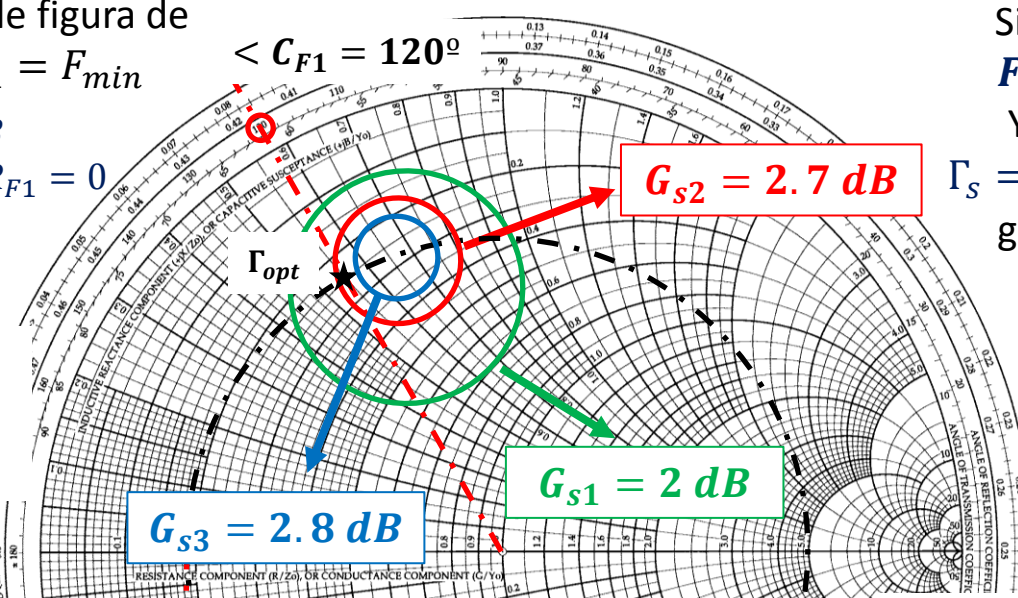
F_{min} obtenemos

$$G_{s2} < G_{smax} = 2.9 \text{ dB}$$



Compromiso entre ganancia de fuente y figura de ruido

Como $F_1 = F_{min}$ obtenemos un único punto de valor igual a Γ_{opt}



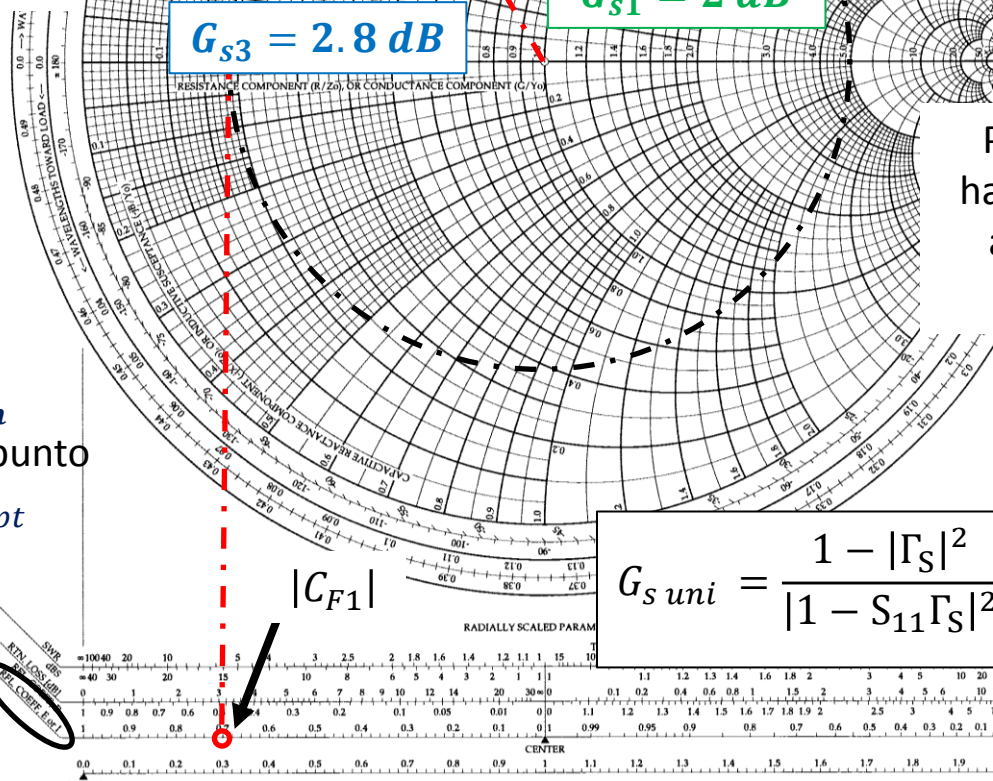
Si queremos satisfacer

$$F_1 = F_{min} = 2.5 \text{ dB}$$

Y consecuentemente

$\Gamma_s = \Gamma_{opt}$ obtendremos una ganancia de fuente de

$$G_{s2} = 2.7 \text{ dB}$$



Para este caso, podríamos haber obtenido G_s y Γ_s sin la ayuda de Smith, ya que si $F = F_{min}$, $\Gamma_s = \Gamma_{opt}$ y:



$$G_{suni} = \frac{1 - |\Gamma_s|^2}{|1 - S_{11}\Gamma_s|^2} \Big|_{\Gamma_s = \Gamma_{opt}} = 1.85 \rightarrow 2.68 \text{ dB}$$



3. Mapeamos círculos de figura de ruido constante para $F_2 = 2.52 \text{ dB}$

$$F_2 = 2.52 \text{ dB} > F_{\min}$$

$$C_{F2} = 0.696 < 120^\circ \quad R_{F2} = 0.05$$

Si $G_s \uparrow \rightarrow R_s \downarrow$

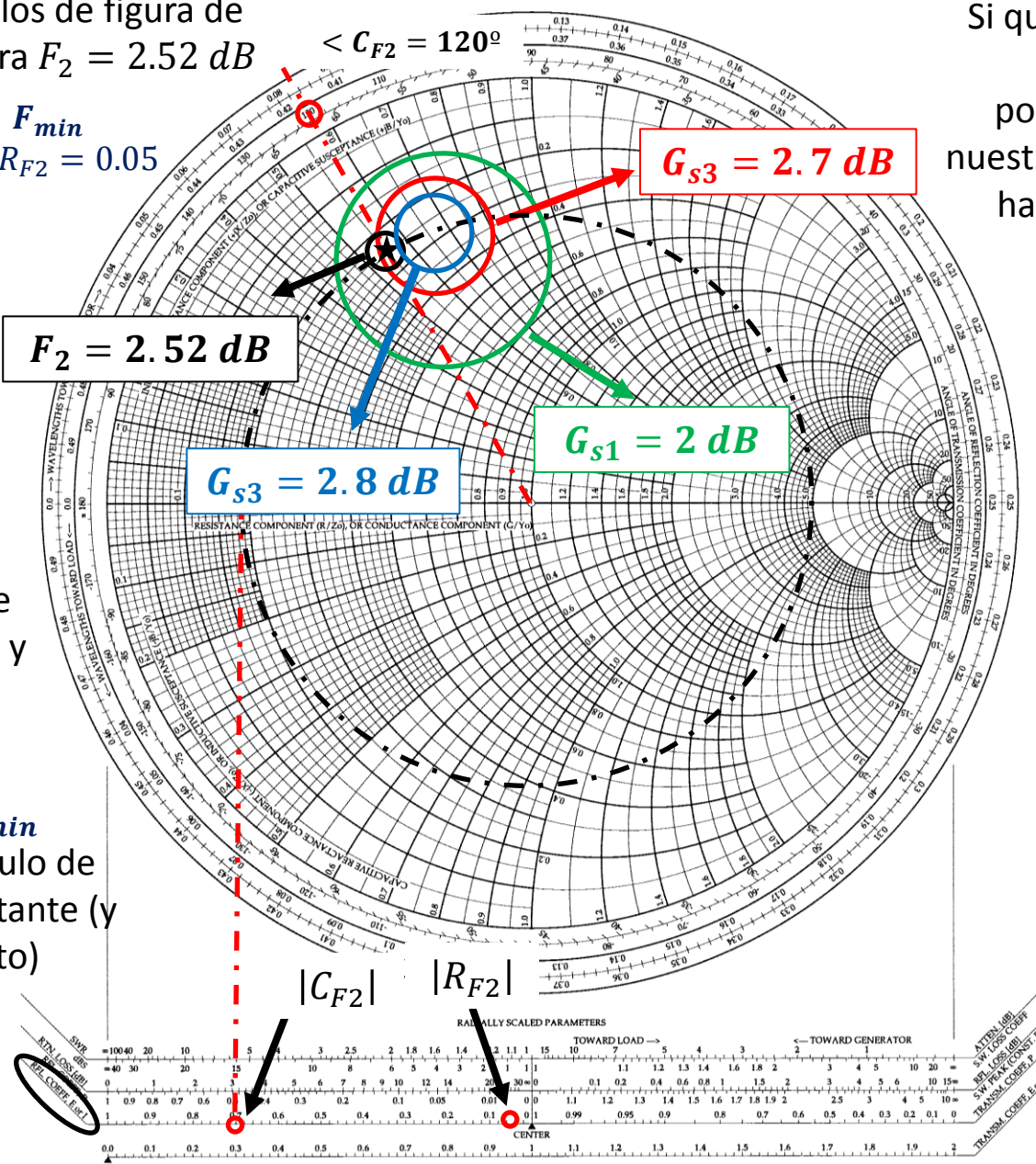
$$F_2 = 2.52 \text{ dB}$$

Si $F \downarrow \rightarrow R_F \downarrow$



Compromiso entre ganancia de fuente y figura de ruido

Como $F_2 > F_{\min}$
obtenemos un círculo de figura de ruido constante (y no un solo punto)



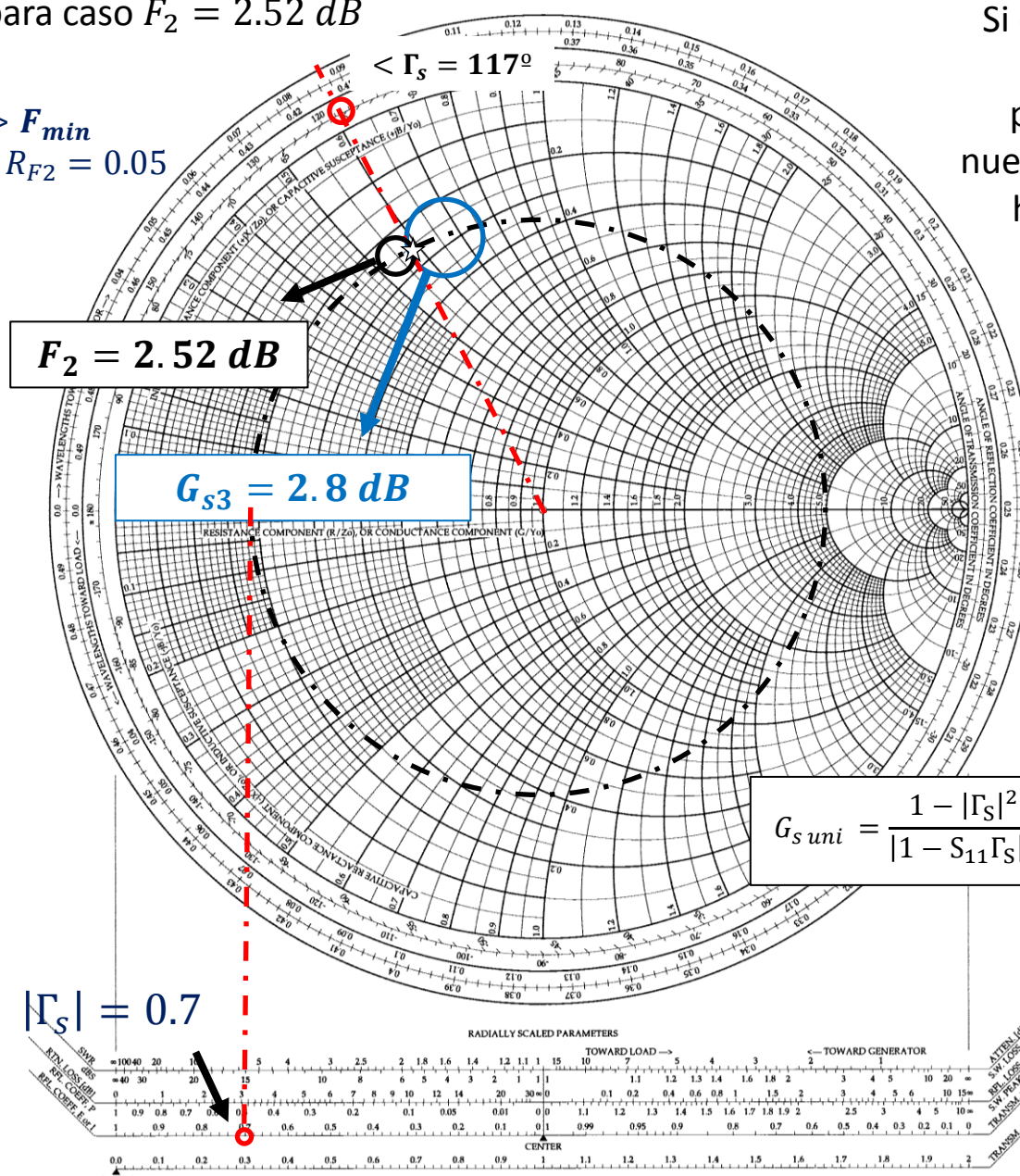
Si quisieramos satisfacer $F_2 = 2.52 \text{ dB}$ podríamos aumentar nuestra ganancia de fuente hasta $G_{s3} = 2.8 \text{ dB}$

★ C_{F2}

4. Obtenemos Γ_s para caso $F_2 = 2.52 \text{ dB}$

$$F_2 = 2.52 \text{ dB} > F_{\min}$$

$$C_{F2} = 0.696 < 120^\circ \quad R_{F2} = 0.05$$



Si quisieramos satisfacer $F_2 = 2.52 \text{ dB}$ podríamos aumentar nuestra ganancia de fuente hasta $G_{s3} = 2.8 \text{ dB}$

Obtenemos Γ_s en la intersección de ambos círculos

$$\Gamma_s = 0.7 < 117^\circ$$

Lo demostramos analíticamente



5. Buscamos la figura de ruido F que cumpla $G_s = G_{s \text{ max uni}}$

Podemos hacerlo mediante la carta de Smith o de forma analítica. Lo hacemos analíticamente:

Si $G_s = G_{s \text{ max uni}} \rightarrow \Gamma_{IN} = \Gamma_s^* = S_{11} \rightarrow \Gamma_s = 0.7 < 110^\circ$

$$N = \frac{|\Gamma_s - \Gamma_{opt}|^2}{1 - |\Gamma_s|^2} = \dots = 0.029$$

Además, se cumple:

$$N = \frac{|\Gamma_s - \Gamma_{opt}|^2}{1 - |\Gamma_s|^2} = \frac{F - F_{min}}{4R_N/Z_0} |1 + \Gamma_{opt}|^2$$

Por lo tanto:

$$F = \frac{N4R_N/Z_0}{|1 + \Gamma_{opt}|^2} + F_{min} = \dots = 1.79 \rightarrow F = 2.54 \text{ dB}$$

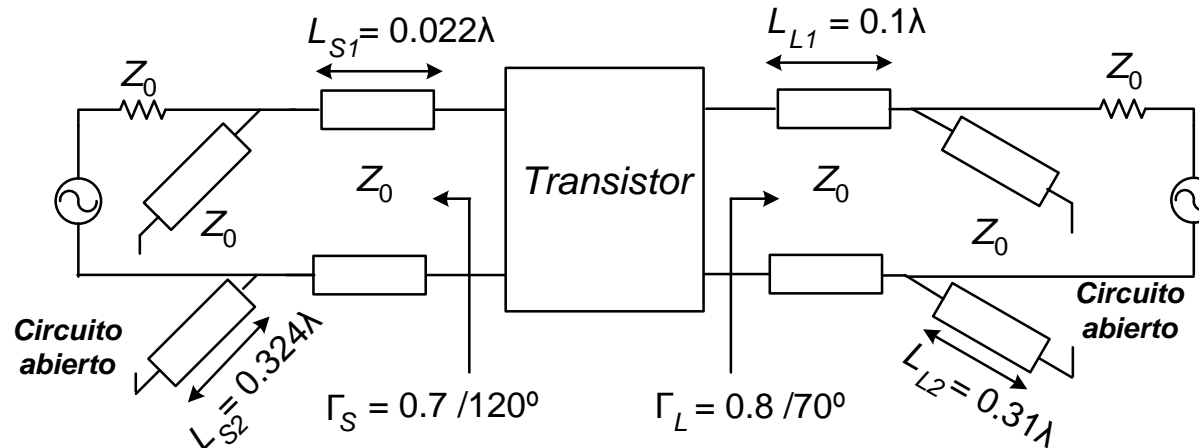
Es decir, la figura de ruido que satisface máxima ganancia es $F = 2.54 \text{ dB} > F_2 > F_{min} = 2.5 \text{ dB}$

Donde podríamos haber llegado a la misma conclusión con la ayuda de la carta de Smith



6. Diseñar las redes de adaptación mediante stubs en circuito abierto:

Para el caso de $F_1 = F_{min} = 2.5 \text{ dB}$ se puede deducir que las redes de adaptación resultantes son:



Donde éstas longitudes se pueden obtener de forma similar a los casos mostrados en los problemas 1 y 2 de la lista 5 de problemas.

Si además obtenemos Γ_{IN} y Γ_{OUT} para el caso unilateral:

$$\Gamma_{IN \text{ unilateral}} = S_{11} = 0.7 < -110^\circ \longrightarrow \Gamma_{IN} \neq \Gamma_s^* \longrightarrow \text{Ya que } G_s \neq G_{s \text{ max unilateral}}$$

$$\Gamma_{OUT \text{ unilateral}} = S_{22} = 0.8 < -70^\circ \longrightarrow \Gamma_{OUT} = \Gamma_L^* \longrightarrow \text{Ya que } G_L = G_{L \text{ max unilateral}}$$





Universitat Autònoma de Barcelona

Escola d'Enginyeria, Departament d'Enginyeria Electrònica

Bellaterra (Cerdanyola del Vallès)

Diseño de osciladores de microondas: Solución problema 2 (Lista 6)

2. La matriz de parámetros [S] de un transistor FET en fuente común es:

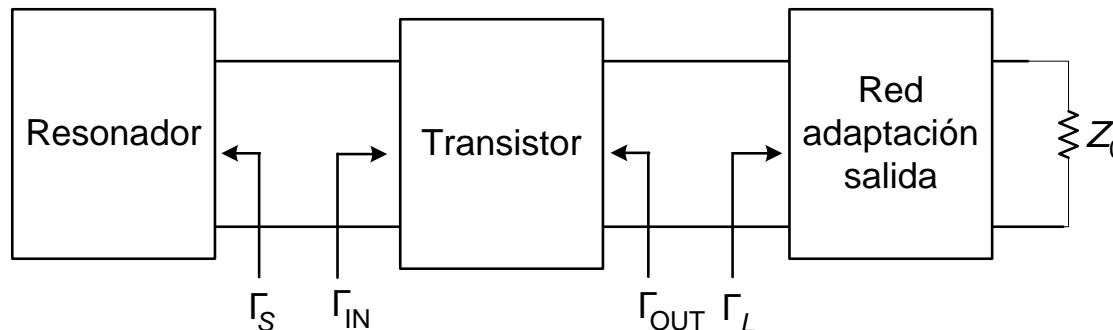
$$S_{11} = 0.95 < -45^\circ \quad S_{12} = 0.25 < 45^\circ \quad S_{21} = 1.414 < 45^\circ \quad S_{22} = 0.5 < -45^\circ$$

- a) Calcular el factor K .
- b) Disseñar un oscilador de radiofrecuencia con una carga de 50Ω .
- c) Implementar las correspondientes redes de adaptación a la entrada y a la salida.

Miguel Durán-Sindreu



Para diseñar un oscilador, consideramos el siguiente diagrama de bloques:



$$\Gamma_{IN} = S_{11} + \frac{S_{12}S_{21}\Gamma_L}{1 - S_{22}\Gamma_L}$$

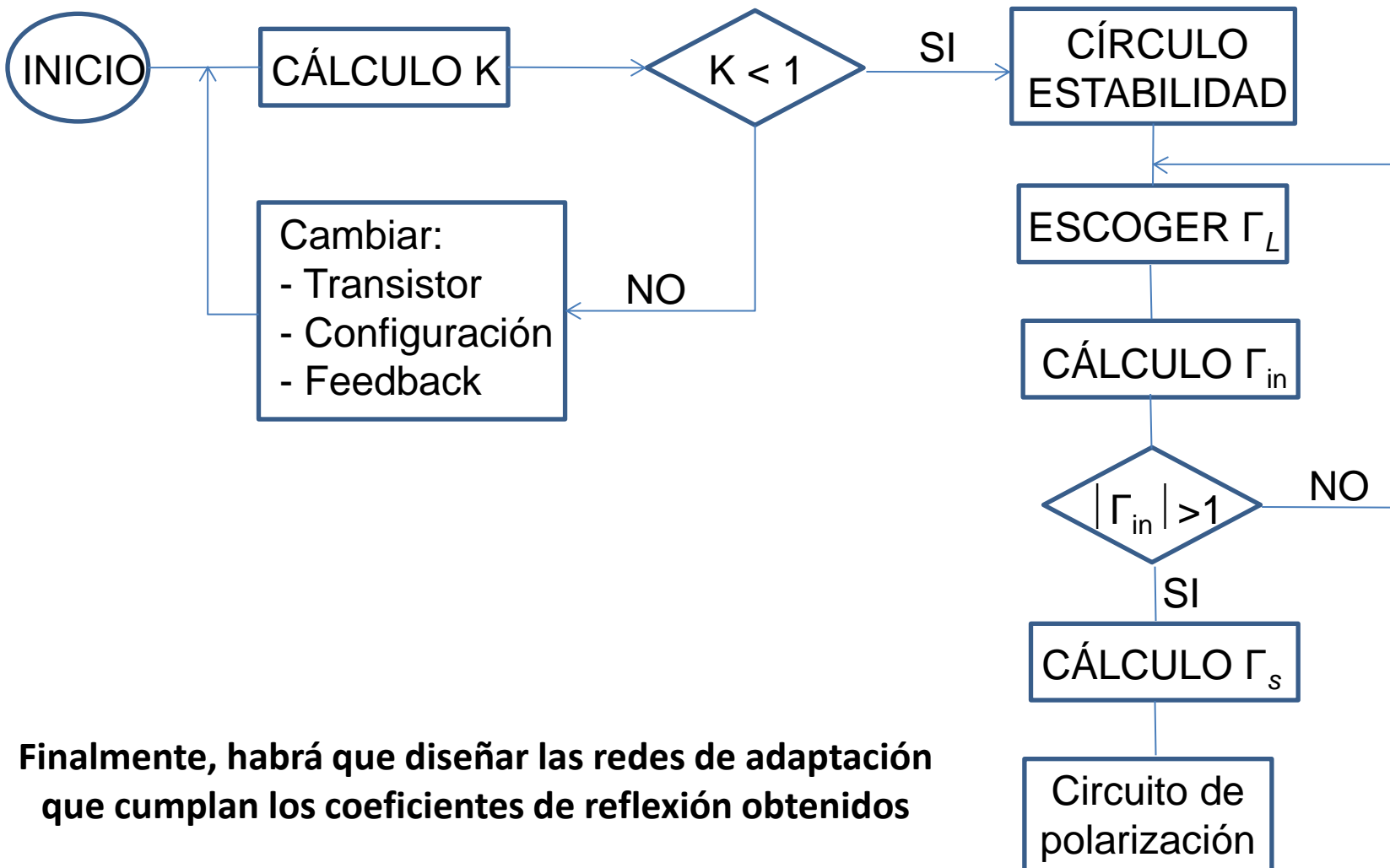
$$\Gamma_{OUT} = S_{22} + \frac{S_{12}S_{21}\Gamma_S}{1 - S_{11}\Gamma_S}$$

A diferencia de los amplificadores, ahora queremos que el dispositivo sea inestable. Es decir, ahora queremos $|\Gamma_{IN}| > 1$ y $|\Gamma_{OUT}| > 1$:

- Si $|\Gamma_{IN}| < 1$ y $|\Gamma_{OUT}| < 1$ se cumple para todo valor de Γ_S , Γ_L , entonces el transistor satisface la condición de estabilidad incondicional (se cumple $K > 1$ y $|\Delta| < 1$).
- Si $|\Gamma_{IN}| < 1$ y $|\Gamma_{OUT}| < 1$ se cumple para un cierto rango de valores de Γ_S , Γ_L , entonces el transistor satisface la condición de estabilidad condicional (NO se cumple $K > 1$ y $|\Delta| < 1$).



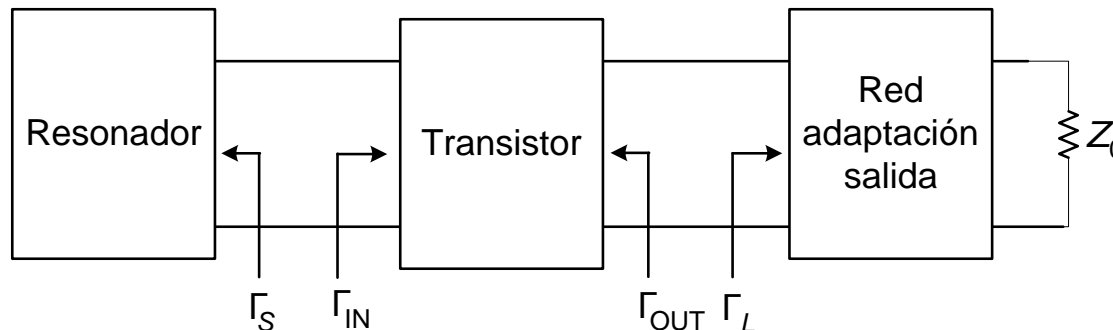
Diagrama de flujo:



Finalmente, habrá que diseñar las redes de adaptación que cumplan los coeficientes de reflexión obtenidos



Estudiamos la estabilidad del transistor: Obtenemos K



$$\Gamma_{IN} = S_{11} + \frac{S_{12}S_{21}\Gamma_L}{1 - S_{22}\Gamma_L}$$

$$\Gamma_{OUT} = S_{22} + \frac{S_{12}S_{21}\Gamma_S}{1 - S_{11}\Gamma_S}$$

Para estudiar la estabilidad del transistor, podemos utilizar los parámetros K y Δ , ya que se puede demostrar que un transistor es incondicionalmente estable si cumple: $K > 1$ y $|\Delta| < 1$.

En nuestro caso:

$$K = \frac{1 - |S_{11}|^2 - |S_{22}|^2 + |\Delta|^2}{2|S_{12}S_{21}|} = 0.75 < 1$$

$$|\Delta| = |S_{11}S_{22} - S_{12}S_{21}| = \dots = -0.825j$$

Existe alguna región de valores Γ_S , Γ_L potencialmente inestables.



Dibujamos círculo de estabilidad a la salida

Una vez sabemos que es condicionalmente estable, buscamos zonas de inestabilidad mediante los círculos de estabilidad en la carta de Smith. Queremos dibujar el círculo de estabilidad a la salida para poder escoger un valor de Γ_L tal que $|\Gamma_{IN}| > 1$.

El centro (C_L) y radio (R_L) de los círculos de estabilidad a la salida se pueden obtener como:

$$C_L = \frac{(S_{22} - \Delta S_{11}^*)^*}{|S_{22}|^2 - |\Delta|^2} = \dots = 0.658 < 45^\circ \quad R_L = \left| \frac{S_{12}S_{21}}{|S_{22}|^2 - |\Delta|^2} \right| = \dots = 0.82$$

$$\Delta = S_{11}S_{22} - S_{12}S_{21} = \dots = -0.825j$$

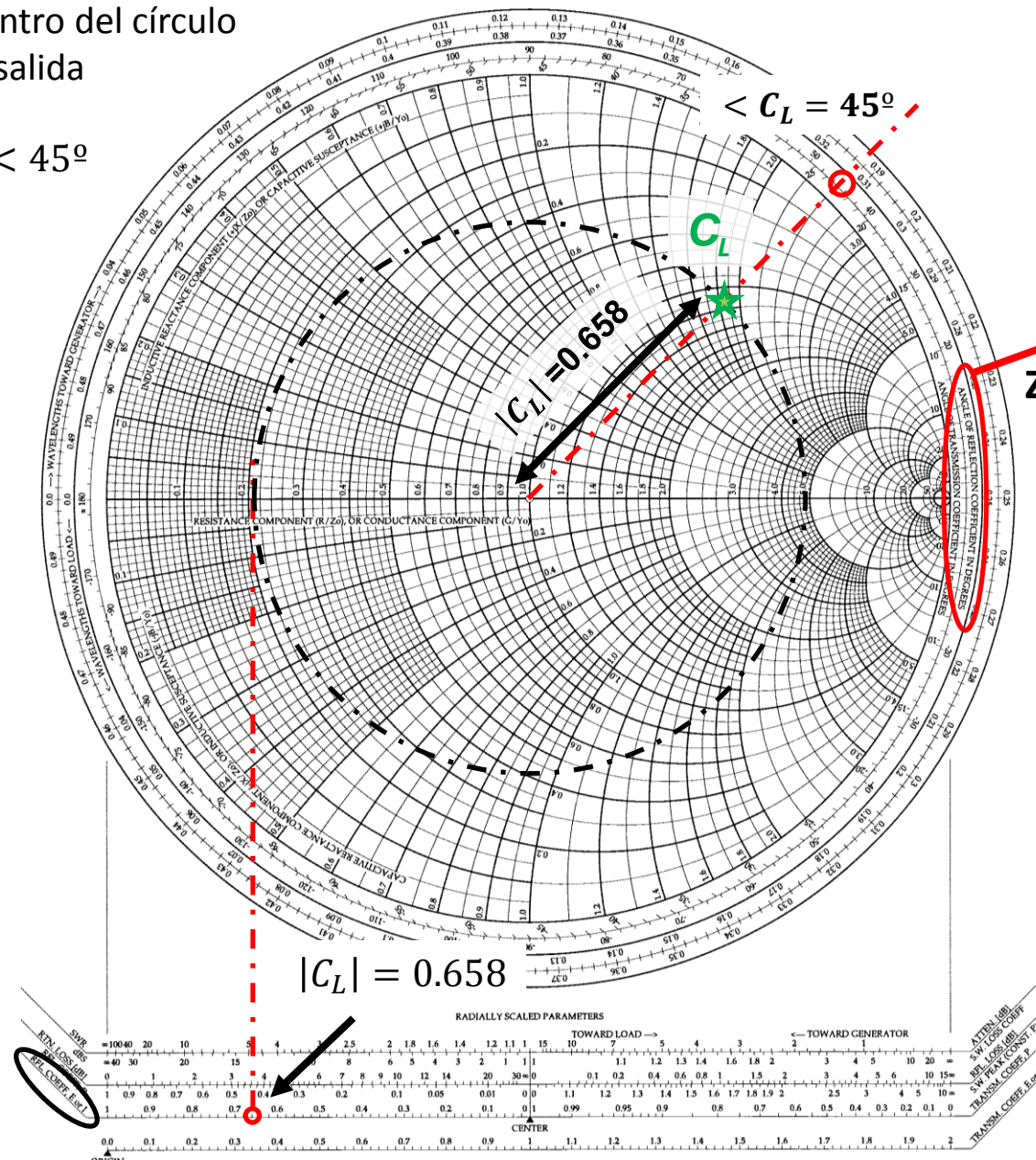
Donde estas ecuaciones se obtienen forzando: $|\Gamma_{IN}| = \left| S_{11} + \frac{S_{12}S_{21}\Gamma_L}{1 - S_{22}\Gamma_L} \right| = 1$

Por lo tanto, este círculo nos determinará los límites de la zona estable/inestable, cumpliéndose $|\Gamma_{IN}| = 1$ en cualquier punto del círculo de estabilidad.

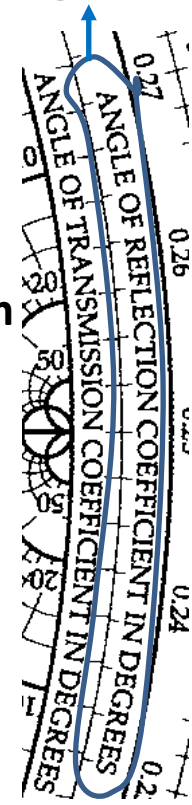


1. Mapeamos el centro del círculo de estabilidad a la salida

$$C_L = 0.658 < 45^\circ$$



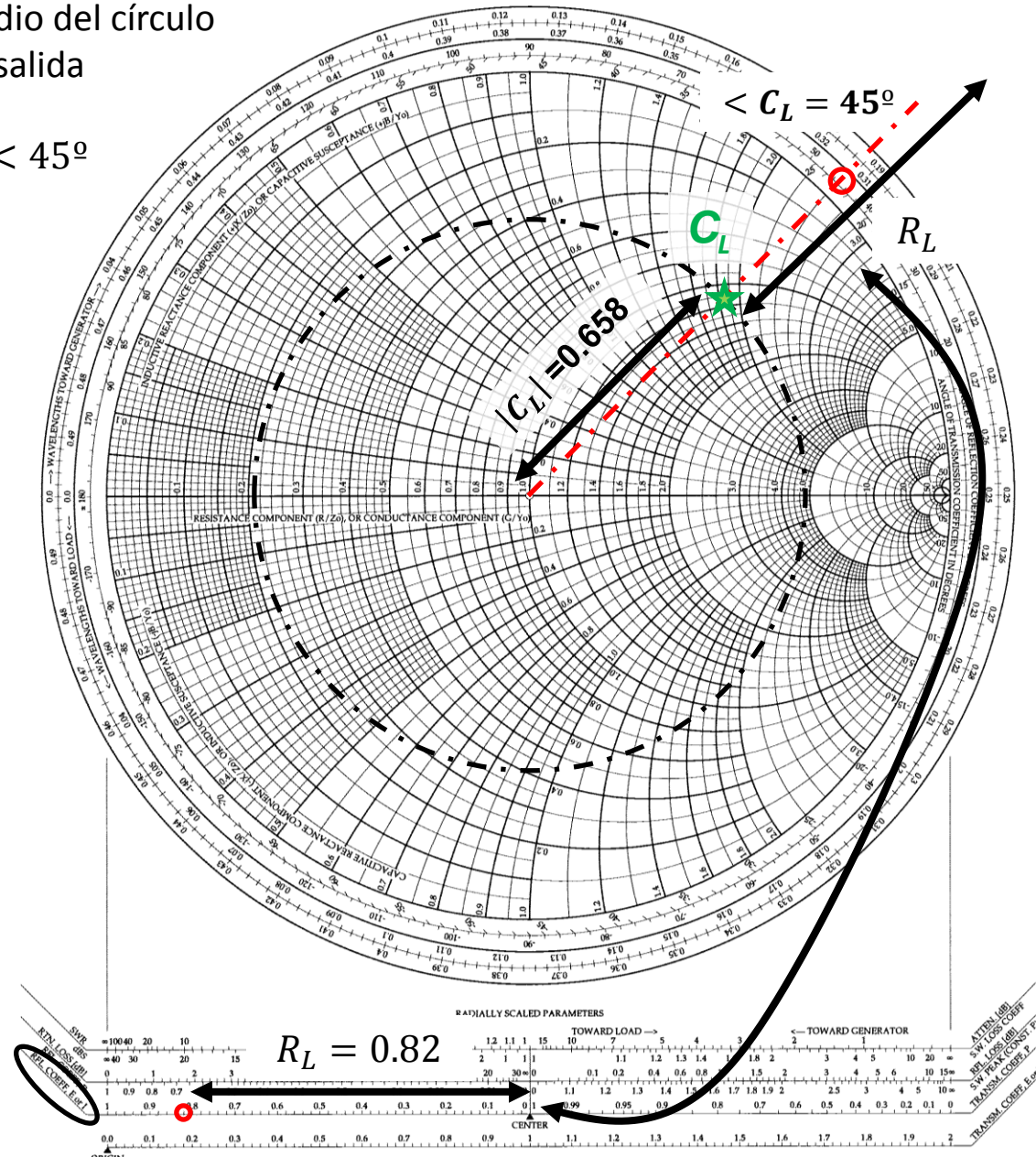
Ángulo de Γ
en grados



2. Mapeamos el radio del círculo de estabilidad a la salida

$$C_L = 0.658 < 45^\circ$$

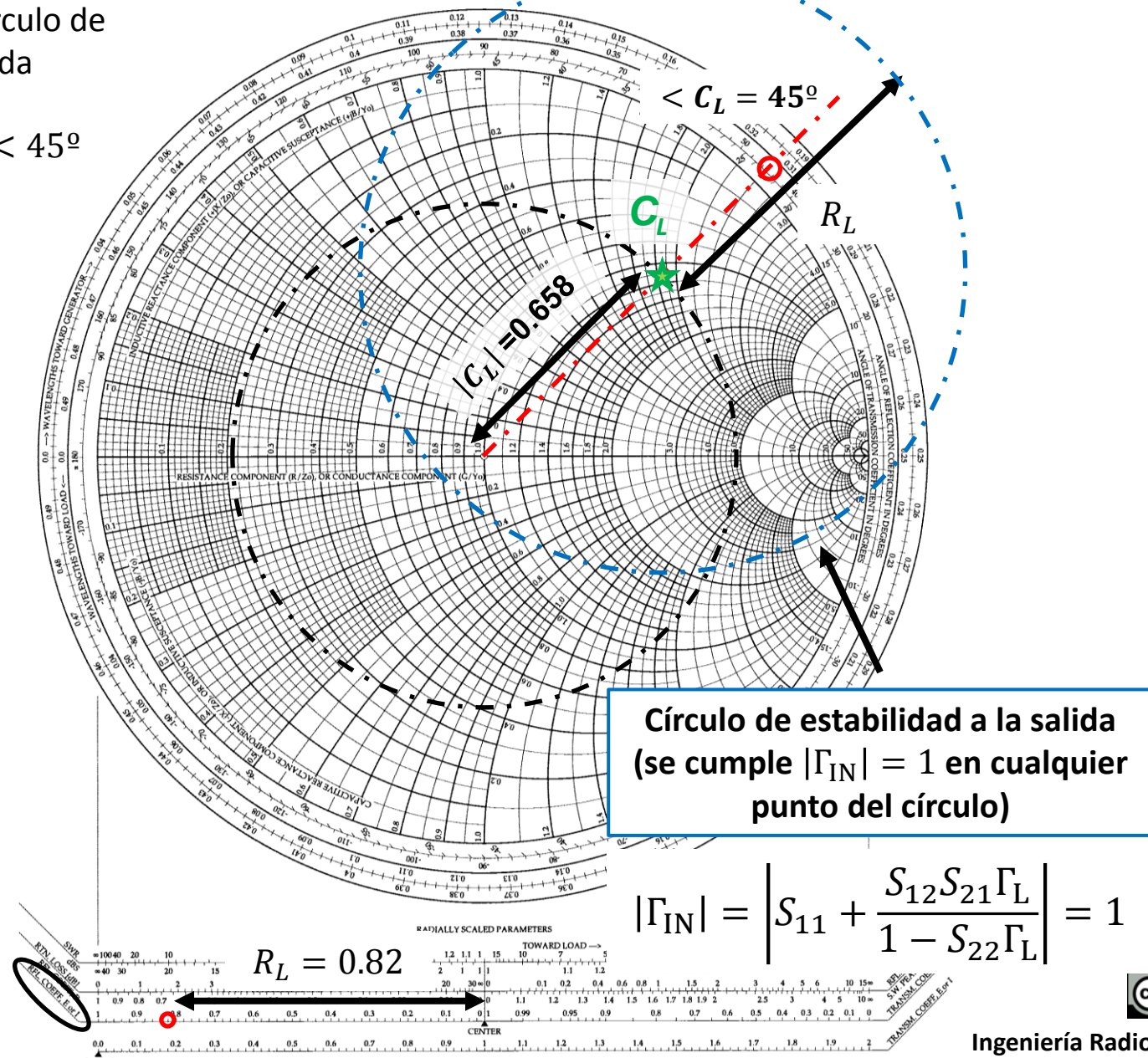
$$R_L = 0.82$$



3. Mapeamos el círculo de estabilidad a la salida

$$C_L = 0.658 < 45^\circ$$

$$R_L = 0.82$$



4. Definimos región de estabilidad

¿El interior del círculo es estable o inestable?



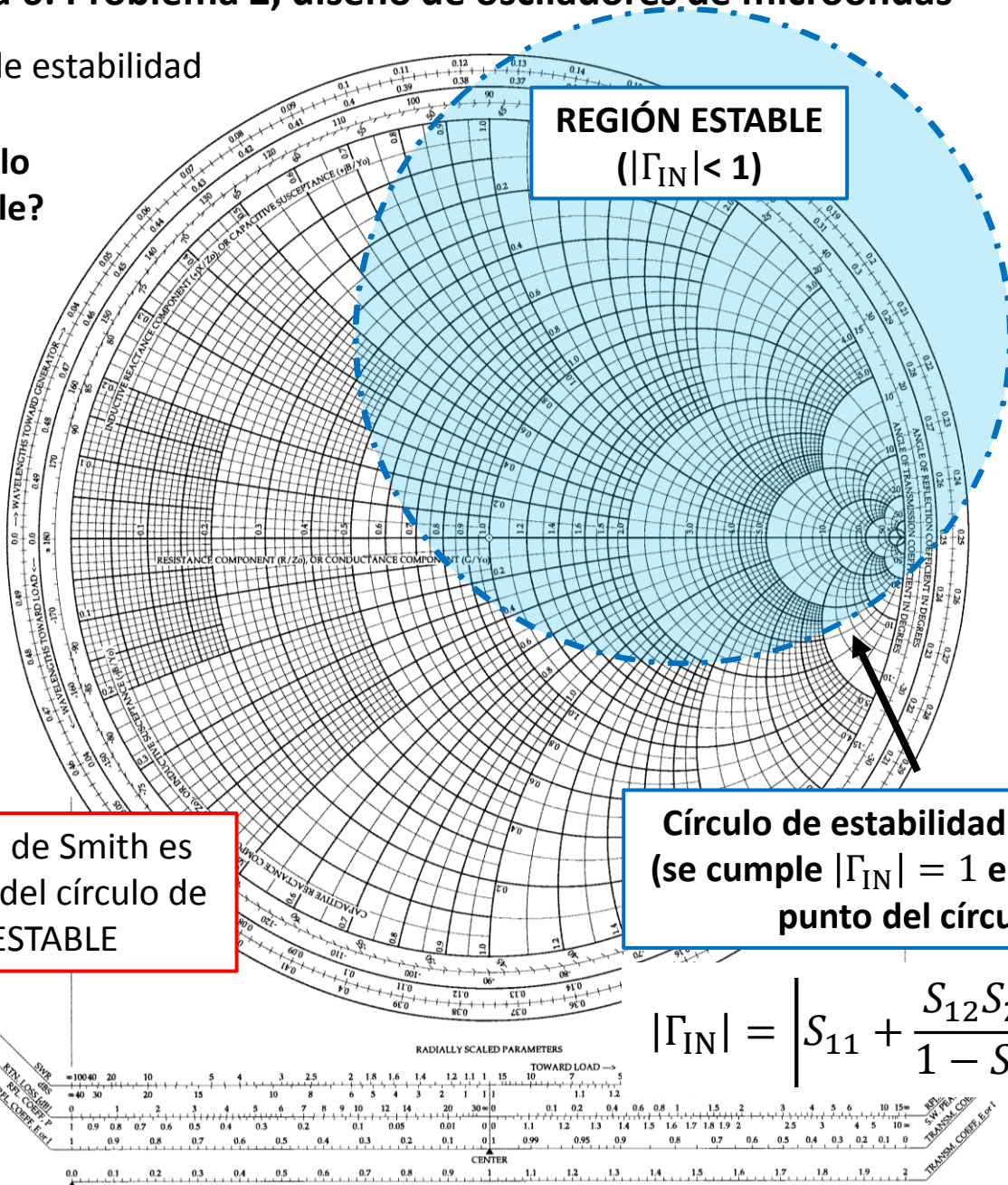
Para saberlo, miramos caso $\Gamma_L = 0$:

$$\text{Si } \Gamma_L = 0 \rightarrow |\Gamma_{IN}| = |S_{11}|$$

$$\text{Si } S_{11} < 1 \rightarrow |\Gamma_{IN}| < 1$$



El centro de la carta de Smith es estable \rightarrow El interior del círculo de estabilidad es ESTABLE



$$|\Gamma_{IN}| = \left| S_{11} + \frac{S_{12}S_{21}\Gamma_L}{1 - S_{22}\Gamma_L} \right| = 1$$



5. Escogemos Γ_L

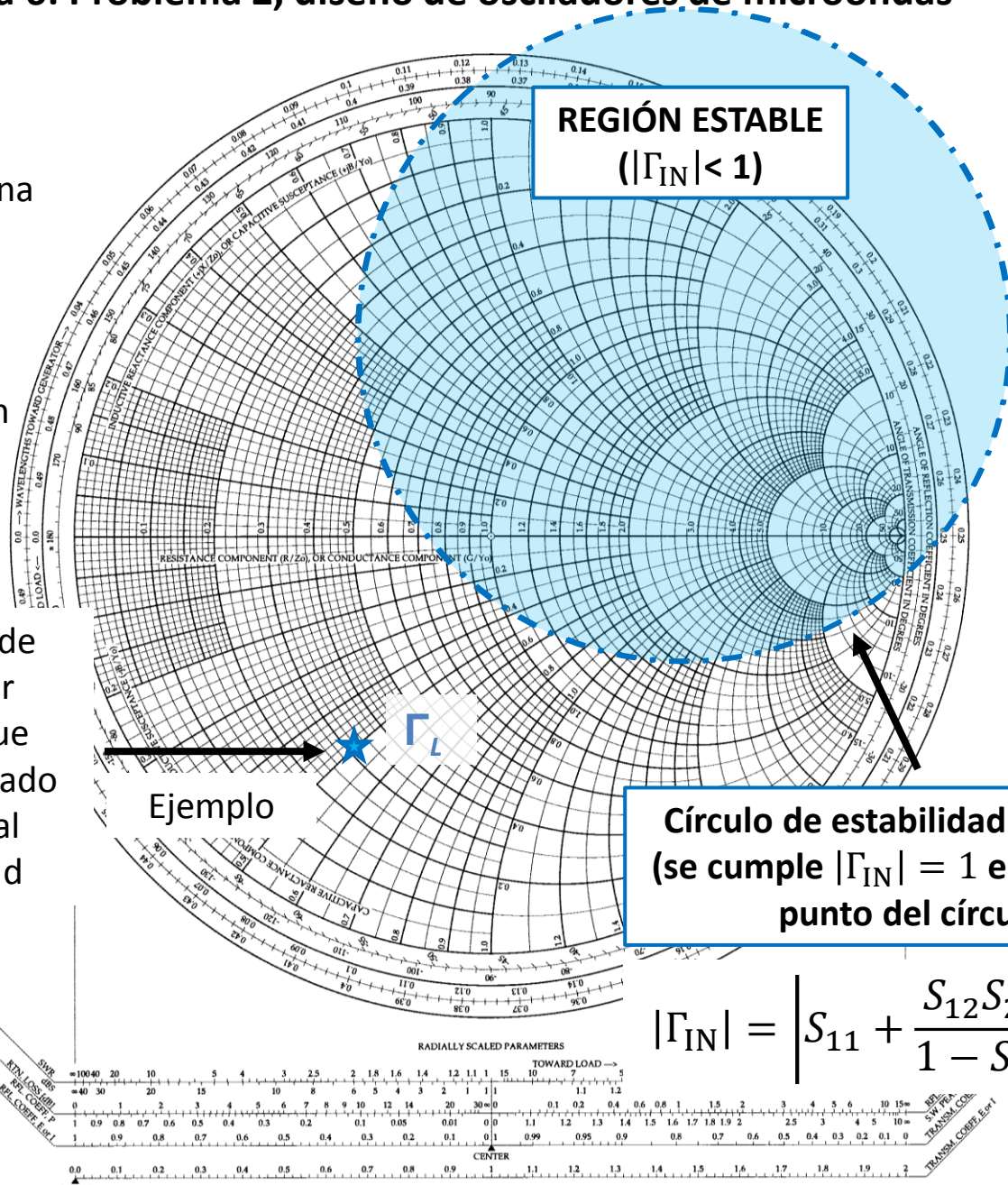
Escogemos Γ_L en la zona inestable



NO hay una solución única de Γ_L



Buscamos $|\Gamma_{IN}|$ grande (queremos asegurar oscilación), por lo que buscaremos un Γ_L situado en el lado opuesto al círculo de estabilidad



6. Obtenemos Γ_L

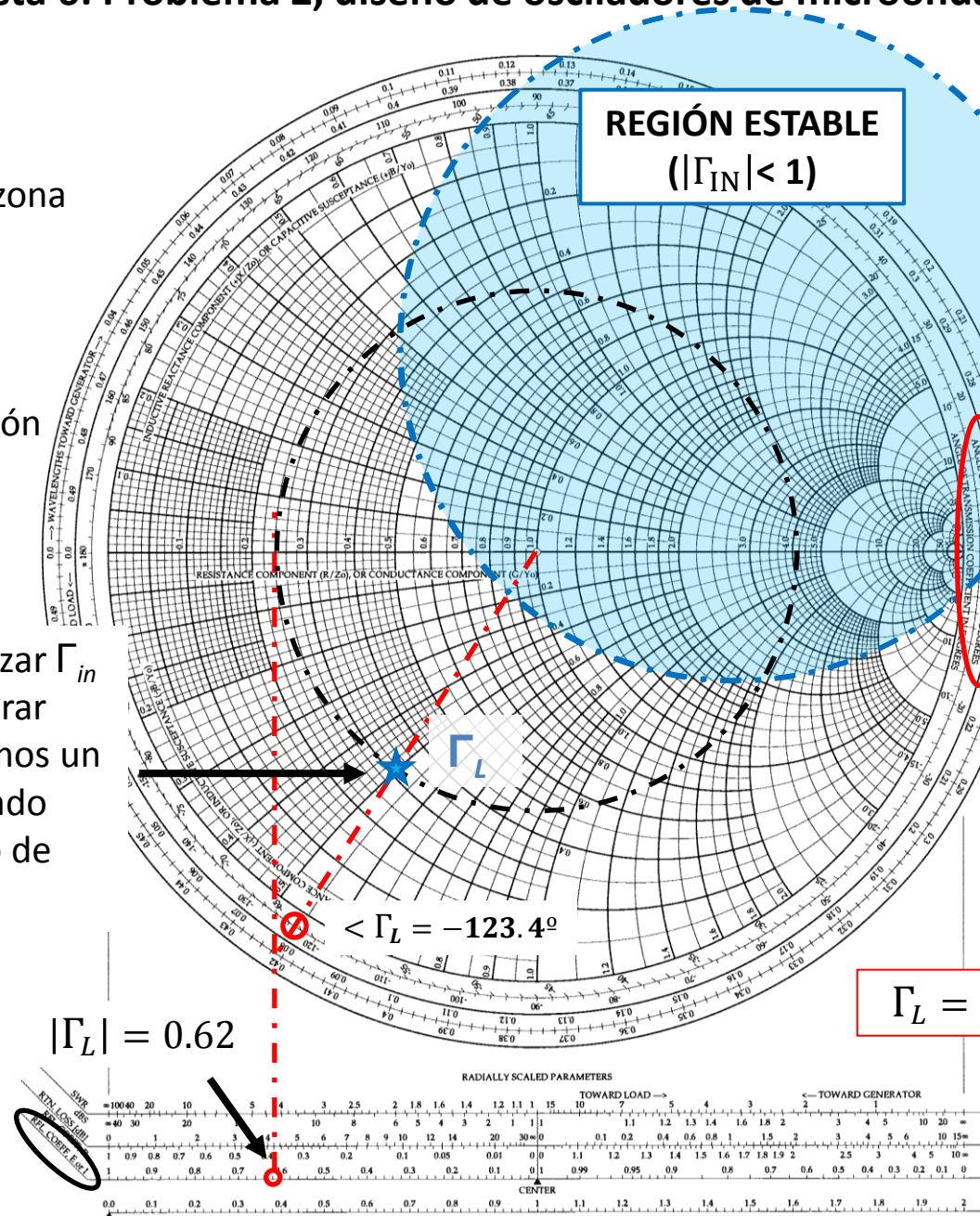
Escogemos Γ_L en la zona inestable



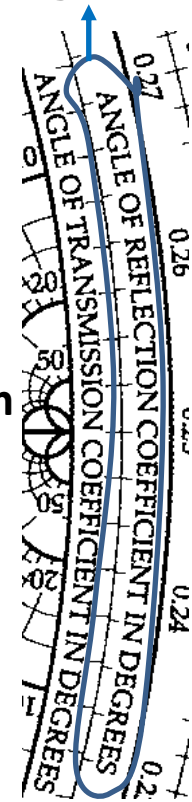
NO hay una solución única de Γ_L



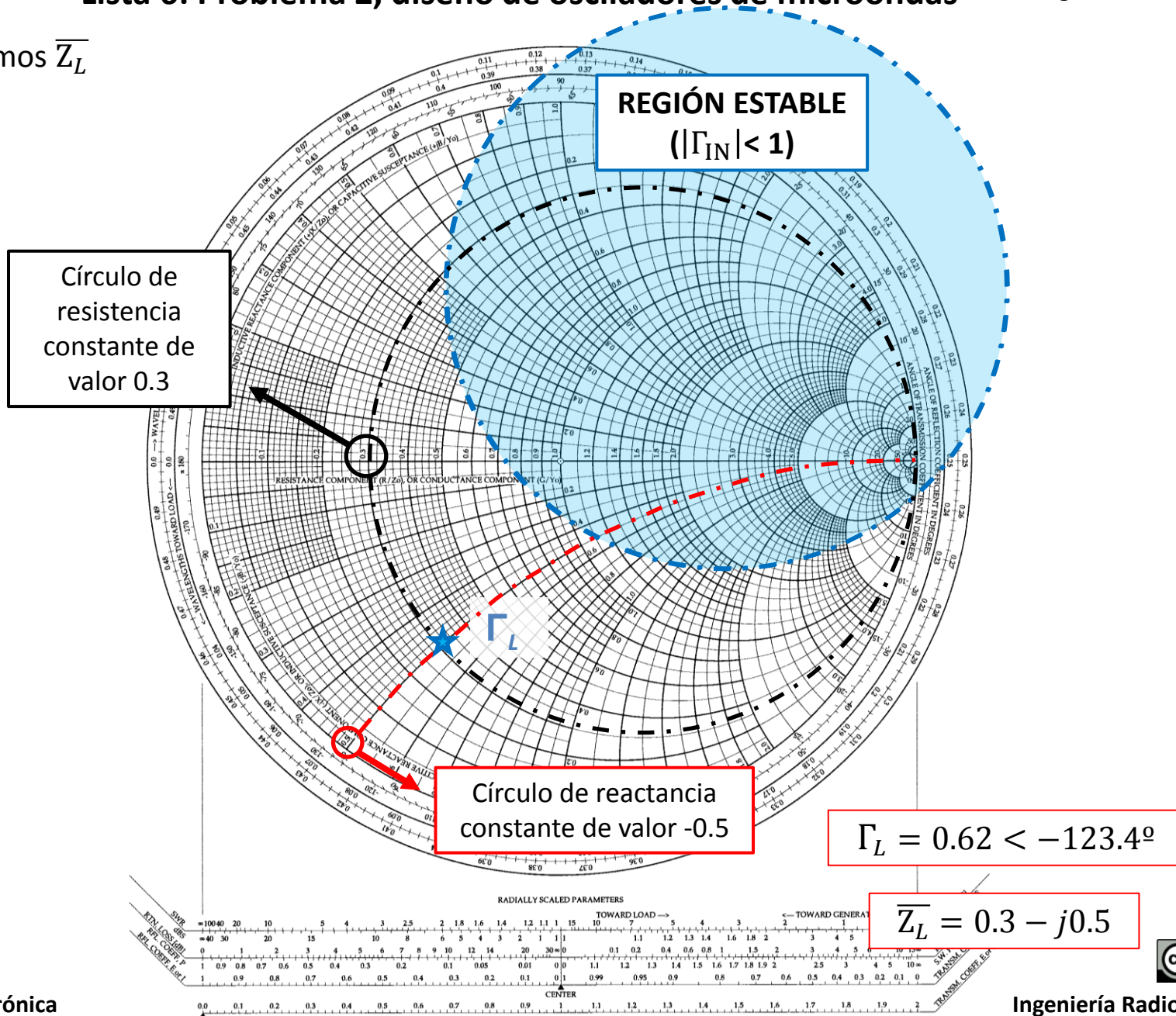
Si queremos maximizar Γ_{in} (queremos asegurar oscilación), buscaremos un Γ_L situado en el lado opuesto al círculo de estabilidad



Ángulo de Γ en grados



7. Obtenemos \overline{Z}_L



8. Calculamos Γ_{in}

$$\Gamma_{IN} = S_{11} + \frac{S_{12}S_{21}\Gamma_L}{1 - S_{22}\Gamma_L}$$

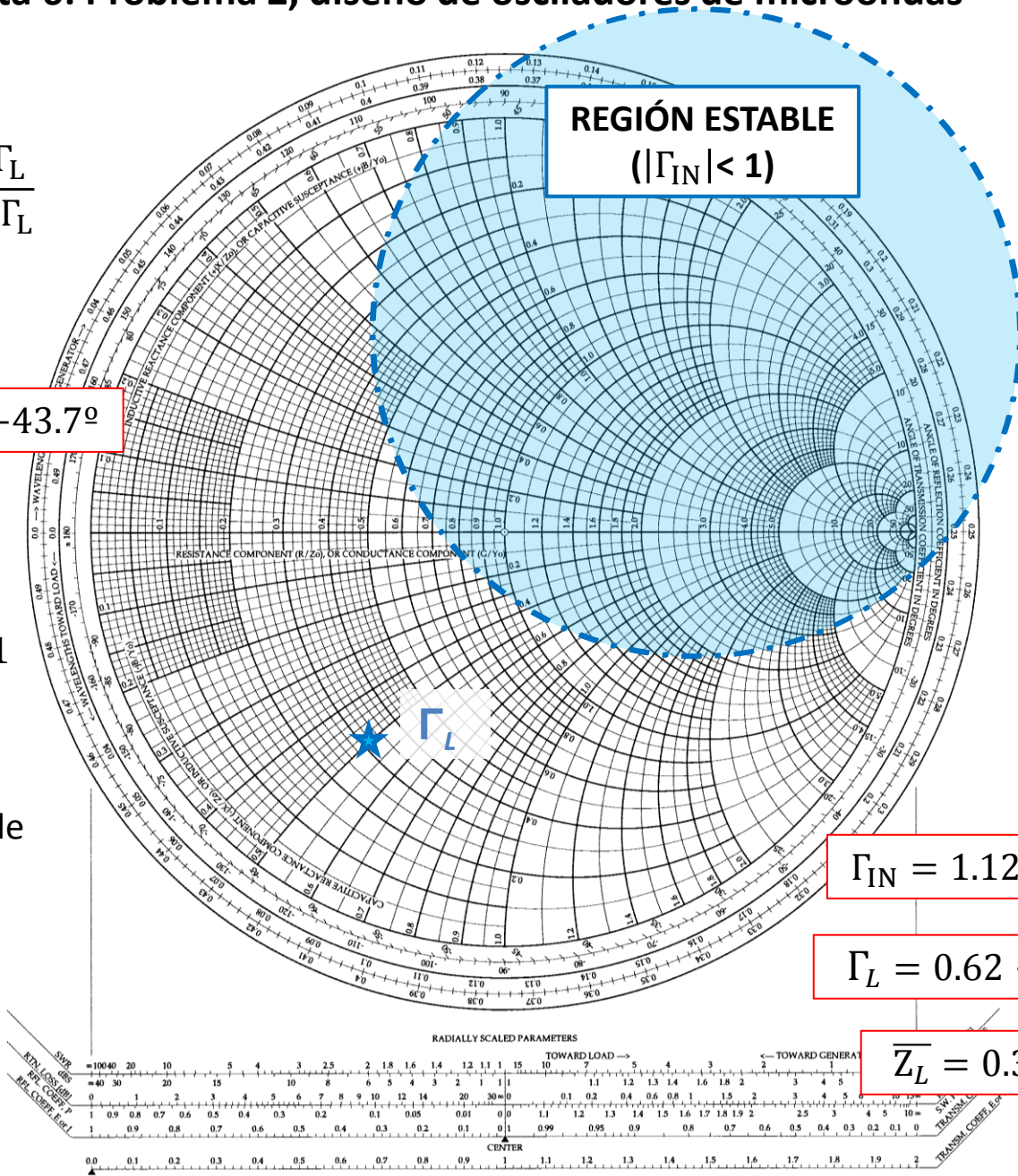


$$\Gamma_{IN} = \dots = 1.12 < -43.7^\circ$$



Se cumple $|\Gamma_{IN}| > 1$

Por lo tanto, se cumple condición de inestabilidad



Si hubiéramos obtenido $|\Gamma_{IN}| < 1$, deberíamos escoger otro Γ_L y repetir apartados 5-6-7-8



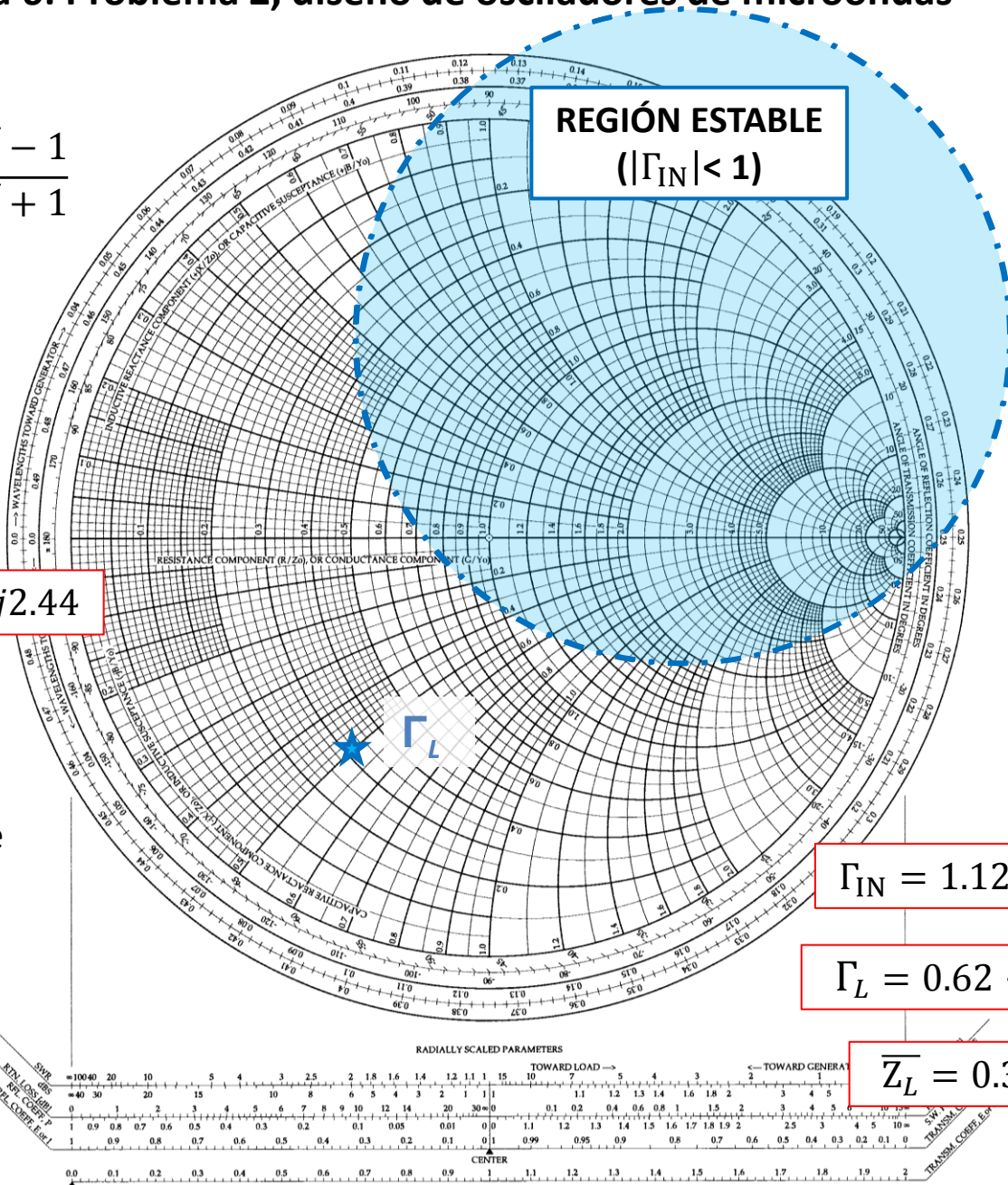
9. Obtenemos \overline{Z}_{IN}

$$\Gamma_{IN} = \frac{Z_{IN} - Z_0}{Z_{IN} + Z_0} = \frac{\overline{Z}_{IN} - 1}{\overline{Z}_{IN} + 1}$$

$$\overline{Z}_{IN} = \frac{1 + \Gamma_{IN}}{1 - \Gamma_{IN}}$$

$$\overline{Z}_{IN} = \dots = -0.39 - j2.44$$

Por lo tanto, se cumple condición de inestabilidad



9. Obtenemos $\overline{Z_{IN}}$

$$\overline{R_{IN}} < 0!$$

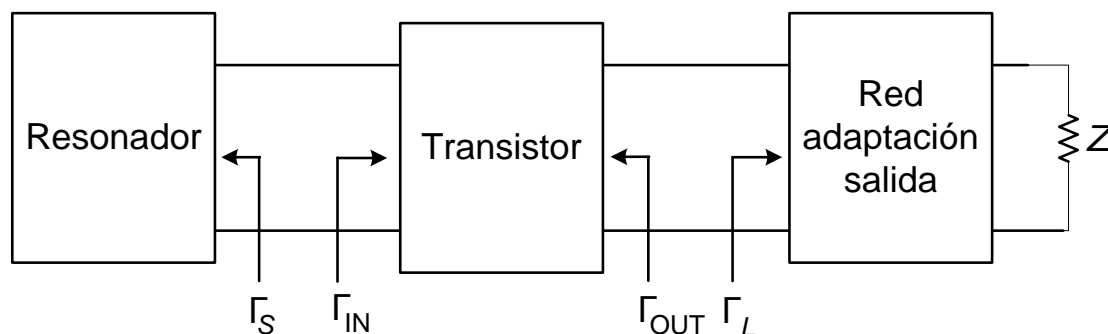
$$\Gamma_{IN} = \frac{Z_{IN} - Z_0}{Z_{IN} + Z_0} = \frac{\overline{Z_{IN}} - 1}{\overline{Z_{IN}} + 1} \longrightarrow \overline{Z_{IN}} = \frac{1 + \Gamma_{IN}}{1 - \Gamma_{IN}} = \dots = -0.39 - j2.44$$

$$\Gamma_{IN} = 1.12 < -43.7^\circ$$

Así forzamos la resistencia negativa que provoca las oscilaciones

10. Obtenemos $\overline{Z_s}$ y Γ_s

$$\overline{Z_s} = -\frac{\overline{R_{IN}}}{3} - j\overline{X_{IN}} = 0.13 + j2.44 \longrightarrow \Gamma_s = \frac{\overline{Z_s} - 1}{\overline{Z_s} + 1} = \dots = 0.96 < 44.5^\circ$$



$$\Gamma_L = 0.62 < -123.4^\circ$$

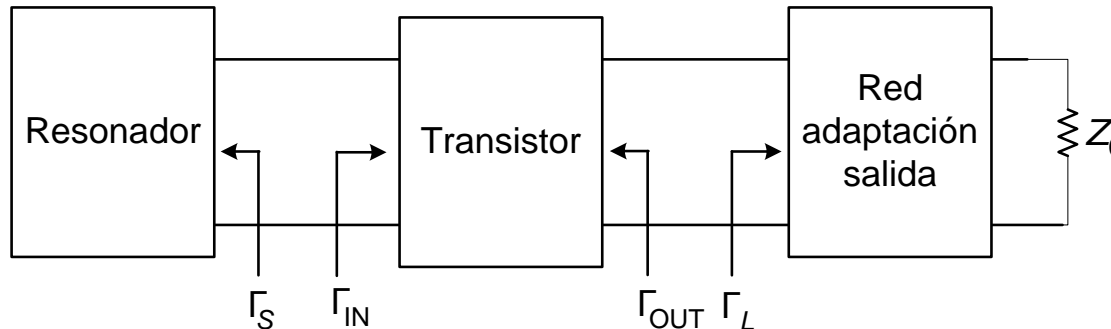
$$\overline{Z_L} = 0.3 - j0.5$$

Una vez obtenidos todos los coeficientes de reflexión, sólo necesitamos obtener las redes de adaptación que permitan satisfacer éstos valores



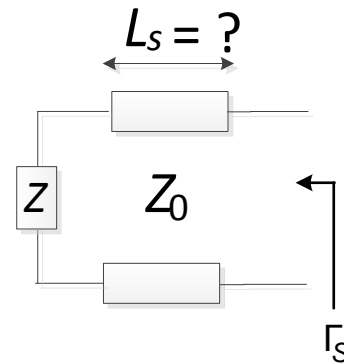
11. Obtenemos red de adaptación para satisfacer \bar{Z}_s, Γ_s

Recordemos que un oscilador tiene el siguiente diagrama de bloques:



Dado que el oscilador no tiene entrada, no es necesario obtener Γ_s a partir de una carga adaptada $Z = Z_0$.

Esto nos permite simplificar nuestra red de adaptación Γ_s , pudiendo considerar la siguiente topología:



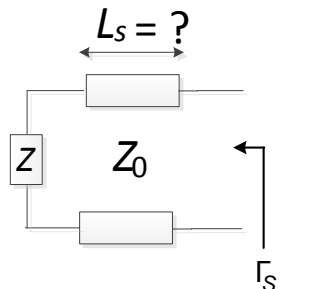
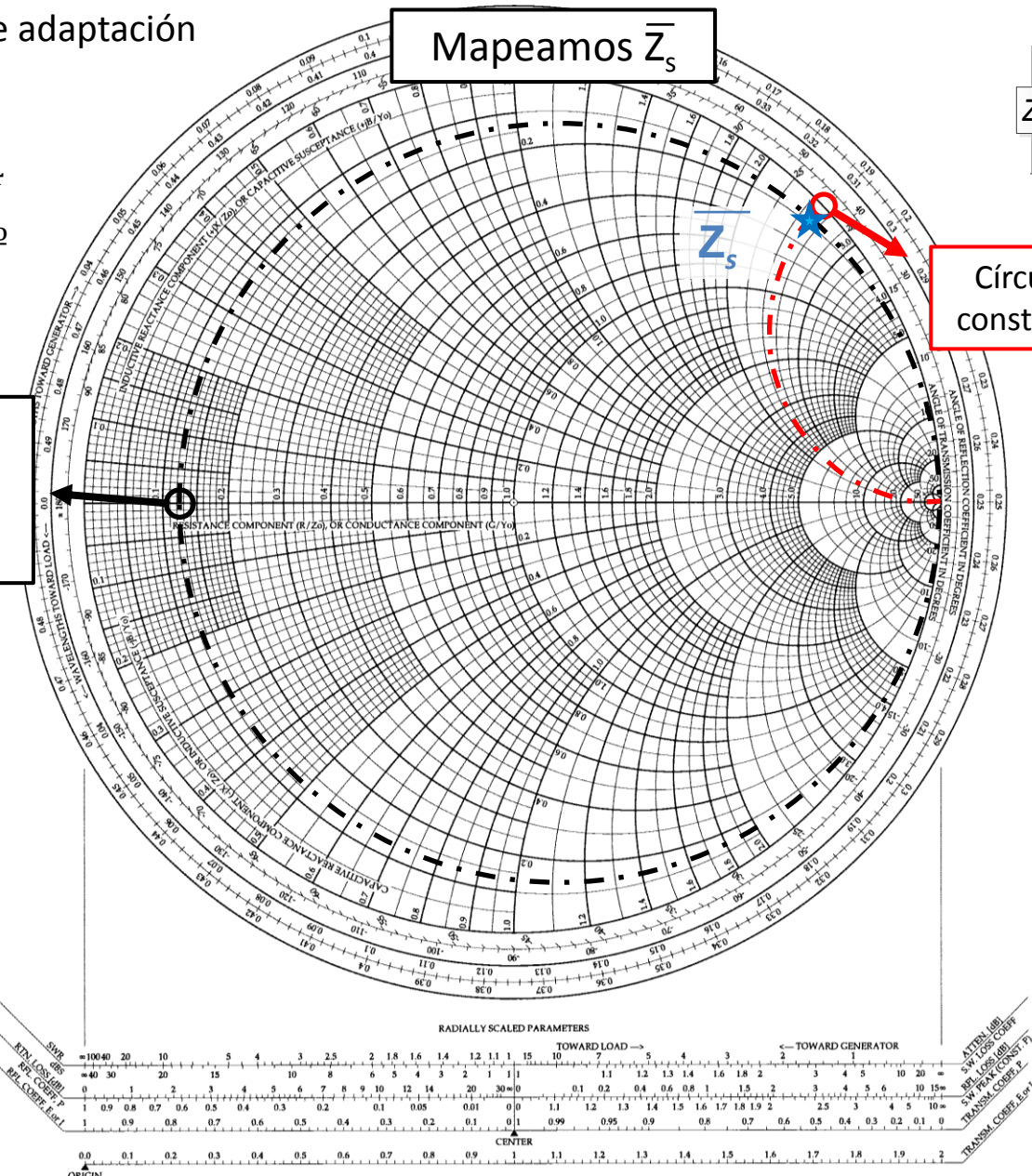
De esta forma, podremos obtener el Γ_s requerido desplazándonos por una línea de transmisión que nos permita cruzar con una impedancia puramente real (no necesariamente Z_0), que será la carga Z que consideraremos.



11. Obtenemos red de adaptación para satisfacer \bar{Z}_s, Γ_s

$$\overline{Z_s} = 0.13 + j2.44$$

$$\Gamma_s = 0.96 < 44.5^\circ$$



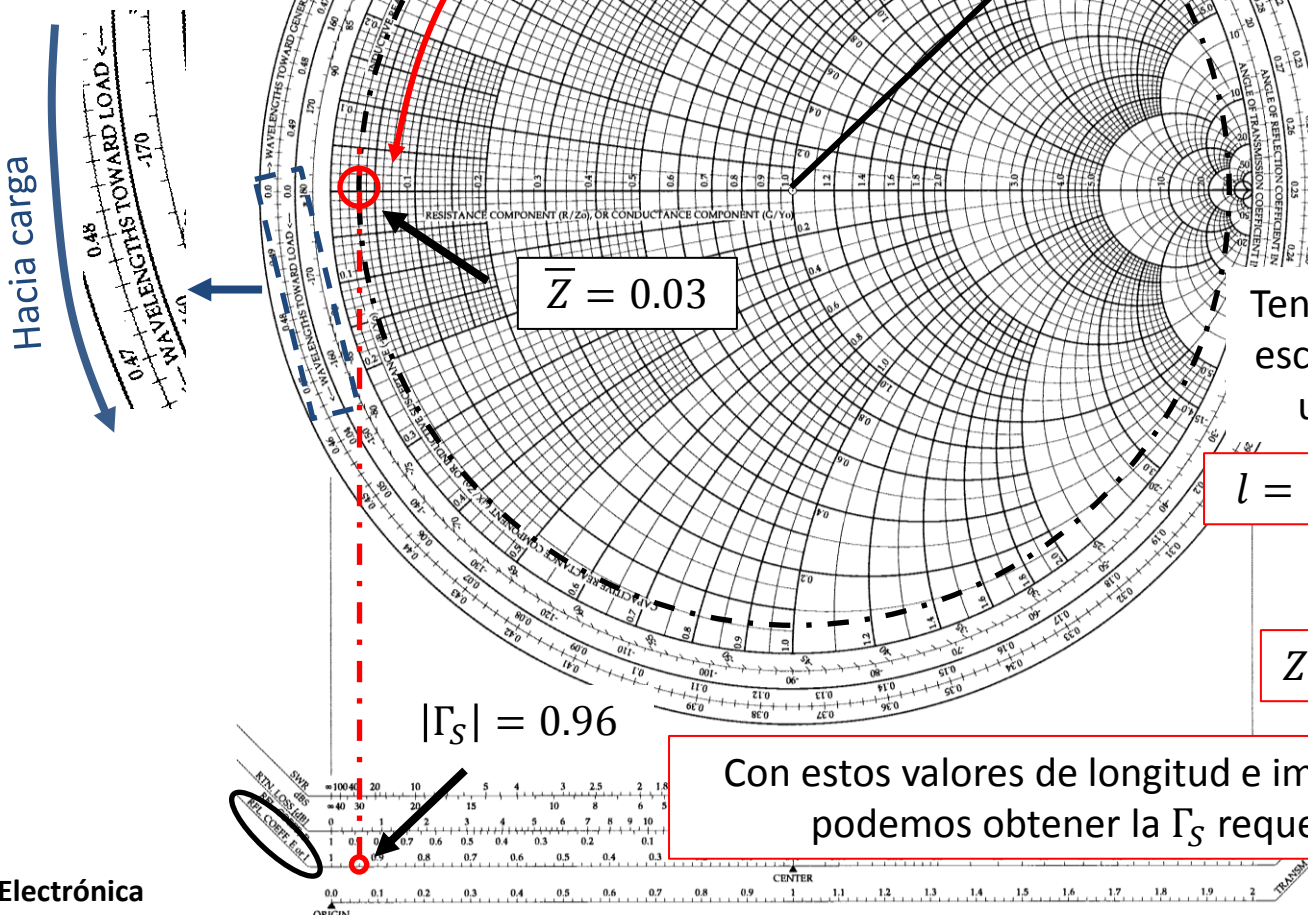
Círculo de reactancia
constante de valor 2.44

11. Obtenemos red de adaptación para satisfacer \bar{Z}_s, Γ_s

$$\overline{Z_s} = 0.13 + j2.44$$

$$\Gamma_s = 0.96 < 44.5^\circ$$

Nos desplazamos por un círculo
 $|\Gamma_\varsigma|$ constante hasta obtener Z real

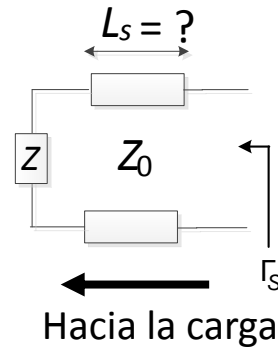


Tenemos dos soluciones. Si escogemos la que conlleva una longitud / menor:

$$l = 0.5\lambda - 0.31\lambda = 0.19\lambda$$

$$Z = 0.03 \cdot Z_0 = 1.5\Omega$$

Con estos valores de longitud e impedancia podemos obtener la Γ_s requerida

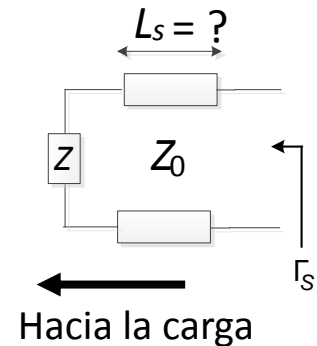
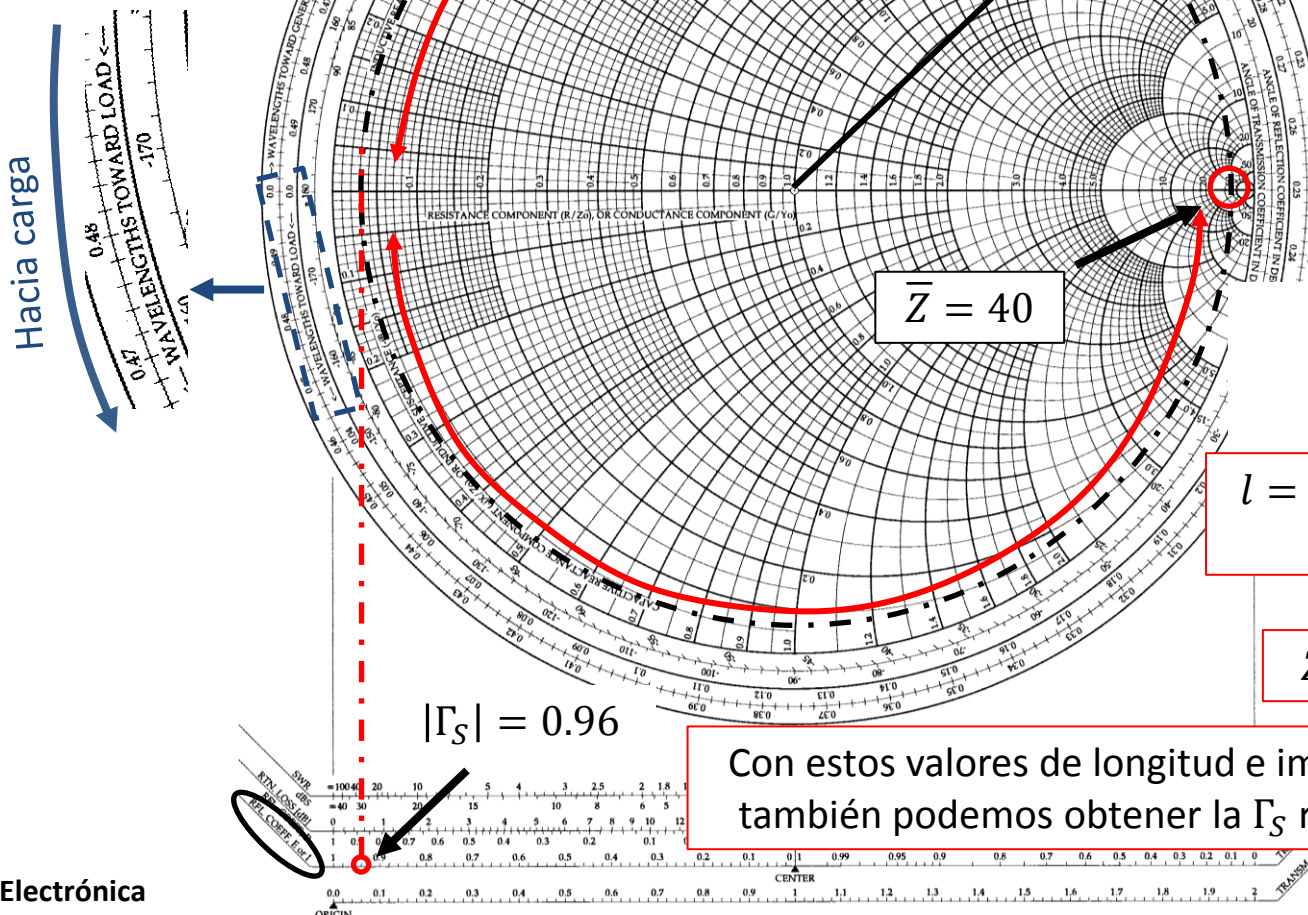


11. Obtenemos red de adaptación para satisfacer \bar{Z}_s, Γ_s

$$\bar{Z}_s = 0.13 + j2.44$$

$$\Gamma_s = 0.96 < 44.5^\circ$$

Nos desplazamos por un círculo $|\Gamma_s|$ constante hasta obtener Z real



Si escogemos la otra solución de longitud mayor:

$$l = 0.5\lambda - 0.31\lambda + 0.25\lambda \\ = 0.44\lambda$$

$$Z = 40 \cdot Z_0 = 2 \text{ k}\Omega$$

Con estos valores de longitud e impedancia también podemos obtener la Γ_s requerida

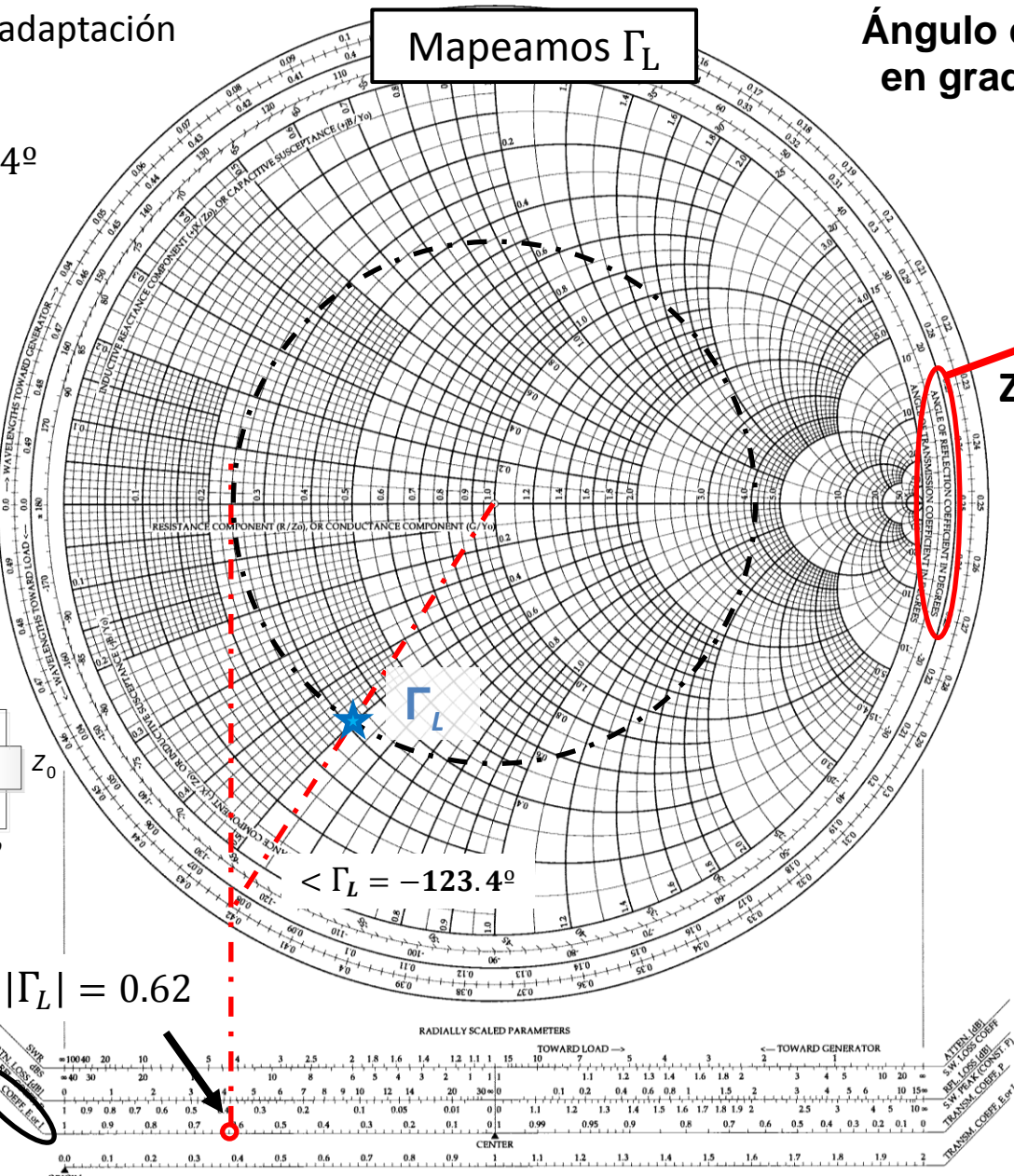
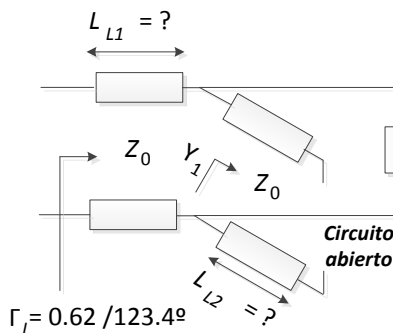


12. Obtenemos red de adaptación para satisfacer Γ_L

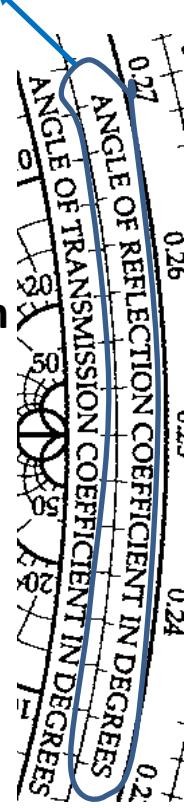
$$\Gamma_L = 0.62 < -123.4^\circ$$

En este caso SI tengo que adaptar a una carga Z_0

Utilizo líneas de transmisión y stubs en circuito abierto



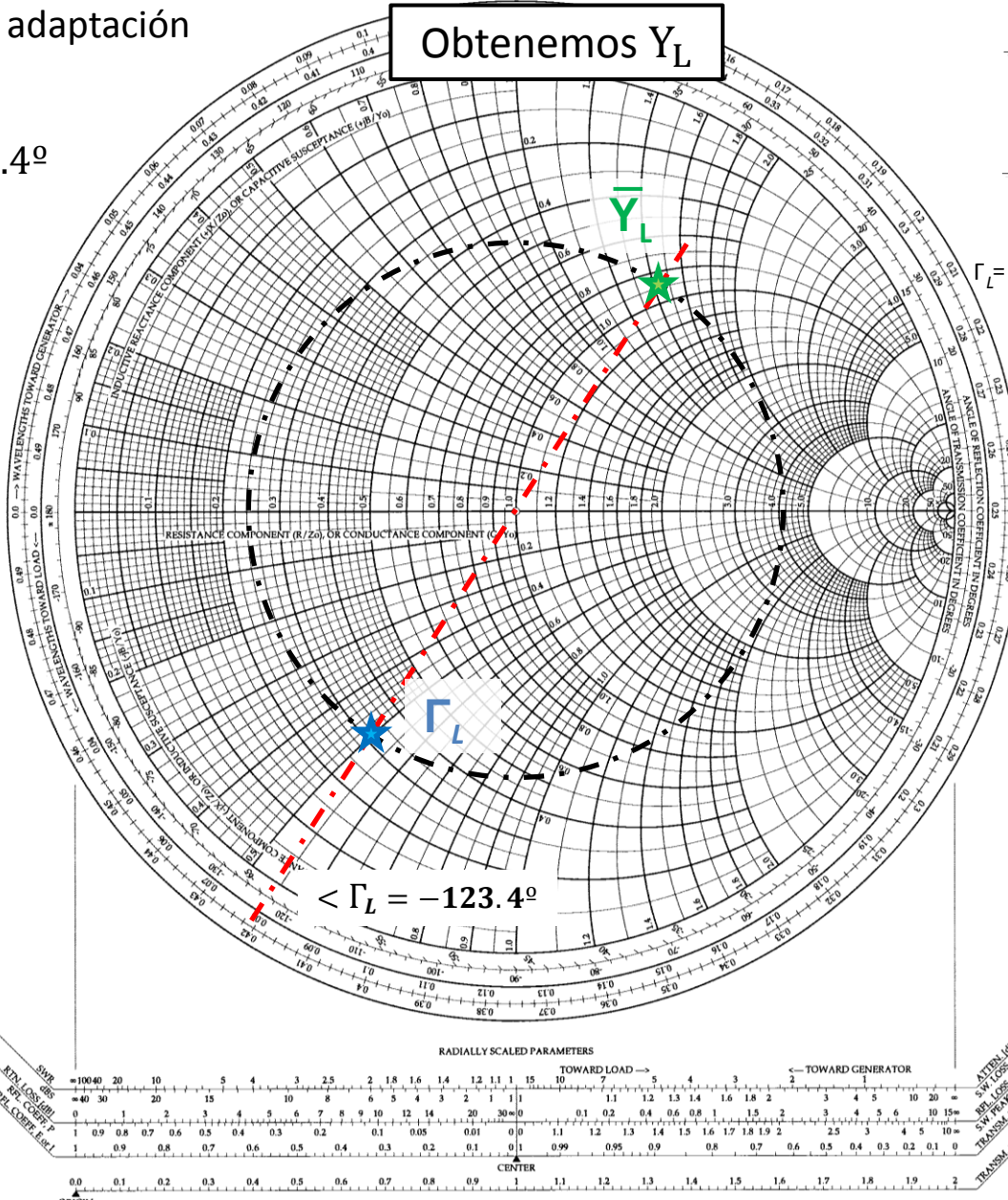
lo de Γ rados



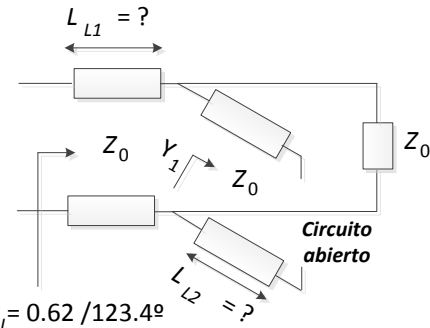
12. Obtenemos red de adaptación para satisfacer Γ_L

$$\Gamma_L = 0.62 < -123.4^\circ$$

La admittance Y_L es:



Pasamos de impedancia a admitancia mediante un giro de 180° en Γ (media carta Smith)



Trabajamos en admitancias ya que nos será más cómodo a la hora de trabajar con el stub en paralelo



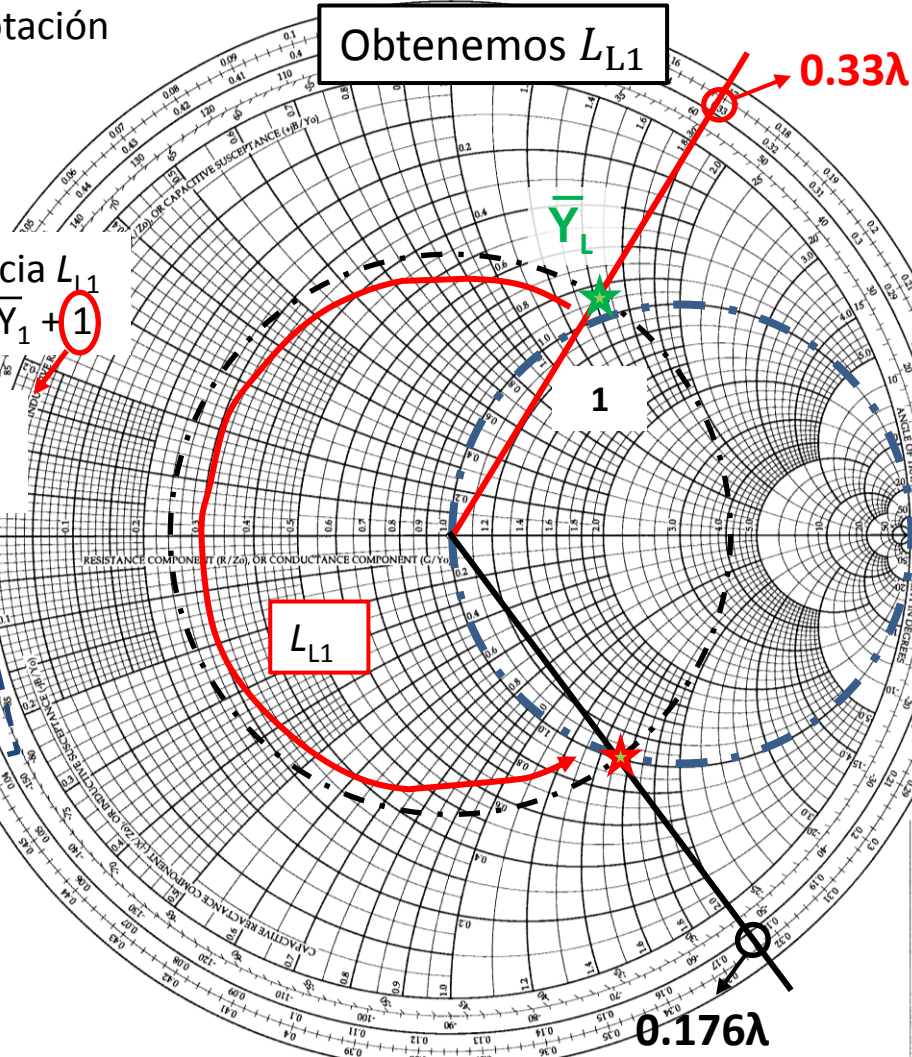
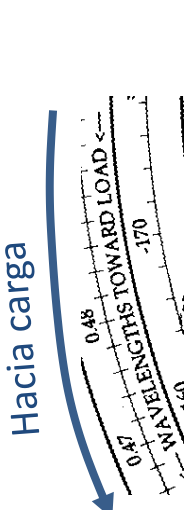
12. Obtenemos red de adaptación para satisfacer Γ_L

$$\Gamma_L = 0.62 < -123.4^\circ$$

Desplazamos Γ_L una distancia L_{L1} tal que $Y_2 = Y_1 + Y_0 \rightarrow \bar{Y}_2 = \bar{Y}_1 + 1$



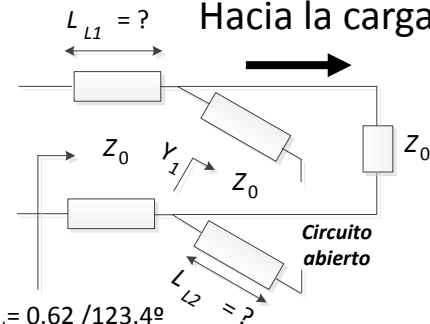
Hemos de cruzar el círculo de conductancia unidad



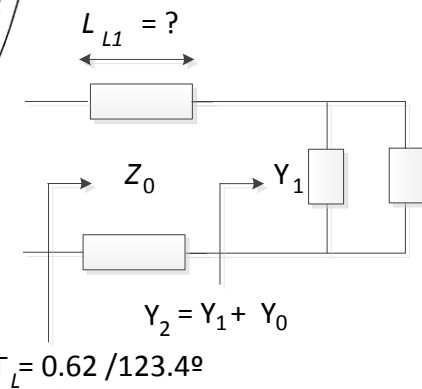
Obtenemos L_{L1}

Tenemos dos soluciones, consideramos mínima L_{L1}

$$L_{L1} = (0.5\lambda - 0.33\lambda) + 0.176\lambda = 0.346\lambda$$



Círculo conductancia unidad



Siendo Y_1 puramente imaginario

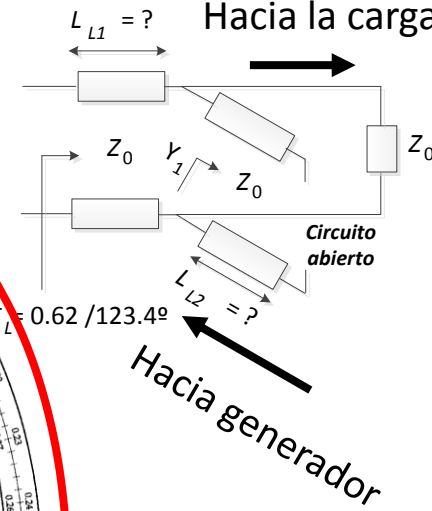


12. Obtenemos red de adaptación para satisfacer Γ_L

$$\Gamma_L = 0.62 < -123.4^\circ$$

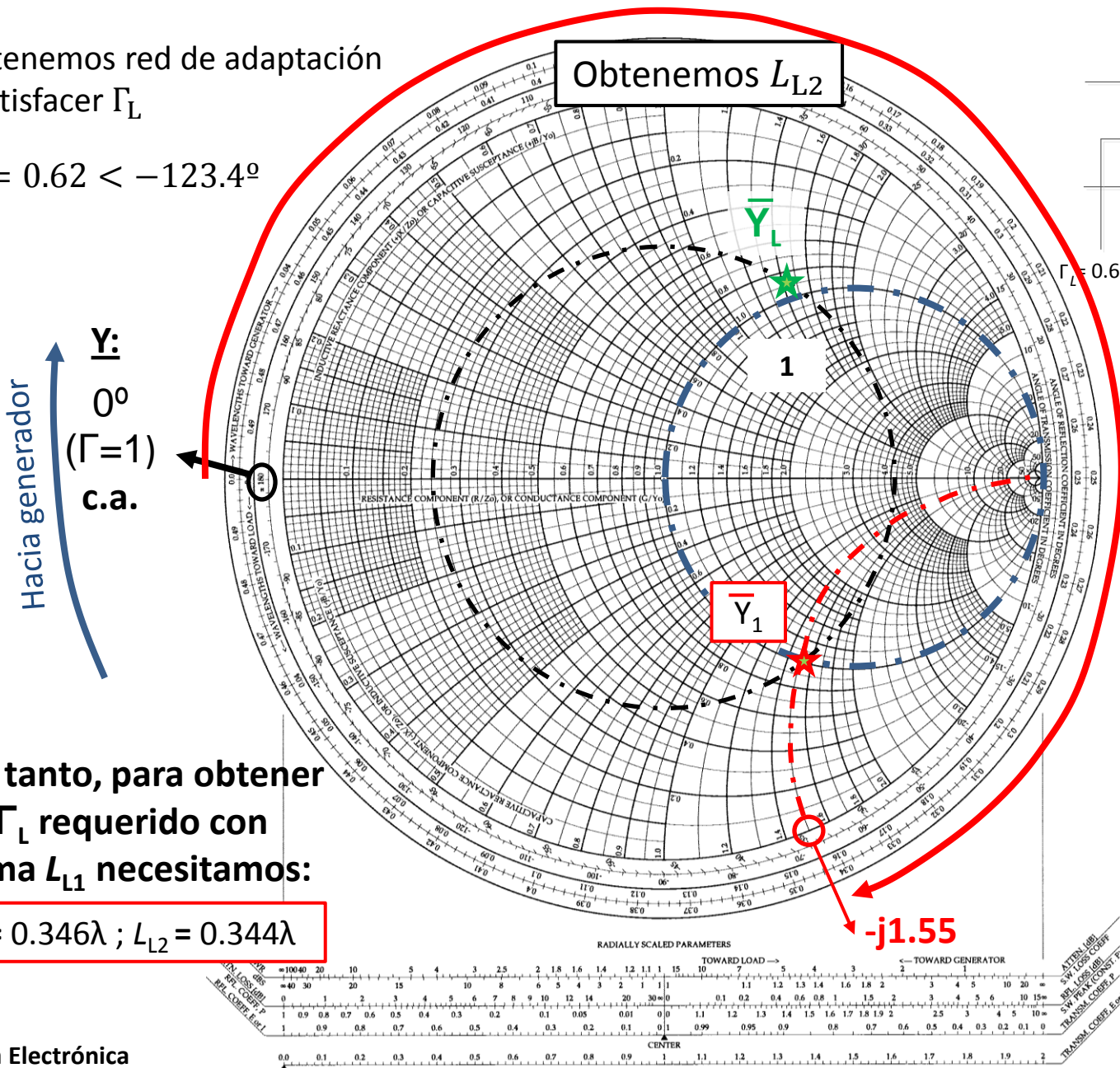
Hacia generador
 Υ :
 0°
($\Gamma=1$)
c.a.

Obtenemos L_{L2}

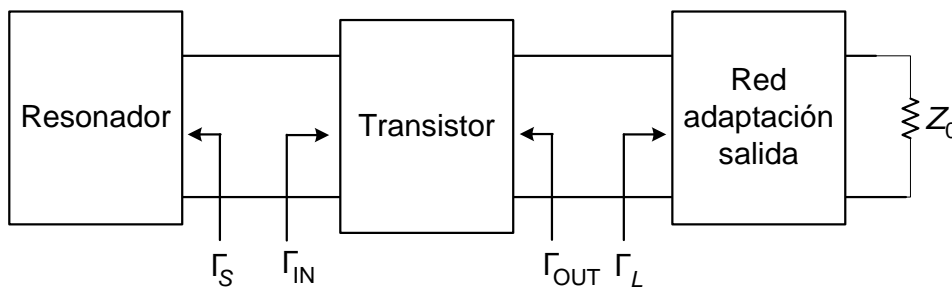


Por lo tanto, para obtener el Γ_L requerido con mínima L_{L1} necesitamos:

$$L_{L1} = 0.346\lambda ; L_{L2} = 0.344\lambda$$



Por lo tanto, el oscilador tendrá la siguiente topología:



$$\Gamma_L = 0.62 < -123.4^\circ$$

$$\overline{Z_L} = 0.3 - j0.5$$

$$\Gamma_{IN} = 1.12 < -43.7^\circ$$

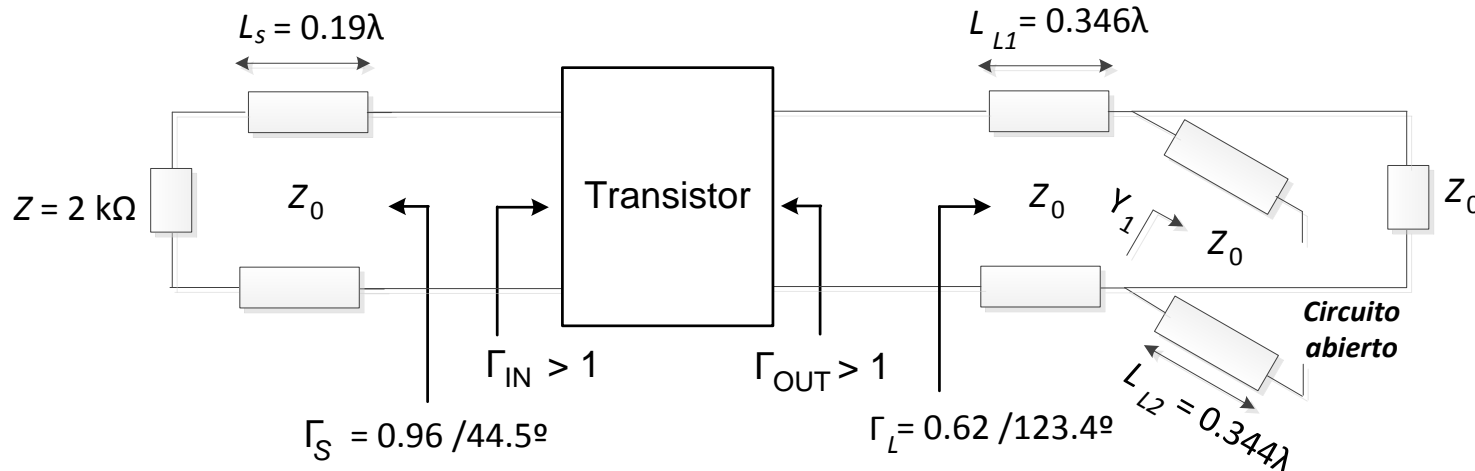
$$\overline{Z_{IN}} = -0.39 - j2.44$$

$$\Gamma_s = 0.96 < 44.5^\circ$$

$$\overline{Z_s} = 0.13 + j2.44$$

$$\Gamma_{OUT} = S_{22} + \frac{S_{12}S_{21}\Gamma_s}{1 - S_{11}\Gamma_s} = \dots = 3.5 < 127.9^\circ$$

Que puede implementarse como:



Donde también tenemos otra solución posible de $\{L_s, Z\}$ y de $\{L_{L1}, L_{L2}\}$ manteniendo la misma topología

